

# NHC-stabilisierte Carbenanaloga und Kationen der Elemente der Gruppe 14 für Bindungsaktivierungen

Von der Fakultät für Mathematik und Naturwissenschaften der Carl von Ossietzky Universität Oldenburg zur Erlangung des Grades und Titels einer

Doktorin der Naturwissenschaften (Dr. rer. nat.)

angenommene Dissertation von

M.Sc. Wiebke Marie Wohltmann

geboren am 15. Juli 1992 in Bremen

Die vorliegende Arbeit wurde unter der Leitung von Herrn Prof. Dr. Thomas Müller am Institut für Chemie an der Carl von Ossietzky Universität Oldenburg im Zeitraum von September 2017 bis September 2021 angefertigt.

Diese Arbeit wurde durch die Deutsche Forschungsgemeinschaft (DFG) im Rahmen des Graduiertenkollegs 2226 (Aktivierung chemischer Bindungen) unterstützt.

Gutachter: Herr Prof. Dr. Thomas Müller

Zweitgutachter: Herr Prof. Dr. Rüdiger Beckhaus

Tag der Disputation: 15.Dezember 2021

# **Danksagung**

Zuerst möchte ich mich bei Herrn Prof. Dr. Thomas Müller für die Möglichkeit meine Doktorarbeit in seinem Arbeitskreis anfertigen zu können und für die gute Betreuung während des gesamten Zeitraums bedanken.

Bedanken möchte ich mich ebenfalls bei Herrn Prof. Dr. Rüdiger Beckhaus für die freundliche Übernahme des Zweitgutachtens.

Ein besonderer Dank gilt ebenfalls allen aktuellen und ehemaligen Mitgliedern des Arbeitskreises Müller: Dr. Zhaowen Dong, Dr. Sandra Künzler, Dr. Saskia Rathjen, Dr. Jelte Nimoth, Dr. Anastasia Merk, Dr. Gül Özpinar, Dr. Lena Albers, M.Sc. Marie Würdemann und M.Sc. Lukas Bührmann für die freundschaftliche Atmosphäre und die stets hilfreichen fachlichen Diskussionen. B.Sc. Lina Möllmann und B.Sc. Jakub Behrends danke ich für ihren wissenschaftlichen Beitrag zu dieser Arbeit. Es hat mir viel Spaß gemacht euch zu betreuen.

Zudem bedanke ich mich bei Frau Petra Rösner für die freundliche Unterstützung bei allen organisatorischen Angelegenheiten und bei Frau Maria Ahrnsen für die Bereitstellung von Glasgeräten und Chemikalien.

Außerdem bedanke ich mich bei den Arbeitsgruppen der Organischen und Anorganischen Chemie, insbesondere der AG Beckhaus für die stete Hilfsbereitschaft und freundliche Atmosphäre. Zudem möchte ich mich bei M.Sc. Kerstin Fitschen und B.Sc. Corinna Girschik für die angenehme gemeinsame Betreuung der Praktika bedanken.

Bedanken möchte ich mich ebenfalls bei Herrn Uwe Vehlow, Herrn Rainer Schmidt, Herrn Dieter Neemeyer, Herrn Burghard Stigge und Herrn Dipl.-Ing. Francesco Fabretti für die Durchführung von analytischen Messungen. Frau Andrea Tschirne und Frau Angela Sündermann danke ich herzlich für die Durchführung der NMR Messungen sowie ihrer Bereitschaft alle gewünschten NMR Experimente möglich zu machen. Zudem möchte ich mich bei Dr. Marc Schmidtmann und Dr. Alexander Weiz für die Durchführung der Röntgenstrukturanalysen und ihren Ehrgeiz noch messbare Einkristalle in meinen Kolben zu finden bedanken.

Ein besonderer Dank gilt meiner Familie und meinen Freunden- vielen Dank für eure Unterstützung. Insbesondere möchte ich mich bei meiner Schwester Lea und meinem Schwager Kevin für die Unterstützung und das Korrekturlesen dieser Arbeit bedanken. Mein letzter besonderer Dank gilt meinem Freund Tobi: Vielen Dank für deine liebevolle und geduldige Unterstützung, insbesondere in der Zeit des gemeinsamen Home-Office!

# Kurzzusammenfassung

Niedrigvalente Tetrelverbindungen wie Germylene, Silylene oder Germyl- und Silylkationen zeigen großes Potential in Bindungsaktivierungsreaktionen, wie der H2-Bindungsaktivierung oder als Katalysatoren in Diels-Alder-Reaktionen. Das Ziel der vorliegenden Arbeit war, neue Vertreter dieser Verbindungsklassen zu synthetisieren, zu untersuchen und deren Reaktivität zu testen. Daher wurde im ersten Teil versucht, NHC-stabilisierte Germylene über die Carbeninduzierte Fragmentierungsreaktion von Dibenzo-7-germanorbornadienen zu erhalten. Stattdessen wurde in der nukleophil-induzierten Fragmentierungsreaktion alkylsubstituierten Dibenzo-7-germanorbornadienen eine andere Reaktivität beobachtet, bei der sich Digermabicyclooctadiene bildeten. Dieses unerwartete Reaktionsmuster wurde mit Hilfe von quantenchemischen Methoden untersucht. Im Anschluss wurden die Reaktivitäten der alkyl-, aryl- und alkylarylethersubstituierten Benzo-7-germanorbornadiene gegenüber Carbenen untersucht. Die Carben-induzierte Fragmentierungsreaktion dieser Benzo-7germanorbornadiene führte zu unlöslichen, imidazolinhaltigen, cyclischen Polymeren.

Ein weiterer Teil dieser Arbeit beschäftigt sich mit der Synthese und Untersuchung der Lewissuperaciden Silolyl- und Germolylkationen. Im Laufe dieser Arbeit konnten zwei Germolyltrifluormethansulfonsäureester sowie ein Silolyltrifluormethansulfonsäureester dargestellt werden, wodurch eine gute Abgangsgruppe als Substituent am Tetrelatom eingeführt werden konnte. Diese bieten einen synthetischen Zugang zu den Silolyl- und Germolylimidazoliumtriflaten, den NHC-Addukten der Heterolylkationen. Auf dieser Grundlage konnte die Bindungssituation zwischen den Tetrelatomen und den Imidazoliumsubstituenten experimentell und unterstützend durch quantenmechanische Rechnungen untersucht werden. Es konnte nachgewiesen werden, dass diese Bindungen einen kovalenten Charakter aufweisen. Die Lewis-Superacidität der Silolyl- und Germolylkationen konnte experimentell mit Hilfe der Gutmann-Beckett-Methode bestätigt werden. Diese Ergebnisse wurden durch quantenchemische Rechnungen, wie der FICE13B-Methode unterstützt. Die Reaktivität der Heteroltriflate sowie der Heterolylimidazoliumtriflate wurde in einer Lewis-Säure katalysierten Diels-Alder-Reaktion getestet. Eine Korrelation der Lewis-Acidität der Heterolverbindungen mit den Umsätzen der katalysierten Diels-Alder-Reaktion konnte nicht festgestellt werden. Dennoch zeigten einige der Lewis-aciden Heterolverbindungen einen höheren katalytischen Umsatz als das häufig als Katalysator in Diels-Alder-Reaktionen genutzte Aluminumtrichlorid. Zudem konnte bestätigt werden, dass eine Substitution am Tetrelatom der neutralen Germole und Silole, der Heteroltriflate und der Heterolylimidazoliumtriflate lediglich einen geringen Einfluss auf die elektronische Lage der Frontorbitale dieser Verbindungen sowie auf deren UVvis-Absorptionen im langwelligen Bereich hat.

#### **Abstract**

Low-valent tetrel compounds such as germylenes, silylenes, as well as germyl and silyl cations demonstrate great potential in bond activation reactions like the H<sub>2</sub> bond activation or as catalysts in Diels-Alder reactions. The aim of the present work was to synthesize and investigate new substrates of this compound class and investigate their reactivity. Therefore, in the first part of this thesis, an attempt was made to obtain carbene stabilized germylenes via the carbene induced fragmentation reaction of dibenzo-7-germanorbornadienes. Instead, a different reactivity in the nucleophile induced fragmentation reaction of alkyl substituted dibenzo-7-germanorbornadienes was observed, in which digermabicyclooctadienes were formed. This unexpected reaction was investigated with DFT-methods. In addition, the reactivity of alkyl, aryl, and alkylarylether substituted benzo-7-germanorbornadienes with carbenes was investigated. The carbene induced fragmentation reaction of these benzo-7-germanorbornadienes resulted in insoluble, imidazoline-containing cyclic polymers.

Furthermore, this thesis deals with the synthesis and investigation of the Lewis superacidic silolyl and germolyl cations. Two germolyl trifluoromethanesulfonic acid esters and one silolyltrifluoromethanesulfonic acid ester were prepared in the course of this work. Thereby, a good leaving group was introduced as a substituent at the tetrel atom. This offered a synthetic access to the silolyl and germolyl imidazolium triflates, the carbene adducts of the heterolyl cations. On this basis, the bonding situation between the tetrel atoms and the imidazolium substituents was investigated experimentally. The results were supported by quantum mechanical calculations. These bonds were proven to be of covalent character. The Lewis superacidity of the silolyl and germolyl cations were confirmed experimentally using the Gutmann-Beckett method. These results were supported by quantum chemical calculations such as the FICEt3B method. The reactivity of the heterol triflates and the heterolylimidazolium triflates was tested in a Lewis acid catalyzed Diels-Alder reaction. A correlation of the Lewis acidity of the heterol compounds with the conversion of the catalyzed Diels-Alder reaction could not be established. Nevertheless, some of the Lewis acidic heterol compounds showed a higher catalytic reactivity than aluminum trichloride, which is often used as a catalyst in Diels-Alder reactions

Finally, it was confirmed that a substitution at the tetrel atom of the neutral germols and silols, the heterol triflates and the heterolylimidazolium triflates only has a minor influence on the electronic position of the frontier orbitals of these compounds as well as their UV-vis low energy absorption band.

# Inhaltsverzeichnis

1.	Einleitung	1
	1.1 7-Germa- und Silanorbornadiene	1
	1.2 Germylene und Silylene	6
	1.3 NHC-stabilisierte Germylene und Silylene	10
	1.4 Germylium- und Silyliumionen und stabilisierte Germyl- und Silylkationen	14
	1.5 Germolyl- und Silolylionen	21
2.	Aufgabenstellung und Motivation	27
3	Ergebnisse und Diskussion	31
	3.1. Dibenzo-7-germa- und silanorbornadiene	31
	3.1.1 Synthese und Charakterisierung der Dibenzo-7-germanorbornadiene	31
	3.1.2. Nukeophil-induzierte Fragmentierungsreaktionen der Dibenzo-7-germanorbornadiene	33
	3.1.3 Abfangversuche der Germylene	39
	3.1.4. Theoretische Untersuchungen zum Mechanismus der nukleophil-induzierten Reaktion der Germanorbornadiene zu den Digermabicyclooctadienen	44
	3.1.5 Nukeophil induzierte Fragmentierungsreaktion des alkylsubstituierten Dibenzosilanorbornadiens	
	3.1.5.1 Synthese und Charakterisierung des alkylsubstituierten Silanorbornadiens	47
	3.1.5.2 NHC-induzierte Fragmentierungsreaktion des alkylsubstituierten Silanorbornadiens	49
	3.2. Benzo-7-germanorbornadiene	50
	3.2.1 Synthese und Funktionalisierung der Germole	50
	3.2.2 Charakterisierung der Germole	54
	3.2.3 Synthese der Benzo-7-germanorbornadiene	58
	3.2.4 Charakterisierung der Benzo-7-germanorbornadiene	60
	3.2.5 Studien zur Synthese von Vorstufen der 7-Germanorbornadienylkationen	64
	3.2.6 Theoretische Untersuchungen zu den Zerfallsreaktionen der Vorstufen der 7-Germanorbornadienylkationen	71
	3.2.7 Reaktivität der Benzo-7-germanorbornadiene	74
	3.2.7.1 Nukeophil induzierte Fragmentierungsreaktionen der Benzo-7-germanorbornadiene	74
	3.2.7.2 Theoretische Untersuchungen zur Entstehung des Polymers	78
	3.2.7.3 Charakterisierung des Polymers	80
	3.2.7.4 Abfangversuche des Germylens	83
	3.3. Germolyl- und Silolylkationen	85
	3 3 1 Studien zur Synthese von Germolylkationen	88

	3.3.1.1 Versuchte Synthese von Germolylkationen über eine Hydridtransferreaktio	n 89
	3.3.1.2 Versuchte Synthese von Germolylkationen über eine Germanium- Halogenidtransferreaktion	03
	3.3.2.Studien zur Synthese von Silolylkationen	
	3.3.2.1 Versuchte Synthese von Silolylkationen über eine Hydridtransferreaktion	90
	3.3.2.2 Versuchte Synthese des Silolylkations über eine Silicium-Kohlenstoff- bindungsspaltung	99
	3.3.3 Germolyl- und Silolyltrifluormethansulfonsäureester	. 100
	3.3.3.1 Synthese und Charakterisierung der Germolyl- und Silolyl trifluormethansulfonsäureester	. 101
	3.3.3.2 Synthese eines Germolylkations über die Abstraktion einer Triflatgruppe	. 107
	3.3.4 Synthese und Charakterisierung von Silolyl- und Germolylimidazoliumtriflaten.	. 109
	3.3.5 Untersuchungen der Lewis-Acidität der Heterolverbindungen	. 119
	3.3.5.1 Untersuchungen der Lewis-Acidität der Heterolverbindungen mit der FIC <sup>Et3</sup> Methode	
	3.3.5.2 Untersuchungen der Lewis-Acidität der Heterolylkationen mit der Gutmann Beckett-Methode	
	3.3.5.3 Untersuchungen der Lewis-Acidität der Heterolverbindungen mit der FBN-Methode	
	3.3.5.4 Lewis-Säure katalysierte Diels-Alder-Reaktion	. 132
	3.3.6. Vergleich der spektroskopischen und kristallographischen Eigenschaften der Heteroltriflate, Heterolylimidazoliumtriflate und Heterolyloxyphosphoniumtriflate	. 135
3	.4 Elektronische Eigenschaften der Heterolverbindungen	. 138
	3.4.1 Elektronische Eigenschaften der neutralen Germole und Silole	. 140
	3.4.2 Elektronische Eigenschaften der Heterolylkationen	
	3.4.3 Elektronische Eigenschaften der Heteroltriflate und Heterolylimidazoliumkation	
47	/usammenfassung und Ausblick	
	experimenteller Teil	
	.1 Allgemeine Arbeitstechniken	
Ū	5.1.1.Lösungsmittel und Chemikalien	
	5.1.2 Analysemethoden	
5	.2 Darstellung und Charakterisierung der Verbindungen	
Ū	5.2.1 Vorläuferverbindungen	
	5.2.2 Germole	
	5.2.3 Silole	
	5.2.4 Lewis-Säure katalysierte Diels-Alder-Reaktionen	
	5.2.5 Benzo-7-germanorbornadiene	
	5.2.6 Dibenzo-7-germa(sila)norbornadiene	

5.2.7 Dibenzo-digermabicyclo[2.2.2]octadiene	213
6. Kristallographischer Anhang	215
6.1 Germole	215
6.2 Silole	229
6.3 Sila- und Germanorbornadiene	234
6.4 Sonstige Kristalle	238
7. Details zu den durchgeführten DFT Rechnungen	239
8. Verbindungsverzeichnis	246
9. Abkürzungsverzeichnis	256
10. Literaturverzeichnis	259

# 1. Einleitung

Niedrigkoordinierte Tetrelverbindungen wie Germylene, Silylene oder Germyl- und Silylkationen zeigen großes Potential in der Aktivierung von kleineren Molekülen.<sup>[1-5]</sup> In der Vergangenheit wurden hierzu häufig Übergangsmetallkomplexe benötigt, da diese durch besetzte und unbesetzte energetisch fast entartete d-Orbitale, welche sich zueinander in räumlicher Nähe befinden, sowohl eine oxidative Addition, als auch eine reduktive Eliminierung am Übergangsmetallzentrum ermöglichen.<sup>[6]</sup> Germylene und Silylene bieten jedoch durch ihr unbesetztes Elektronenpaar und ein freies p-Orbital ähnliche Bedingungen und sind somit ebenfalls in der Lage σ-Bindungen zu spalten.<sup>[3]</sup> Dies wird anhand der Wechselwirkungen der Frontorbitale von Übergangsmetallen (ÜM) sowie der Tetrylene mit H<sub>2</sub> in Abbildung 1 dargestellt. Hierbei sollte jedoch beachtet werden, dass die reduktive Eliminierungsreaktion im Fall der Tetrylene weniger begünstigt abläuft. Ein adäquater Ersatz von Übergangsmetallen in der Katalysechemie wird benötigt, da diese in der Regel selten, teuer, giftig und umweltschädlich sind.<sup>[6]</sup>

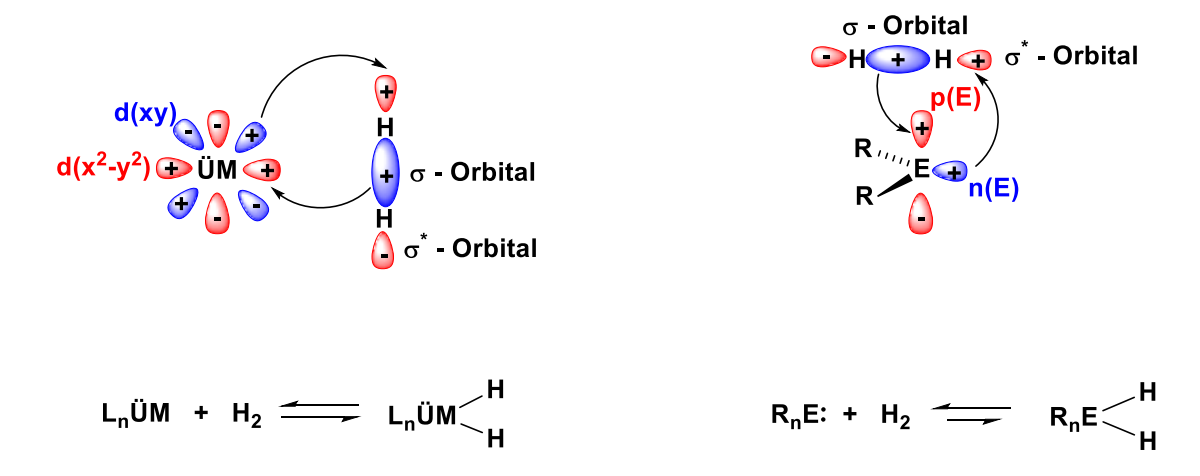


Abbildung 1: Aktivierung von H2 mit Hilfe von Übergangsmetallen und Tetrylenen.

Auch die hochreaktiven Silyl- und Germylkationen finden aufgrund ihrer starken Lewis-Acidität häufig Anwendung in Bindungsaktivierungsreaktionen wie z.B. der C-F-Bindungsaktivierung, Hydrosilylierungsreaktionen und als Katalysatoren in Diels-Alder-Reaktionen.<sup>[7-11]</sup>

## 1.1 7-Germa- und Silanorbornadiene

Zur Darstellung der Germylene und Silylene sind mehrere Syntheserouten bekannt. Eine Möglichkeit besteht in der Photolyse und Thermolyse von 7-Germa- und Silanorbornadienen

in einer  $\alpha$ -Eliminierungsreaktion unter Abspaltung des jeweiligen aromatischen Grundgerüsts. [12-15]

7-Germa- und Silanorbornadiene sind die schwereren Homologen der bicyclischen Kohlenstoffverbindung Norbornadien (siehe Abbildung 2). Hierbei wird das Brückenkohlenstoffatom formal durch ein Germanium- oder Siliciumatom ersetzt. Das Silanorbornadien wurde erstmals 1964 von Gilman *et al.* synthetisiert, während das Germanorbornadien erstmalig 1968 von Zavistoki *et al.* dargestellt wurde.<sup>[16-17]</sup>

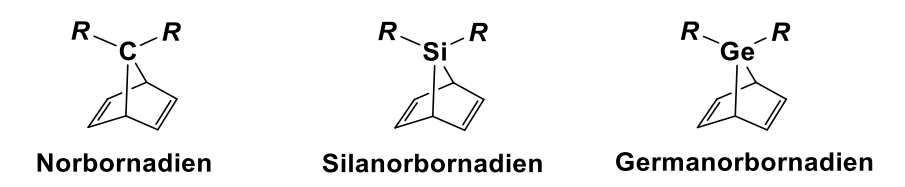


Abbildung 2: Norbornadien, Silanorbornadiene und Germanorbornadien.

Diese Norbornadienderivate weisen aufgrund ihrer ungewöhnlichen Bindungssituation zwischen dem Brückenkopfatom und dem Tetrelbrückenatom einige interessante Eigenschaften auf. Diese resultieren aus einer Hyperkonjugation der Ge/Si-C Bindung zu den Brückenkopfkohlenstoffatomen mit den  $\pi^*$ -Orbitalen der C=C Doppelbindung. Als Folge dessen wird die Germanium/Silicium-Kohlenstoffbindung der Brücke verlängert. Die Stärke der Hyperkonjugation nimmt vom Silanorbornadien zum Germanorbornadien zu.

Zudem führt sie im 7-Silanorbornadien zu einer Entschirmung des Siliciumatoms und daher zu einer starken Tieffeld Verschiebung des Signals im <sup>29</sup>Si NMR Spektrum. <sup>[20-21]</sup> Ferner weisen 7-Germa- und Silanorbornadiene einen spitzen Winkel zwischen den Brückenkopfatomen und dem Germanium- oder Siliciumatom auf. <sup>[22-23]</sup> Diese Eigenschaften machen 7-Germa- und Silanorbornadiene zu wichtigen Vorläuferverbindungen in der Synthese von Germylenen und Silylenen (siehe Schema 1).

Schema 1: Thermolyse- oder Photolysereaktion der Sila- und Germanorbornadiene 1 und 2 zum Silylen/ Germylen 4/5 und dem Naphthalinderivat 3.

In der Thermolysereaktion des Dibenzo-7-germanorbornadiens 6 fungiert das Germanorbornadien 6 selbst als effizientes Abfangreagenz, sodass kein freies Germylen nachgewiesen werden konnte. Stattdessen konnte das Digermabicyclooctadien 7 und

Anthracen **8** erhalten werden (siehe Schema 2). Auch eine Polymerisationsreaktion des Germylens konnte nicht beobachtet werden.<sup>[24]</sup>

Schema 2: Thermisch-induzierte Fragmentierung des Dibenzo-7-germanorbornadiens 6.

Zudem konnte von Lutters et al. gezeigt werden, dass ebenfalls eine Fragmentierungsreaktion eines Silanorbornadiens durch einen nukleophilen Angriff eines N-heterocyclischen Carbens (NHCs) am Siliciumatom möglich ist. Hierdurch kann ein NHC-stabilisiertes Silylen erhalten werden (siehe 1.3).[25] Die nukleophil-induzierte Fragmentierungsreaktion des Germanorbornadiens 6 konnte ebenfalls durch den Einsatz von 4-(Dimethylamino)pyridin (DMAP) und einem Platinkomplex (Ph<sub>3</sub>P)<sub>2</sub>Pt(C<sub>2</sub>H<sub>4</sub>) durchgeführt werden. Analog thermisch-induzierten Fragmentierungsreaktion zur wurde das Digermabicyclooctadien 7 erhalten (siehe Schema 3).[22]

Schema 3: Nukleophil-induzierte Fragmentierungsreaktion des Germanorbornadiens 6 mit anschließender Bildung des Digermabicyclooctadiens 7.[22]

7-Germa- und Silanorbornadiene können auf unterschiedlichen Routen synthetisiert werden. Eine der wichtigsten Synthesemethoden für diese Norbornadienderivate ist die Diels-Alder-Reaktion der Silole oder Germole mit einem Alkin. Als Alkin wird vielfach *in situ* hergestelltes Arin eingesetzt (für eine Beispielreaktion siehe Schema 4).<sup>[12, 16-17, 26]</sup> Möglich ist jedoch auch der Einsatz der Alkine Dimethylacetylendicarboxylat oder Diphenylacetylen.<sup>[27-28]</sup> Diese Synthesemethode ist sehr vielseitig, da diese neben Alkylsubstituenten auch Aryl- oder Hydridosubstituenten am Tetrelatom toleriert.<sup>[26, 29]</sup>

Schema 4: Diels-Alder-Reaktion des Silols/Germols 9 und 10 mit Arin zum Sila- und Germanorbornadiene 1 und 2.

Eine weitere, vor Allem zu Synthese von 7-Germanorbornadienen **6**, genutzte Route ist die intramolekulare Salzmetathesereaktion von Anthracendianionen wie Magnesium- oder Lithiumanthracen **11/12** mit einem Tetreldihalogenid **13/14** (siehe Schema 5).<sup>[24, 30-32]</sup>

Schema 5: Reaktion des Magnesium- oder Lithiumanthracens 11 und 12 mit dem Tetrelhalogenid 13/14 zum Sila- oder Germanorbornadien 15 und 16.

Diese Syntheseroute ist jedoch sehr limitiert und erlaubt nur Alkylsubstituenten am Tetrelatom.<sup>[24, 30]</sup> Diarylgermaniumdichlorid wird durch das Magnesiumanthracen zu unlöslichen Germaniumspezies wie elementarem Germanium oder (Ar<sub>2</sub>Ge)<sub>n</sub>-Polymeren reduziert. Die gleiche Reaktion kann beim Einsatz von GeCl<sub>2</sub>\*(dioxan) beobachtet werden.<sup>[24]</sup> Über die Reaktion des Magnesiumanthracens **12** mit einem Phosphordihalogenid kann ebenfalls ein Dibenzo-7-phosphanorbornadien synthetisiert werden.<sup>[33]</sup>

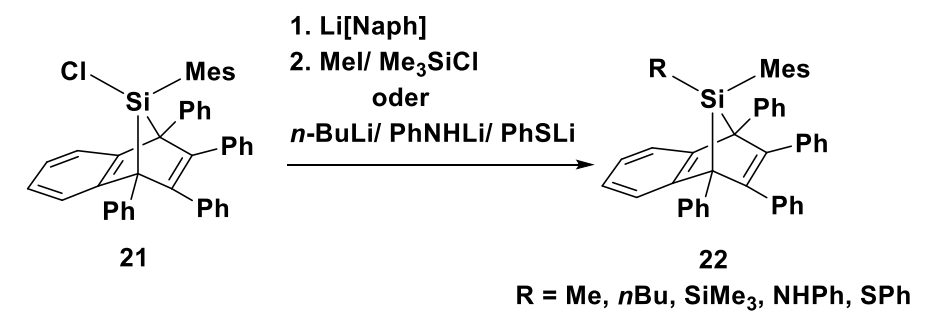
Zudem existiert eine weitere Methode zur Synthese von Dibenzo-7-silanorbornadienen mit sterisch anspruchsvollen Arylsubstituenten. Diese wurde von der Arbeitsgruppe Tokitoh 2007 veröffentlicht (siehe Schema 6). Tokitoh und Mitarbeiter beabsichtigten ursprünglich durch die Deprotonierung von Ha der Verbindung 17 das Silaethenderivat 18 darzustellen. Durch den Einsatz von Lithiumdi isopropylamid (LDA) wurde jedoch Proton Hb deprotoniert. Dies führte zur Bildung des Silanorbornadiens 19. welches mit dem 2,4,6-Tris[bis(trimethylsilyl)methyl]phenyl (Tbt) einen sterisch sehr anspruchsvollen aufwies.[34] Substituenten Gerdes et al. gelang zudem die Synthese von terphenylsubstituierten Silanorbornadienen unter Nutzung dieser Syntheseroute.[23]

Schema 6: Versuchte Synthese des Silaethenderivats 18 und Synthese des Silanorbornadiens 19.

Auch eine weitere Funktionalisierung des Hydridosilanorbornadiens **20** ist möglich. Die von Paladiumdichlorid katalysierte Chlorierungsreaktion mit Hilfe von Tetrachlorkohlenstoff wurde 2005 von Kawachi und Mitarbeitern veröffentlicht (siehe Schema 7).<sup>[28]</sup>

Schema 7: Reaktion des Hydridosilanorbornadiens 20 mit Tetrachlorkohlenstoff zum Chlorosilanorbornadien 21.

Diese Chlorfunktionalität am Silanorbornadien **21** kann genutzt werden, um weitere Substitutionsreaktionen am Siliciumatom des Silanorbornadiens durchzuführen. Über diese Syntheseroute konnten Methyl-, *n*-Butyl-,Trimethylsilyl- und Aminogruppen sowie Sulfide als Substituenten am Silicium eingeführt werden (siehe Schema 8).<sup>[29, 35]</sup>



Schema 8: Funktionalisierung des Chlorosilanorbornadiens 21 zur Verbindung 22.

Eine Substitutionsreaktion kann ebenfalls am Phosphanorbornadien durchgeführt werden. Eine Reaktion des 7-(Dimethylamino)-dibenzo-7-phosphanorbornadiens mit Chlorwasserstoff führt zum 7-Chloro-dibenzo-7-phosphanabornadien.<sup>[36]</sup>

### 1.2 Germylene und Silylene

Bei den Germylenen und Silylenen handelt es sich um die schwereren Analoga der Carbene. Die Tetrelatome sind zweifach koordiniert und besitzen die Oxidationsstufe +II. Im Gegensatz zu (H<sub>2</sub>-substituierten) Carbenen, welche im Triplett-Zustand vorliegen, liegen die Germylene und Silylene im Singulett-Zustand vor. Sie besitzen daher ein unbesetztes p-Orbital (lowest unoccupied molecular orbital (LUMO)), während das freie Elektronenpaar (highest occupied molecular orbital (HOMO)) einen hohen s-Orbitalcharakter aufweist (siehe Abbildung 3).<sup>[3]</sup>

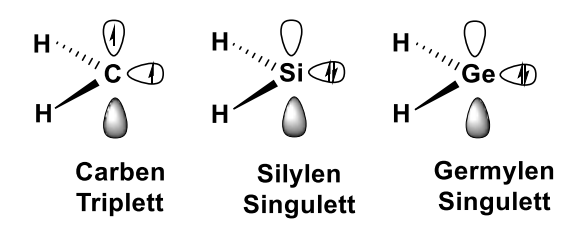


Abbildung 3: Modell-Carben, -Silylen und -Germylen.

Das erste Silylen **23** wurde 1986 von Jutzi synthetisiert, während das erste Germylen **24** 1986 von Lappert dargestellt wurde (siehe Abbildung 4).<sup>[1, 37]</sup>

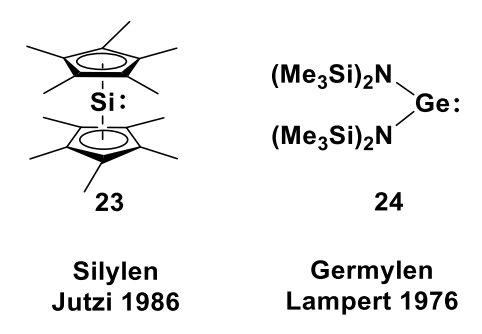


Abbildung 4: Erstes Silylen 23 und erstes Germylen 24.[1, 37]

Seitdem wurde eine große Zahl von Germylenen und Silylenen synthetisiert und untersucht.  $^{[1,38]}$  Zur Stabilisierung dieser reaktiven Spezies werden generell zwei Methoden genutzt (für Beispielverbindungen siehe Abbildung 5). Zum einen kann die thermodynamische Stabilisierung durch Heteroatomliganden (beispielsweise stickstoff-, phosphor-, sauerstoff- oder schwefelhaltige Verbindungen) die  $\pi$ -Donoreigenschaften besitzen, oder durch die von Jutzi genutzte  $\eta^5$ -Koordination an pentamethylcyclopentadienyl (Cp\*)-Liganden genutzt werden.  $^{[1,37,39-40]}$  Die Stabilisierung erfolgt durch eine Wechselwirkung zwischen dem freien

Elektronenpaar des Heteroatoms und dem leeren p-Orbital des Germylens oder Silylens, ein Beispiel hierfür stellen die N-hetero-cyclischen Silylene und Germylene **25** und **26** dar (siehe Abbildung 5). Zum anderen können Germylene und Silylene kinetisch durch sterisch anspruchsvolle Substituenten (wie einem Terphenylsubstituenten im Germylen **27**) stabilisiert werden. Bei dieser Art der Stabilisierung haben die Substituenten keinen Einfluss auf die elektronische Situation des Tetrelatoms.<sup>[41]</sup>

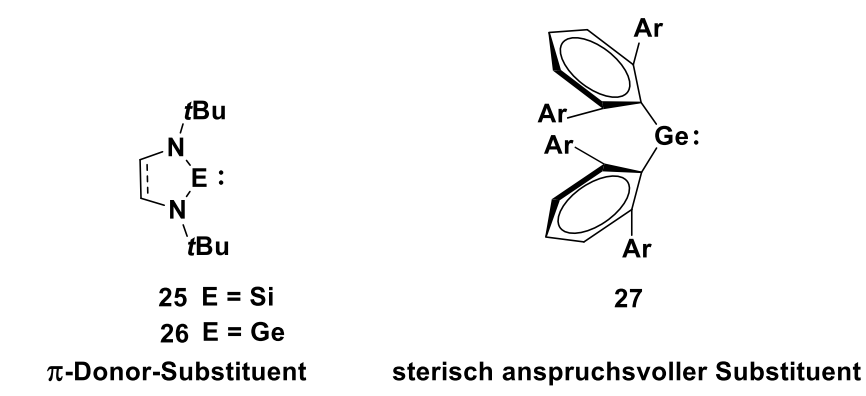


Abbildung 5: Beispielverbindungen für eine Stabilisierung eines Silylens oder Germylens über einen  $\pi$ -Donor-Substituenten 24 und 25 und eine Stabilisierung eines Germylens über einen sterisch anspruchsvollen Substituenten 27. [42-44]

Ein weiteres wichtiges Beispiel für ein sterisch stabilisiertes Silylen wurde 1999 von Kira *et al.* veröffentlicht. Die Synthese des Silylens **29** erfolgt über eine Reduktion mit Hilfe von Kaliumgraphit (siehe Schema 9). [45] Dieses Silylen **29** weist mit einer <sup>29</sup>Si NMR chemischen Verschiebung von  $\delta$  (<sup>29</sup>Si) = 567.4 eine sehr starke Tieffeldverschiebung auf. DFT-Rechnungen bestätigten, dass eine solche Entschirmung des Siliciumatoms charakteristisch für sterisch stabilisierte Silylene ist. [45] Das N-hetero-cylische Silylenen **25** weist dahingegen im Vergleich zum Kira-Silylen **29** mit einer chemischen Verschiebung von  $\delta$  (<sup>29</sup>Si) = 78.3 eine deutliche Hochfeldverschiebung auf. [42] Das Kira-Silylen **29** ist erwartungsgemäß sehr reaktiv. Dies äußert sich zunächst in seiner Thermolabilität. Verbindung **29** lagert bereits bei Raumtemperatur zum Silen **30** um (siehe Schema 9). [45]

Schema 9: Synthese des Kira-Silylens 29 aus einer Salzmetathesereaktion der Verbindung 28 mit anschließender Umlagerung zum Silen 30 beim Raumtemperatur.<sup>[45]</sup>

Zudem konnte eine Reaktivität des Silylens **29** mit kleinen Molekülen wie Isocyanat oder Kohlenstoffdioxid festgestellt werden.<sup>[46]</sup> Eine Reaktion des Silylens **29** mit Kohlenstoffdioxid führt in einem mehrschrittigen Prozess zur postulierten Verbindung **30** (siehe Schema 10).

Diese reagiert mit Wasser zum Bis(silyl)carbonat **32**. Das Entstehen der Verbindung **32** konnte NMR spektroskopisch und röntgenkristallographisch gezeigt werden.<sup>[46]</sup>

Schema 10: Reaktion des Kira-Silylens 29 mit Kohlenstoffdioxid zum Bis(silyl)carbonat 32.

Im gleichen Jahr wie das Silylen **29** wurde zudem das analoge Kira-Germylen **33** veröffentlicht. Die Synthese erfolgte durch den Einsatz von elementarem Natrium und bei Raumtemperatur (siehe Schema 11). Im Gegensatz zum Kira-Silylen **29** ist das entsprechende Germylen **33** auch bei Raumtemperatur stabil und zeigt so die häufig größere Stabilität der Germylene im Vergleich zu den Silylenen. Anders als beim ersten von Lappert veröffentlichten Germylen **24** lag das Kira-Germylen **33** auch im Festkörper nicht als Dimer vor.<sup>[47]</sup>

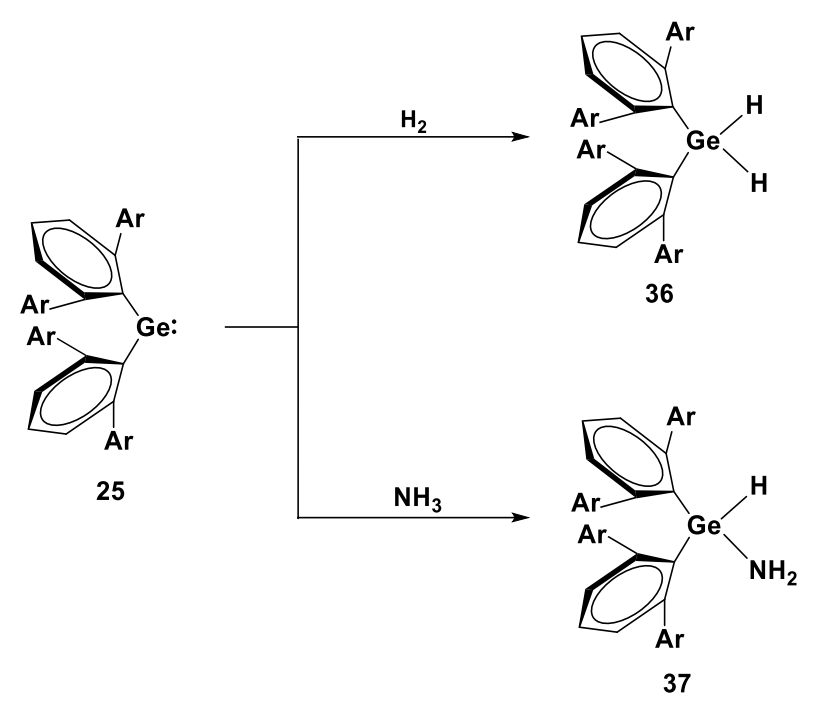
Schema 11: Synthese des Kira-Germylens 33 aus der Salzmetathesereaktion der Verbindung 32.

Das Kira-Germylen **33** zeigt die charakteristischen Reaktivitäten eines Germylens. Dies wird durch eine Additionsreaktion von Dimethylbutadien an das Germylen demonstriert (siehe Schema 12).<sup>[47]</sup>

Schema 12: Reaktion des Kira-Germylens 33 mit Dimethylbutadien zur Verbindung 35. [47]

Das von der Arbeitsgruppe Power 2009 publizierte Germylen **27**, welches durch eine Terphenylsubstitution stabilisiert wird, zeigt eine bemerkenswerte Reaktivität gegenüber kleinen Molekülen. Dies kann anhand einer Bindungsaktivierungsreaktion von Ammoniak bei Raumtemperatur gezeigt werden (siehe Schema 13). Zudem ist das Power-Germylen **27** als eine von wenigen Hauptgruppenverbindungen in der Lage auch H<sub>2</sub> zu aktivieren. Hierzu werden jedoch im Gegensatz zur Aktivierung von Ammoniak höhere Temperaturen benötigt

(siehe Schema 13).<sup>[5]</sup> Die hohe Reaktivität des Germylens **27** kann mit einer kleinen HOMO-LUMO Lücke von 0.69 eV erklärt werden.<sup>[5]</sup>



Schema 13: Reaktivität des Power-Germylens 27 gegenüber NH3 und H2.

Ein weiteres Beispiel eines Silylens, ähnlich dem N-hetero-cyclischen Silylen **25**, wurde 2009 von der Arbeitsgruppe Driess veröffentlicht. Die Synthese dieses Silylens ist in Schema 14 dargestellt. Die <sup>29</sup>Si NMR chemische Verschiebung des Silylens **40** liegt mit  $\delta$  (<sup>29</sup>Si) = 88.4 im gleichen Bereich wie jene des N-hetero-cyclischen Silylens **25**. <sup>[48]</sup>

Schema 14: Synthese des Silylens 40.

Die analoge Germaniumverbindung **41** wurde ebenfalls synthetisiert und untersucht.<sup>[49]</sup> Hierbei konnten erneut unterschiedliche Reaktivitäten eines Silylens und eines Germylens festgestellt werden. So zeigen das Silylen **40** und das Germylen **41** unterschiedliche Reaktivitäten gegenüber Ammoniak (siehe Schema 15). Die Aktivierung des Ammoniaks mit Hilfe des Silylens **40** zum 1,1-Additionsprodukt **42** verläuft erwartungsgemäß. In der Reaktion des Germylens **41** mit Ammoniak bei Raumtemperatur kann hingegen das 1,4-Additionsprodukt **43** als Hauptprodukt isoliert werden.<sup>[50]</sup> DFT- Rechnungen zeigten, dass diese 1,4-Addition im Fall des Germylens begünstigt ist.<sup>[51]</sup>

Schema 15: Reaktionen des Silylens 40 und des Germylens 41 mit Ammoniak. [50]

Zudem ist das Germylen **41** analog zu einem Übergangsmetallkomplex in der Lage eine Hydroborierung von Carbonylverbindungen zu katalysieren.<sup>[52]</sup>

### 1.3 NHC-stabilisierte Germylene und Silylene

Die Stabilisierung von niedrigvalenten Verbindungen mit NHCs ist ein viel angewandtes Konzept in der Hauptgruppenchemie. Über den entweder dativen oder kovalenten Charakter der Bindung zum Carben wurde lange kontrovers diskutiert. 24-56 2016 wurde diese Bindungssituation anhand des NHC-stabilisierten Silylens 44 von Lutters et al. untersucht. 25 Die Bindung des NHCs an das Silylen kann mit Hilfe von zwei Resonanzstrukturen (siehe Abbildung 6) beschrieben werden. Bei der Resonanzstruktur 44A handelt es sich um das dativ am Silylen gebundene NHC, während das NHC in der Resonanzstruktur 44B kovalent an das Silicium gebunden ist. Hierdurch entsteht das neutrale Äquivalent eines Silylanions. Anhand der Daten einer Röntgenstrukturanalyse konnte bereits gezeigt werden, dass die Si-C<sub>NHC</sub> und Si-C<sub>Ter</sub> Bindungen im Silylen 44 beinahe gleich lang sind. Ein Vergleich der Wiberg Bond Indices (WBI) zeigte ebenfalls eine große Ähnlichkeit dieser Bindungen, welche daher auch nicht unterschiedlich beschrieben werden sollten. Hieraus ergibt sich eine größere Übereinstimmung mit der Resonanzstruktur 44B.

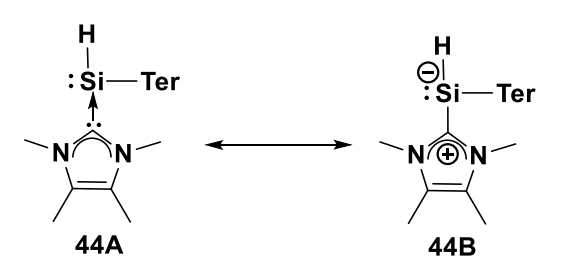
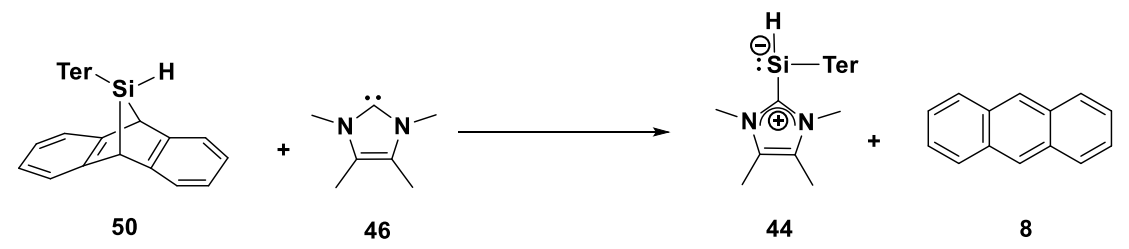


Abbildung 6: Resonanzstrukturen 44A und 44B des Silylens 44.[25]

NHC-stabilisierte Silylene **45** werden im Allgemeinen über zwei Hauptrouten synthetisiert (siehe Schema 16). Zum einen kann die Darstellung dieser Silylene über die Reduktion eines zunächst an NHC **46** koordinierten Siliciumhalogenids **47** erfolgen. Zum anderen ist eine Synthese über die α-Eliminierung von HX aus dem Hydridosilylhalogenid **48** möglich.<sup>[53]</sup>

Schema 16: Häufig genutzte Syntheserouten zur Darstellung der NHC-stabilisierten Silylene 45.

Eine weitere Möglichkeit zur Darstellung von NHC-stabilisierten Silylenen besteht in der NHC-induzierten Fragmentierungsreaktion von Silanorbornadienen (siehe Schema 17). Das Silanorbornadien besitzt ein niedrig liegendes LUMO, welches hauptsächlich am Siliciumatom lokalisiert ist. Dieses Molekülorbital (MO) besitzt einen antibindenden Charakter für beide Si-C-Bindungen des Silanorbornadiens. Daher führt eine Wechselwirkung mit diesem Orbital durch ein Nukleophil wie z. B. dem NHC zu einer Fragmentierung des Silanorbornadiens 50 in Anthracen und das NHC-stabilisierte Silylen 44.



Schema 17: Reaktion des Hydridosilanorbornadiens 50 mit Me4NHC zum NHC-stabilisierten Silylen 44 und Anthracen 8.<sup>[25]</sup>

Das erste NHC-stabilisierte Germylen **51** wurde bereits 1993 von der Arbeitsgruppe Arduengo über eine Reaktion des Germaniumdiiodids **52** mit dem di*iso*propylphenylsubstituierten NHC ( $^{\text{DIPP}}$ NHC) **53** dargestellt (siehe Schema 18). Da das an das Germanium gebundene Kohlenstoffatom der Verbindung **51** im Vergleich zum Carbenkohlenstoffatom einen Verschiebungsunterschied im  $^{13}$ C{ $^{1}$ H} NMR von  $\Delta\delta$  ( $^{13}$ C) = 60.9 aufwies, wurde auch hier auf eine sehr polarisierte kovalente Bindung zwischen dem Germylen und dem NHC geschlossen. Ferner konnte anhand der Bindungslänge zwischen dem Germaniumatom und dem Carben eine C=Ge-Doppelbindung ausgeschlossen werden. [57]

Schema 18: Reaktion des Germaniumdiiodids 52 mit dem DippNHC 53 zum ersten NHCstabilisierten Germylen 51.

Über eine Reaktion des tetramesitylsubstituierten Digermens **54** mit dem *iso*proylsubstituierten Carben (<sup>iPr</sup>NHC) **55** konnten Rupar *et al.* das NHC-stabilisierte diorganosubstituierte Germylen **56** darstellen (siehe Schema 19).<sup>[58]</sup>

Schema 19: Reaktion des tetramesitylensubstituierten Digermens 54 mit <sup>iPr</sup>NHC 55 zum NHCstabilisierten Germylen 56.<sup>[58]</sup>

Das Germylen 56 ist analog zum neutralen Äquivalent des Silylanions 44 isolobal zu Phosphanen. Daher reagiert es mit einem Boran als Base zur Verbindung 57, welche als Carben-Germylen-Boran-Komplex bezeichnet werden kann (siehe Schema 20). In diesem Komplex agiert das Germylen gleichzeitig als Elektronenpaarspender Elektronenpaarempfänger. Eine thermisch-induzierte Bindungsdissoziationsreaktion des NHC-stabilisierten Germylens 56 resultiert in Germylen und freiem NHC. Ersteres kann mit Hilfe des Germylenabfangreagenzes Dimethylbutadien in einer [4+2] Cycloaddition zur Verbindung 58 reagieren (siehe Schema 20). [58] Diese Cycloadditionsreaktion läuft jedoch lediglich mit größeren, organischen Substituenten wie Mesitylen und tert-Butylether ab, während eine Reaktion des dichlorsubstituierten Germylens mit Dimethylbutadien nicht beobachtet werden konnte.[59]

Schema 20: Reaktion des NHC-stabilisierten Germylens 56 mit BH<sub>3</sub> und thermisch-induzierte Fragmentierung des NHC-stabilisierten Germylens 56 mit anschließender Reaktion des freiwerdenden Germylens mit Dimethylbutadien 34.

Über das dichlorsubstituierte NHC-stabilisierte Germylen **59** war es zudem möglich, weitere Substituenten einzuführen (siehe Schema 21). So resultierte die Reaktion des Germylens **59** mit Trimethylsilyltriflat in dem triflatsubstituierten Germylen **60**. Auch die Einführung von weiteren größeren Substituenten wie einer *tert*-Buthylethergruppe im Germylen **61** war über eine Reaktion des Germylens **59** mit Kalium-*tert*-butanolat möglich. Eine Substitution mit sterisch weniger anspruchsvollen Substituenten war jedoch nicht möglich. Die Reaktion des Toluolgrignardreagenzes mit dem Germylen **59** resultierte nicht in einem toluolsubstituierten Germylen. Stattdessen wurde das Oligomer **62** als Hauptprodukt dieser Reaktion isoliert. Die NMR spektroskopische Untersuchung der Reaktionsmischung lieferte zudem Hinweise auf eine weitere Polymerisationsreaktion des Germylens. [60]

Die Ge-C<sub>NHC</sub> Bindungslänge der NHC-stabilisierten Germylene hängt nicht von den verschiedenen elektronischen Eigenschaften der Substituenten ab. DFT-Rechnungen bestätigten hierbei das Fehlen eines Substituenteneffektes. Dennoch beeinflusst die Substitution des Germylens die Bindungsenergie des NHC-Germylen Komplexes.<sup>[61]</sup>

Schema 21: Einführung einer Triflat und einer *tert*-butylether Substitution über die Reaktion des dichlorsubstituierten Germylens 59 mit trimethylsilyltriflat und Kalium-*tert*-butanolat. Die Reaktion des Germylens 59 mit dem Toluolgringnard führte zu einer Oligomerisierung zur Verbindung 62.<sup>[60]</sup>

Der Arbeitsgruppe Rivard war es 2009 zudem gelungen über eine Donor/Akzeptor Stabilisierung durch <sup>Dipp</sup>NHC **53** und Borhydrid das Hydridogermylen **64** zu stabilisieren (siehe Schema 22).<sup>[62]</sup>

$$\begin{array}{c} \text{CI} & \bigoplus \\ \text{BH}_3 \\ \text{:Ge-CI} & \text{H-Ge-H} \\ \\ \text{Dipp-}_{N \bigoplus N}\text{-Dipp} & \underline{\qquad \qquad } \\ \text{-LiCI} \\ \\ \text{-B}_2\text{H}_6 & \text{64} \\ \end{array}$$

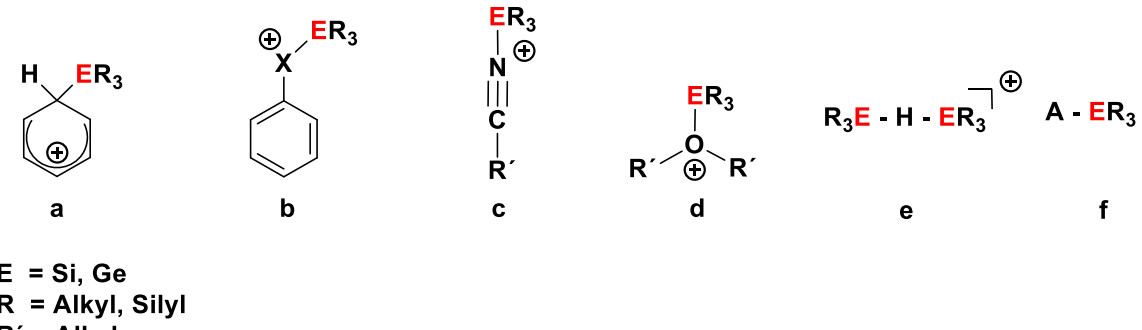
Schema 22: Synthese eines DippNHC- und Borhydrid-stabilisierten Hydridogermylens 64.

#### 1.4 Germylium- und Silyliumionen und stabilisierte Germyl- und Silylkationen

Bei den Germylium- und Silyliumkationen handelt es sich um dreifach koordinierte Siliciumbzw. Germaniumverbindungen, welche eine positive Ladung am Tetrelatom besitzen. Sie sind im Idealfall trigonal planar koordiniert. Die Germylium- und Silyliumkationen bilden die schweren Homologen der Carbeniumionen und gehören zur Gruppe der Germyl- bzw. Silylkationen. Sie weisen eine deutlich höhere Reaktivität als die bereits 1901 dargestellten

Carbeniumionen auf. [63-65] Das erste Silyliumkationen wurde 1997 synthetisiert, während das erste Germyliumkation ebenfalls 1997 dargestellt wurde. [66-67] Ein Grund für die hohe Reaktivität der schwereren Homologen ist die geringere Elektronegativität von Silicium und Germanium im Vergleich zum Kohlenstoff. Hierdurch wird die positive Ladung zu einem größeren Teil am Silicium- bzw. Germaniumatom akkumuliert. Gleichzeitig ist das Siliciumatom und vor allem auch das Germaniumatom wesentlich größer als ein Kohlenstoffatom. Dies führt im Vergleich zu den Carbeniumionen zu geringeren Orbitalüberlappungen mit den Orbitalen der Substituenten. Daher kann die positive Ladung am Tetrelatom weder durch Hyperkonjugation, noch durch π-Konjugation ausgeglichen werden. Dies führt zu einer höheren Lewis-Acidität und hierdurch zu einer hohen Reaktivität gegenüber Nukleophilen. Zudem können größere Atome schwieriger sterisch abgeschirmt werden. Um die Germyl- und Silylkationen dennoch handhaben zu können, kann neben der Verwendung von sterisch anspruchsvollen Substituenten oder der Stabilisierung durch die Bildung eines aromatischen Systems eine Vielzahl von inter- und intramolekularen Stabilisierungsmethoden verwendet werden. [63, 65] In Abbildung 7 sind die gängigsten intermolekularen Stabilisierungsmethoden zusammengefasst. Oftmals werden diese Kationen von Lösungsmittelmolekülen stabilisiert (a-d). Daher ist die Wahl des Lösungsmittels bei der Synthese der Germyl- und Silylkationen entscheidend. Am häufigsten werden aromatische Kohlenwasserstoffe oder halogenierte, aromatische Verbindungen als Lösungsmittel verwendet. Hierdurch bilden sich Silylareniumionen (a) oder silylierte Haloniumionen (b) als Lösungsmittelkomplexe. Durch den Einsatz von Organonitrilen oder Ethern als Lösungsmitteln können Nitriliumionen (c) oder Oxoniumionen (d) entstehen. Durch die Zugabe von Hydridosilanen kann zudem ein verbrücktes Silylkation (e) entstehen. Dieses Molekül weist eine 2-Elektronen-3-Zentren-Bindung auf. Bei besonders reaktiven Verbindungen ist zudem eine Reaktion mit dem Gegenanion möglich (f). [63, 65]

Des Weiteren können die Germyl- und Silylkationen auch intramolekular beispielsweise durch π-Wechselwirkungen mit den Arylsubstituenten, durch H-verbrückte Silylkationen oder durch benachbarte Donorgruppen stabilisiert werden. [8, 68-72]



E = Si, Ge R = Alkyl, Silyl R' = Alkyl X = Cl, Br A = Anion

Abbildung 7: Intermolekulare Stabilisierungsmethoden von Silyl- und Germylkationen.

Um eine Wechselwirkung der Germyl- und Silylkationen mit den Gegenanionen möglichst zu vermeiden, werden in ihrer Synthese sogenannte schwach koordinierende Anionen (weakly coordinating anions (WCAs)) eingesetzt. Eine Auswahl von Beispielen der wichtigsten Vertreter dieser Spezies ist in Abbildung 8 zusammengefasst. Es handelt sich um *closo*-Borate, Carborate, perfluorierte Borate und Aluminate. Die WCAs zeichnen sich durch eine effektive Verteilung ihrer anionischen Ladung aus.<sup>[73]</sup>

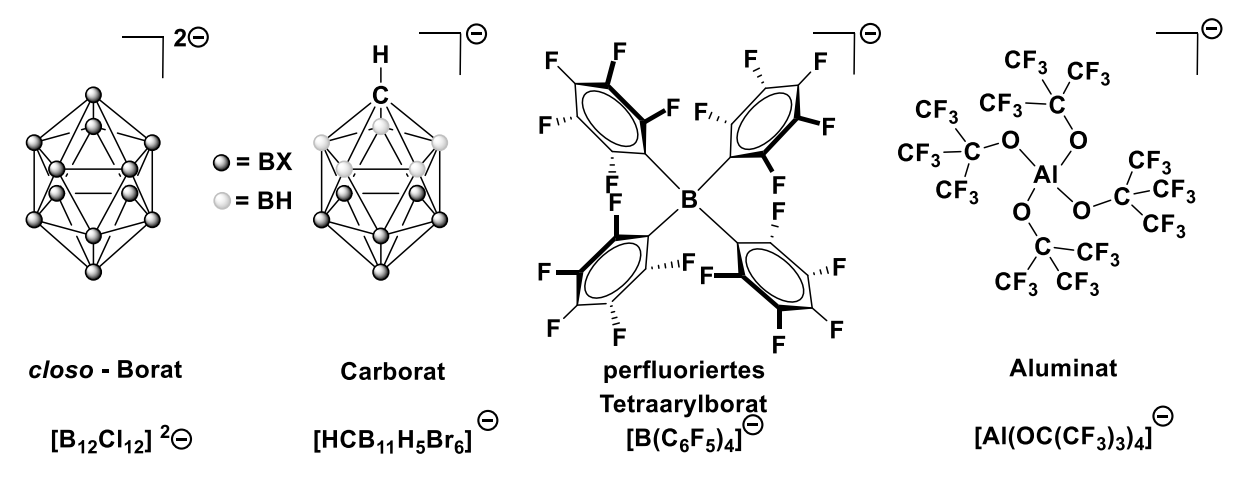
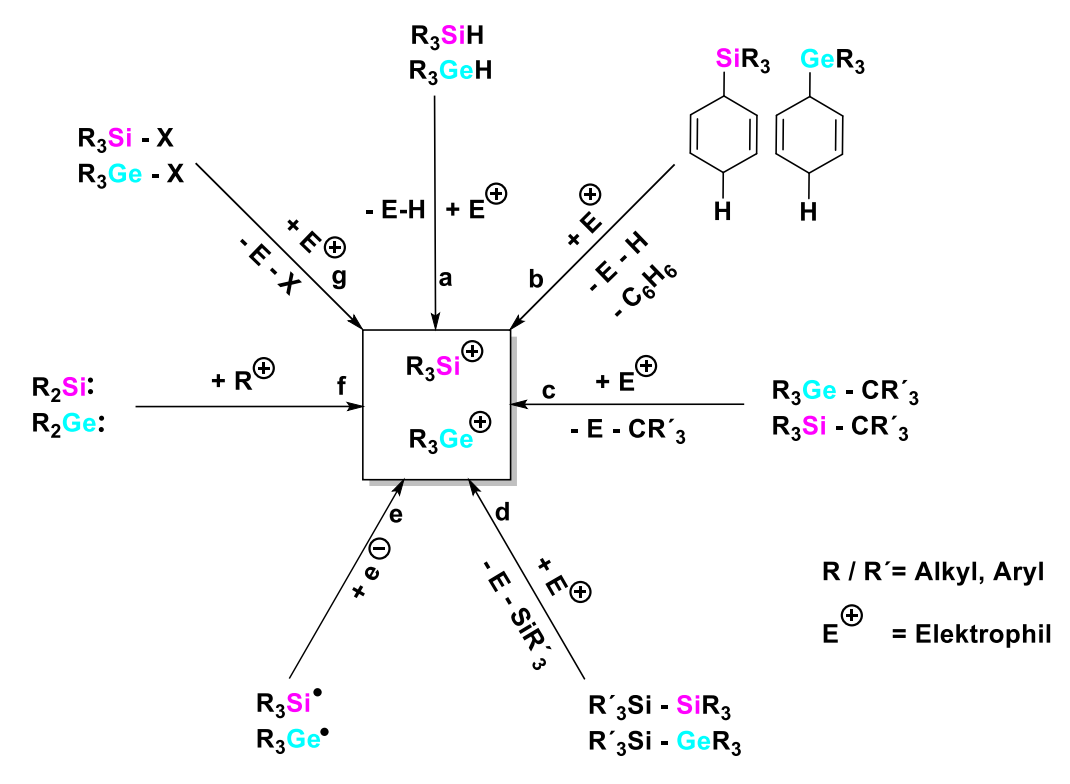


Abbildung 8: Beispiele für schwach koordinierende Anionen.

Die Germyl- und Silylkationen können über eine Vielzahl an Syntheserouten dargestellt werden. Die gängigsten Syntheserouten sind in der Abbildung 9 zusammengefasst. Hierbei werden viele Konzepte der Siliciumchemie erfolgreich auf die Germaniumchemie übertragen. Bei den Syntheserouten a und b handelt es sich um Hydridtransferreaktion. In den Reaktionen С und d finden Siliciumbzw. Germanium-Kohlenstoffund Siliciumbindungsspaltungen statt. Zudem können Germyl- und Silylkationen über die Oxidation eines Radikals (e) oder die Addition eines Elektrophils an ein Tetrylen (f) dargestellt werden. Eine Synthese dieser Kationen über einen Halogenidtransfer (g) ist ebenfalls möglich. [63, 65]



**Abbildung 9**: Mögliche Syntheserouten zur Darstellung von Silylium- und Germyliumkation. [63, 65]

Auf die Hydridtransferreaktion, die Silicium- bzw. Germanium- Kohlenstoffbindungsspaltung, sowie auf die Halogenidtransferreaktion wird im Folgenden genauer eingegangen.

Die Hydridtransferreaktion wird auch als Corey-Reaktion bezeichnet. Es handelt sich um eine Variante der Bartlett-Condon-Schneider-Reaktion. [74-75] Als Hydridtransferreagenz wird das Triphenylcarbenium (Tritylkation) eingesetzt, das Gegenanion bildet ein WCA. Eine Beispielreaktion ist in Schema 23 dargestellt. Hierbei handelt es sich um die Synthese des Bistri*iso*propylphenyl-methylgermyliumkations **66**. Aufgrund der sterischen Hinderung durch die großen Substituenten läuft diese Reaktion recht langsam ab. Für das trimesitylsubstituierte German kann keine Hydridabstraktion beobachtet werden. Das strukturell sehr ähnliche Bismesityl-methylgerman **67** zeigt hingegen eine schnell ablaufende Reaktion mit dem Tritylkation. Anschließend kommt es jedoch zu einer Umlagerung der Substituenten, sodass statt dem analogen Bis-mesitylmethylgermyliumkations das Trimesitylgermyliumkation **68** sowie Trimethylgerman erhalten wird (siehe Schema 23). [76]

iPr 
$$[B(C_6F_5)_4]^{\bigcirc}$$

iPr  $[B(C_6F_5)_4]^{\bigcirc}$ 

Schema 23: Synthese der Germyliumborate  $66[B(C_6F_5)_4]$  und  $68[B(C_6F_5)_4]$  über eine Hydridtransferreaktion der Germane 65 und 67.<sup>[76]</sup>

Eine Hydridtransferreaktion wurde ebenfalls eingesetzt, um das Silanorbornadienylkation **70** darzustellen (siehe Schema 24). Dieses Silylkation benötigte jedoch eine Stabilisierung durch Ether- oder Organonitrilverbindungen als Nitrilium- oder Oxoniumion in der Verbindung **71**.<sup>[26]</sup>

$$[B(C_{6}F_{5})_{4}] \stackrel{\bigoplus}{\ominus} [B(C_{6}F_{5})_{4}] \stackrel{\bigoplus}{\ominus}$$

Schema 24: Hydridtransferreaktion des Hydridosilanorbornadiens 69 zum Silanorbornadienylborat  $70[B(C_6F_5)_4]$  mit anschließender Stabilisierung als Nitrilium- oder Oxoniumionen  $71[B(C_6F_5)_4]$ .<sup>[26]</sup>

Durch den Einsatz eines sterisch anspruchsvollen Terphenylsubstituenten kann aus der Hydridtransferreaktion des Hydridosilanorbornadiens **50** das stabile Silanorbornadienylkation **72** dargestellt und NMR spektroskopisch nachgewiesen werden (siehe Schema 25). Das Nitriliumion dieser Verbindung konnte zudem auch röntgenkristallographisch nachgewiesen

werden. Dieses Silanorbornadienylkation eignet sich als Vorläuferverbindung zur Darstellung eines Silyliumylidens **73** durch thermisch-induzierte Fragmentierung des Silanorbornadienylkations **72** unter Abspaltung von Anthracen.<sup>[23]</sup>

$$[B(C_6F_5)_4]^{\bigcirc} \qquad \qquad [B(C_6F_5)_4]^{\bigcirc}$$

$$Ter Si \stackrel{\text{H}}{\longrightarrow} \qquad [Ph_3C][B(C_6F_5)_4] \qquad \qquad \Delta \qquad \qquad \Delta \qquad \qquad [Ph_3C][B(C_6F_5)_4] \qquad \qquad \Delta \qquad \Delta \qquad \qquad$$

Schema 25: Synthese des Silanorbornadienylborats 72[B(C<sub>6</sub>F<sub>5</sub>)<sub>4</sub>] mit anschließender Fragmentierungsreaktion zum Silyliumylidenborats 73[B(C<sub>6</sub>F<sub>5</sub>)<sub>4</sub>].<sup>[23]</sup>

Das Silyliumyliden **73** konnte nicht isoliert werden. Stattdessen ermöglichte die Verbindung **73** die Aktivierung einer C-H-Bindung in Benzol. Daher wurde im Anschluss der thermischinduzierten Fragmentierung des Silanorbornadienylkations **72** das diphenylsubstituierte Silylkation **74** nachgewiesen. Dieses entstand aus einer C-H-Bindungsaktivierungsreaktion des Silyliumylidens **73** am Benzol mit einer darauffolgenden elektrophilen aromatischen Substitutionsreaktion und einer reduktiven Eliminierung von H<sub>2</sub> (siehe Schema 26).<sup>[23,77]</sup>

Schema 26: Reaktion des Silyliumylidens 73 zum diphenylsubstituierten Silylkation 74. [23, 77]

Die Silicium-Kohlenstoffbindungsspaltung wurde hingegen von Lambert *et al.* genutzt, um das erste freie Silyliumkation **75** zu synthetisieren (siehe Schema 27). Eine Hydridabstraktion war aufgrund der sterisch anspruchsvollen Substituenten nicht möglich. Daher wurde eine Allylgruppe wie eine Art Reißleine als Abgangsgruppe genutzt. Hierbei wird das benzolstabilisierte Triethylsilylkation **76** als starkes Elektrophil genutzt. Bei der Reaktion des Trimesitylallylsilans **77** mit dem Triethylsilylkation entsteht daher unter Abspaltung von Triethylallylsilan das Trimesitylsilyliumion **75**.<sup>[66]</sup>

Mes 
$$[Et_3Si(C_6D_6)][B(C_6F_5)_4]$$
Mes 
$$-Et_3Si(C_3H_5)$$

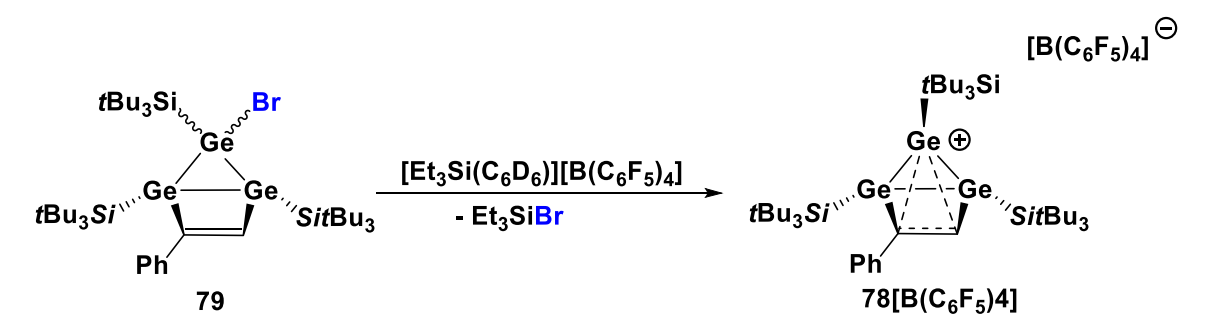
$$-75[B(C_6F_5)_4]$$

$$-75[B(C_6F_5)_4]$$

Schema 27: Synthese des Silyliumborats  $75[B(C_6F_5)_4]$  über eine Silicium-Kohlenstoffbindungsspaltung.<sup>[78]</sup>

In einer analogen Reaktion konnte auch das trimesitylsubstituierte Germyliumborat  $68[B(C_6F_5)_4]$  dargestellt werden, welches ebenfalls aus einer Reaktion des Bis-mesitylmethylgermans mit Tritylborat synthetisiert werden konnte.<sup>[76, 78]</sup>

Der Halogenidtransfer ist eine nur wenig genutzte Syntheseroute zur Darstellung von Germylund Silylkationen. Dennoch gibt es zwei literaturbekannte über diesen Weg synthetisierte Germylkationen. Eines davon ist das von der Arbeitsgruppe Sekiguchi dargestellte Germylkation 78. Analog zur heterolytischen Si-C-Bindungsspaltungsreaktion des Allylsilans 77 wurde auch in diesem Fall das benzolstabilisierte Triethylsilylkation 76 als starkes Elektrophil eingesetzt. Unter Abspaltung von Triethylsilylbromid aus dem German 79 entstand das Germyliumkation 78, welches über Homokonjugation zur Doppelbindung des bicyclischen Systems stabilisiert wird (siehe Schema 28).<sup>[79]</sup>



Schema 28: Synthese des Germylborats 78[B(C<sub>6</sub>F<sub>5</sub>)<sub>4</sub>] über eine Halogenidtransferreaktion.<sup>[79]</sup>

Die Arbeitsgruppe Schnepf nutzte zur Synthese eines Germyliumkations eine Halogenidabstraktionsreaktion mit Hilfe eines Silbersalzes.<sup>[80]</sup>

Silyliumkationen lassen sich ebenfalls über eine Halogenidtransferreaktion über die Reaktion eines Chlor- bzw. Bromsilans mit dem Triethylsilylkation **76** oder einem Silbersalz darstellen.<sup>[81-82]</sup>

#### 1.5 Germolyl- und Silolylionen

Silole und Germole sind die schweren Homolgen des Cyclopentadiens, in welchen das sp<sup>3</sup>hybridisierte Kohlenstoffatom formal durch ein Silicium- oder Germaniumatom ersetzt wurde (siehe Abbildung 10). Sie gehören zur Gruppe der Heterole.

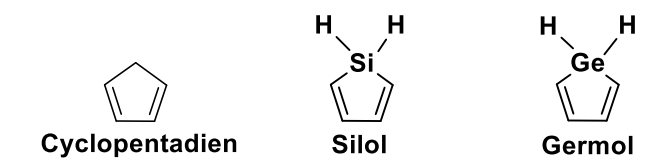


Abbildung 10: Cyclopentadien, Silol und Germol.

Aufgrund ihres im Vergleich zum Cyclopentadien niedrig liegenden LUMOs können sowohl Silole als auch Germole leicht reduziert werden. Zudem ist ebenfalls eine einfache Reduktion eines Halogenheterols zum Heterolmonoanion sowie eine zweifache Reduktion eines Dihalogenheterols zu einem Heteroldianion möglich.<sup>[83-86]</sup>

Aus der einfachen Reduktion der Halogengermole oder Halogensilole entstehen die Germolyloder Silolylmonoanionen (siehe Abbildung 11). Diese bilden die schweren Homolgen des Cyclopentadienylanions. Bei diesem handelt es sich aufgrund seiner sechs delokalisierten π-Elektronen in einem planaren Ring mit gleichlangen Kohlenstoff-Kohlenstoff-Bindungen nach der Hückelregel um eine aromatische Verbindung.<sup>[87]</sup> Die Aromatizität der Germolyl- und Silolylanionen wurde daher umfassend untersucht. Aufgrund der Lokalisierung der negativen Ladung am Germanium- oder Siliciumatom kann jedoch nicht von aromatischen Verbindungen ausgegangen werden. Dies kann durch Hinweise einer röntgenkristallographischen Untersuchung dieser Verbindungen durch klar lokalisierte C=C-Doppelbindungen zwischen Cα und Cβ (für Beschriftung der Kohlenstoffatome siehe Abbildung 11), sowie durch eine Pyramidalisierung der Substituenten um das Tetrelatom nachgewiesen werden. Die Lokalisierung der anionischen Ladung wird ebenfalls durch die <sup>13</sup>C{¹H} und <sup>29</sup>Si{¹H} NMR chemischen Verschiebungen dieser Verbindungen belegt. Diese Ergebnisse wurden durch quantenchemische Rechnungen unterstützt.<sup>[84, 88]</sup>

$$R \ominus$$
 $E = Ge, Si$ 
 $R = SiMe_3, Si(SiMe_3)_3$ 
 $R' = SiMe_3, Me$ 
 $R'' = Me, Ph$ 

Abbildung 11: Nicht aromatisches Germolyl- und Silolylmonoanion.

Werden die Germolyl- und Silolylmonoanionen jedoch als Liganden  $\eta^5$  an Übergangsmetalle koordiniert, weisen diese Anionen durch ähnlich lange  $C\alpha$ - $C\beta$  und  $C\beta$ - $C\beta$  Bindungen und einer planaren Anordnung des Fünfringes eine größere Delokalisierung der Elektronen und einen

gewissen aromatischen Charakter auf.<sup>[84, 89]</sup> Dieser Effekt kann ebenfalls am Germolylanion oder Silylanion, welches η<sup>5</sup> am Kaliumatom koordiniert ist, beobachtet werden.<sup>[90-91]</sup>

Diese Heterolylmonoanionen können über verschiedene Synthesewege dargestellt werden. Die Synthese des Silolylmonoanions **80** erfolgt über eine nukleophile Bindungsspaltung der Silicium-Siliciumbindung des Silols **81** mit Hilfe von Benzylkalium (siehe Schema 29). Die <sup>29</sup>Si NMR chemische Verschiebung dieser Verbindung zeigt erwartungsgemäß mit  $\delta$  (<sup>29</sup>Si) = -41.5 eine Hochfeldverschiebung zum Silol **81** mit  $\delta$  (<sup>29</sup>Si) = -34.3. [<sup>92-93]</sup>

Schema 29: Synthese des Silolylmonoanions 80 über eine Si-Si-Bindungsspaltung des Silols 81.<sup>[92]</sup>

Die Deprotonierung des Hydridogermols **82** führt zum Germolylmonoanion **83** (siehe Schema 30). [94] Auch diese Verbindung weist einen nicht aromatischen Charakter mit einer Lokalisierung der anionischen Ladung am Germaniumatom auf. Dies kann NMR spektroskopisch über eine leichte Tieffeldverschiebung der C $\alpha$ - und C $\beta$ -Signale im  $^{13}$ C $^{1}$ H $^{1}$ NMR Spektrum von  $\Delta\delta$  ( $^{13}$ C) = 10.5 und 3.6 sowie einer deutlichen Tieffeldverschiebung des C $^{1}$ pso-Kohlenstoffatoms des Phenylsubstituenten von  $\Delta\delta$  ( $^{13}$ C) = 29.6 nachgewiesen werden. Zudem weist auch röntgenkristallographisch eine Pyramidalisierung der Substituenten am Germaniumatom und lokalisiert vorliegende Doppelbindungen zwischen C $\alpha$  und C $\beta$  auf den nicht aromatischen Charakter dieser Verbindung hin. [95]

Me<sub>3</sub>Si H
Ph Ge Ph
Ph Ph
82

Me<sub>3</sub>Si 
$$\ominus$$
Ph Ge: Ph
Ph Ph
ILi183

Schema 30: Deprotonierungsreaktion des Hydridogermols 82 zum Germolylmonoanion 83.

Im Gegensatz zu den Monoanionen weisen die Germolyl- und Silolyldianionen mit einer planaren Struktur, ähnlich langen C-C-Bindungslängen im Fünfring einen hohen Grad an Konjugation auf. Ergebnisse von DFT-Rechnungen bestätigen den aromatischen Charakter der Dianionen. Dieses weist sowohl ein am Tetrelatom lokalisiertes, freies Elektronenpaar, als auch ein über den Fünfring delokalisiertes Elektronenpaar auf (siehe Abbildung 12). [84-86, 88, 96]

E = Si, Ge, Sn, Pb R = SiR<sub>3</sub>, Me, Et, Ph R' = Me, Et, Ph

Abbildung 12: Dianionen der Tetrel-Heterole.

Diese Dianionen besitzen neben dem orthogonal zum  $\pi$ -System lokalisierten, freien Elektronenpaar am Tetrelatom auch ein unbesetztes  $\pi$ -Orbital im cyclischen Kohlenstoffsystem, welches eine Polarisation in Richtung des Tetrelatoms aufweist. Hierdurch gleichen die Dianionen elektronisch den N-heterocyclischen Tetrylenen. [1, 97] Durch die Einführung von Trimethylsilylgruppen in der C $\alpha$  Position des Heterols kann dieser Tetrylencharakter verstärkt werden. Dies konnte ebenfalls für die Stannolyl- und Plumbolyldianionen gezeigt werden. [98-100]

Bei den neutralen Heterolylradikalen handelt es sich um eine weitere reaktive Heterolspezies. Die Siloyl- und Germolylradikale **84** können über eine Reduktion der Chlorheterole **85** mit stöchiometrisch eingesetztem Kaliumgraphit dargestellt werden (siehe Schema 31). Die Reduktion von Chlorheterolen mit weniger sterisch anspruchsvollen Substituenten wie einer Phenyl- oder einer *tert*-Butylgruppe führte zur Bildung von Heteroldimeren.<sup>[91]</sup>

$$(Me_3Si)_3Si \qquad CI$$

$$Me_3Si \qquad E$$

$$R \qquad R$$

$$85$$

$$R \qquad R$$

$$85$$

$$R \qquad R$$

$$84$$

$$E = Si, Ge$$

$$R = Me, Ph$$

Schema 31: Synthese der Silolyl- und Germolylradikale 84.[91]

Die Heterolylradikale **84** wurden mittels EPR(Elektronenspinresonanz)-Spektroskopie untersucht. Zudem wurden die entsprechenden Abfangprodukte der Radikale vollständig charakterisiert.<sup>[91]</sup> Weitere neutrale Silolylradikale wurden von West und Mitarbeitern dargestellt und mittels EPR- und UV-vis Spektroskopie untersucht.<sup>[101-102]</sup>

Ein weitaus weniger untersuchtes Feld sind die Heterolylkationen. Bei ihnen handelt es sich um die schwereren homologen Verbindungen zum Cyclopentadienylkation. Nach der Breslowschen  $4\pi$  Elektronen Erweiterung der Hückeltheorie wird das Cyclopentadienylkation als typisches Beispiel für eine anti-aromatische Verbindung bezeichnet. Diese Anti-

Aromatizität liegt jedoch nur im nicht Jahn-Teller-verzerrten Singulett-Zustand vor. Befindet sich das Heterolylkation im Triplett-Zustand handelt es sich nach der Baird-Regel um eine aromatische Verbindung (siehe Abbildung 13).<sup>[87, 103-107]</sup>

anti-aromatisch im Singulett-Zustand aromatisch im Triplett-Zustand

**Abbildung 13**: Heterolylkation im anti-aromatischen Singulett-Zustand und im aromatischen Triplett-Zustand.

Anhand quantenchemischer Berechnungen konnte gezeigt werden, dass der anti-aromatische Charakter der Silolyl-, Germolyl-, Plumbolyl-, und Stannolylkationen im Vergleich zum Cyclopentadienylkation stark abnimmt.<sup>[88]</sup> Die Anti-Aromatizität führt im Gegensatz zu aromatischen Verbindungen zu einer Destabilisierung der Verbindungen und einer hohen Reaktivität. Daher wurde das anti-aromatische Cyclopentadienylkation lediglich in gefrorenem Dichlormethan, festem Antimonpentafluorid oder in inerten Edelgas-Matrizen untersucht.<sup>[105, 108]</sup>

Freie Cyclopentadienylkationen konnten bislang nicht dargestellt werden. Ein Bericht über die Synthese eines Cyclopentadienylkations von Lambert *et al.* erwies sich als falsch.<sup>[109-112]</sup>

Die Germolyl- und Silolylkationen konnten bislang lediglich als Metallkomplexverbindungen dargestellt werden (siehe Abbildung 14). Der Germolyleisenkomplex **86** wurde von der Arbeitsgruppe Jutzi über eine Halogenidtransferreaktion mit Hilfe eines Silbersalzes dargestellt und isoliert. Das Eisentricarbonyl ist in der Verbindung **86** nicht wie in der äquivalenten Cyclopentadienylverbindung  $\eta^5$ , sondern  $\eta^4$  an die Butadieneinheit des Germolrings gebunden. Die kationische Ladung ist hierbei anders als beim Kohlenstoffäquivalent größtenteils am Germaniumatom lokalisiert. Dies zeigt auch die leichte Tieffeldverschiebung der  $^{13}$ C{ $^{1}$ H} NMR chemischen Signale der Ringkohlenstoffatome.  $^{[113]}$ 

Abbildung 14: Eisen- und Kobaltkomplexe des Germolyl- und Silolylkations 86 und 87. [113-114]

Der Kobaltkomplex des Silolylkations **87** konnte lediglich massenspektrometrisch als einziges Fragmentierungsprodukt eines dimethylsubstituierten Silolylkobaltkomplexes nachgewiesen werden.<sup>[114]</sup>

Eine weitere interessante Verbindungsklasse bilden die NHC-Addukte der Heterolylionen. Sindlinger und Mitarbeiter stellten 2020 das NHC-stabilisierte Borolkation 88 über eine Salzmetathesereaktion des chlorsubstituierten Borol-NHC-Addukts dar (siehe Abbildung 15). Diese Verbindung zeigt Anzeichen einer Lokalisierung der kationischen Ladung am Boratom wie sie in Resonanzstruktur 88A gezeigt ist. Dennoch zeigte eine NRT-Analyse (natural resonanz theory), dass die Resonanzstruktur 88B, in dem die kationische Ladung im Imidazoliumsubstituenten lokalisiert ist, mit knapp 50% Beteiligung am Resonanzhybrid dominiert. Dessen ungeachtet weist das Kation 88 im Vergleich zum Chlorborol eine deutliche Absenkung der LUMO-Energie und dadurch eine kleinere HOMO-LUMO-Lücke auf. Zudem konnte mit Hilfe der Gutmann-Beckett-Methode eine im Vergleich zu den neutralen Borolen größere Lewis-Acidität festgestellt werden. [108]

Abbildung 15: Resonanzstrukturen des NHC-stabilisierten Borolkations 88.[108]

Zudem wurde von der Arbeitsgruppe Cui das NHC-stabilisierte Silolylen **89** über eine Dehydrohalogenierungsreaktion des chlorsubstituierten Hydridosilols dargestellt. Bei dieser Struktur handelt es sich um ein Silylen, dessen Resonanzstruktur analog zu den NHC-stabilisierten Silylenen **44** von Lutters *et al.* als imidazoliumsubstituiertes Silolanion oder neutrales Silylanion-Äquivalent **89B** beschrieben werden kann (siehe Abbildung 16).<sup>[25, 115]</sup>

Abbildung 16: Resonanzstrukturen des NHC-stabilisierten Silolylens 89.

Die <sup>29</sup>Si NMR chemische Verschiebung der Verbindung **89** liegt bei  $\delta$  (<sup>29</sup>Si) = -43.6 und somit im gleichen Bereich, wie die siliciumchemische Verschiebung des Silolylanions **80** ( $\delta$  (<sup>29</sup>Si) = -41.5). Zudem kann röntgenkristallographisch sowohl im Silolylanion **80** als auch im neutralen Silolylanion **89** eine pyramidale Anordnung der Substituenten um die Siliciumatome festgestellt werden. <sup>[92, 115]</sup>

## 2. Aufgabenstellung und Motivation

Niedrigkoordinierte Tetrelverbindungen wie Germylene und Silylene oder Germyl- und Silylkationen spielen in übergangsmetallfreien Bindungsaktivierungsreaktionen eine große Rolle.<sup>[1-11]</sup> Daher werden Beispiele dieser Verbindungsklassen in der folgenden Arbeit untersucht.

Von Lutters *et al.* konnte bereits 2016 mit der nukleophil induzierten Fragmentierung von Silanorbornadien **50** eine bisher unbekannte Route zur Darstellung von NHC-stabilisierten Silylenen untersucht werden.<sup>[25]</sup> Anknüpfend an diese Arbeit soll dieses Konzept auf die Germaniumchemie übertragen werden (siehe Abbildung 17). Hierzu sollen zunächst Germanorbornadiene dargestellt und ihre Reaktivität gegenüber Carbenen getestet werden.

Abbildung 17: Vergleich der Reaktivitäten von Silanorbornadien 50 und Germanorbornadienen 90 gegenüber Carbenen 91.

Quantenchemisch konnte bereits für Silanorbornadiene gezeigt werden, dass die Reaktionsenergie der NHC-induzierten Fragmentierungsreaktion, welche im Fall des Anthracengrundgerüsts (siehe Schema 17) fast thermoneutral ist, mit kleiner werdender aromatischer Abgangsgruppe jedoch zunimmt.[116] Daher bieten Germanorbornadiene mit verschiedenen aromatischen Grundgerüsten eine gute Grundlage zur Untersuchung des Einflusses der aromatischen Abgangsgruppen. Entsprechend sollen die Reaktivitäten der verschiedenen Germanorbornadiene 16 und 92 gegenüber Carbenen zunächst experimentell untersucht werden. Ferner soll der Einfluss der Substituenten am Germaniumatom der Germanorbornadiene sowie der Einfluss verschiedener Carbene auf diese Fragmentierungsreaktion ebenfalls untersucht werden (siehe Abbildung 18).

**Abbildung 18**: Vergleich der Reaktivitäten der Germanorbornadiene **16** und **92** mit unterschiedlichen Grundgerüsten und Substituenten am Germaniumatom gegenüber unterschiedlichen Carbenen.

Zudem konnte von Gerdes et al. eine Bindungsaktivierung der C-H-Bindung im Benzol mit Hilfe des Silyliumylidens 73 beobachtet werden, welches aus der thermisch-induzierten Fragmentierungsreaktion des Silanorbornadienylkations 72 dargestellt werden konnte (siehe Schema 25 und 26).[23] Auch dieses Konzept sollte auf die Germaniumchemie übertragen werden, insbesondere da sich das Silyliumyliden 73 als sehr reaktive Spezies erwies.[77] Oxidationsstufe Germaniumverbindungen in der +11 sind generell stabiler Siliciumverbindungen in dieser Oxidationsstufe. Daher sollte das entsprechende Germyliumyliden weniger reaktiv und demzufolge einfacher in Bindungsaktivierungsreaktionen einzusetzen sein. Hierzu sollte zunächst das Germanorbornadienylkation 93 über eine Hydridtransferreaktion des entsprechenden Hydridogermanorbornadiens 94 dargestellt werden (siehe Schema 32).

$$[WCA]^{\bigoplus}$$

$$Ar \bigoplus_{SiMe_3} H$$

$$-Ph_3CH$$

$$94$$

$$93[WCA]$$

$$-Ph_3CH$$

$$93[WCA]$$

$$-Ph_3CH$$

Schema 32: Mögliche Syntheseroute des Germanorbornadienylkations 93 über eine Hydridtransferreaktion des Hydridogermanorbornadiens 94 mit anschließender möglicher Fragmentierungsreaktion zum Germyliumyliden 95.

Aufgrund ihrer analog zum Germyliumyliden **95** ebenfalls sehr hohen Reaktivität sind Germolyl- und Silolylkationen ebenfalls interessante Verbindungen, deren Eigenschaften genauer untersucht werden sollten. Die Heterolylkationen werden voraussichtlich durch ihre Lewis-Acidität eine sehr hohe Reaktivität aufweisen. Daher ist zudem sowohl eine experimentelle als auch eine quantenchemische Bestimmung der Stärke der Lewis-Aciditäten dieser Verbindungen sinnvoll. Experimentell kann hierfür die Gutmann-Beckett-Methode

genutzt werden. In diesem Verfahren führt die Adduktbildung der Lewis-Säure mit einem Phosphanoxid zu einer Tieffeldverschiebung des entsprechenden Signals im <sup>31</sup>P NMR. Diese kann zur Abschätzung der Lewis-Acidität einer Lewis-Säure herangezogen werden. Diese Methode bietet eine gute Grundlage zum Vergleich der Lewis-Acidität der Heterolylkationen mit weiteren Hauptgruppenverbindungen wie den Germyl- und Silylkationen.<sup>[117]</sup>

Die Germolyl- und Silolylkationen **96** und **97** könnten analog zu Silyl- und Germylkationen über eine Hydridtransferreaktion, eine Halogenidtransferreaktion oder eine Tetrel-Kohlenstoffbindungsspaltungsreaktion dargestellt werden (siehe Schema 33).

Schema 33: Mögliche Syntheserouten zur Darstellung der Silolyl- und Germolylkationen 96 und 97.

Um diese reaktiven Spezies stabilisieren und untersuchen zu können, sollten analog zum Borolylkation **88** der Arbeitsgruppe Sindlinger die NHC-Addukte dieser Verbindungen dargestellt werden. [108] Eine Untersuchung der Bindungssituation des Carbens am Tetrelatom und der Lokalisierung der kationischen Ladung dieser Verbindung steht hier im Vordergrund. Die Ladung kann analog der Resonanzstruktur **101A** am Tetrelatom lokalisiert sein (siehe Abbildung 19). Eine weitere mögliche Lokalisierung der kationischen Ladung wird durch die Resonanzstruktur **101B** beschrieben. Hierbei handelt es sich um ein kovalent an das Tetrelatom gebundenes Imidazoliumkation.

$$Ar$$

$$N$$

$$Me_{3}Si \oplus E$$

$$SiMe_{3}$$

$$Ph$$

$$Ph$$

$$101A$$

$$E = Si, Ge$$

$$Ar$$

$$N \oplus N$$

$$N \oplus N$$

$$Ph$$

$$Ph$$

$$Ph$$

$$Ph$$

$$101B$$

Abbildung 19: Resonanzstrukturen der NHC-stabilisierten Heterolylkationen 98.

## 3 Ergebnisse und Diskussion

Die vorliegende Arbeit beschäftigt sich in den ersten zwei Kapiteln mit der NHC-induzierten Fragmentierungsreaktion von Dibenzo-7-germanorbornadienen und Benzo-7germanorbornadienen. Anschließend werden Silolyl- und Germolylkationen untersucht. Zunächst wird auf eine mögliche Synthese eingegangen. Anschließend wird die Synthese und Charakterisierung von Silolyl- und Germolyltrifluormethansulfonsäureestern behandelt. Diese werden als Ausgangsverbindungen für die Synthese von Heterolylimidazoliumkationen genutzt, deren Eigenschaften genauer untersucht werden sollen. Zudem wird auf die Lewis-Acidität der Silolylund Germolylkationen der Heteroltriflate sowie und Heterolylimidazoliumkationen eingegangen. In einem letzten Kapitel werden elektronischen Eigenschaften dieser drei Verbindungstypen untersucht. Zudem wird ebenfalls auf den Einfluss einer 1,1-Substitution der neutralen Germole und Silole auf deren optische und elektronische Eigenschaften eingegangen.

## 3.1. Dibenzo-7-germa- und silanorbornadiene

Im folgenden Kapitel wird zunächst auf die Synthese und Charakterisierung der alkylsubstituierten Dibenzo-7-germanorbornadiene 6 und 102 eingegangen. Anschließend wird die Reaktivität dieser Dibenzo-7-germanorbornadiene 6 und 102 mit einem Carben untersucht. Diese wird mit der Reaktivität des methylsubstituierten Dibenzo-7-silanorbornadiens 103 gegenüber NHCs verglichen.

#### 3.1.1 Synthese und Charakterisierung der Dibenzo-7-germanorbornadiene

Die Dibenzo-7-germanorbornadiene 6 und 102 konnten in einem Schritt aus Magnesiumanthracen 12 mit dem jeweiligen Dialkylgermaniumdichlorid in THF bei T = -35°C in moderaten Ausbeuten synthetisiert werden (siehe Schema 34). Die Synthese der Verbindung 6 wurde bereits 2015 von Cummins et al. publiziert.

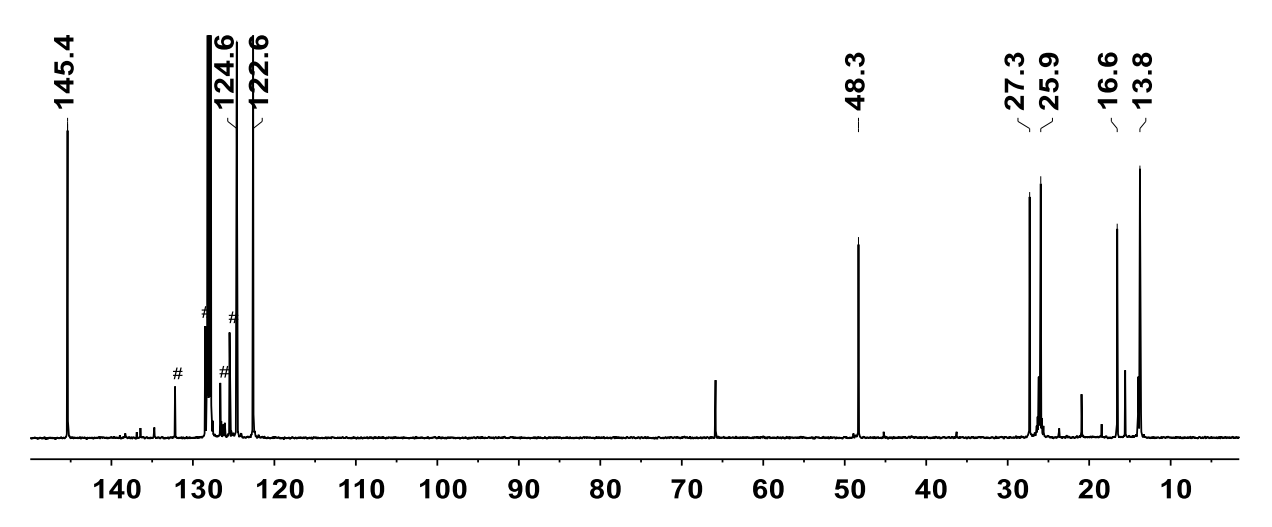
THE THE Mg THF

$$Mg$$
 +  $R_2GeCl_2$  -MgCl<sub>2</sub>
 $6 = R = Me$ 
 $102 = R = nBu$ 

Schema 34: Reaktion des Magnesiumanthracens 12 zum Dibenzo-7-germanorbornadien 6 und 102, Ausbeute 6 = 69% und 102 = 61%.

Diese Syntheseroute ist jedoch sehr limitiert und erlaubt nur Alkylsubstituenten am Germaniumbrückenatom. Diarylgermaniumdichlorid wird durch das Magnesiumanthracen zu unlöslichen Germaniumspezies wie Ge(0) oder (Ar<sub>2</sub>Ge)<sub>n</sub> reduziert. Die gleiche Reaktion kann beim Einsatz von GeCl<sub>2</sub>\*(dioxan) beobachtet werden.<sup>[24]</sup> Auch der Einsatz von tert-Butylgermaniumtrichlorid führte nicht gewünschten 1-Chlor,1-tertzum butylgermanorbornadien. Stattdessen konnten Anthracen und ein unlöslicher schwarzer Feststoff, bei dem es sich mutmaßlich um Ge(0) handelt, nachgewiesen werden. Daher wurden nur dialkylsubstituierten Dibenzo-7-germanorbornadiene untersucht. Neben dem bereits bekannten Dibenzo-7-dimethylgermanorbornadien 6 wurde auch das Dibenzo-7-di-nbutylgermanorbornadien 102 synthetisiert. Die Synthese des Magnesiumanthracenes 12 ist ebenfalls literaturbekannt.[118-119]

Im Folgenden wird nur auf die noch nicht literaturbekannte Verbindung **102** eingegangen. Diese zeigt im  $^1$ H sowie im  $^{13}C\{^1$ H} NMR Spektrum die für (Germa)-Norbornadien typischen Tieffeld-Verschiebungen der Brückenkopf-Methingruppe von  $\delta$  ( $^1$ H) = 3.85 und  $\delta$  ( $^1$ C) = 48.3 (siehe Abbildung 20). Erkennbar ist zudem eine Verunreinigung des Produktes mit Anthracen.



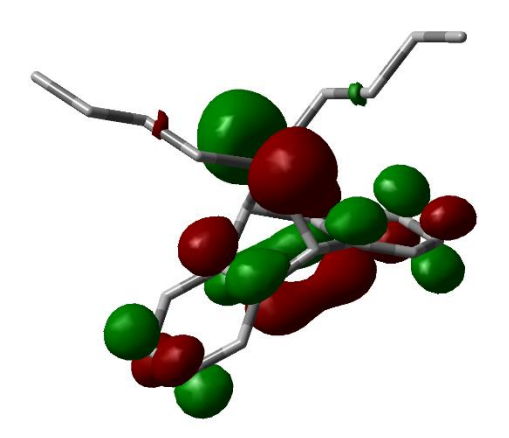
**Abbildung 20**:  ${}^{13}C\{{}^{1}H\}$  NMR Spektrum (125 MHz, 305 K,  $C_6D_6$ ) des Germanorbornadiens **102** (# = Anthracen **8**) weitere Verunreinigungen durch THF und Di-*n*-butylgermaniumdichlorid.

Das mutmaßlich aus dem Magnesiumanthracen **12** stammende Anthracen **8** konnte weder durch Kristallisation noch durch das Filtrieren über Aktivkohle entfernt werden. Auch eine Sublimation ist nicht möglich, da sich das Germanorbornadien **102** schon bei Temperaturen über T = 100°C langsam zersetzt.

## 3.1.2. Nukeophil-induzierte Fragmentierungsreaktionen der Dibenzo-7germanorbornadiene

Für Silanorbornadiene konnte gezeigt werden, dass das LUMO am Siliciumatom den größten Koeffizienten besitzt und eine Knotenebene zwischen dem Siliciumatom und den Brückenkopf-Kohlenstoffatomen beobachtet werden kann.<sup>[18-19]</sup> Ein nukleophiler Angriff erfolgt daher zumeist am Siliciumatom. Die daraus resultierende Fragmentierungsreaktion vom terphenylsubstituierten Silanorbornadien **50** mit NHC wurde 2016 von Lutters *et al.* untersucht.<sup>[25]</sup>

Diese Lokalisation des LUMO auf dem Germaniumatom kann auch bei dem Germanorbornadien **102** durch Dichtefunktionalrechnungen gezeigt werden (siehe Abbildung 21).



**Abbildung 21:** Berechnetes Oberflächendiagramm des LUMOs des Germanorbornadienes **102** (M06-2X/def2-TVZP; *isodensity*-Wert 0.04).

Daher kann auch hier eine Fragmentierungsreaktion durch den Einsatz von Nukleophilen wie NHCs erwartet werden. Eine analoge Fragmentierungsreaktion würde zu den NHCstabilisierten Germylenen **104** und **105** führen (siehe Schema 35). Zunächst wurde mit dem Me4NHC **46** das sterisch am wenigsten anspruchsvolle NHC eingesetzt.

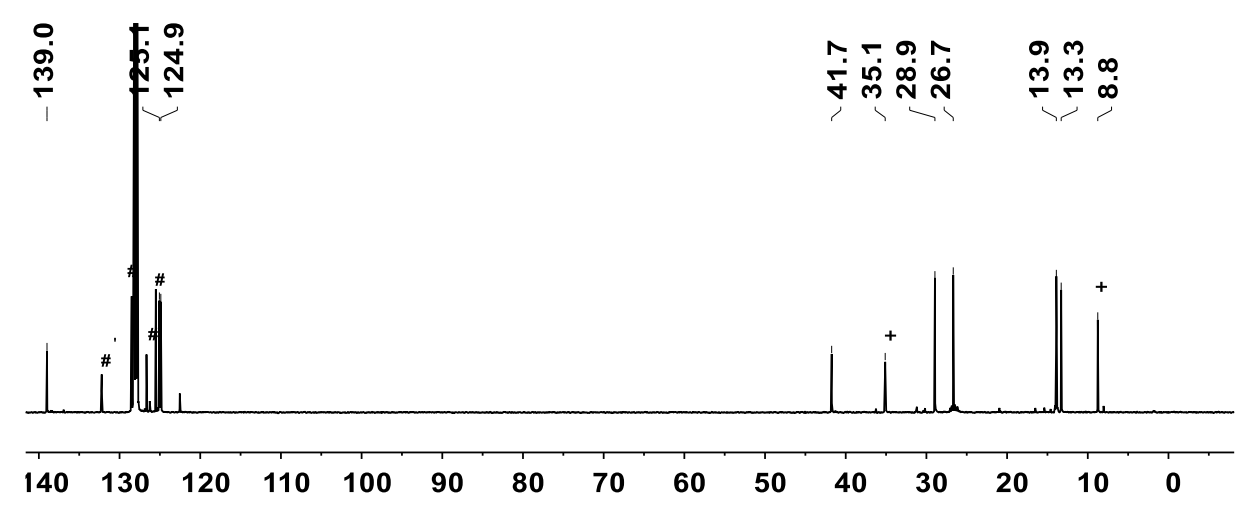
Schema 35: Mögliche Reaktion der Dibenzo-7-germanorbornadiene 6 und 102 mit Me4NHC 46 zu den NHC-stabilisierten Germylen 104 und 105.

Im Gegensatz zu dem von Lutters *et al.* untersuchten Silanorbornadien **50**, welches eine Terphenylsubstitution am Siliciumatom aufwies, wurden in dieser Arbeit Germanorbornadiene mit Alkylsubstitution untersucht. Häufig werden Germylene durch sterisch anspruchsvolle Gruppen wie dem Terphenyl stabilisiert. Jedoch sind auch NHC-stabilisierte Germylene mit kleineren Substituenten wie Halogenen oder *tert*-Butylethern bekannt.<sup>[120]</sup>

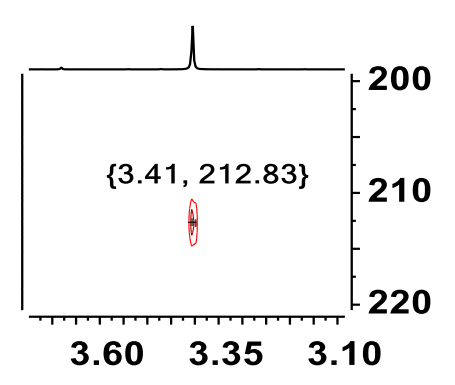
Die Germanorbornadiene 6 und 102 zeigen jedoch ein unerwartetes Reaktionsmuster. Die Reaktion der Germanorbornadiene mit Me4NHC 46 führt zunächst zur vorhergesagten Bindungsspaltung des Germaniums und dem Kohlenstoffgrundgerüst. Anschließend folgt jedoch eine Insertion des Germylens in die Germanium-Kohlenstoff-Bindung des noch nicht umgesetzten Germanorbornadiens 6 und 102. Daher werden bei der Reaktion der Germanorbornadiene 6 und 102 mit NHC 46 nicht die NHC-stabilisierten Germylen 104 und 105, sondern in quantitativer Ausbeute die Digermabicyclooctadiene 7 und 106 erhalten (siehe Schema 36).

Schema 36: Reaktion der Dibenzo-7-germanorbornadiene 6 und 102 mit Me4NHC 46 zu den Digermabicyclooctadienen 7 und 106.

Folgerichtig lässt sich im  $^1H$  und  $^{13}C\{^1H\}$  NMR Spektrum dieser Reaktionsmischung neben Anthracen auch freies NHC **46** nachweisen (siehe Abbildung 22). Der Carbenkohlenstoff mit einer Verschiebung von  $\delta$  ( $^{13}C$ ) = 212.8 ist im  $^{13}C\{^1H\}$  NMR Spektrum nicht erkennbar, kann jedoch über ein  $^1H^{13}C$  HMBC NMR Spektrum nachgewiesen werden (siehe Abbildung 23).



**Abbildung 22:**  $^{13}C\{^{1}H\}$  NMR Spektrum (125 MHz, 305 K,  $C_6D_6$ ) des Digermabicyclooctadiens **106** (+ =  $^{Me4}NHC$  **46**, # = Anthracen **8**).



**Abbildung 23:** Ausschnitt aus dem  $^1\text{H}^{13}\text{C}$  HMBC NMR Spektrum (499.87 MHz, 305 K,  $\text{C}_6\text{D}_6$ ) der Reaktionsmischung des Digermabicyclooctadiens **106** mit  $^{\text{Me4}}\text{NHC}$  **46**.

Zudem zeigen die Kohlenstoff-Brückenkopfatome im <sup>13</sup>C{<sup>1</sup>H} NMR Spektrum eine Hochfeldverschiebung im Vergleich zu den Germanorbornadienen, während sich bei den Brückenkopfprotonen eine Tieffeldverschiebung feststellen lässt (siehe Tabelle 1).

**Tabelle 1:** <sup>1</sup>H und <sup>13</sup>C chemische Verschiebungen der Brückenkopf-Methingruppe der Germanorbornadiene **6** und **102** sowie der Digermabicyclooctadien **7** und **106**.

	δ ( <sup>1</sup> H)	δ ( <sup>13</sup> C)
Germanorbornadien 6	3.73	48.6
Germanorbornadien 102	3.85	48.3
Digermabicyclooctadien 7	3.93	43.0
Digermabicyclooctadien 106	4.28	41.7

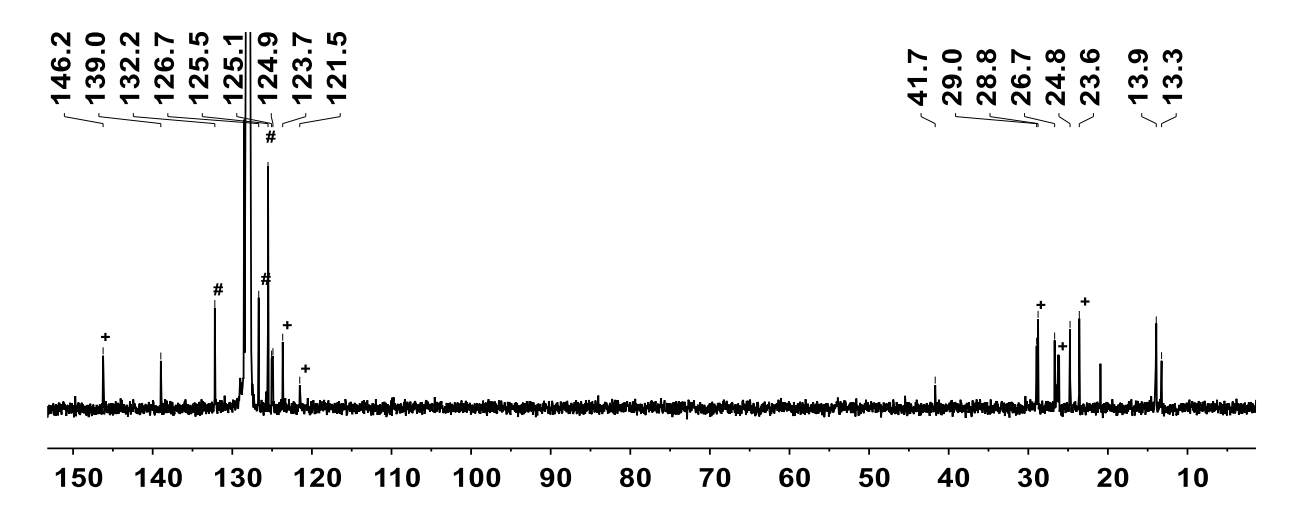
Das Digermabicyclooctadien **106** kann auch durch Erhitzen des Germanorbornadiens über mehrere Stunden auf mindestens T = 100°C erhalten werden (siehe Schema 37). Ein Vergleich der NMR spektroskopischen Daten des bereits bekannten Digermabicyclooctadiens **7** und der ebenfalls über die thermische Route synthetisierten Verbindung **106** bestätigte die

Bildung des [2.2.2] Digerma-Bicycluses **106** in einer Reaktion der Dibenzo-7-germanorbornadiene mit NHC **46**.<sup>[24]</sup> Die nukleophil induzierte Fragmentierung führt innerhalb einer Stunde zu einer quantitativen Umsetzung der Germanorbornadiene **6** und **102**. Auf der thermischen Route hingegen wurde das Germanorbornadien **102** nach 16 Stunden nur zu einem Drittel umgesetzt.

Schema 37: Fragmentierung der Dibenzo-7-germanorbornadiene 6 und 102 bei 100°C.

Da bei den Fragmentierungsreaktionen der Germanorbornadiene mit NHC das Carben wiedererhalten werden konnte, wurde in einem weiteren Versuch das <sup>Me4</sup>NHC **46** in katalytischen Mengen (10 mol%) eingesetzt. Es zeigte sich, dass sich das Digermabicyclooctadien **106** ebenfalls quantitativ bildete.

Ergänzend wurde der Einfluss weiterer Nukleophile auf diese Fragmentierungsreaktion untersucht. Hierzu wurde das Germanorbornadien **102** mit <sup>Dipp</sup>NHC **53** umgesetzt. Der Einsatz des sterisch wesentlich anspruchsvolleren <sup>Dipp</sup>Carbens **53** sollte zu einer möglichen Stabilisierung des intermediär entstehenden Germylens beitragen. Daher wurden in einer Testreaktion das Germanorbornadien **102** und das <sup>Dipp</sup>NHC **53** in C<sub>6</sub>D<sub>6</sub> gelöst. Die Lösung wurde zwei Stunden bei Raumtemperatur gerührt und anschließend NMR spektroskopisch untersucht. Sowohl das <sup>1</sup>H als auch das <sup>13</sup>C{<sup>1</sup>H} NMR Spektrum zeigten die Signale des Anthracens **8**, des freiem <sup>Dipp</sup>NHCs **53** und des Digermabicyclooctadiens **106** (siehe Abbildung 24).



**Abbildung 24:**  $^{13}C\{^{1}H\}$  NMR Spektrum (125 MHz, 305 K,  $C_6D_6$ ) des Digermabicyclooctadiens **106** (+ =  $^{Dipp}NHC$  **53**, # = Anthracen **8**).

Somit ist eine stabilisierende Wirkung des <sup>Dipp</sup>NHCs **53** nicht ausreichend. Zu beachten ist, dass eine Fragmentierungsreaktion auch mit diesem Carben möglich war. Das terphenylsubstituierte Silanorbornadien **50** reagierte hingegen nur mit dem <sup>Me4</sup>NHC **46** (siehe Schema 38). Eine Reaktion mit dem sterisch etwas anspruchsvolleren <sup>iPr</sup>NHC **55** konnte nicht beobachtet werden. <sup>[116]</sup>

Schema 38: Reaktion des Hydridosilanorbornadiens 50 mit Me4NHC zum NHC-stabilisierten Silylen 44 und Anthracen 8.<sup>[25]</sup>

Da auch ein sterisch anspruchsvolleres Carben das in der Fragmentierungsreaktion von Germanorbornadien 6 und 102 entstehende Germylen nicht stabilisieren kann, stellt sich die Frage, ob ein cyclisches-alkyl-amino-Carben (cAAC) durch seine höheren Akzeptoreigenschaften in der Lage wäre, zu einer Stabilisierung des Germylens beizutragen. Hierfür werden die Bindungsdissoziationsenergien der NHC-stabilisierten Germylene verglichen (siehe Tabelle 2).

Tabelle 2: Bindungsdissoziationsenergien (BDE) der stabilisierten Germylene
(M06-2x/def2-TZVP).

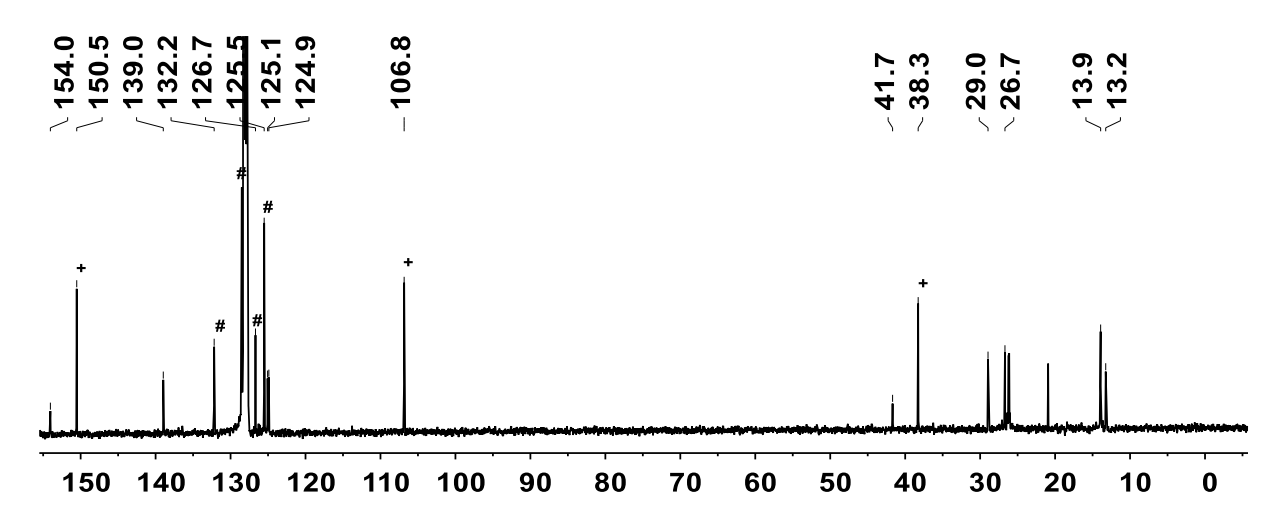
(	/-
Stabilisiertes Germylen	BDE [kJ mol <sup>-1</sup> ]
<i>n</i> Bu₂Ge- <sup>Me4</sup> NHC	155
Me <sub>2</sub> Ge- <sup>Me4</sup> NHC	154
nBu₂Ge-DippNHC	175
<i>n</i> Bu₂Ge-cAAC	122
<i>n</i> Bu₂Ge-DMAP	107

Das cAAC-stabilisierte Germylen weist mit 122 kJ mol<sup>-1</sup> eine geringere BDE als <sup>Me4</sup>NHC- oder <sup>Dipp</sup>NHC-stabilisierte Germylene (154-175 kJ mol<sup>-1</sup>) auf. Daher kann nicht von einer besseren Stabilisierung durch das cAAC ausgegangen werden. Des Weiteren weisen die stabilisierten Germylene auffallend hohe Bindungsenergien auf. Von einer spontanen Bindungsspaltung ist daher nicht auszugehen. Der Mechanismus der Germyleninsertion in die Ge-C-Bindung des Germanorbornadiens sollte hiernach mutmaßlich ohne die vorherige Bindungsspaltung des Germylens und des Carbens ablaufen. Eine alleinige Stabilisierung durch die Lewis-Base ist demnach nicht möglich. Daher ist es fraglich, ob für die Fragmentierungsreaktion der Germanorbornadiene 6 und 102 der Einsatz von Carben notwendig ist, oder ob die gleiche Reaktion auch mit dem Einsatz schwächerer Lewis-Basen ablaufen kann.

Um den Einfluss der Lewis-Basenstärke auf die Fragmentierungsreaktion zu untersuchen, wird Dimethylaminopyridin (DMAP) **107** als schwächere Lewis-Base eingesetzt (siehe Schema 39).

Schema 39: Reaktion des Dibenzo-7-germanorbornadiens 102 mit DMAP 107 zum Digermabicyclooctadien 106.

Analog zu den Fragmentierungsreaktionen mit einem Carben wurde das Germanorbornadien **102** in einem Testversuch in C<sub>6</sub>D<sub>6</sub> gelöst und DMAP **107** zugegeben. Die Lösung wurde für zwei Stunden gerührt und anschließen NMR spektroskopisch untersucht. Sowohl das <sup>1</sup>H als auch das <sup>13</sup>C{<sup>1</sup>H} NMR Spektrum zeigten die Signale des Anthracens **8**, des freiem DMAPs **107** und des Digermabicyclooctadiens **106** (siehe Abbildung 25).



**Abbildung 25:**  $^{13}C\{^1H\}$  NMR Spektrum (125 MHz, 305 K,  $C_6D_6$ ) des Digermabicyclooctadiens **106** (+ = DMAP **107**, # = Anthracen **8**).

Mit diesem Versuch konnte gezeigt werden, dass auch schwächere Lewis-Basen die Fragmentierungsreaktion des Germanorbornadiens initiieren.

#### 3.1.3 Abfangversuche der Germylene

Die Digermabicyclooctadiene 7 und 106 waren nicht die Zielprodukte der Fragmentierungsreaktion der Germanorbornadiene 6 und 102. Da es über diese Syntheseroute nicht möglich ist, die NHC-stabilisierten Germylene 104 und 105 zu erhalten, sollten diese Germylene auf anderem Wege abgefangen werden. In der Literatur sind verschiedene Abfangreagenzien beschrieben. Eine allgemeine Übersicht der in der Literatur beschriebenen Abfangreaktionen ist in Abbildung 26 gezeigt.

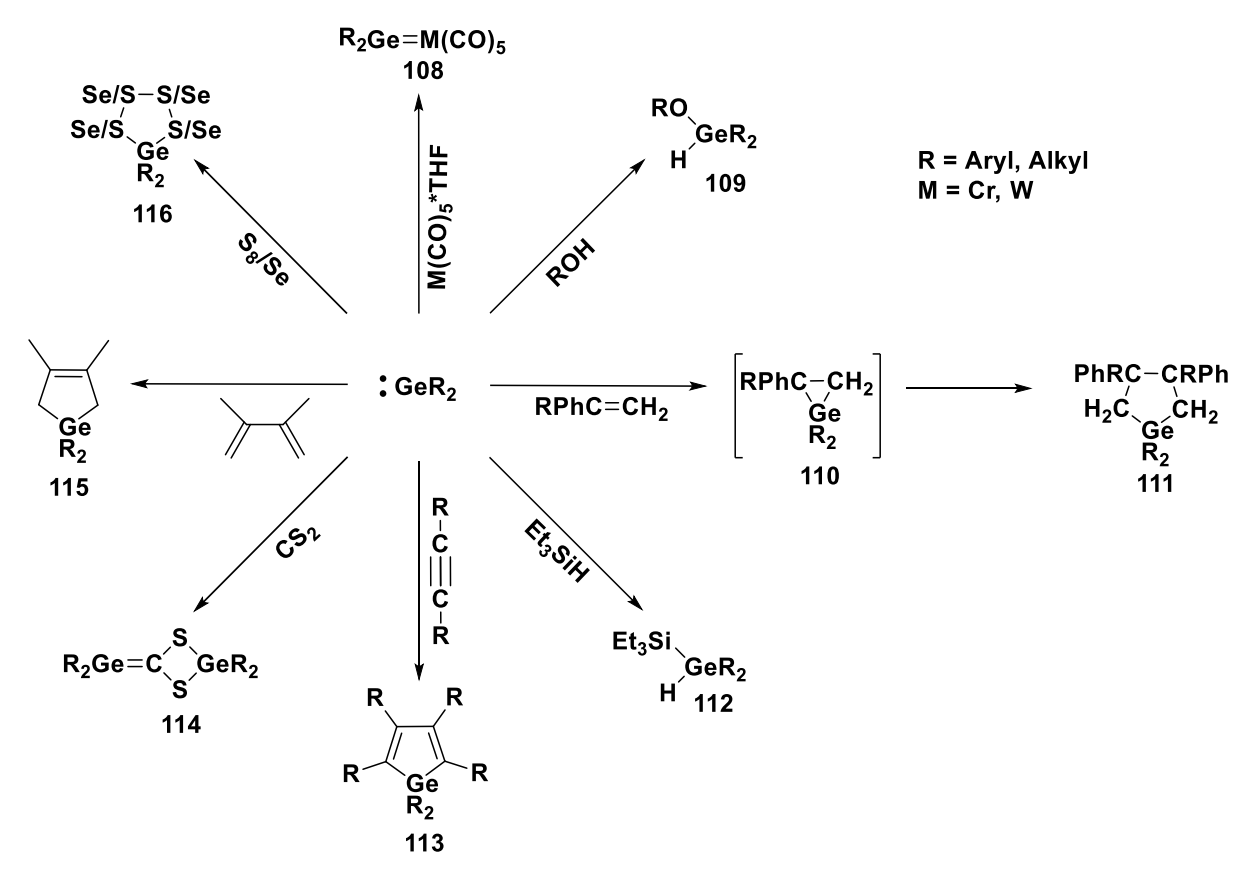


Abbildung 26: Mögliche Abfangreaktionen von Germylenen.[38, 121-125]

In all diesen Reaktionen werden die Germylene jedoch durch Wärme oder Licht freigesetzt. Entsprechend ist die einzige Konkurrenzreaktion der Abfangreagenzien eine Polymerisation der Germylene. Im Falle der Fragmentierungsreaktion der Germanorbornadiene mit Hilfe von Nukleophilen kann es jedoch zudem zu einer Konkurrenzreaktion der Nukleophile mit dem jeweiligen Abfangreagenz kommen. Daher wurde zunächst versucht, das Germylen als NHC-stabilisiertes Germylen mit einer Lewis-Säure abzufangen. Der Arbeitsgruppe Rivard war es 2009 gelungen über eine Donor/Akzeptor Stabilisierung durch DippNHC und Borhydrid das Dihydrogermylen zu stabilisieren [62, 126] (siehe Schema 40).

Schema 40: Synthese von DippNHC und Lewis-Säuren (LAs) stabilisierten Hydridogermylenen 64 und 117.

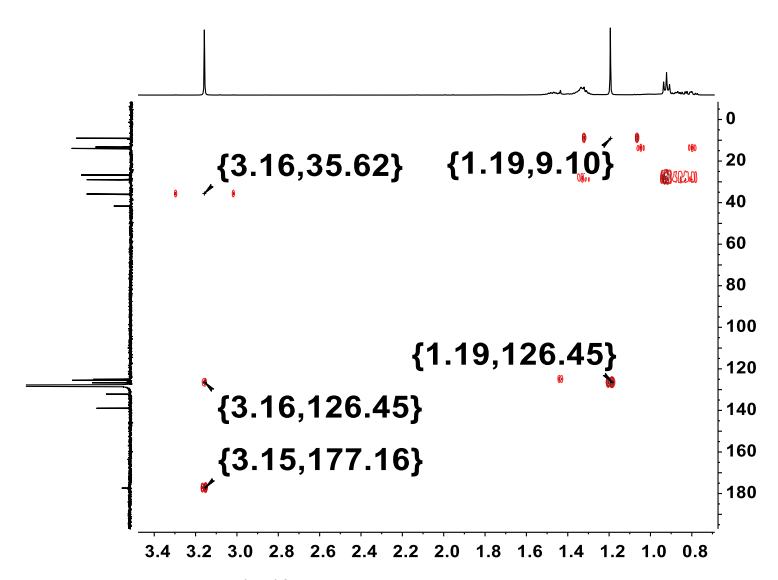
Folglich wurde in einer Testreaktion das Germanorbornadien **102**, sowie Tris(pentafluorphenyl)boran (BCF) in C<sub>6</sub>D<sub>6</sub> gelöst. Zur Initiierung der Fragmentierungsreaktion

wurde Me4NHC **46** zugegeben. Die Lösung wird für eine Stunde gerührt. Hierbei konnte das Ausfallen eines schwarzen Feststoffes beobachtet werden. Die Probe wurde anschließend NMR spektroskopisch untersucht. Sowohl das <sup>1</sup>H als auch das <sup>13</sup>C{<sup>1</sup>H} NMR Spektrum zeigten die Signale von Anthracen **8** und dem Digermabicyclooctadien **106**, jedoch keine Signale die sich dem Me4NHC **46** oder dem BCF zuordnen ließen. Im <sup>11</sup>B NMR Spektrum war kein Signal erkennbar. Daher ist davon auszugehen, dass es sich bei dem schwarzen Feststoff um ein Zersetzungsprodukt handelt. Das stabile Me4NHC-BCF Addukt konnte nicht nachgewiesen werden. [127]

In einem weiteren Versuch wurde anstelle des BCFs ein Eisencarbonyl als Lewis-Säure eingesetzt. In einem Kontrollversuch konnte zuvor gezeigt werden, dass das Germanorbornadien **102** nicht mit dem Dieisennonacarbonyl (Fe<sub>2</sub>CO<sub>9</sub>) reagiert. Nach der Zugabe von Me<sup>4</sup>NHC **46** konnten jedoch erneut im <sup>1</sup>H und <sup>13</sup>C{<sup>1</sup>H} NMR Spektrum nur Signale des Digermabicyclooctadiens **106** sowie Anthracen **8** nachgewiesen werden. Zudem konnten die Signale der neu entstandenen NHC-Spezies dem Eisencarbonyl-Me<sup>4</sup>NHC Addukt **118** zugeordnet werden (siehe Schema 41).[128]

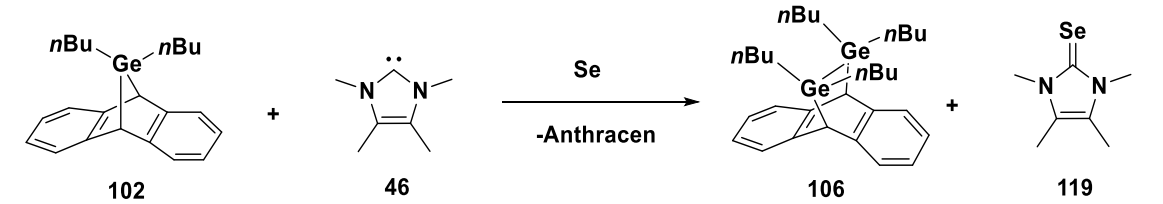
Schema 41: Reaktion des Dibenzo-7-germanorbornadiens 102 mit NHC 46 und der Lewis-Säure Dieisennonacarbonyl zum Digermabicyclooctadien 106 und dem Eisencarbonyl-Me4NHC Addukt 118.

Zu beachten ist die Verschiebung des ehemaligen Carbenkohlenstoffatoms im  $^{13}C\{^1H\}$  NMR Spektrum. Dies ist mit einer Verschiebung von  $\delta$  ( $^{13}C$ ) = 177.1 deutlich hochfeldverschoben (siehe Abbildung 27).

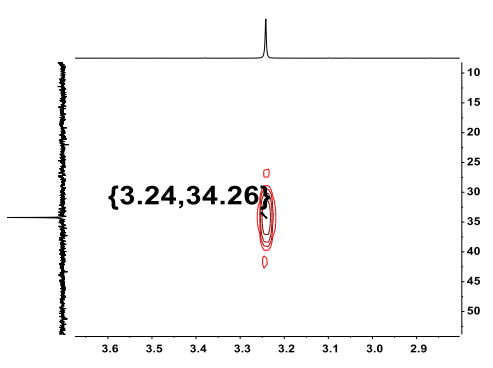


**Abbildung 27:** Ausschnitt aus dem <sup>1</sup>H<sup>13</sup>C HMBC NMR Spektrum (499.87 MHz, 305 K, C<sub>6</sub>D<sub>6</sub>) der Reaktionsmischung des Digermabicyclooctadiens **106** mit <sup>Me4</sup>NHC-Fe(CO)<sub>4</sub>.

Da sich auch durch die Zugabe einer Lewis-Säure zum Fragmentierungsreaktionsgemisch kein Donor/Akzeptor stabilisiertes Germylen darstellen lässt, wurde stattdessen versucht das Germylen direkt abzufangen. Hierfür wurde elementares Selen eingesetzt und analog zu den vorherigen Versuchen mit dem Germanorbornadien **102** und <sup>Me4</sup>NHC **46** in  $C_6D_6$  gelöst und für zwei Stunden gerührt. Auch in diesem Versuch ließ sich das Germylen nicht abfangen, sondern insertierte in die Ge-C-Bindung des Germanorbornadiens **102**. Anhand der <sup>1</sup>H und <sup>13</sup>C{<sup>1</sup>H}, sowie der <sup>77</sup>Se{<sup>1</sup>H} NMR chemischen Verschiebung von  $\delta$  (<sup>77</sup>Se) = 34.2 ließ sich zudem das Selenimidazolin **119** als Nebenprodukt charakterisieren<sup>[129]</sup> (siehe Schema 42 und Abbildung 28).



Schema 42: Reaktion des Dibenzo-7-germanorbornadiens 102 mit Me4NHC 46 und Se zum Digermabicyclooctadien 106 und Selenimidazolin 119.



**Abbildung 28:** Ausschnitt aus dem  $^1$ H  $^{77}$ Se HMBC NMR Spektrum (499.87 MHz, 305 K,  $C_6D_6$ ) des Selenimidazolin **119**.

Ein Abfangversuch mit trockenem Methanol konnte die Insertion des Germylens in den Germanorbornadienbrückenkopf unterbinden. Jedoch führte dieser Abfangversuch nicht zum in Abbildung 26 beschriebenen Germaniumhydrid 109, sondern zu diversen Zersetzungsprodukten. Bei einer säulenchromatographischen Aufreinigung konnten lediglich Anthracen 8 und Imidazolin charakterisiert werden. Weitere Zersetzungsprodukte konnten nicht identifiziert werden.

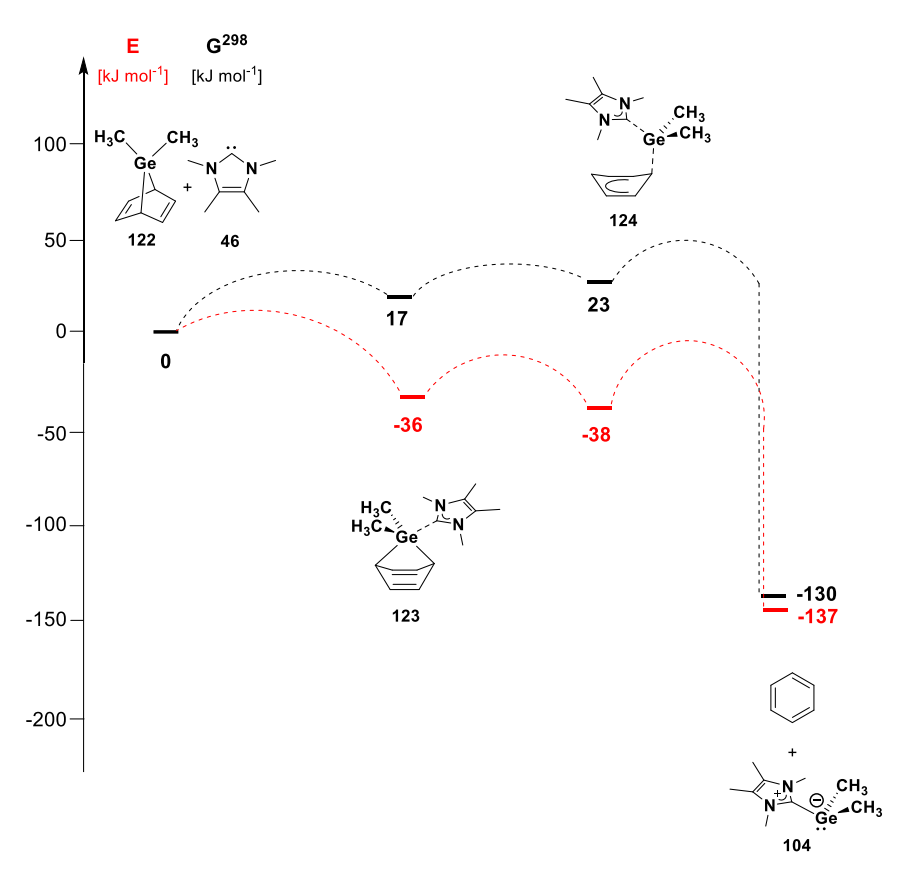
Um Nebenreaktionen mit dem Me4NHC 46 auszuschließen wurde die Fragmentierung des Germanorbornadiens 102 durch Erhitzen initiiert. Als Abfangreagenz wurde elementarer Schwefel eingesetzt. Das Germanorbornadien 102 wurde in Toluol gelöst und in Gegenwart von elementarem Schwefel über mehrere Stunden auf 100°C erhitzt. In diesem Versuch konnte die Insertion des Germylens ebenfalls unterbunden werden. Das Germylen reagierte jedoch nicht zum in Abbildung 26 dargestellten Digermadithietan 116. Stattdessen ließen sich in einem GC-MS Spektrum eine Vielzahl von germaniumhaltigen Spezies nachweisen. Daher scheinen die Germanorbornadiene 6 und 102 die besten Abfangreagenzien für die entstandenen Germylenen zu sein. Die Triebkraft dieser Reaktion ist wahrscheinlich die Verringerung der Ringspannung des Germanorbornadiens.

Das von der Arbeitsgruppe Neumann untersuchte methylsubstituierte Benzo-7-germanorbornadien **120** (siehe Schema 43) wird ebenfalls als effizientes Abfangreagenz beschrieben.<sup>[130]</sup>

Schema 43: Methylsubstituiertes Benzo-7-germanorbornadien 120 als Germylenabfangreagenz.

## 3.1.4. Theoretische Untersuchungen zum Mechanismus der nukleophilinduzierten Reaktion der Germanorbornadiene zu den Digermabicyclooctadienen

Für die Fragmentierungsreaktion von Silanorbornadien **50** mit NHC **46** ist bereits ein Mechanismus zur Entstehung des NHC-stabilisierten Silylens vorgeschlagen worden. Dieser konnte auf Germanorbornadiene übertragen werden (siehe Abbildung 29). Die Reaktion beginnt mit dem nukleophilen Angriff des NHCs **46** an das Germaniumatom des Germanorbornadiens **122** (Begegnungskomplex **123**). Dieser Schritt ist exotherm (und leicht endergon). Der erste Germanium-Kohlenstoffbindungsbruch in der Modellverbindung **124** ist leicht exotherm, während der zweite Bindungsbruch unter Aromatisierung des Kohlenstoffgerüstes stark exotherm ist. Die Aromatisierung ist daher die Triebkraft dieser Reaktion.

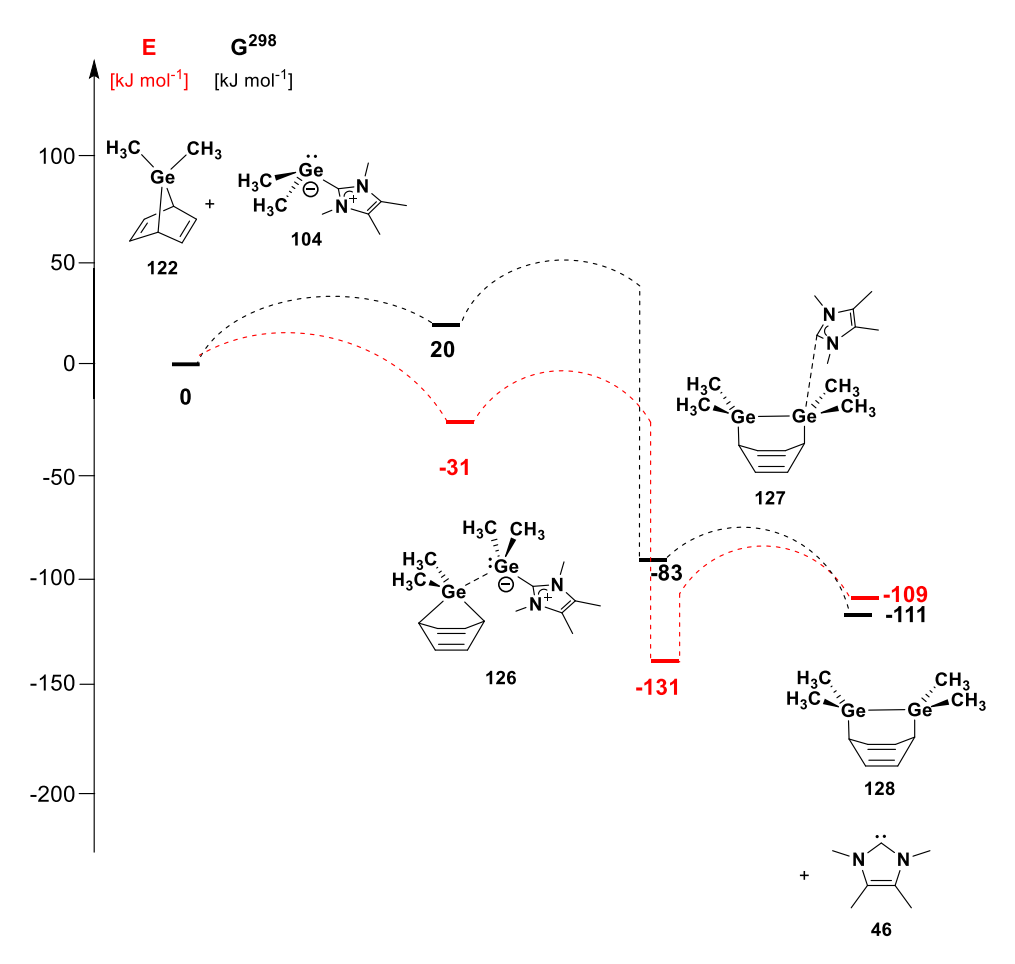


**Abbildung 29**: Berechnete Reaktionskoordinaten der Reaktion der Modellverbindung **122** mit Me<sup>4</sup>NHC **46**. Die Hartree-Fock Energien (E) sind rot und die freie Enthalpie G<sup>298</sup> sind schwarz gekennzeichnet (M06-2X/6-311+G(d,p)).

Der nächste vorstellbare Schritt ist die Spaltung des NHC-stabilisierten Germylenes **104** in freies <sup>Me4</sup>NHC **46** und Dimethylgermylen **125** (siehe Schema 44).

Schema 44: Spaltung des NHC-stabilisierten Dimethylgermylens 104.

Die Bindungsdissoziationsenergie dieser Germanium-Kohlenstoffbindung ist jedoch mit 154 kJ mol<sup>-1</sup> sehr hoch und schließt einen solchen Reaktionspfad aus. Wahrscheinlicher ist daher ein direkter Angriff des NHC-stabilisierten Germylenes **104** an das Germaniumatom des zweiten Germanorbornadiens **122** (siehe Abbildung 30). Dieser Schritt unter Ausbildung des Begegnungskomplexes **126** ist exotherm.

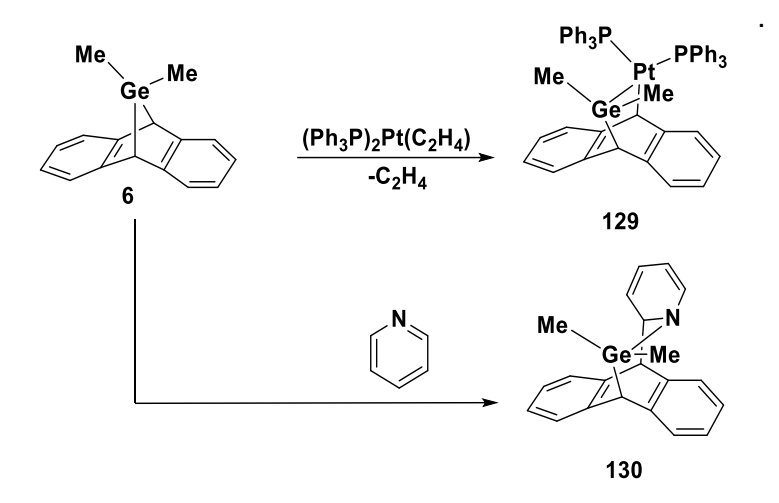


**Abbildung 30**: Berechnete Reaktionskoordinaten der Reaktion des Model-Germanorbornadiens **122** mit dem NHC-stabilisierten Germylen **104**. Die Hartree-Fock Energien (E) sind rot und die freie Enthalpie G<sup>298</sup> sind schwarz gekennzeichnet (M06-2X/6-311+G(d,p)).

Die Insertion des Germylens in die Ge-C-Bindung des Germanorbornadiens ist, wie erwartet, stark exotherm, da sie die Ringspannung verringert. Der C-Ge-C Winkel der Germanorbornadienbrücke der Verbindung **122** liegt bei 75.9°. Im Digermabicyclooctadien

**128** ist der entsprechende C-Ge-Ge Innenwinkel mit 94.8° deutlich vergrößert. Der letzte Reaktionsschritt ist leicht endotherm.

Diese Ergebnisse wurden im Rahmen dieser Arbeit von September 2017 bis Oktober 2018 erzielt. Im Juni 2019 publizierte die Arbeitsgruppe Cummins eine nukleophil induzierte Fragmentierung des Germanorbornadiens 6 mit anschließender Insertion des Germylenes in die Germanium-Kohlenstoffbindung des Germanorbornadiens. Die Reaktion wurde durch Pyridin und DMAP 107, sowie einem Platinkomplex (PPh<sub>3</sub>)<sub>2</sub>Pt(C<sub>2</sub>H<sub>4</sub>) initiiert.<sup>[22]</sup> Sowohl die Pyridin- als auch die Platin- induzierte Fragmentierung liefen wesentlich langsamer ab, sodass in beiden Fällen ein Zwischenschritt charakterisiert werden konnte. Hierbei handelt es sich um die Insertion des Nukleophil in die Germanium-Kohlenstoffbindung des Germanorbornadiens (siehe Schema 45).



**Schema 45**: Zwischenprodukte der Pyridin und Platin induzierten Fragmentierung von Dibenzo-7-germanorbornadien **6**.<sup>[22]</sup>

## 3.1.5 Nukeophil induzierte Fragmentierungsreaktion des alkylsubstituierten Dibenzo-7-silanorbornadiens

Um den Effekt einer Alkylsubstitution besser untersuchen zu können, wurde analog zum Germanorbornadien **6** das Dibenzo-7-dimethylsilanorbornadien **103** synthetisiert. Im Anschluss sollte dessen Reaktivität mit Nukleophilen untersucht und mit den bereits untersuchten NHC-stabilisierten terphenylsubstituierten Silylenen **44** verglichen werden.<sup>[25]</sup>

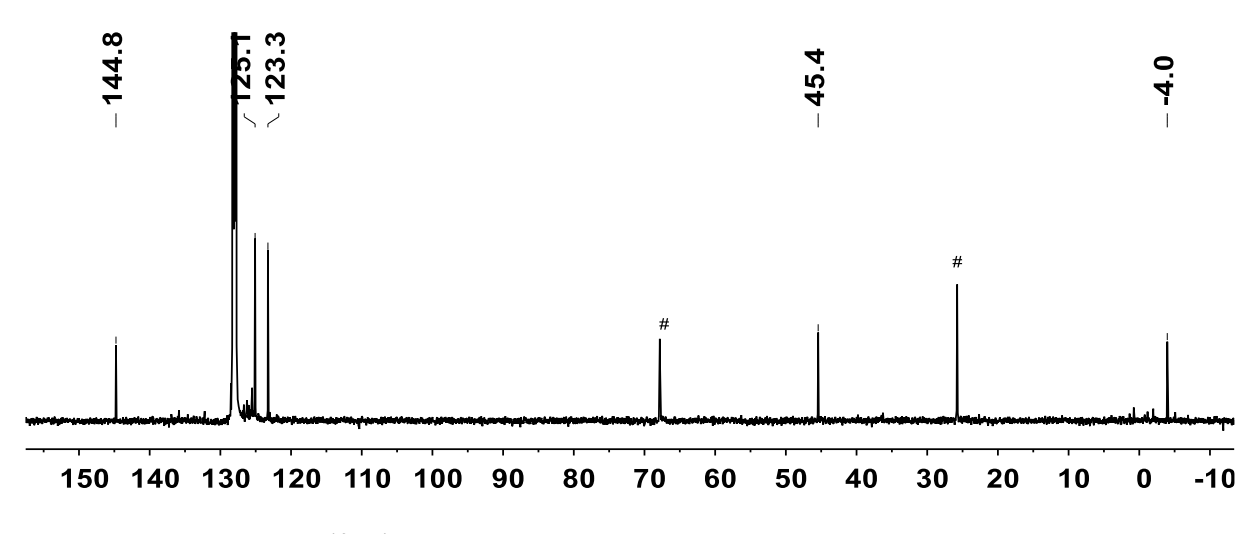
#### 3.1.5.1 Synthese und Charakterisierung des alkylsubstituierten Silanorbornadiens

Zur Synthese des Silanorbornadiens **103** konnte ebenfalls die Salzmetathesereaktion des Magnesiumanthracens **12** mit Dimethyldichlorsilan genutzt werden (siehe Schema 46).

Schema 46: Reaktion des Magnesiumanthracens 12 zum Silanorbornadien 103.

Dieses Silanorbornadien wurde bereits 1985 von der Arbeitsgruppe Neumann über eine sehr ähnliche Reaktion mit Lithiumanthracen und Dimethyldichlorsilan synthetisiert. Die Ausbeute dieser Reaktion lag jedoch bei lediglich 9%. Während das Silanorbornadien **103** in der oben beschriebenen Reaktion mit Magnesiumanthracen in THF bei T = -35°C in einer Ausbeute von 80% synthetisiert werden konnte. Zudem konnten von der Verbindung **103** Einkristalle erhalten werden, die sich für eine XRD-Analyse eigneten.

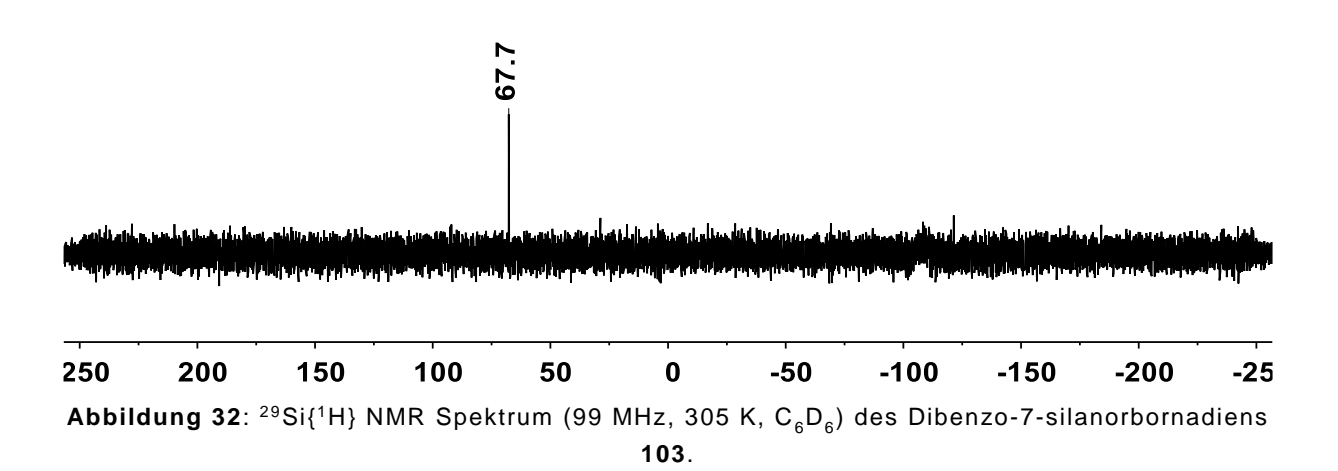
Auch das Silanorbornadien **103** zeigt die für Norbornadiene typischen Verschiebungen der Atome der Brückenkopf-Methingruppe von  $\delta$  ( $^{1}$ H) = 3.51 und  $\delta$  ( $^{13}$ C) = 45.4 (siehe Abbildung 31). Beide Methylsubstituenten des Siliciums sind, genau wie im Germanorbornadien **6** und **102**, magnetisch äquivalent.



**Abbildung 31:**  $^{13}C\{^{1}H\}$  NMR Spektrum (125 MHz, 305 K,  $C_6D_6$ ) des Dibenzo-7-silanorbornadiens **103** (# = THF).

Zudem weist das Silanorbornadien **103** mit dem Siliciumatom als Brückenatom einen weiteren NMR aktiven Kern auf. Im  $^{29}$ Si $^{1}$ H $^{1}$  NMR Spektrum des Silanorbornadiens **103** ist ein Signal bei  $\delta$  ( $^{29}$ Si) = 67.7. zu erkennen (siehe Abbildung 32). Im Vergleich zum Dimethyldiphenylsilan

welches ein Signal bei  $\delta$  (29Si) = -8.0 zeigt, handelt es sich also um eine deutliche Tieffeldverschiebung. [20, 29, 131]



Eine solche Tieffeldverschiebung ist charakteristisch für Silanorbornadiene. Andere Vertreter dieses Verbindungstyps zeigen je nach Substitutionsmuster Verschiebungen im  $^{29}Si\{^1H\}$  NMR im Bereich von  $\delta$  ( $^{29}Si)$  = 20.9 bis 97.7  $^{[20\cdot2\cdot1]}$ , wobei hier vor allem die weitere Substitution am Siliciumatom relevant ist. Die strukturell sehr ähnliche Verbindung 7-Dimethyl-benzo-7-silanorbornadien weist mit  $\delta$  ( $^{29}Si)$  = 65.6 eine fast identische Verschiebung zum Silanorbornadien 103 auf. Die Tieffeldverschiebung des Signals im  $^{29}Si\{^1H\}$  NMR ist eine Folge der ungewöhnlichen Bindungssituation des Siliciums. Sie resultiert aus einer Hyperkonjugation der SiC- $\sigma$ -Bindung und der  $\pi^*$ -Orbitale der C-C-Doppelbindung des Norbornadien-Grundgerüstes. Diese führt ebenfalls zu einem energetisch tiefliegendem LUMO.  $^{[20]}$  Eine weitere Folge dieser Wechselwirkung lässt sich in der Kristallstruktur des Silanorbornadiens 103 erkennen (siehe Abbildung 33).

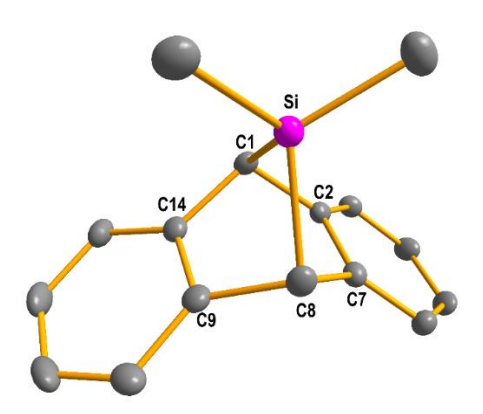


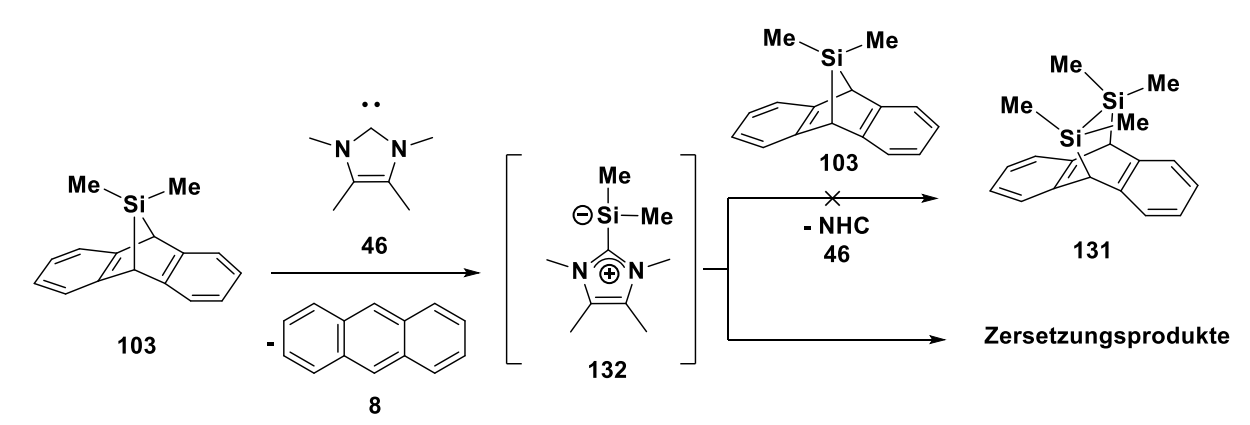
Abbildung 33: Molekülstruktur des Silanorbornadiens 103 im Kristall (thermische Ellipsoide mit 50% Aufenthaltswahrscheinlichkeit, die Wasserstoffatome sind zur besseren Übersichtlichkeit nicht abgebildet), Wichtige Bindungslängen [pm]:

Si-C1 193.0(2); Si-C8 194.2(2); C2-C7 140.40(26); C9-C14 141.09;

Hier ist ein mit 193.0 pm deutlich vergrößerter Abstand zwischen dem Siliciumatom und den Kohlenstoffatomen C1 und C8 zu beobachten. Ein Vergleich mit anderen Silicium-Kohlenstoffeinfachbindungen wie der Bindungslänge zwischen dem Siliciumatom und den Methylgruppen C15 oder C16 (185.2 und 185.7 pm) zeigt diesen Effekt. Auch der C1-Si-C8 Winkel des Silanorbornadiens ist mit 81.0° im Vergleich zu einem idealen Tetraederwinkel von 109.5° sehr spitz. Zudem sind die Bindungen zwischen C2 und C7, sowie zwischen C9 und C14 mit 140.4 pm und 141.1 pm gegenüber den durchschnittlichen C-C-Bindungen des Anthracens (138.6 pm) leicht verlängert.

# 3.1.5.2 NHC-induzierte Fragmentierungsreaktion des alkylsubstituierten Silanorbornadiens

Die Reaktion des Silanorbornadiens **103** mit <sup>Me4</sup>NHC **46** in C<sub>6</sub>D<sub>6</sub> führte nicht zur Bildung des analogen Disilaoctadiens **131** (siehe Schema 47). Stattdessen lässt sich im <sup>1</sup>H und <sup>13</sup>C{<sup>1</sup>H} NMR Spektrum nur eine Zersetzung des vermutlich entstandenen <sup>Me4</sup>NHC-Dimethylsilylen Addukts **132** beobachten. In der photolytisch-induzierten Fragmentierungsreaktion eines 7-Dimethyl-benzo-7-silanorbornadiens konnte hingegen die Insertion des Silylens in die Silicium-Kohlenstoffbindung des Silanorbornadiens beobachtet werden.<sup>[14]</sup>



Schema 47: Reaktion des Silanorbornadiens 103 mit Me4NHC 46.

Zudem belegt das Vorhandensein von Anthracen, dass eine Fragmentierung des Silanorbornadiens **103** stattgefunden hat. Die Reaktion zum <sup>Me4</sup>NHC-Dimethylsilylen Addukt **132** ist jedoch mit 179 kJ mol<sup>-1</sup> deutlich endotherm. Dies deutet auf eine geringe Stabilität des NHC-Silylenaddukts **132** hin.

Die Reaktion der Dialkylgermanorbornadiene mit NHC zu den NHC-stabilisierten Germylenen **104** und **105**, sowie die Bildung des terphenylsubstituierten NHC-stabilisierten Silylen **44** sind hingegen leicht exotherm (-15.4 kJ mol<sup>-1</sup> (**104**), -12.8 kJ mol<sup>-1</sup> (**105**), -6.5 kJ mol<sup>-1</sup> (**44**)). Daher

kann das terphenylsubstituierte Silylen als NHC Addukt dargestellt werden. Die alkylsubstituierten Germylen-NHC Addukte sind ebenfalls stabil, lassen sich jedoch bevorzugt vom Germanorbornadien abfangen. Zusammenfassend lässt sich die Reaktivität der alkylsubstituierten Germanorbornadiene 6 und 102 mit der Reaktivität ihres Silicium-Analogon 103, aufgrund der Instabilität der Verbindung 132, nicht vergleichen.

## 3.2. Benzo-7-germanorbornadiene

Wie bereits in der Einleitung beschrieben, sind Germanorbornadiene über mehrere einstufigen Syntheserouten zugänglich. Neben der Salzmetathesereaktion Magnesiumanthracen ist eine viel genutzte Syntheseroute die Diels-Alder-Reaktion von Germolen mit einem Alkin.[12] Der Vorteil dieser Route besteht in der Möglichkeit, Germanorbornadiene mit einer asymmetrisch substituierten oder arylsubstituierten Germaniumbrücke synthetisieren zu können. In diesem Kapitel wird zunächst auf die Synthese und Charakterisierung von disubstituierten Germolen eingegangen. Um die Reaktivität der Dibenzo-7-germanorbornadiene 6 und 102 mit den Benzo-7-germanorbornadienen vergleichen zu können, wurde eine Reihe von alkylsubstituierten Germolen synthetisiert. Zudem wurden arylsubstituierte Germole synthetisiert, um anschließend mögliche Abgangsgruppen wie Hydride oder Allylgruppen am Germaniumatom des Germols einzuführen. Ferner wurden zwei phenylethersubstituierte Germole dargestellt gegebenenfalls ein Löslichkeitsproblem in der Folgechemie der Benzo-7-germanorbornadiene zu beheben.

### 3.2.1 Synthese und Funktionalisierung der Germole

Die Germole wurden nach einer zuerst von Fagan und Nugent beschriebenen Methode synthetisiert [132-133] (siehe Schema 48). Hierbei handelt es sich um eine der möglichen Syntheserouten zur Darstellung von Germolen, weitere mögliche Routen sind z.B. in einem kürzlich erschienenen Übersichtsartikel zusammengefasst. [134] Das Dichlorgermol 133 wurde nach einer bekannten Synthesevorschrift präpariert. [135-136] Im ersten Schritt reagiert das in Pentan suspendierte Zirconocendichlorid 134 bei T = -90°C mit zwei äquivalenten n-Butyllithium (n-BuLi) zum Negishi-Reagenz. Eine anschließende Reaktion des Negishi-Reagenzes mit Trimethylsilylpropin führt zum Zirconacyclopentadien 135 als Zwischenprodukt. Dieses kann in einer Elementaustauschreaktion mit einer Vielzahl von Hauptgruppenhalogeniden umgesetzt werden. [137] Für die Synthese von Dichlorgermol 133

wird das Zirconacyclopentadien **135** *in situ* mit Germaniumtetrachlorid umgesetzt. Durch eine Filtration der Reaktionslösung über wenig Kieselgel kann auf eine Kristallisation zur Aufreinigung des Produktes verzichtet werden. Das Germol **133** konnte in einer Ausbeute von 62% erhalten werden

Schema 48: Syntheseroute des Germols 133 über das Zirconacyclopentadien 135 als Zwischenstufe.

Eine symmetrische Alkylsubstitution in der 1,1-Position des Germols kann über eine Salzmetathesereaktion von Germoldianion **136** ablaufen (siehe Schema 49). Hierzu wird das Germoldianion nach einer Literaturvorschrift von Dong *et al.* synthetisiert. Das Dichlorgermol **133** wird mit einem zehnfachen Überschuss Kalium in THF umgesetzt. Nach einer Separation des überschüssigen Kaliums wird die Germoldianion-Lösung direkt mit zwei äquivalenten Alkylchlorid umgesetzt. Die Germole **137** und **138** konnten in quantitativer Ausbeute erhalten werden.

Durch den Einsatz von *tert*-Butylchlorid als Alkylhalogenid konnte kein di-*tert*-Butyl substituiertes Germol erhalten werden. Mit Hilfe einer GC-MS Messung konnten Bestandteile der Reaktionsmischung nachgewiesen werden, welche den Massen des monosubstituierten Produkts, sowie des Dihydridogermols zugeordnet werden können.

Schema 49: Syntheseroute der Germole 137 und 138 über das Germoldianion 136 als Zwischenstufe.

Zur Synthese von einfach substituierten, asymmetrisch substituierten oder arylsubstituierten Germolen ist die Syntheseroute über Germoldianion **136** ungeeignet. Daher wurden diese über eine Salzmetathesereaktion des Germols mit der entsprechenden lithiierten Verbindung synthetisiert (siehe Schema 50).

CI CI 
$$R^1$$
 CI  $R^2$   $R^2$   $R^2$   $R^3$   $R^4$   $R$ 

**Schema 50**: Syntheseroute der Germole **139-146** über eine einfache oder zweifache Salzmetathesereaktion (Pemp = Pentamethylphenyl; C<sub>6</sub>H<sub>4</sub>OOct = 4-(octyloxy)phenyl).

Die Synthese der Germole **139-146** wurde (wenn nicht anders beschrieben) in Diethylether bei T = -90°C durchgeführt. Das phenylsubstituierte Chlorgermol **139** konnte durch den direkten Einsatz von einem Äquivalent Phenyllithium (PhLi) in einer Ausbeute von 81% als kristalliner Feststoff erhalten werden.<sup>[91]</sup> Der Einsatz von zwei Äquivalenten Phenyllithium führte zum diphenylsubstituierten Germol **143**.

Das Pentamethylphenyl (pemp)-substituierte Chlorgermol **140** wurde nach einer Vorschrift von Reinhold *et al.* synthetisiert.<sup>[135]</sup> Das als Nebenprodukt entstandene Pentamethylbenzol konnte durch eine Kugelrohrdestillation entfernt werden. Daher konnte auf eine Kristallisation zur Aufreinigung des Germols **140** verzichtet werden. Hierdurch wurde die Ausbeute von 48% auf 67% erhöht. Zur Synthese des Germols **141** wurde 1-Lithium-4-(octyloxy)benzol **147** *in situ* aus 1-lod-4-(octyloxy)benzol **148** hergestellt (siehe Schema 51) und bei T = -80°C zum Germol **133** gegeben. Zur Unterdrückung einer Wurtz-Kupplung wurden zwei Äquivalente *n*-Butyllithium eingesetzt. Das Germol **141** konnte in einer Ausbeute von 55% erhalten werden. Eine Verunreinigung durch (Octyloxy)benzol (im Verhältnis 1:3 (Verunreinigung: Produkt)) konnte nicht entfernt werden.

CI CI Me<sub>3</sub>Si Ge SiMe<sub>3</sub>

O THF, -80°C 
$$\rightarrow$$
 40°C

Li

147

148

CI

Me<sub>3</sub>Si Ge SiMe<sub>3</sub>

THF, -80°C

141

Schema 51: Synthese des Germols 141.

Im ¹H NMR und im ¹³C{¹H} NMR Spektrum des ethersubstituierten Germols **141** konnte nur ein Signalsatz gefunden werden, der einem Germol zugeordnet werden kann. Im EI-MS Spektrum wurde die Masse des chlorsubstituierten Germols **141** nachgewiesen. Daher ist davon auszugehen, dass es sich bei dem chlorsubstituierten Germol **141** um das Hauptprodukt handelt. Bei den aus diesem Ansatz erhaltenen Einkristallen, welche sich für eine XRD-Analyse eigneten, handelte es sich jedoch um das iodsubstituierte Germol **149** (siehe Abbildung 36) und nicht um das erwartete Chlorgermol **141**. Das lod stammt aus der lichtinduzierten Zerfallsreaktion des 1-lod-4-(octyloxy)benzols **147**. Eine Halogenaustauschreaktion führte zu kleinen Mengen des iodsubstituierten Germols **149**.

Das einfach methylsubstituierte Germol 142 konnte durch eine Reaktion des Germols 133 mit einem Äquivalent Methyllithium nur in Spuren erhalten werden. Das Hauptprodukt dieser Reaktion war das dimethylsubstituierte Germol 146. Zudem lag noch unreagiertes Germol 133 vor. Daher wurde durch den Einsatz eines weiteren Äquivalents Methyllithium das Germol 146 ohne weitere Nebenprodukte in einer Ausbeute von 77% erhalten. Dieses hätte auch über eine Reaktion des Germoldianions 136 mit Methyliodid erhalten werden können (siehe Schema 49). Hierauf wurde jedoch aufgrund des Vorhandenseins alternativer Syntheserouten verzichtet.

Das methyl-phenylsubstituierte Germol **144** wurde in einer Reaktion des phenylsubstituierten Chlorgermols **139** mit einem Äquivalent Methyllithium in einer Ausbeute von 81% synthetisiert. Auch das phenylethersubstituierte Chlorgermol **141** konnte in einer Ausbeute von 49% methyliert werden (Verbindung **145**). Eine Einführung von größeren aromatischen Substituenten wie z.B. der *meta*-Terphenylgruppe am Germol war nicht möglich.

Zur Einführung einer Hydridofunktion am Germaniumatom des Germols wurden die Chlorgermole **139** und **140** in THF bei Raumtemperatur mit einem Äquivalent Lithiumaluminiumhydrid umgesetzt (siehe Schema 52). Die Germolhydride konnten nach einer wässrigen Aufarbeitung in moderaten Ausbeuten von 73% (**150**) und 56% (**151**) erhalten werden. Vom Germol **150** konnten geeignete Kristalle für eine Röntgenstrahlbeugungsanalyse (XRD-Analyse) erhalten werden.

$$R^{1}$$
  $CI$   $R^{2}$   $CI$   $R^{3}$   $R^{4}$   $R^{2}$   $R^{4}$   $R^{5}$   $R^{2}$   $R^{4}$   $R^{5}$   $R^{5}$   $R^{6}$   $R^$ 

Schema 52: Synthese der Hydridogermole 150 und 151.

Die Einführung einer Allylgruppe erfolgte über eine Reaktion der Allylgrignardverbindung mit dem Chlorgermol **139** (siehe Schema 53). Die Reaktion wurde in Diethylether bei Raumtemperatur durchgeführt. Das Allylgermol **152** konnte mit einer Ausbeute von 98% erhalten werden. Zudem konnten von dem Germol **152** geeignete Kristalle für eine Röntgenstrahlbeugungsanalyse erhalten werden.

Schema 53: Synthese des Allylgermols 152.

## 3.2.2 Charakterisierung der Germole

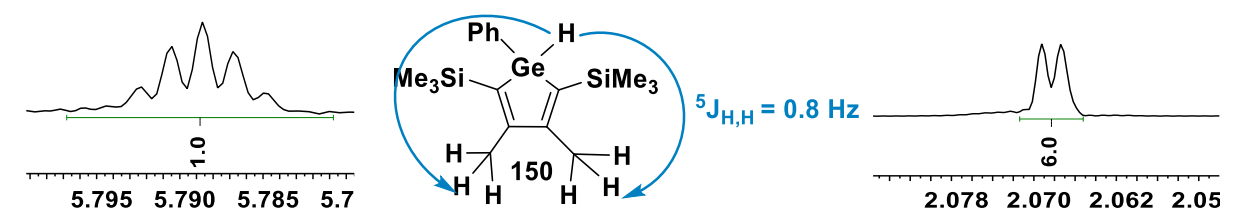
Im Verlauf dieser Arbeit konnten zehn neue (137, 138, 141, 143-145, 150-152) und drei literaturbekannte Germole (133, 139 und 140) synthetisiert werden. Die literaturunbekannten Germole wurden vollständig NMR spektroskopisch, massenspektrometrisch und durch Elementaranalysen charakterisiert. Von den Germolhydriden 150 und 151 wurden ebenfalls IR-Spektren gemessen. Zudem konnten von den Germolen 139, 140, 149, 150 und 152 geeignete Einkristalle für eine Röntgenstrahlbeugungsanalyse erhalten werden.

Die charakteristischen NMR spektroskopischen Daten der Germole **133**, **137-146** und **149-152** sind in Tabelle 3 zusammengefasst. Es wurden keine größeren Abweichungen zum literaturbekannten Dichlorgermol **133** festgestellt.<sup>[135-136]</sup>

Tabelle 3: Übersicht der charakteristischen NMR	spektroskopischen Verschiebungen der
Germole 133, 137-146	und 149-152.

		δ (¹H)		δ ( <sup>13</sup> C)		δ ( <sup>29</sup> Si)
	$R^1; R^2$	Si <u>Me₃</u>	C-Me	<u>C</u> -SiMe₃	<u>C</u> -Me	SiMe <sub>3</sub>
133	CI; CI	0.35	1.68	132.8	160.9	-7.7
146	Me; Me	0.29	2.01	142.4	161.6	-10.2
137	<i>n</i> Bu; <i>n</i> Bu	0.34	2.03	140.9	163.2	-10.5
138	nOct; nOct	0.38	2.07	140.8	162.8	-10.5
139	Ph; Cl	0.23	1.93	136.8	163.9	-8.4
140	Pemp; CI	0.30	2.01	142.7	159.9	-8.6
141	C <sub>6</sub> H <sub>4</sub> OOct; CI	0.31	1.98	138.7	162.3	-8.6
143	Ph; Ph	0.19	2.12	141.7	164.5	-9.2
144	Ph; Me	0.18	2.09	142.0	163.0	-9.6
145	C <sub>6</sub> H <sub>4</sub> OOct; Me	0.21	2.11	142.4	162.8	-9.7
150	Ph; H	0.21	2.07	140.1	163.9	-9.1
151	Pemp; H	0.24	2.11	144.1	161.3	-9.5
152	Ph; Allyl	0.21	2.06	140.1	164.0	-9.7

Interessanterweise konnte im Fall der Germolhydride **150** und **151** eine ungewöhnliche <sup>5</sup>J<sub>HH</sub>-Kopplung zwischen dem Hydrid und der Methylgruppe des Germolrings beobachtet werden. Diese führte zu einer Aufspaltung der Methylsignale zu einem Duplett, während die Hydridosignale zu einem Pentett aufgespalten wurden (siehe Abbildung 34). Das theoretisch erwartete Septett konnte aufgrund des ungenügenden Signal zu Rauschverhältnisses nicht gefunden werden. Die <sup>5</sup>J<sub>HH</sub>-Kopplungskonstante ist erwartungsgemäß mit 0.8 Hz (**150**) bzw. 1.2 Hz (**151**) recht klein.



**Abbildung 34:** Ausschnitt aus dem  $^{1}$ H NMR Spektrum (499 MHz, 305 K,  $C_{6}D_{6}$ ) des Germolhydrides **150**.

Die Molekülstrukturen der Germole 139, 140, 149, 150 und 152, wie sie sich aus den XRD-Analysen geeigneter Einkristalle ergeben, sind in den Abbildungen 35 und 36 gezeigt. Die phenylsubstituierten Germole 139 und 150 kristallisierten in der monoklinen Raumgruppe

 $P2_1/n$  und das allylsubstituierte Germol **152** in der Raumgruppe C2, während die pemp-und phenylethersubstituierten Germole **140** und **149** in der triklinen Raumgruppe P-1 kristallisierten.<sup>[138]</sup>

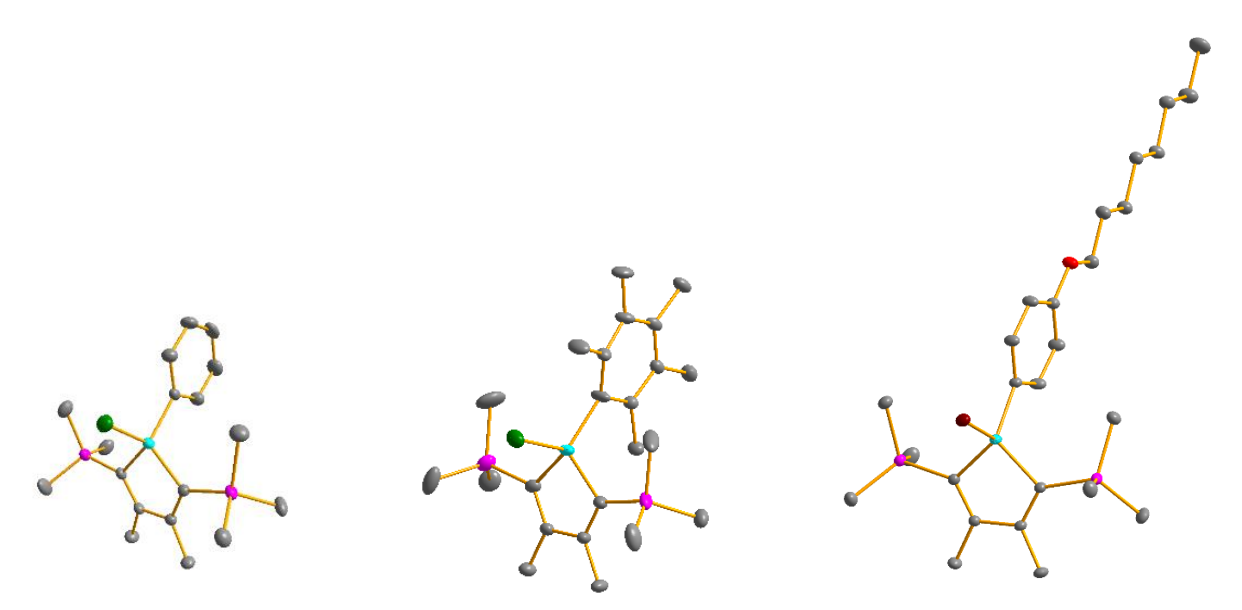


Abbildung 35: Molekülstrukturen der Germole 139, 140 und 149 im Kristall (thermische Ellipsoide mit 50% Aufenthaltswahrscheinlichkeit, die Wasserstoffatome sind zur besseren Übersichtlichkeit nicht abgebildet). Bindungslängen und -winkel, die für die weitere Diskussion relevant sind, sind in Tabellen 4 und 5 zusammengefasst.

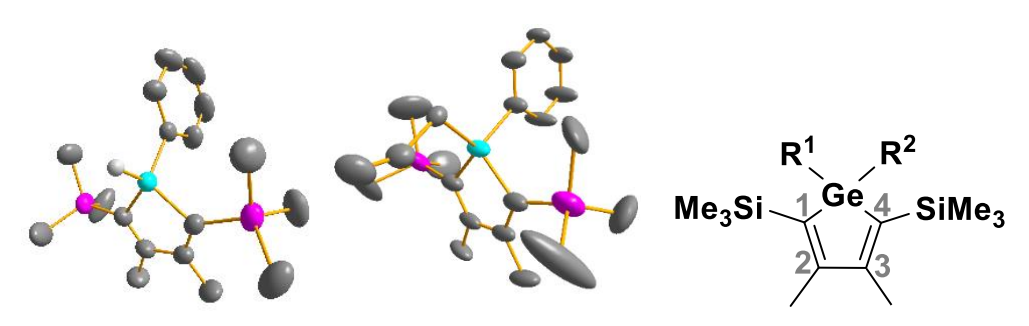


Abbildung 36: Molekülstrukturen der Germole 150 und 152 im Kristall (thermische Ellipsoide mit 50% Aufenthaltswahrscheinlichkeit, die Wasserstoffatome sind zur besseren Übersichtlichkeit nicht abgebildet), sowie eine Übersicht der Nummerierung der Kohlenstoffatome des Germolrings (R¹ = Arylsubstituent). Bindungslängen und -winkel, die für die weitere Diskussion relevant sind, sind in Tabellen 4 und 5 zusammengefasst.

Wichtige Bindungslängen und -winkel sind in den Tabellen 4 und 5 zusammengefasst. Die Nummerierung der Kohlenstoffatome ist der Abbildung 36 zu entnehmen.

Tabelle 4: Relevante Bindungslängen der Germole 139, 140, 149, 150 und 152 [pm].

	R <sup>1</sup> ; R <sup>2</sup>	Ge-C1	Ge-C4	C1-C2	C2-C3	C3-C4
139	Ph, Cl	193.09 (43)	193.35 (34)	134.55 (56)	152.06 (54)	134.88 (62)
140	Pemp, CI	194.42(11)	194.57 (11)	135.35 (15)	151.41 (16)	135.28 (15)
149	C <sub>6</sub> H <sub>4</sub> OOct, I	194.1 (8)	193.9 (9)	135.64 (12)	151.78(10)	135.72 (11)
150	Ph, H	194.04 (19)	193.65 (15)	134.68 (24)	152.00 (25)	134.37 (24)
152	Ph, Allyl	194.45 (40)	194.45 (40)	135.45 (47)	150.80 (64)	135.45 (47)

Bei der Betrachtung der Bindungslängen aller kristallisierten Germole sind keine größeren Auffälligkeiten festzustellen. Bei den C1-C2- sowie C3-C4-Bindungen handelt es sich um Doppelbindungen, während es sich bei der C2-C3-Bindung um eine Kohlenstoffeinfachbindung handelt. Die C-C-Doppelbindungen sind mit 134.4-135.7 pm etwas länger typische Kohlenstoffdoppelbindungen (132)pm), während Kohlenstoffeinfachbindungen mit 150.8-152.1 pm etwas verkürzt sind (154 pm).[139] Dies ist ein Effekt der konjugierten Butadieneinheit. In dieser beträgt die Bindungslänge der Doppelbindung 137 pm, während die Einfachbindung mit 148 pm ebenfalls verkürzt ist. [139] Dieser Effekt tritt üblicherweise in Heterolen und ebenfalls im Dichlorgermol 133 auf. [136] Auch bei den Germanium-Kohlenstoffbindungen handelt es sich um typische Einfachbindungen. [140] Auffällig ist dennoch, dass allein das allylsubstituierte Germol 152 mit gleichlangen Ge-C- und C-C-Bindungen im Fünfring spiegelsymmetrisch ist.

Tabelle 5: Relevante Winkel der Germole 139, 140, 149, 150 und 152 [°] R1 = Arylsubstituent.

	R <sup>1</sup> ; R <sup>2</sup>	$R^1$ -Ge-C1( $\alpha$ )	R¹-Ge-C4(β)	C1-Ge-C4(γ)	$\Sigma_{\alpha\beta\gamma}$
139	Ph; Cl	117.371 (170)	118.555 (190)	93.517 (171)	329.4
140	Pemp; CI	118.25 (38)	121.69 (53)	92.56 (50)	332.5
149	C <sub>6</sub> H <sub>4</sub> OOct; I	118.77 (33)	120.72 (35)	93.18 (34)	332.7
150	Ph; H	114.06 (76)	112.65 (73)	92.22 (74)	318.9
152	Ph; Allyl	111.461 (106)	111.461 (106)	91.854 (173)	314.8

Das Germaniumatom ist in den Germolen **139**, **140** und **149** erwartungsgemäß annähernd tetraedrisch von den Substituenten umgeben. Die Summe der Bindungswinkel  $\Sigma_{\alpha\beta\gamma}$  weicht nur wenig von einer idealen tetraedrischen Koordination mit einer Summe der Bindungswinkel von 328.5° (3 x 109.5°) ab. Eine Ausnahme bilden hier das allylsubstituierte Germol **152** und das Hydridogermol **150**, welche mit  $\Sigma_{\alpha\beta\gamma}$  = 314.8° und  $\Sigma_{\alpha\beta\gamma}$  = 318.9° von einer ideal tetraedrischen Verbindung abweichen.

#### 3.2.3 Synthese der Benzo-7-germanorbornadiene

Die Benzo-7-germanorbornadiene **153-156** konnten über eine Diels-Alder-Reaktion der entsprechenden Germole mit einem *in situ* hergestellten Arin **158** in sehr guten Ausbeuten von 90-95% erhalten werden (siehe Schema 54). Eine Ausnahme bildet das Germanorbornadien **157**, welches in einer Ausbeute von 46% erhalten wurde. Zudem konnten von den Germanorbornadienen **153**, **154** und **156** geeignete Kristalle für eine Röntgenstrahlbeugungsanalyse erhalten werden. Die Bildung von Biphenylderivaten **159** und Triphenylen **160** als Nebenprodukte konnte durch die Erwärmung der Reaktionslösung auf T = 60°C nach der Zugabe der Germole unterdrückt werden. Das Arin **158** wurde aus einer Reaktion des *ortho-*Fluor-brombenzols **161** mit elementarem Magnesium erhalten. Daher konnten keine halogensubstituierten Germole als Reaktionspartner eingesetzt werden. Der Einsatz anderer gängiger Arinvorstufen wie 2-(Trimethylsilyl)-phenyl-trifluormethansulfonsäure **162** oder 1-Aminobenzotrizaol **163** (siehe Schema 55), welche einen Einsatz von halogensubstituierten Germolen ermöglichen sollte, führte nicht zu einer Bildung der Germanorbornadiene, sondern nur zur weiteren Reaktion des Arins zu Biphenylderivaten **159** und Triphenylen **160**.

$$R^{1} = R^{2}$$

$$R^{2} = R^{2}$$

$$R^{3} = R^{2}$$

$$R^{4} = R^{2} = Me$$

$$R^{5} = R^{2} = Me$$

$$R^{6} = R^{2} = R^{2} = Me$$

$$R^{6} = R^{2} = R^{2}$$

Schema 54: Synthese der Benzo-7-germanorbornadiene 153-157 über eine Diels-Alder-Reaktion der Germole 137, 138, 144-146mit *in situ* synthetisiertem Arin 158.

Schema 55: Übersicht der genutzten Arinvorstufen und ihrer deren weitere Reaktion zu Biphenylderivaten 159 und Triphenylen 160.

Neumann und Mitarbeiter publizierten bereits zahlreiche Beispiele dieser Synthese. [12, 30] Die in der Literatur verwendeten Germole wiesen jedoch alle Phenylsubstituenten in der 1,4-Position des Germols auf. Diese reagierten in einer Cycloadditionsreaktion zu den Germanorbornadienen. In dieser Arbeit wurden trimethylsilylsubstituierte Germole verwendet. Diese kleine Änderung im Grundgerüst des Germols 143 führt zu einer im Vergleich zum Germol 165 veränderten Reaktivität. So führte eine von der Arbeitsgruppe Neumann durchgeführte Diels-Alder-Reaktion des diphenylsubstituierten Germols 165 zum Germanorbornadien 164, während das Germanorbornadien 166 im Rahmen dieser Arbeit, vermutlich aus sterischen Gründen, nicht über eine Cycloaddition des Germols 143 erhalten werden konnte (siehe Schema 56).

Schema 56: Synthese bzw. versuchte Synthese der Benzo-7-germanorbornadiene 164 und 166 über eine Diels-Alder-Reaktion der Germole 143 und 165 mit *in situ* synthetisiertem Arin.

#### 3.2.4 Charakterisierung der Benzo-7-germanorbornadiene

Im Verlauf dieser Arbeit konnten insgesamt fünf neue Benzo-7-germanorbornadiene **153-157** synthetisiert werden. Die Germanorbornadiene **153-157** wurden vollständig NMR spektroskopisch, massenspektrometrisch und durch Elementaranalysen charakterisiert. Von den Germanorbornadienen **156** und **157** konnten jedoch sowohl im ESI, als auch in einem LIFDI Massenspektrum weder ein Molekülionenpeak, noch das Naphthalinderivat **167** als Zersetzungsprodukt gefunden werden. <sup>[138]</sup> Das Naphthalinderivat **167** konnte im GC-MS (EI) in beiden Fällen nachgewiesen werden.

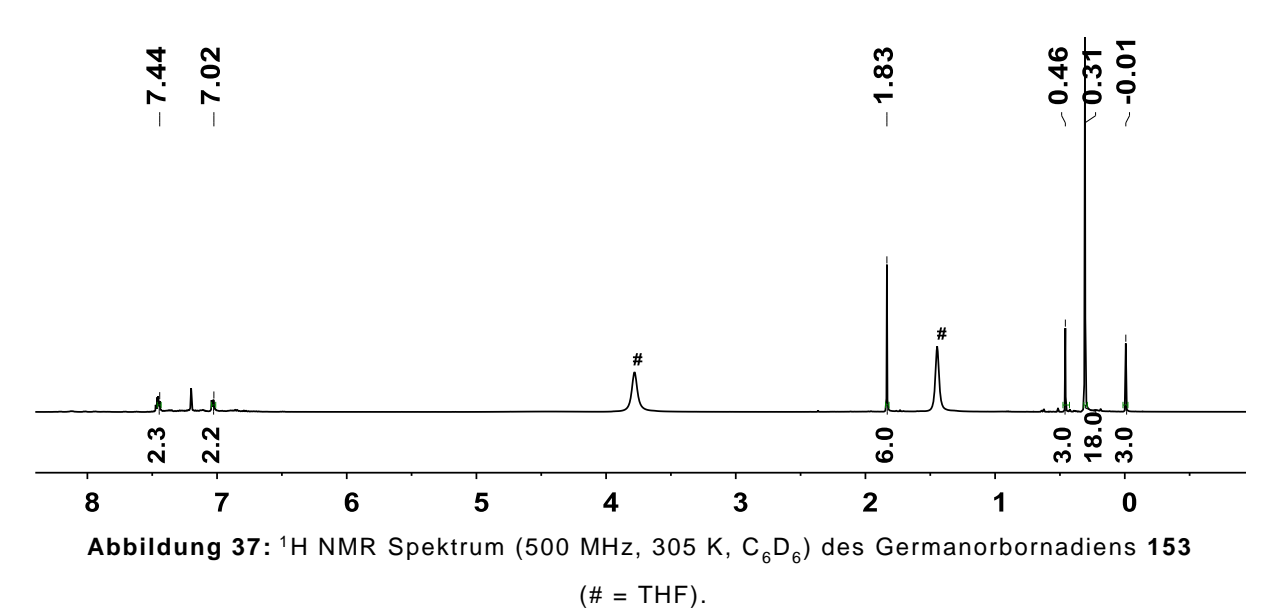
NMR spektroskopisch zeigen die Benzo-7-germanorbornadiene **153-157** im <sup>13</sup>C{H} NMR Spektrum, analog zu den Dibenzo-7-germanorbornadienen **6** und **102**, die für (Germa)-Norbornadiene typischen Tieffeld-Verschiebungen der Kohlenstoffatome in der Brückenkopfposition (C1 und C4, siehe Abbildung 38). Die chemischen Verschiebungen im <sup>13</sup>C{<sup>1</sup>H} NMR von C1 und C4 sind in Tabelle 6 zusammengefasst. Die asymmetrisch substituierten Germanorbornadiene **156** und **157** weisen im <sup>13</sup>C{H} NMR jeweils nur ein Signal für das Brückenkopfkohlenstoffatom auf. Daher kann von diesen Verbindungen nur ein Konformer vorliegen. Aus sterischen Gründen könnte die *anti*-Konformation bevorzugt sein, diese wird ebenfalls in analogen Siliciumverbindungen gefunden.<sup>[26]</sup>

**Tabelle 6**: <sup>13</sup>C chemische Verschiebungen der Brückenkopfkohlenstoffatome (C1/C4) und Substituenten (R<sup>1</sup>/R<sup>2</sup>) der Germanorbornadiene **153-157**.

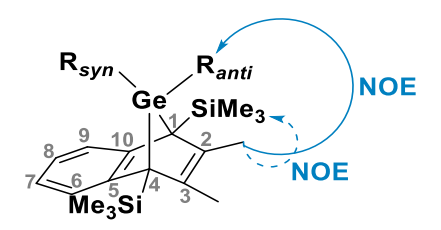
	$R^1$ , $R^2$	δ ( <sup>13</sup> C) C1 und C4	$\delta$ (13C) $R^{1}$ und $R^{2}$
153	Me, Me	49.0	1.5; 2.1
154	<i>n</i> Bu, <i>n</i> Bu	49.1	13.4; 13.7;21.0; 21.4;
			25.9; 26.8; 27.1; 28.1
155	nOct, nOct	49.1	14.3; 21.2; 21.5; 22.0; 23.0; 23.1; 23.7; 26.0; 29.2;
			29.4; 29.6; 32.1; 32.2; 33.5; 34.0; 34.2
156	Ph, Me	50.1	1.0 (Me)
			128.4; 130.2; 133.7; 141.5 (Ph)
157	C <sub>6</sub> H <sub>4</sub> OOct,	50.2	1.0(Me)
	Me		14.4; 23.1; 26.5; 29.7; 29.7; 29.8; 32.2; 67.7 132.7; 135.2; 151.6; 161.3(C <sub>6</sub> H <sub>4</sub> OOct)

Zudem sind die Substituenten am Germaniumatom durch das asymmetrische Grundgerüst des Germanorbornadiens **153-157** nicht mehr magnetisch äquivalent. Dieser Effekt kann anhand der unterschiedlichen chemischen Verschiebungen der Substituentensignale im <sup>1</sup>H

und  $^{13}$ C{ $^{1}$ H} NMR Spektrum beobachtet werden. Die  $^{13}$ C{ $^{1}$ H} chemischen Verschiebungen der Substituenten sind in Tabelle 6 zusammengefasst. Die Methylsignale des dimethylsubstituierten Germanorbornadienes **153** liegen bei  $\delta$   $^{13}$ C = 1.5 (*anti*-Stellung) und  $\delta$   $^{13}$ C = 2.1 (*syn*-Stellung). Beispielhaft wird dieser Effekt ebenfalls im  $^{1}$ H NMR Spektrum des Germanorbornadiens **153** gezeigt. Die Methylgruppen zeigen im  $^{1}$ H NMR Spektrum Signale bei  $\delta$  ( $^{1}$ H) = -0.01 und  $\delta$  ( $^{1}$ H) = 0.46 (siehe Abbildung 37).



Die Zuordnung der Methylgruppensignale erfolgte über ein NOE (nuclear Overhauser effect) NMR Experiment. Hier führte die Absättigung der  $^1H$  Resonanz der Methylgruppe des Grundgerüstes bei  $\delta$  ( $^1H$ ) = 1.83 zu einer Verstärkung des Signals der Trimethylsilylgruppe bei  $\delta$  ( $^1H$ ) = 0.31 und des Methylgruppensignals bei  $\delta$  ( $^1H$ ) = 0.46 (siehe Abbildung 38). Daher befindet sich diese Methylgruppe in der räumlichen Nähe zur Methylgruppe des Grundgerüstes. Dies entspricht der *anti-*Stellung. Die Methylgruppe bei  $\delta$  ( $^1H$ ) = -0.01 befindet sich in der *syn-*Stellung und damit in räumlicher Nähe zum aromatischen Teil des Grundgerüstes. Die Lage dieser Methylgruppe innerhalb des Anisotropiekegels des Benzolrings bewirkt eine Hochfeldverschiebung des Signals dieser Methylgruppe im Protonen NMR Spektrum. Diese betrifft nicht das entsprechende Kohlenstoffatom, welches eine Verschiebung von  $\delta$   $^{13}$ C = 2.1 aufweist.



**Abbildung 38:** Zuordnung der *anti-* und *syn-*Methylgruppen im Germanorbornadien **153** mit Hilfe des NOE Experiments.

Die Molekülstrukturen der Germanorbornadiene **153**, **154** und **156**, wie sie sich aus den XRD-Analysen geeigneter Einkristalle ergeben, sind in den Abbildungen 39 und 40 gezeigt. Beim Germanorbornadien **153** lag eine Fehlordnung des Grundgerüstes mit einer Besetzung von 85:15 vor.

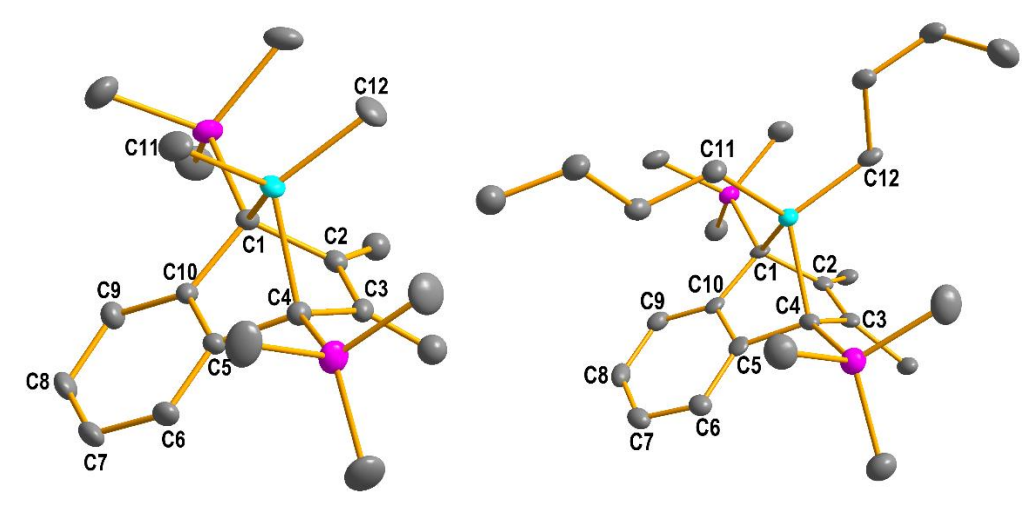


Abbildung 39: Molekülstrukturen der Benzo-7-germanorbornadiene 153 und 154 im Kristall. (thermische Ellipsoide mit 50% Aufenthaltswahrscheinlichkeit, die Wasserstoffatome sind zur besseren Übersichtlichkeit nicht abgebildet). Für Bindungslängen und -winkel, die für die Diskussion relevant sind, wurden in Tabelle 7 zusammengefasst.

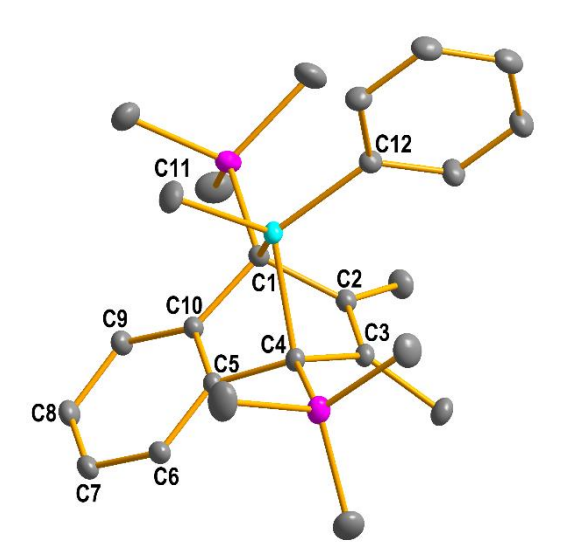


Abbildung 40: Molekülstruktur des Benzo-7-germanorbornadiens anti-156 im Kristall. (thermische Ellipsoide mit 50% Aufenthaltswahrscheinlichkeit, die Wasserstoffatome sind zur besseren Übersichtlichkeit nicht abgebildet). Für Bindungslängen und –winkel, die für die Diskussion relevant sind, wurden in Tabelle 7 zusammengefasst.

Analog zum Silanorbornadien **103** können die typischen Charakteristika der 7-Sila- und Germanorbornadiene, wie einem verlängerten Bindungsabstand zwischen den Brückenkopfkohlenstoffatomen (C1 oder C4) und der Germaniumbrücke, sowie einem spitzen Winkel zwischen C1-Ge-C4, in den Molekülstrukturen der Germanorbornadiene **153**, **154** und

156 gefunden werden (wichtige Bindungslängen und -winkel sind in Tabelle 7 zusammengefasst). Die Germanorbornadiene 153, 154 und 156 weisen mit 202.2-203.0 pm eine verlängerte Ge-C1- bzw. Ge-C4-Bindungslänge auf. Typische Ge-C-Bindungslängen liegen bei 195-200 pm. [140] Zudem weisen die Germanorbornadiene 153, 154 und 156 mit 79.6°-79.7° einen im Vergleich zum idealen Tetraederwinkel (109.5°C) sehr spitzen C1-Ge-C4-Winkel auf. Auch die Doppelbindungen zwischen C5 und C10 sind mit 141.0-141.8 pm gegenüber den durchschnittlichen C=C-Doppelbindungen (C5-C6; C6-C7; C7-C8; C8-C9; C9-C-10) der Germanorbornadiene 153, 154 und 156 (134.8-139.7 pm) leicht verlängert. Dies ist eine Folge der Hyperkonjugation zwischen den  $\sigma$ -Orbitalen der Ge-C Bindungen und dem  $\pi$ -Orbital der C=C-Doppelbindung des Norbornadiengrundgerüsts. Im Gegensatz zum Dibenzo-7-silanorbornadien 103 ist die Folge dieser Wechselwirkung jedoch nur durch die Verlängerung der C=C-Doppelbindungen zwischen C5 und C10 zu sehen. Auf die zweite Doppelbindung zwischen C2 und C3 hat diese Hyperkonjugation keinen Einfluss. Dieser Effekt kann ebenfalls bei den analogen Benzo-7-silanorbornadienen 69 beobachtet werden. [26]

Zudem konnte mit Hilfe der XRD-Analysen die Stereochemie des asymmetrisch substituierten Germanorbornadiens **156** aufgeklärt werden. Es handelt sich um das *anti*-Konformer. Die geringe sterische Hinderung des Phenylrings in *anti*-Position scheint ausschlaggebend für die selektive Bildung des *anti*-Konformeres zu sein. Die Stellung des Phenylrings würde auch in *syn*-Position eine mögliche  $\pi$ - $\pi$  Wechselwirkung des Phenylrings und des aromatischen Grundgerüstes nicht ermöglichen. Da in den NMR spektroskopischen Untersuchungen des strukturähnlichen Germanorbornadiens **157** ebenfalls nur ein Stereoisomer festgestellt werden konnte, kann davon ausgegangen werden, dass es sich bei dieser Verbindung ebenfalls um das *anti*-Konformer handelt.

Tabelle 7: Wichtige Bindungslängen und Winkel der Germanorbornadiene 153, 154 und 156.

[pm]	Me <sub>2</sub> <b>153</b>	nBu <sub>2</sub> <b>154</b>	Me, Ph <b>156</b>
Ge-C1	203.01 (10)	203.02 (31)	202.2 (7)
Ge-C4	202.11 (10)	201.38 (41)	202.1 (7)
Ge-C11	195.10 (14)	196.67 (47)	194.7 (7)
Ge-C12	195.3413	195.72 35	196.23 7
C2-C3	135.89 (13)	133.95 (53)	135.4 (8)
C5-C10	140.96 (13)	141.76 (53)	141.5 (8)
$\Delta$ C-C <sub>(C5-C6; C6-C7; C7-C8; C8-C9; C9-C-10)</sub>	134.80	138.68	139.65
[°]			
C¹-Ge-C⁴	79.63 (38)	79.650 (134)	79.66 (27)

### 3.2.5 Studien zur Synthese von Vorstufen der 7-Germanorbornadienylkationen

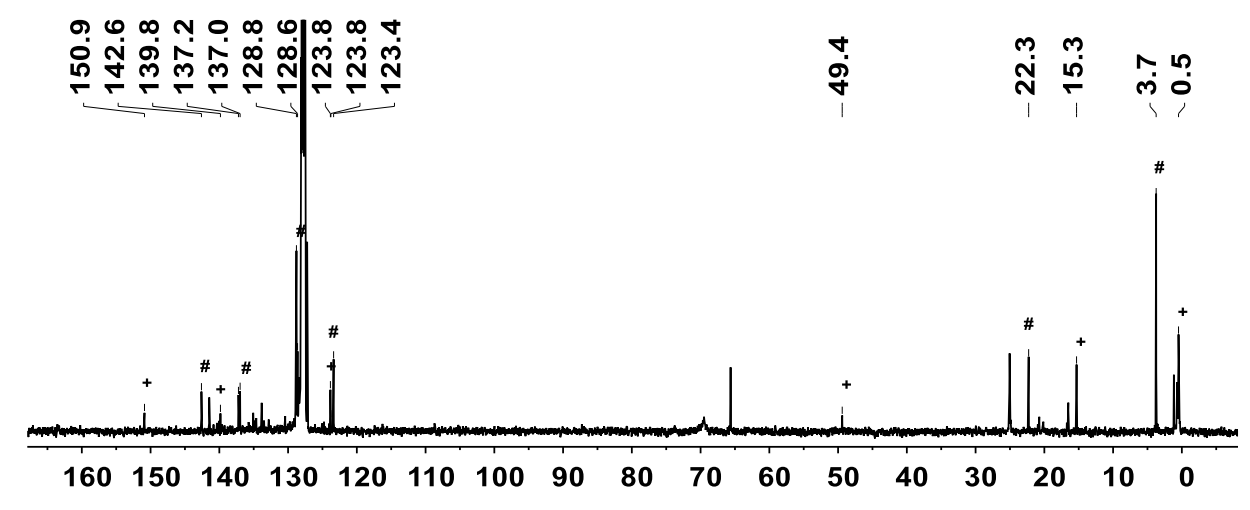
Zusätzlich zu den alkyl- und arylsubstituierten Germanorbornadienen **153-157** sollten auch Germanorbornadiene mit einer Abgangsgruppe synthetisiert werden, um über diesen Weg Germanorbornadienylkationen **93** erhalten und untersuchen zu können. Von den literaturbekannten Siliciumanalogon den Silanorbornadienylkationen **72** ist bereits bekannt, dass aus ihrer thermisch-induzierten Fragmentierung Silyliumylidene **73** dargestellt werden können. Diese sind in der Lage die C-H-Bindung von Benzol zu aktivieren.<sup>[23]</sup> Daher ist eine Untersuchung der Germanorbornadienylkationen **93** und der Germyliumylidene **95** ebenfalls hoch interessant. Als Abgangsgruppe wird zunächst das Hydrid gewählt, welches in einer Corey-Reaktion mit Hilfe von Tritylkation (Triphenylmethylkation) über einen Hydridtransfer entfernt werden kann.<sup>[70, 74, 76, 141]</sup>

Aus der Diels-Alder-Reaktion des Hydridogermols **150** mit dem Arin ging jedoch das Naphthalinderivat **167** als Hauptkomponente hervor. Das erwartete Hydridogermanorbornadien **168** konnte nur als Nebenprodukt erhalten werden (siehe Schema 57). Anhand des Protonen NMR Spektrums konnte zwischen den nicht isolierten Verbindungen ein Verhältnis von 1:0.4 (**167:168**) ermittelt werden. Das Naphthalinderivat **167** wurde NMR spektroskopisch und massenspektrometrisch identifiziert. Zudem konnte vom Naphthalinderivat **167** geeignete Kristalle für eine Röntgenstrahlbeugungsanalyse erhalten werden.

Schema 57: Versuchte Synthese der 7-Aryl-7-Hydridobenzo-7-germanorbornadiene 168 und 169 über eine Diels-Alder-Reaktion der Germole 150 und 151 mit in *situ* synthetisiertem Arin.

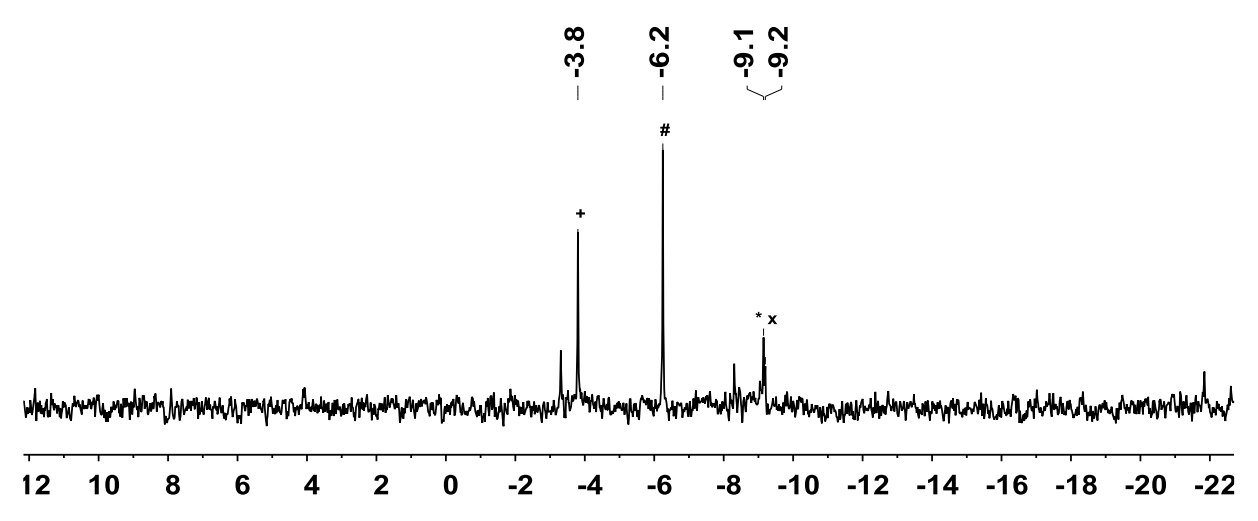
Daher ist davon auszugehen, dass die Cycloaddition abläuft, das entstandene Hydridogermanorbornadien 168 jedoch nicht stabil ist. Das aus der Zersetzung des Germanorbornadiens 168 entstehende Germylen 170 konnte nicht isoliert werden. Da in den NMR spektroskopischen Untersuchungen keine Hinweise auf dem Verbleib des Germylens gefunden wurden, muss sich ein unlösliches Polymer gebildet haben (siehe 3.2.7). Dementsprechend wurde versucht, das Produkt schnell zu isolieren, daher lag neben dem Zersetzungsprodukt 167 auch noch nicht umgesetztes Germol vor. Zudem reagierte das Arin nicht nur mit dem Germol 150 zum Germanorbornadien 168, sondern erneut zu

Biphenylderivaten **159** und Triphenylen **160**. Auch das diphenylsubstituierte Germol **143**, welches über die Insertion des Arins in die Ge-H-Bindung entstanden ist, lässt sich in Spuren NMR spektroskopisch nachweisen (siehe Abbildung 41 und 42). Dies belegt, das die Synthese eines Hydridogermanorbornadiens über eine Diels-Alder-Reaktion eines Hydridogermols mit einem Arin aufgrund der vielen möglichen Reaktionskanäle schwierig durchzuführen ist. Zudem kann sowohl im <sup>1</sup>H- als auch im <sup>13</sup>C{<sup>1</sup>H} NMR Spektrum der Reaktionsmischung erneut lediglich ein Signalsatz dem Hydridogermanorbornadien **168** zugeordnet werden. Dies weißt auf das Vorhandensein nur eines Stereoisomers der Verbindung hin. In der strukturell sehr ähnlichen Verbindung **156** befindet sich die Phenylgruppe in der *anti*-Position. Es ist anzunehmen, dass auch das Hydridogermanorbornadien **168** dieses Konformer ausbildet.



**Abbildung 41**:  $^{13}C\{^1H\}$  NMR Spektrum (125 MHz, 305 K,  $C_6D_6$ ) des Germanorbornadienes **168** (+) als Nebenprodukt und dem Naphthalinderivats **167** (#) als Hauptprodukt.

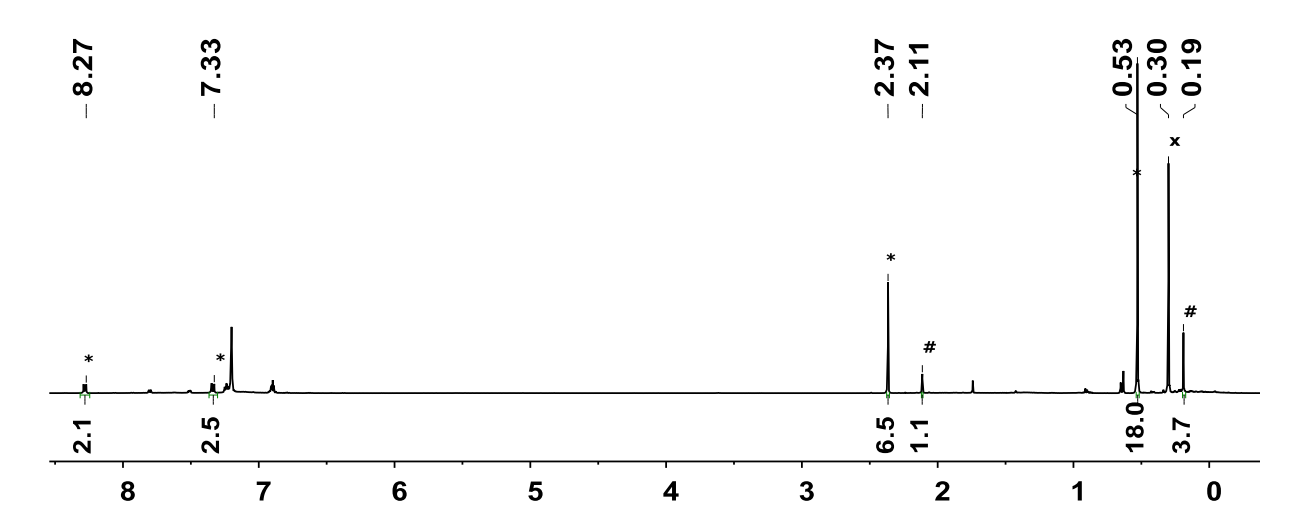
Daher wird der Übersichtlichkeit halber im Folgenden das  $^{29}$ Si $^{1}$ H $^{1}$  INEPT NMR Spektrum herangezogen (siehe Abbildung 42). Das Signal bei  $\delta$  ( $^{29}$ Si) = -3.8 ist dem Germanorbornadien **168** zuzuordnen, das Signal bei  $\delta$  ( $^{29}$ Si) = -6.2 ist der Trimethylsilylgruppe des Zersetzungsprodukts **167** zuzuordnen, während die Signale bei  $\delta$  ( $^{29}$ Si) = -9.1 und  $\delta$  ( $^{29}$ Si) = -9.2 dem Hydridogermol **150** und dem diphenylsubstituierten Germol **143** zugeordnet werden können. Eine Integration der korrespondierenden Trimethylsilyl-Signale im  $^{1}$ H NMR Spektrum ergibt ein Verhältnis von: 1.0 (**167**): 0.4 (**168**): 0.2 (**150**): 0.1(**143**).



**Abbildung 42:** <sup>29</sup>Si {<sup>1</sup>H} INEPT-Spektrum (99 MHz, 305 K, C<sub>6</sub>D<sub>6</sub>) des Germanorbornadiens **168**(+) mit Zersetzungsprodukt **167**(#), Hydridogermol **150**(\*); Diphenylsubstituiertes Germol **143**(x).

Auch durch den Wechsel des aromatischen Substituenten von einer Phenyl- zu einer Pempgruppe konnte das Germanorbornadien 169 nicht erhalten werden. Zudem konnte auch das Naphthalingrundgerüst 167 nicht nachgewiesen werden, welches für das Ablaufen einer Cycloaddition des Germols mit dem Arin sprechen würde. Stattdessen konnte neben Biphenylderivaten 159 und Triphenylen 160 das 1,1- pemp-phenylsubstituierte Germol massenspektrometrisch nachgewiesen werden. Dies entsteht erneut durch die Insertion des Arins in die Germaniumwasserstoffbindung des Hydridogermols 151. Ähnliche Ergebnisse konnten bereits in einer versuchten Cycloaddition von supersilylsubstituiertem Hydridogermol mit einem Arin beobachtet werden.<sup>[116]</sup>

Zudem wurde mit 2-(TrimethylsilyI)-phenyl-trifluormethansulfonsäure **162** eine andere Arinvorstufe eingesetzt. Nach der Aufarbeitung konnten jedoch erneut vor allem das Zersetzungsprodukt **167** und das diphenylsubstituierte Germol **143** im Verhältnis 1:6 erhalten werden (siehe Abbildung 43). Die Wahl der Arinvorstufe **162** führte daher lediglich zu einer Begünstigung der Insertionsreaktion des Arins in die Ge-H-Bindung.



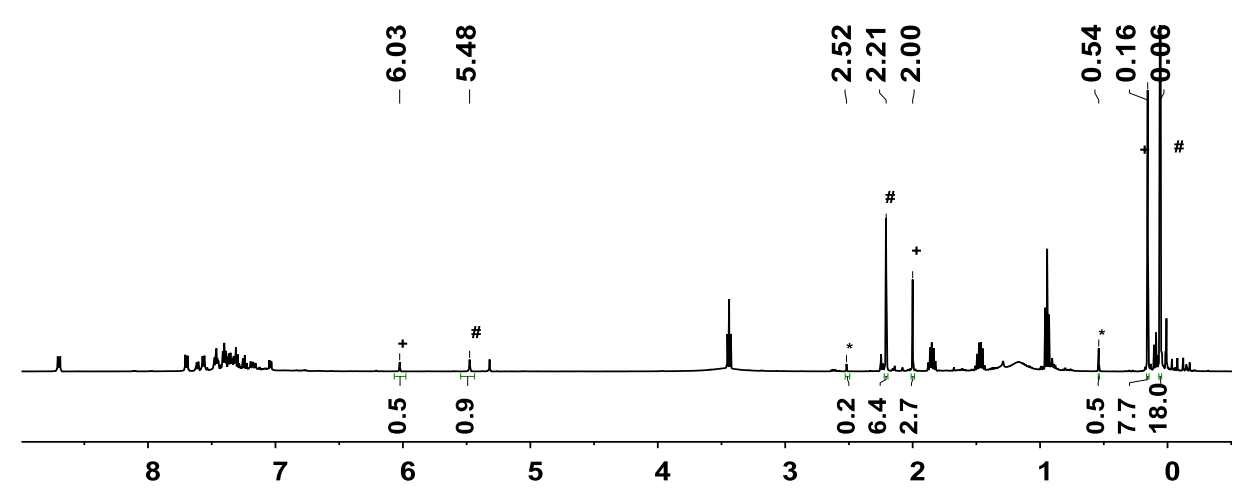
**Abbildung 43:** <sup>1</sup>H NMR Spektrum (500 MHz, 305 K,  $C_6D_6$ ) Naphthalinderivates **167** (\*), 1,1- pemp,-phenylsubstituierten Germol (#) und nicht umgesetzte Arinvorstufe 2-(trimethylsilyl)-phenyl-trifluormethansulfonsäure **162** (x).

Da die Zersetzung von Germanorbornadienen entweder durch den Einsatz von UV-Strahlung<sup>[142]</sup> oder durch Wärme<sup>[130]</sup> induziert werden kann, wurde zunächst die Diels-Alder-Reaktion des Hydridogermols **150** mit einem Arin unter Lichtausschluss durchgeführt. Dies führte jedoch weiterhin zu einer raschen Zersetzung des Germanorbornadiens **168**. Eine UV-vis-induzierte Zersetzung kann daher ausgeschlossen werden.

Folglich kann auf eine thermisch-induzierte Zersetzung des Hydridogermanorbornadiens **168** geschlossen werden. Die Cycloadditionsreaktionen wurden jedoch bereits bei Raumtemperatur durchgeführt. Um einen Wärmeeinfluss untersuchen zu können, musste die Diels-Alder-Reaktion entsprechend bei noch tieferen Temperaturen ablaufen. Daher wurde das 1-Lithio-2-fluorbenzol **171** in Diethylether *in situ* bei -80°C als Arinvorstufe aus 1-Brom-2-fluorbenzol **161** dargestellt. Die Reaktionslösung wurde langsam in Gegenwart des Germols **150** auf -50°C erwärmt, damit das bei dieser Temperatur bekanntlich aus 1-Lithio-2-fluorbenzol entstehende Arin<sup>[143]</sup> in einer Diels-Alder-Reaktion mit dem Germol **150** reagieren konnte (siehe Schema 58).

Schema 58: Versuchte Synthese des 7-Phenyl- 7-Hydridobenzo-7-germanorbornadiens 168 über eine Diels-Alder-Reaktion des Germols 150 mit *in situ* aus 1-Lithio-2-Fluorbenzol 171 synthetisiertem Arin.

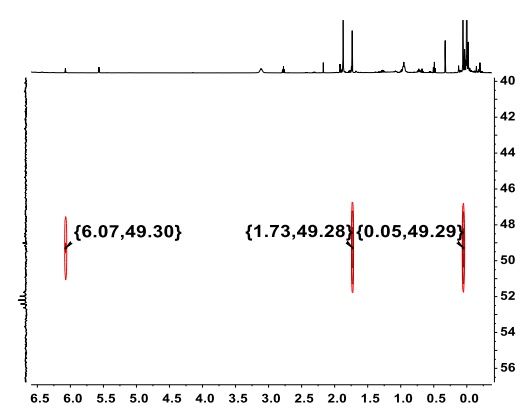
Anschließend wurde der Diethylether bei T = -50°C entfernt und der farblose Feststoff in CD<sub>2</sub>Cl<sub>2</sub> gelöst. Wie das ¹H NMR Spektrum dieser Reaktionsmischung (siehe Abbildung 44) zeigt, zersetzte sich das Germanorbornadien **168** bei niedrigen Temperaturen nur sehr wenig. Die Reaktion lief jedoch sehr langsam ab, sodass nach 16 Stunden noch zu zwei Dritteln das Hydridogermol **150** vorlag. Eine Integration der Trimethylsilylgruppe des Germols **150**, des Germanorbornadiens **168** und des Zersetzungsproduktes **167** ergab ein Verhältnis von 1.00 Germol **150**: 0.45 Germanorbornadiens **168**: 0.03 Naphthalinderivat **167**. Die Bildung des diphenylsubstituierten Germols **143** durch die Insertion des Arins in die Ge-H-Bindung konnte ebenfalls unterbunden werden. Nebenreaktionen des Arins zu Biphenylderivaten **159** und Triphenylen **160** waren bei dieser Temperatur jedoch begünstigt. Dies erschwerte eine Isolierung des Germanorbornadiens **168**, zumal diese bei T = -50°C erfolgen muss. Dies konnte im Rahmen dieser Doktorarbeit nicht erreicht werden.



**Abbildung 44:** <sup>1</sup>H NMR Spektrum (500 MHz, 305 K, CD<sub>2</sub>Cl<sub>2</sub>) des Germols **150** (#), Germanorbornadiens **168** (+) und sehr wenig Zersetzungsprodukt **167** (\*).

Dass das Germanorbornadien **168** vorlag, lässt sich im  $^1$ H  $^{13}$ C HMBC Spektrum erkennen (siehe Abbildung 45). Hier ist ein Kreuzsignal des charakteristischen Brückenkopfkohlenstoffatoms bei  $\delta$  ( $^{13}$ C) = 49.3 mit dem Hydridosignal bei  $\delta$  ( $^{1}$ H) = 6.07, sowie je einer Methyl- und Trimethylsilylgruppe zu erkennen. Dieses Spektrum wurde in  $C_6D_6$  bei Raumtemperatur aufgenommen und zeigt daher ebenfalls einen etwas größeren Anteil an Zersetzungsprodukt **167**.

Dass sich das Germanorbornadien **168** tatsächlich bei Raumtemperatur langsam zersetzt, zeigt eine NMR spektroskopische Untersuchung nachdem die Probe 16 Stunden bei Raumtemperatur gelagert wurde. Der Anteil des Naphthalinderivats nahm zu, eine Integration der Trimethylsilylgruppen im <sup>1</sup>H NMR Spektrum zeigte nun ein Verhältnis von 1.0 Germol **150**: 0.4 Germanorbornadien **168**: 0.1 Naphthalinderivat **167**.



**Abbildung 45:** <sup>1</sup>H <sup>13</sup>C HMBC NMR Spektrum (500 MHz, 305 K, C<sub>6</sub>D<sub>6</sub>) des Germanorbornadiens **168**, des Germols **150** und des Naphthalinderivats **167** sowie weiterer Nebenprodukte.

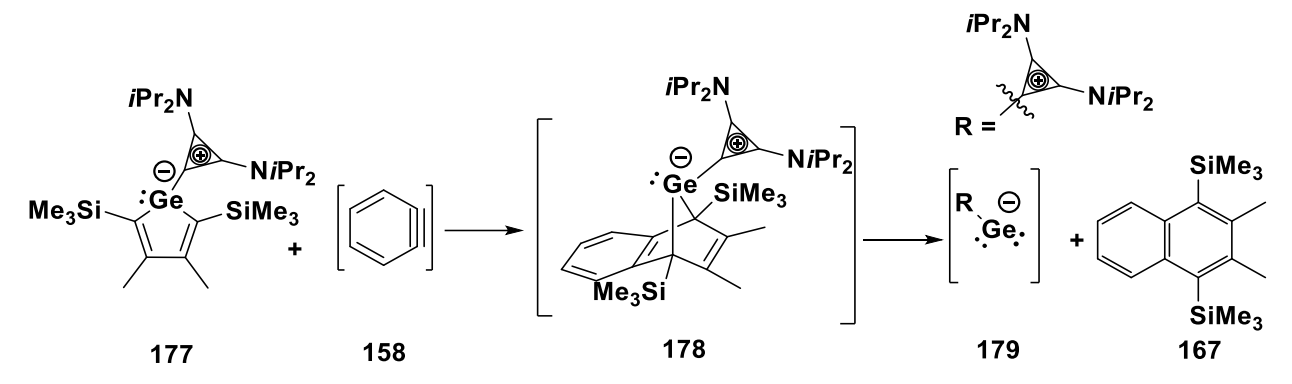
Da das Hydridogermanorbornadien 168 temperaturlabil ist, wurde versucht Germanorbornadiene mit anderen möglichen Abgangsgruppen, wie einer Allyl- oder Triflatgruppe, darzustellen. Erstere kann durch eine heterolytische Bindungsspaltung der Ge-C-Bindung unter Einsatz eines starken Elektrophils wie einem Triethylsilylkation durchgeführt werden. Die Allylgruppe wird bei dieser Reaktion auf das benzolstabilisierte Triethylsilylkation **76** übertragen.<sup>[78, 144]</sup> Zur versuchten Darstellung der Germanorbornadiene 173 und 174 wurde ebenfalls die Syntheseroute über eine Cycloaddition der entsprechenden Germole mit Arin genutzt. Diese Germanorbornadiene 173 und 174 erwiesen sich jedoch ebenfalls als instabil (siehe Schema 59).

Schema 59: Versuchte Synthese der Allyl-/bzw. Triflatbenzogermanorbornadiene 173 und 174 über eine Diels-Alder-Reaktion der Germole 152 und 172 mit in situ synthetisiertem Arin 158.

Auch das Allylgermanorbornadien 173 konnte nicht über eine Diels-Alder-Reaktion des Allylgermols 152 dargestellt werden. Durch die Nutzung von 1-Brom-1-fluorbenzol 161 als Arinvorstufe ließ sich nur das Naphthalinderivat 167, sowie die Biphenylderivate 159 und 160 Triphenylen nachweisen. Nachdem die 2-(Trimethylsilyl)-phenyltrifluormethansulfonsäure 162 als Arinvorstufe eingesetzt wurde, konnten zumindest Spuren Germanorbornadiens 173 nachgewiesen triflatsubstituierte des werden. Das Germanorbornadien 174 konnte nicht einmal in Spuren nachgewiesen werden. Hier zeigen NMR spektroskopische Untersuchungen lediglich die bekannte Mischung aus

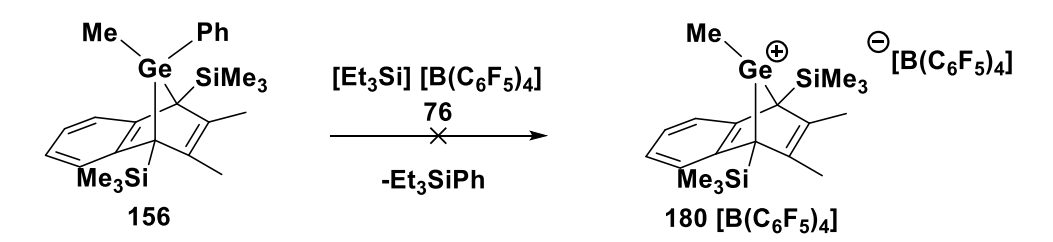
Naphthalinderivat **167**, Biphenylderivaten **159** und Triphenylen **160**. (Für die Synthese und Charakterisierung von Germol **172** siehe Kapitel 3.3.3).

Auch ein Versuch, durch die Cycloaddition von Germacalicen 177 mit dem Arin ein nur dreifach koordiniertes Germanorbornadien 178 darzustellen (siehe Schema 60), welches sich durch Thermolyse in eine phosphinidenanaloge Germaniumverbindung überführen lassen würde, scheiterte. Es konnte lediglich das Naphthalinderivat 167 NMR spektroskopisch und massenspektrometrisch nachgewiesen werden.



Schema 60: Versuchte Synthese des Benzo-7-germanorbornadiens 178 über eine Diels-Alder-Reaktion des Germacalicens 177 mit *in situ* synthetisiertem Arin 158.

Da das allylsubstituierte Germanorbornadien **173** nicht zugänglich war, sollte die Phenylgruppe des Germanorbornadiens **156** in einer analogen Reaktion als Abgangsgruppe genutzt werden (siehe Schema 61).



Schema 61: Versuchte Synthese eines Benzo-7-germanorbornadienylkations 180.

Hierzu wurde zunächst das benzolstabilisierte Triethylsilyliumion **76** nach einem bekannten Protokoll präpariert. Die Reaktion wurde in  $C_6D_6$  durchgeführt, entsprechend bildete sich ein zweiphasiges Reaktionsgemisch, wobei die untere polare Phase das Silylborat **76**[B( $C_6H_5$ )<sub>4</sub>] enthielt. Diese wurde nach einer NMR spektroskopischen Überprüfung zum in  $C_6D_6$  gelösten Germanorbornadien **156** gegeben. In einer anschließenden NMR spektroskopischen Untersuchung der polaren Phase dieser Reaktionsmischung konnte lediglich das Boratanion neben einigen Signalen eines oder mehrere Zersetzungsprodukte nachgewiesen werden.

# 3.2.6 Theoretische Untersuchungen zu den Zerfallsreaktionen der Vorstufen der 7-Germanorbornadienylkationen

Die geringe Stabilität der Germanorbornadiene **168** und **173** ist ungewöhnlich. Entsprechende Siliciumanaloga, welche über die gleiche Syntheseroute zugänglich waren, konnten ohne weitere Probleme isoliert werden.<sup>[20]</sup>

Daher wurden in einem ersten Schritt die Reaktionsenergien der Fragmentierungsreaktion der Germanorbornadiene 153, 156, 168, 173, 174 und 178 in die Germylene 125, 175, 176, 181-183 und das Naphthalinderivat 167 berechnet, um einen Einfluss der Substituenten am Germaniumatom auf die Reaktionsenergie der Fragmentierung untersuchen zu können (siehe Schema 62 und Tabelle 8).

Schema 62: Fragmentierungsreaktion der Benzo-7-germanorbornadiene 153,156,168,173,174 und 178 in das Naphthalinderivat 167 und Germylene 125, 175, 176, 181-183 (¹Ge).

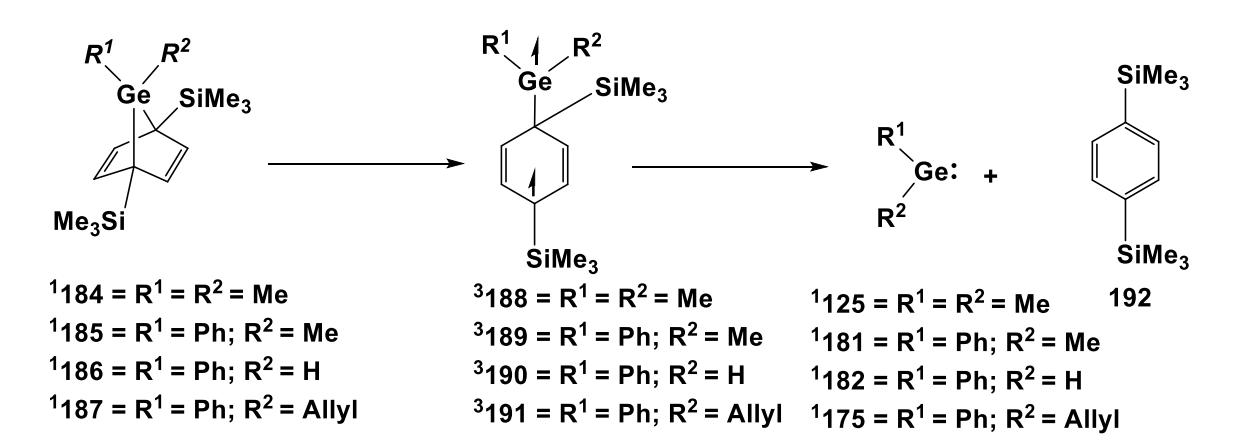
**Tabelle 8**: Reaktionsenergie der Fragmentierungsreaktion der Germanorbornadiene **153,156,168,173,174** und **178** (M06-2X/def2TVZP) [kJ mol<sup>-1</sup>].

	R <sup>1</sup> ; R <sup>2</sup>	ΔΕ	$\Delta G^{298}$
153	Me; Me	147	84
156	Ph; Me	139	79
173	Ph; Allyl	135	65
168	Ph; H	134	77
174	Ph; OTf	109	40
178	Cyclopropenylium	107	24

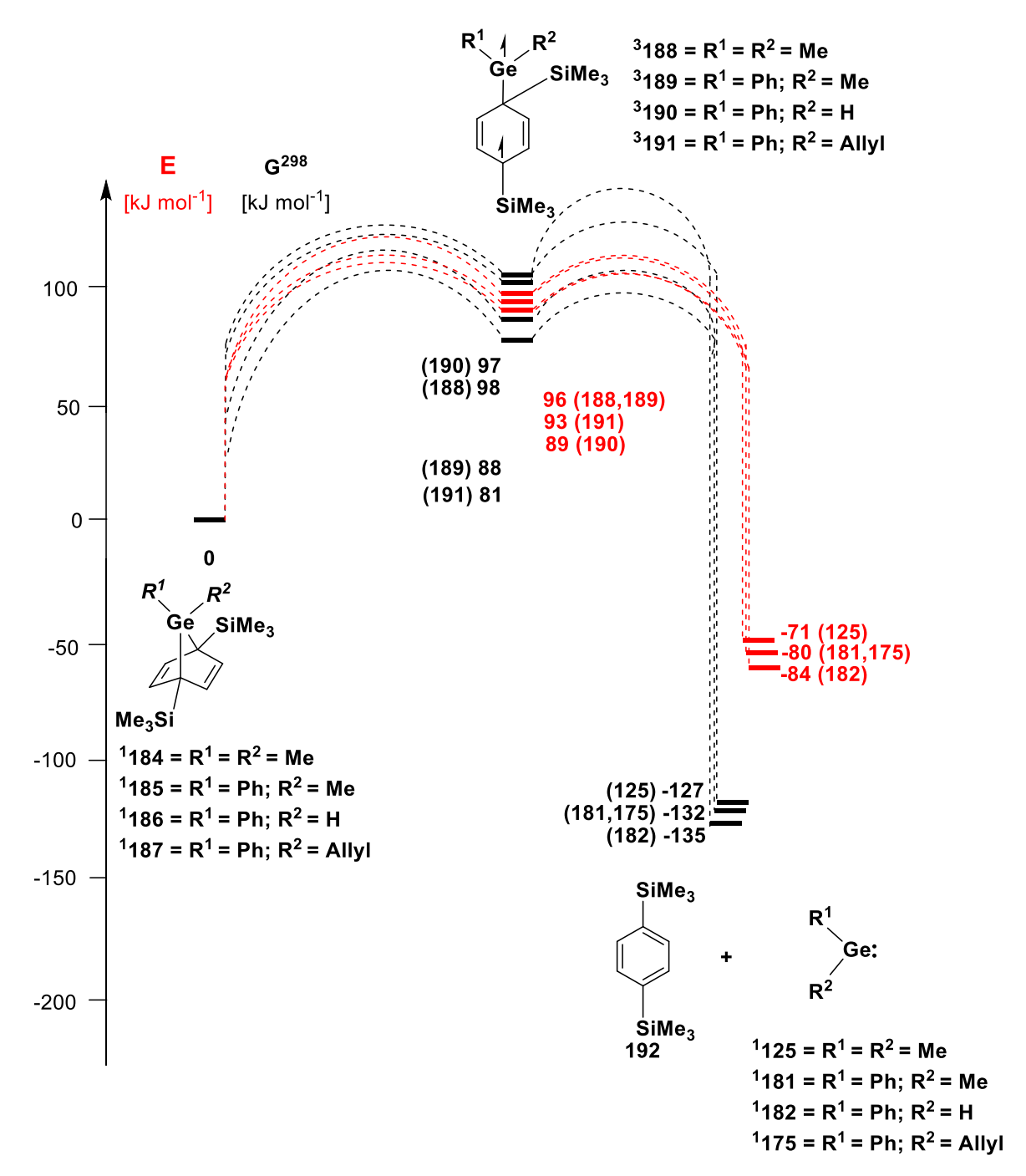
Alle Fragmentierungsreaktionen sind mit  $\Delta E = 107-147 \text{ kJ mol}^{-1}$  endotherm, daher sollten alle Germanorbornadiene stabil sein. Anhand der Reaktionsenergien dieser Fragmentierungsreaktionen ist zudem kein eindeutiger Trend erkennbar, der erklären würde,

warum die methyl, phenyl- und dialkylsubstituierten Germanorbornadiene **153** und **156** im Experiment stabil sind, während sich die hydrido- und allylsubstituierten Germanorbornadiene **168** und **173** im Experiment rasch zersetzen. Anhand dieser Reaktionsenergien ( $\Delta E = 134-147 \text{ kJ mol}^{-1}$ ) sollten die Germanorbornadiene **153,156,168** und **173** stabil sein. Die Fragmentierungsreaktionen der Germanorbornadiene **174** und **178** sind hingegen mit  $\Delta E = 107-109 \text{ kJ mol}^{-1}$  deutlich begünstigter. Dies ist konsistent mit den experimentellen Ergebnissen, da für beide Verbindungen eine Fragmentierungsreaktion beobachtet werden konnte.

Aufgrund dieser unklaren Ergebnisse wurden mögliche Reaktionswege Zersetzungsprozesses genauer betrachtet. Schon 1980 wurde von Neumann et al. ein Biradikal als Zwischenstufe der Fragmentierungsreaktion von Germanorbornadien postuliert.[12] Leshina et al. konnten über ein <sup>1</sup>H CIDNP (chemical induced dynamic nuclear polarization) Experiment das Vorhandensein eines Biradikals in der Fragmentierungsreaktion von Germanorbornadienen nachweisen, welches nicht über ein EPR Experiment nachgewiesen werden konnte.[146] Daher wurde anhand der Modellgermanorbornadiene 184-187 der Einfluss der Substituenten am Germanium in einem radikalisch ablaufenden Fragmentierungsprozess über die Biradikale 188-191 untersucht (siehe Schema 63 und Abbildung 46). Eine Optimierung der Biradikale 188-191 im open shell system des Singulett-Zustands war nicht möglich. Als Näherung wurden die Biradikale daher im Triplett-Zustand berechnet.



Schema 63: Fragmentierungsreaktion der Modellgermanorbornadiene <sup>1</sup>184-<sup>1</sup>187 in das Biradikal <sup>3</sup>188-<sup>3</sup>191 mit anschließender Fragmentierungsreaktion des Biradikals <sup>3</sup>188-<sup>3</sup>191 in das Benzolderivat 192 und Germylene 125, 175, 176, 181-183.



**Abbildung 46**: Berechnete Reaktionskoordinaten der Zerfallsreaktion der Modell-Germanorbornadiene <sup>1</sup>184-<sup>1</sup>187 zum Germylenen <sup>1</sup>125, <sup>1</sup>175, <sup>1</sup>176, <sup>1</sup>181-<sup>1</sup>183 und Benzolderivat 192 mit dem Biradikal <sup>3</sup>188-<sup>3</sup>191 als Zwischenstufe in Abhängigkeit der Substituenten. Die Hartree-Fock Energien (E) (rot) und die freie Enthalpie G<sup>298</sup> (schwarz); (M06-2X/def2-TZVP).

Die Reaktion der Modellgermanorbornadiene  $^1$ 184- $^1$ 187 zu den Biradikalen  $^3$ 188- $^3$ 191 ist unabhängig vom Substituenten am Germanium in allen untersuchten Fällen endotherm ( $\Delta E = 89-96 \text{ kJ mol}^{-1}$ ) und endergon ( $\Delta G = 81-98 \text{ kJ mol}^{-1}$ ). Mit  $\Delta E = 89-93 \text{ kJ mol}^{-1}$  liegen die hydrido- und allylsubstituierten Biradikale  $^3$ 190 und  $^3$ 191 energetisch etwas günstiger, als die methylsubstituierten Verbindungen. Im Experiment waren die methylsubstituierten Germanorbornadiene 153 und 156, im Gegensatz zu den hydrido- und allylsubstituierten

Germanorbornadienen 168 und 173, stabil. In einem zweiten Schritt wurde die Fragmentierungsreaktion der Biradikale <sup>3</sup>188-<sup>3</sup>191 in die Germylene <sup>1</sup>125, <sup>1</sup>175, <sup>1</sup>176, <sup>1</sup>181-<sup>1</sup>183 und das Benzolderivat 192 untersucht. Die Fragmentierung der Biradikale <sup>3</sup>188-<sup>3</sup>191 ist untersuchten Fällen exotherm  $(\Delta E = -71 - (-84 \text{ kJ mol}^{-1}))$ ( $\Delta G = -127 - (-135)$  kJ mol<sup>-1</sup>). Die Fragmentierungsreaktion des Hydridobiradikals <sup>3</sup>190 in das Germylen <sup>1</sup>182 und das Benzolderivat 192 ist mit ( $\Delta E = -84 \text{ kJ mol}^{-1}$ ) gegenüber den anderen untersuchten Verbindungen ( $\Delta E = -71 - (-80) \text{ kJ mol}^{-1}$ ) leicht begünstigt. Dies ist konsistent mit experimentellen Ergebnissen, wonach das Hydridogermanorbornadien den temperaturlabil ist, während die alkylsubstituierten Germanorbornadiene 153 und 156 bei Raumtemperatur isoliert werden können. Jedoch ist die Reaktion aller Biradikale <sup>3</sup>188-<sup>3</sup>191 zu den Germylen 1125, 1175, 1176, 1181-1183 und dem Benzolderivat 192 exotherm und exergon und sollte demnach für alle Verbindungen ablaufen. Die ebenfalls experimentell gezeigte Instabilität der Allylverbindung 173 lässt sich mit Hilfe dieses Modells ebenfalls nicht erklären. Auch die experimentell gezeigte Stabilität der dialkyl- und methyl, phenylsubstituierten Germanorbornadiene 153-157 konnte mit diesem Modell nicht erklärt werden.

Zudem sollte beachtet werden, dass es sich bei dem oben beschriebenen Modell lediglich um eine Näherung zur zweistufigen Fragmentierung der Germanorbornadiene <sup>1</sup>184-<sup>1</sup>187 handelt, da die Biradikale <sup>3</sup>188-<sup>3</sup>191 nicht im Singulett-Zustand berechnet werden konnten. Dass die aus einer Fragmentierungsreaktion von Germanorbornadienen entstehenden Germylene wie erwartet im Singulett-Zustand vorliegen, konnte auch experimentell von Neumann und Mitarbeitern belegt werden. <sup>[147]</sup>. Obwohl Leshina *et al.* auch Hinweise auf ein Biradikal und entsprechend ein Germylen im Triplett-Zustand fanden, <sup>[146]</sup> erklärt das oben dargestellte Modell die Instabilität der Germanorbornadiene **168** und **173** nicht zufriedenstellend.

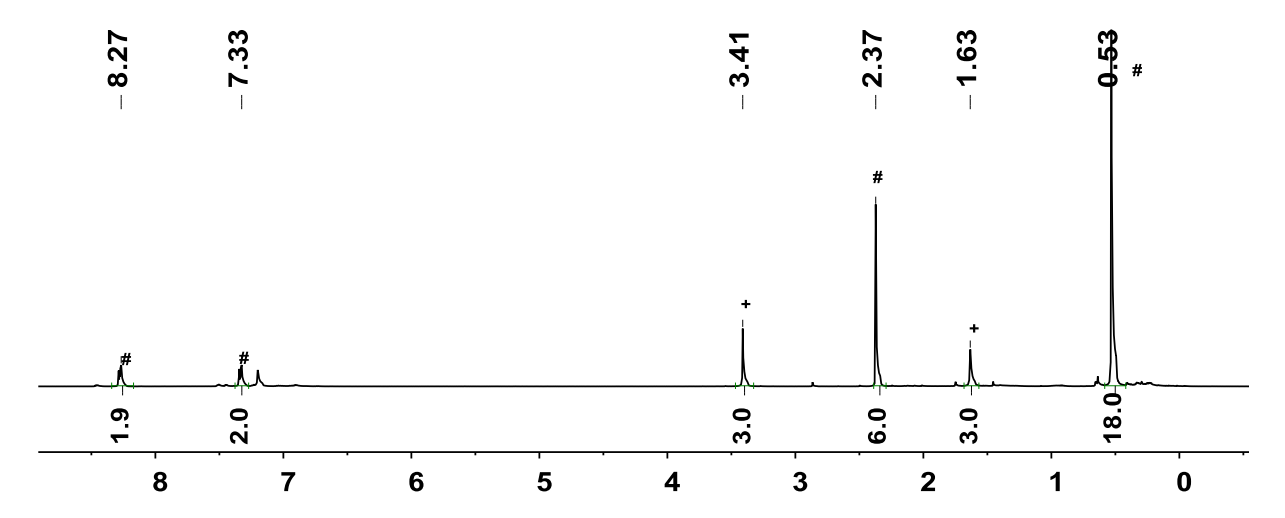
#### 3.2.7 Reaktivität der Benzo-7-germanorbornadiene

In einem nächsten Schritt wird die Reaktivität der Benzo-7-germanorbornadiene **153-157** gegenüber Carbenen untersucht und mit der Reaktivität der Dibenzo-7-germanorbornadiene **6** und **102** mit Carbenen verglichen.

# 3.2.7.1 Nukeophil induzierte Fragmentierungsreaktionen der Benzo-7germanorbornadiene

Um die Carben-induzierte Fragmentierung von Benzo-7-germanorbornadienen 153-157 zu untersuchen, wurde zunächst das dimethylsubstituierte Benzo-7-germanorbornadien 153 in

C<sub>6</sub>D<sub>6</sub> gelöst und ein Äquivalent Me4NHC **46** zugegeben. Die Reaktionslösung wurde für zwei Stunden gerührt. Auffällig war der bei dieser Reaktion entstehende farblose Feststoff, welcher während der Reaktion der Dibenzo-7-germanorbornadiene **6** und **102** mit NHC nicht beobachtet werden konnte. Anschließend wurde die Reaktionslösung NMR spektroskopisch untersucht (siehe Abb.47).



**Abbildung 47:** <sup>1</sup>H NMR Spektrum (500 MHz, 305 K, C<sub>6</sub>D<sub>6</sub>) der Reaktionsmischung des Germanorbornadienes **153** mit <sup>Me4</sup>NHC **46(+)**, Naphthalinderivat **167** (#).

In der Reaktionslösung lagen lediglich das Naphthalinderivat 167 und ein Teil des freien Me4NHCs 46 vor. Eine Bildung eines Digermabicyclooctadiens, analog zur Reaktivität der Dibenzo-7-germanorbornadiene 6 und 102, konnte nicht beobachtet werden. Da sich NMR spektroskopisch massenspektrometrisch Reaktionslösung und in der keine germaniumhaltigen Spezies nachweisen ließen, muss es sich bei dem farblosen Feststoff um ein unlösliches Dimethylgerman-Polymer handeln (siehe Schema 64). Die Bildung von nicht weiter untersuchten Germaniumpolymeren aus Germylenen ist bereits bekannt.[130] Zudem ist auffällig, dass der Anteil des Carbens in der Reaktionslösung abnimmt. Eingesetzt wurde ein Äquivalent Me4NHC **46**. Eine Integration der Carben Signale und der Signale des Naphthalinderivats 167 im Protonen NMR Spektrum ergaben jedoch ein Verhältnis von 1:2 (siehe Abbildung 47). Ein ähnliches Verhalten wird in der NHC-induzierten Fragmentierungsreaktion fast aller Benzo-7-germanorbornadiene 153-156 beobachtet (nicht für Germanorbornadien 157). Dies kann auf einen teilweisen Einbau des Carbens in das entstehende Polymer hindeuten.

Schema 64: Reaktion der Germanorbornadiene 153-157 mit Carbenen zum Naphthalinderivat 167 und Polymeren 193-198.

Trotz des Einsatzes verschiedener Lösungsmittel (Pentan, Benzol, Diethylether, Tetrahydrofuran, Dimethylsulfoxid, Pyridin, Ammoniak und Dimethylformamid) konnte der bei der Me4NHC 46 induzierten Fragmentierungsreaktion des Benzo-7-germanorbornadiens 153 entstandene farblose Feststoff nicht in Lösung gebracht werden. Daher wurde in einer analogen Reaktion das *n*-butylsubstituierte Germanorbornadien 154 eingesetzt, um die Löslichkeit des Polymers 195 durch eine längere Alkylkette am Germaniumatom zu verbessern. Die Verlängerung der Alkylkette führte jedoch nicht zu einer besseren Löslichkeit des entstehenden farblosen Feststoffes. Stattdessen konnten nach einer längeren Reaktionszeit von 16 statt zwei Stunden ebenfalls das Naphthalinderivat 167 und freies Me4NHC 46 NMR spektroskopisch nachgewiesen werden. Auch eine weitere Verlängerung der Alkylkette als Substituent des Germaniumatoms im *n*-Octylgermanorbornadien 155 führte nicht zu einer besseren Löslichkeit des in der NHC induzierten Fragmentierungsreaktion entstehenden Polymers 196.

Das asymmetrisch substituierte Germanorbornadien **156** wurde mit <sup>Me4</sup>NHC umgesetzt. Eine asymmetrische Substitution führte ebenfalls nicht zu einer besseren Löslichkeit des aus dieser Reaktion entstehenden Polymers **197**.

Daher wurde das alkylarylethersubstituierte Germanorbornadien **157** synthetisiert (Abbildung 48).<sup>[138]</sup> Die Einführung eines Phenylethers als Substituent ist eine gängige Methode um die Löslichkeit eines Polymers zu erhöhen.<sup>[148]</sup> Dennoch führte die Einführung dieses Substituenten nicht zu einer besseren Löslichkeit des in der Reaktion des

Germanorbornadiens **157** mit <sup>Me4</sup>NHC **46** entstehenden Polymers **198**. Auch hier zeigte die NMR spektroskopische Untersuchung der Reaktionslösung lediglich Signale des Naphthalinderivats **167** und <sup>Me4</sup>NHCs **46**.

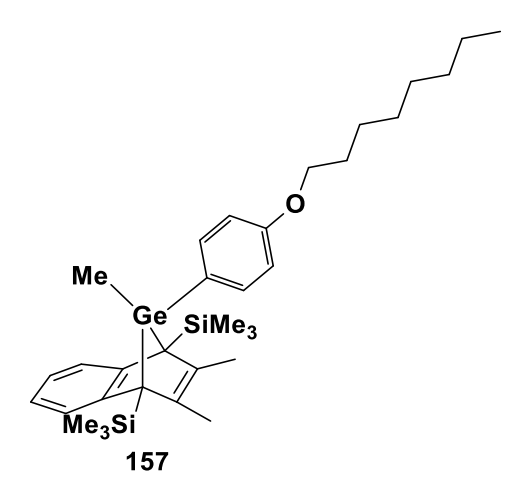
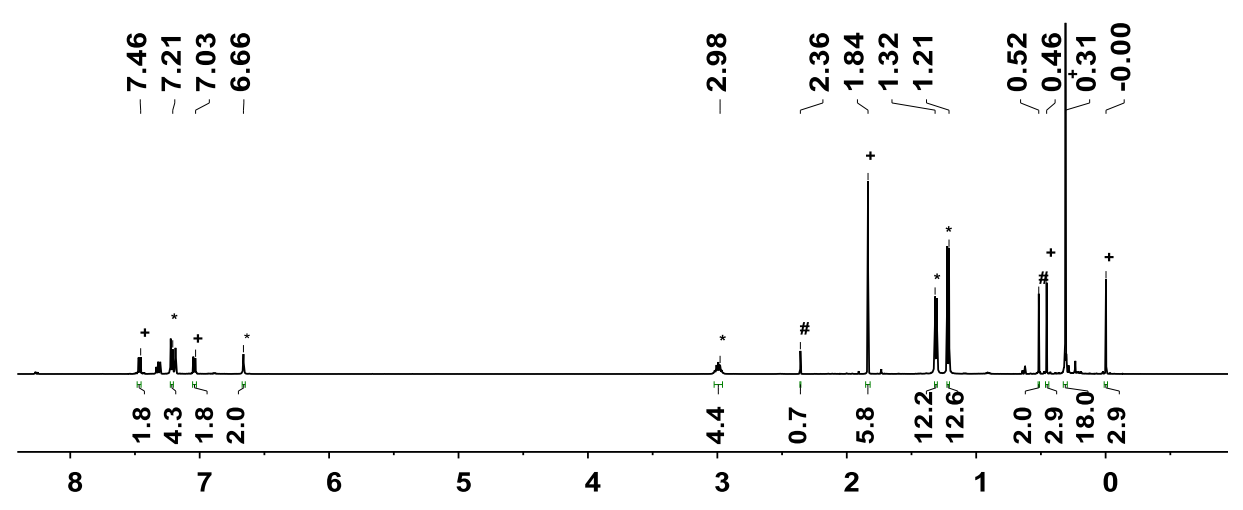


Abbildung 48: Octyloxy-phenylgermanorbornadien 157.

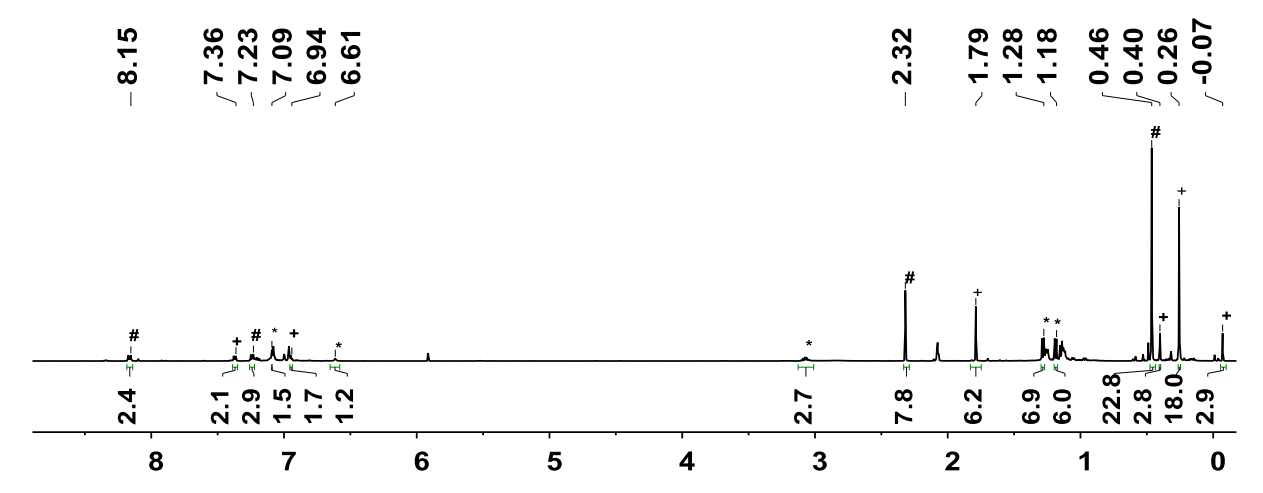
Um den Einfluss der verschiedenen Carbene auf die Fragmentierungsreaktion untersuchen zu können, wurde das Germanorbornadien **153** bei Raumtemperatur in  $C_6D_6$  mit <sup>Dipp</sup>NHC **53** umgesetzt. Eine Reaktionskontrolle nach zwei Stunden zeigte noch keine Reaktion des Carbens mit dem Germanorbornadien **153**. Daher wurde die Reaktionslösung weitere 72 Stunden gerührt. Hierbei bildeten sich geringe Mengen eines farblosen Feststoffes. Anschließend konnten das Naphthalinderivat **167** neben dem Germanorbornadien **153** NMR spektroskopisch in einem Verhältnis von 1:9 nachgewiesen werden. Zudem war ebenfalls freies <sup>Dipp</sup>NHC **53** in der Reaktionsmischung enthalten (siehe Abbildung 49).



**Abbildung 49:** <sup>1</sup>H NMR Spektrum (500 MHz, 305 K, C<sub>6</sub>D<sub>6</sub>) der Reaktionsmischung des Germanorbornadiens **153** (+) mit <sup>Dipp</sup>NHC **53** (\*), Naphthalinderivat **167** (#).

Die Reaktion des Benzo-7-germanorbornadiens **153** läuft mit dem sterisch anspruchsvollerem <sup>Dipp</sup>Carben **53** wesentlich langsamer als mit dem <sup>Me4</sup>NHC **46** ab. Dieser deutliche Unterschied

der Reaktionszeiten konnte in den Reaktionen der Dibenzo-7-germanorbornadiene 6 und 102 mit verschiedenen Carbenen nicht beobachtet werden. Um trotzdem eine Reaktion zu begünstigen, wurde die Reaktionslösung in Toluol gelöst und zunächst auf T = 80°C erhitzt. Trotz Erhöhung der Reaktionstemperatur konnte kein weiteres ablaufen der Reaktion beobachtet werden. Daher wurde die Lösung auf T = 100°C erhitzt um eine thermischinduzierte Fragmentierung des Germanorbornadienes 153 hervorzurufen. Hierdurch lässt sich in einer NMR spektroskopischen Untersuchung neben dem freien DippNHC 53 ein wesentlich größerer Anteil des Naphthalinderivats 167 nachweisen, es entsteht jedoch erneut ein unlöslicher Feststoff. Zudem nimmt erneut der Anteil des Carbens deutlich ab (siehe Abbildung 50). Dies lässt darauf schließen, dass auch das DippCarben 53 Teil des unbekannten Polymers ist.



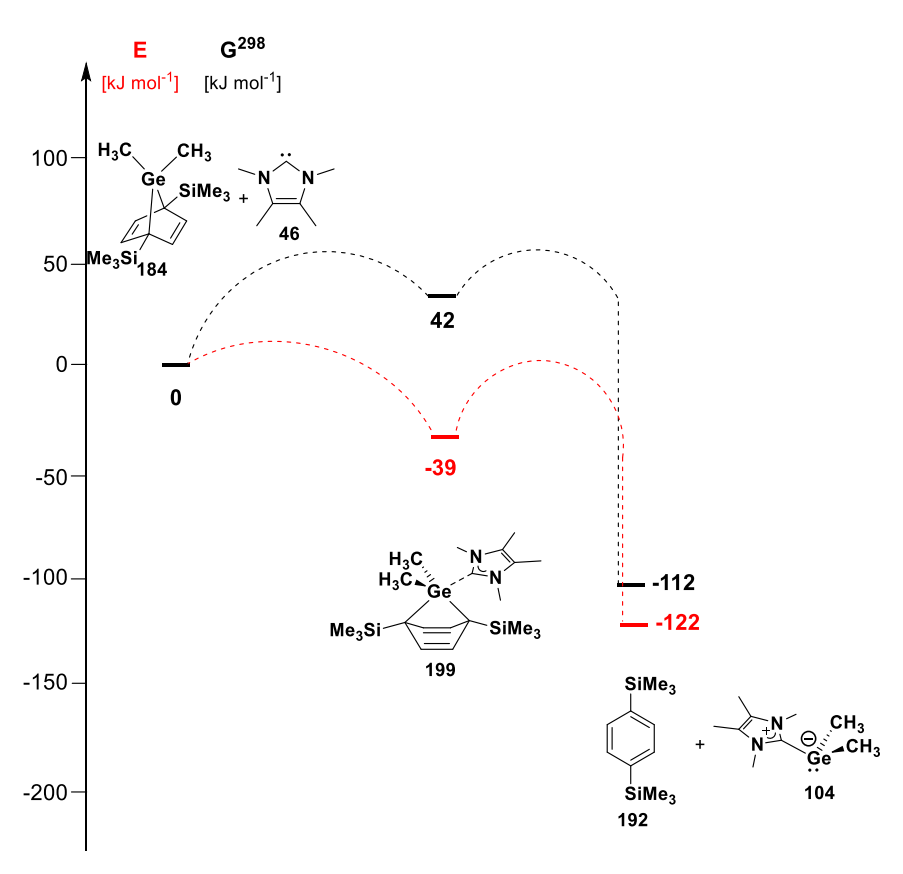
**Abbildung 50:**  $^{1}$ H NMR Spektrum (500 MHz, 305 K,  $C_{6}D_{6}$ ) der Reaktionsmischung des Germanorbornadiens **153** (+) mit  $^{Dipp}$ NHC **53** (\*) bei T = 100°C, Naphthalinderivat **167** (#).

In einem separaten Experiment wurde das Germanorbornadien **153** ohne Carbenzusatz in Toluol für 16 Stunden auf T = 100°C erhitzt. Dies führte, analog zum Dibenzo-7-germanorbornadien **6** und **102**, zu einer Fragmentierung des Germanorbornadiens **153** in das Naphthalinderivat **167** und Germylen **125**. Letzteres kann jedoch nicht in die Germaniumkohlenstoffbindung des Germanorbornadiens **153** insertieren. Analog zur Reaktion des Germanorbornadiens **153** mit NHC **46** bildet sich ein unlösliches Polymer.

## 3.2.7.2 Theoretische Untersuchungen zur Entstehung des Polymers

Die unterschiedlichen Reaktivitäten der Dibenzo-7-germanorbornadiene 6 und 102 und Benzo-7-germanorbornadiene 153-157 finden sehr wahrscheinlich ihren Ursprung in der Trimethylsilylsubstitution am C1/C4 Atom der Benzo-7-germanorbornadiene 153-157. Dieser weist eine sterische Hinderung während der Insertion des Germylens in die Ge-C-Bindung der

Benzo-7-germanorbornadiene 153-157 auf. Daher wurden mit Hilfe von quantenchemischen Rechnungen die möglichen Reaktionswege zu einer Insertion des Germylens bzw. einer Polymerisation verglichen. Zunächst wurde, analog zu den Dibenzo-7-germanorbornadienen 6 und 102, ein Mechanismus zur Fragmentierung der Germanorbornadiene 153-157 anhand 184 untersucht Abbildung der Modellverbindung (siehe 51). Analog Fragmentierungsreaktion des Modellgermanorbornadiens 122 ist der erste Schritt des Mechanismus die endotherme ( $\Delta E = 42 \text{ kJ mol}^{-1}$ ) und exergone ( $\Delta G^{298} = -39 \text{ kJ mol}^{-1}$ ) Bildung eines Begegnungskomplexes 199. Die anschließende Fragmentierung ist exotherm  $(\Delta E = -122 \text{ kJ mol}^{-1})$  und exergon  $(\Delta G^{298} = -112 \text{ kJ mol}^{-1})$ . Eine weitere Spaltung der Bindung zwischen dem Germylen und dem Carben ist stark endotherm ( $\Delta E = 154 \text{ kJ mol}^{-1}$ ) und daher unwahrscheinlich.

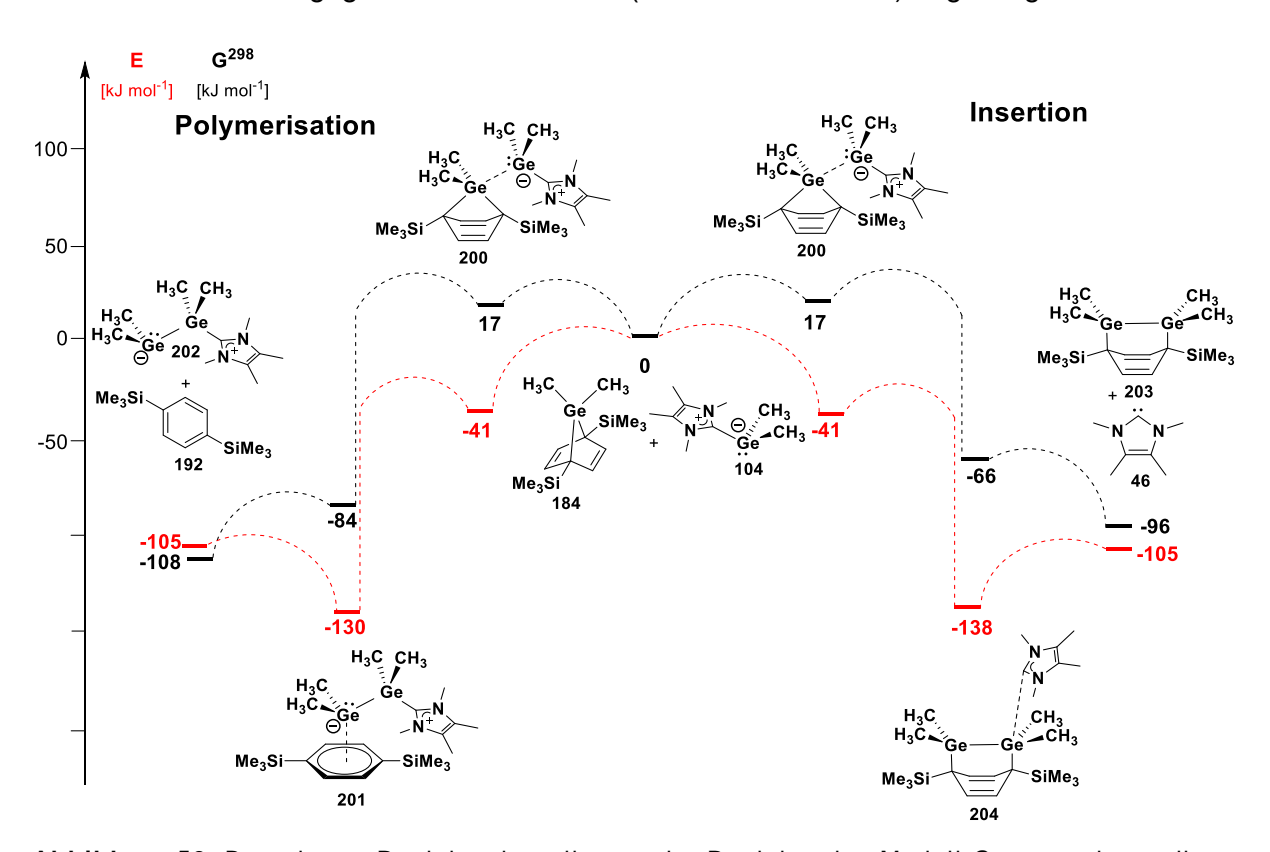


**Abbildung 51**: Berechnete Reaktionskoordinaten der Reaktion des Modell-Germanorbornadiens **184** mit NHC **46**. Die Hartree-Fock Energien E sind rot und die freien Enthalpien G<sup>298</sup> sind schwarz gekennzeichnet (M06-2X/6-311+G(d,p)).

Im nächsten Schritt bildet sich in einem ebenfalls endothermen ( $\Delta E = 17 \text{ kJ mol}^{-1}$ ) und exergonen ( $\Delta G^{298} = -41 \text{ kJ mol}^{-1}$ ) Reaktionsschritt der Begegnungskomplex **200** (siehe Abbildung 52). Dieser Komplex kann entlang zweier möglicher Reaktionspfade reagieren. Zum einen ist, analog zur Reaktivität des Dibenzo-7-germanorbornadiens, eine Insertion des Germylens möglich. Ein anderer Reaktionspfad führt zu einer Polymerisation des Germylens, welche im Experiment beobachtet wurde. Wie erwartet handelt es sich bei der Polymerisation

um den begünstigten Reaktionspfad. Hier reagiert der Komplex **200** in einem exothermen ( $\Delta E = -130 \text{ kJ mol}^{-1}$ ) und einem exergonen ( $\Delta G^{298} = -84 \text{ kJ mol}^{-1}$ ) Schritt zur Modellverbindung **201**. Eine anschließende Bindungsspaltung zum Benzolderivat **192** und der Polymermodellverbindung **202** ist endotherm ( $\Delta E = -105 \text{ kJ mol}^{-1}$ ( $\Delta \Delta E = 25 \text{ kJ mol}^{-1}$ )) aber exergon ( $\Delta G^{298} = -108 \text{ kJ mol}^{-1}$ ). Auch die Insertion des Germylens beginnt mit einem exergonen ( $\Delta G^{298} = -66 \text{ kJ mol}^{-1}$ ) und exothermen ( $\Delta E = -138 \text{ kJ mol}^{-1}$ ) Reaktionsschritt. Die Entstehung des Digermabicyclooctadiens **203** ist endotherm ( $\Delta E = -105 \text{ kJ mol}^{-1}$ ), aber exergon ( $\Delta G^{298} = -96 \text{ kJ mol}^{-1}$ ).

Ein Vergleich der beiden Reaktionsschritte zeigt, dass die Polymerisation mit  $\Delta G^{298} = -108 \text{ kJ mol}^{-1}$  gegenüber der Insertion ( $\Delta G^{298} = -96 \text{ kJ mol}^{-1}$ ) begünstigt ist.



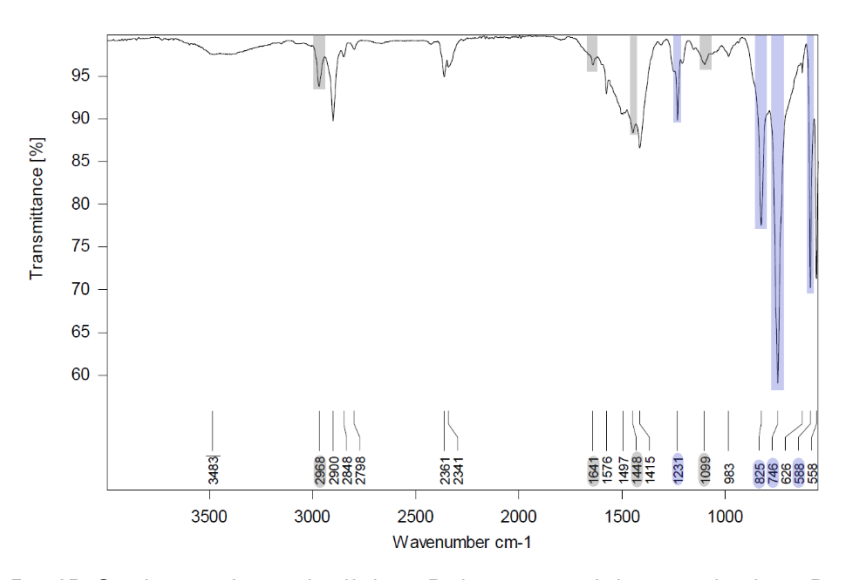
**Abbildung 52**: Berechnete Reaktionskoordinaten der Reaktion des Modell-Germanorbornadiens **184** mit dem NHC-stabilisierten Germylen **124** in zwei möglichen Reaktionswegen (Polymerisation vs. Insertion). Die Hartree-Fock Energien (E) sind rot und die freien Enthalpien G<sup>298</sup> sind schwarz gekennzeichnet (M06-2X/6-311+G(d,p)).

#### 3.2.7.3 Charakterisierung des Polymers

Da die germaniumhaltigen Polymere nicht gelöst werden konnten, musste die Zusammensetzung als Feststoff analysiert werden. Hierzu wurde das dimethylgermylhaltige Polymer **193** (aus der Reaktion mit Me<sup>4</sup>NHC) als Modell genutzt.

Das Polymer 193 ließ sich nicht sublimieren, daher war eine übliche massenspektroskopische Untersuchung ausgeschlossen. Entsprechend wurde eine MALDI (Matrix-Assistierte-Laser-Desorption-Ionisierung) ToF (Flugzeitanalyse) Messung durchgeführt. Auch im MALDI-ToF Massenspektrum konnte keine Signalgruppe mit einem Germaniumisotopenmuster nachgewiesen werden.

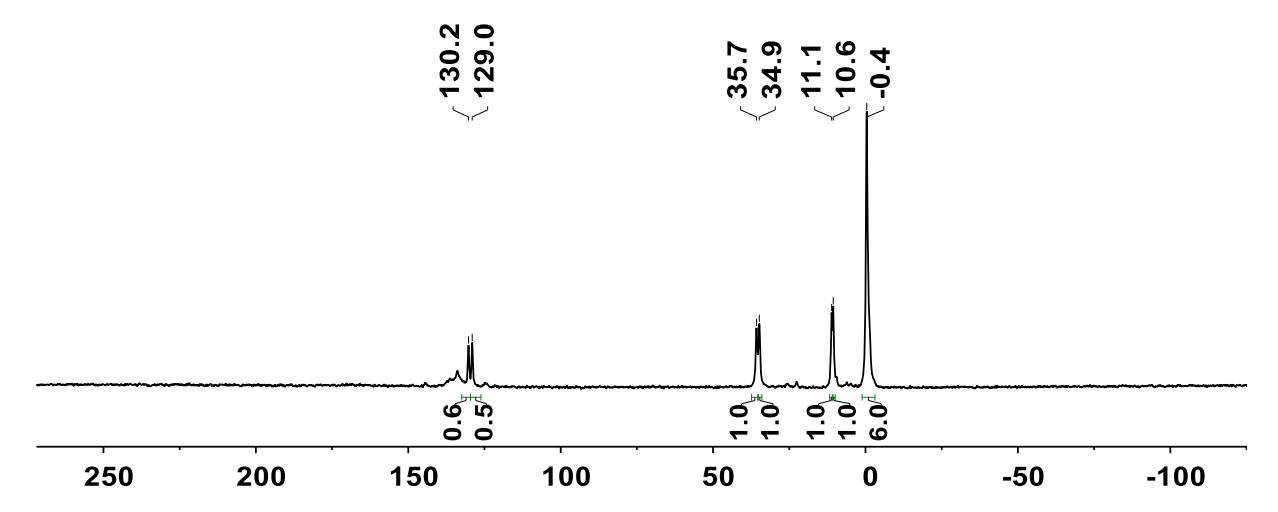
Ein IR Spektrum des Feststoffes **193** zeigt im Fingerprintbereich einige Banden, die sich dem Dimethylgermylen zuordnen lassen (siehe Abbildung 53). Die Bande bei 1231 cm<sup>-1</sup> entspricht einer Ge-CH<sub>3</sub> Deformationsschwingung (Literatur 1230 cm<sup>-1</sup>), die zwei Banden bei 825 cm<sup>-1</sup> und bei 746 cm<sup>-1</sup> entsprechen einer Ge-CH<sub>3</sub> Schaukelschwingung (Literatur 830 cm<sup>-1</sup>, 790 cm<sup>1</sup>). Eine Bande bei 588 cm<sup>-1</sup> lässt sich zudem einer Wippschwingung der Dimethylgermyleneinheit zuordnen (Literatur: 580 cm<sup>-1</sup>). [149] Dies weist auf ein dimethylgermylhaltiges Polymer hin. Zudem weisen Banden bei 2968 cm<sup>-1</sup>, 1641 cm<sup>-1</sup>, 1448 cm<sup>-1</sup> und 1099 cm<sup>-1</sup> auf N-CH<sub>3</sub> Schwingungsbanden hin. (Vergleich Triethylamin [150] 2988 cm<sup>-1</sup>, 1640 cm<sup>-1</sup>, 1472 cm<sup>-1</sup> und 1031 cm<sup>-1</sup>). Dies deutet darauf hin, dass in dem unlöslichen Polymer auch noch Me<sup>4</sup>NHC eingebaut sein kann. Dies würde den geringeren Anteil an Carben in der Reaktionslösung erklären.



**Abbildung 53:** IR Spektrum des unlöslichen Polymers, welches nach einer Reaktion des Germanorbornadiens **153** und <sup>Me4</sup>NHC **46** isoliert wurde. (GeMe<sub>2</sub> Banden = blau, NMe Banden = grau).

Zur Unterstützung dieser These wurde ein  $^{13}$ C $^{1}$ H $^{13}$ Festkörper NMR Spektrum gemessen (siehe Abbildung 54). In diesem Cross Polarization Magic-Angle Spinning (CP-MAS)  $^{13}$ C NMR Spektrum konnte ein Signal bei  $\delta$  ( $^{13}$ C) = -0.4 der Dimethylgermyleneinheit des Polymers zugeordnet werden. Zudem zeigt das  $^{13}$ C CP-MAS NMR Spektrum je einen doppelten Signalsatz bei  $\delta$  ( $^{13}$ C) = 10.6 (11.1) und 34.9 (35.7), welche den Methylgruppen einer  $^{\text{Me4}}$ NHC-Spezies zugeordnet werden können. Die Signale bei  $\delta$  ( $^{13}$ C) = 129.0(130.2) entsprechen dem

 $C_{\beta}$ -Kohlenstoffatom des Carbenrings. Das Signal des Carbenkohlenstoffatoms konnte nicht gefunden werden.



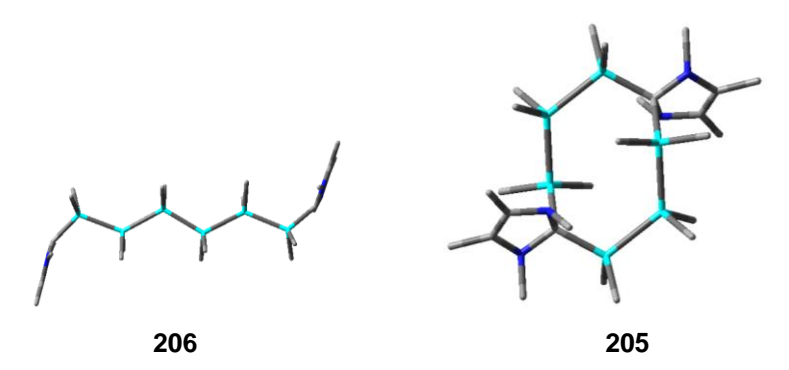
**Abbildung 54:** <sup>13</sup>C{<sup>1</sup>H} CP-MAS NMR Spektrum (125 MHz, 40 kHz, 300 K) des unlöslichen Polymers **193**, welches nach einer Reaktion des Germanorbornadiens **153** und <sup>Me4</sup>NHC **46** isoliert wurde.

Dies untermauert die These, dass das Carben Teil des Polymers sein muss und erklärt ebenfalls, warum in der Reaktionslösung immer ein geringerer Anteil an Carben nachgewiesen wurde. Eine Integration der Signale führt zu einem Verhältnis von 3:1 (Dimethylgermyleneinheit: Me4NHC-Spezies). Eine Integration der Signale der NHC-Spezies zueinander führt zu einem Verhältnis von 1:1. Die Integration der Signale im CP-MAS <sup>13</sup>C NMR Spektrum ist in diesem Fall zulässig, da <sup>13</sup>C Festkörper NMR Spektren durch eine Cross Polarisation im Gegensatz zu <sup>13</sup>C NMR Spektren in Lösung eine quantitative Auswertung zulassen <sup>[151]</sup>.

Zusammenfassend ist nach diversen Untersuchungen von dem unbekannten Polymer bekannt, dass es sich um ein dimethylgermylenhaltiges Polymer handelt, welches in einem Verhältnis von 3:1 eine Me4NHC Spezies eingebaut hat. Mögliche Strukturvorschläge sind hieraus entweder eine lineare oder eine cyclische Verbindung (siehe Abbildung 55). Von Dimethylgermyleneinheiten ist bekannt, dass sie beide Typen von Polymeren ausbilden.<sup>[152-153]</sup>.

**Abbildung 55:** Mögliche Polymertypen des unbekannten Polymers aus der Reaktion von Germanorbornadien **153** mit <sup>Me4</sup>NHC **46** (zur besseren Übersichtlichkeit wurden die Dimethylgermyleneinheiten nur als Ge abgekürzt).

Um besser abschätzen zu können, welcher Verbindungstyp in dem unbekannten Polymer vorliegt, wurden eine cyclische und eine lineare Modellverbindung **205** und **206** verglichen (siehe Abbildung 56). Die lineare Verbindung **206** wurde so gewählt, dass sie dem GeMe<sub>2</sub>/NHC Verhältnis von 3:1 entspricht. Die cyclische Verbindung **205** wurde entsprechend angepasst.



**Abbildung 56:** Mögliche Oligomere **205** und **206** aus der Reaktion von Germanorbornadien **153** mit Me4NHC **46** (M06-2X/def2TVZP).

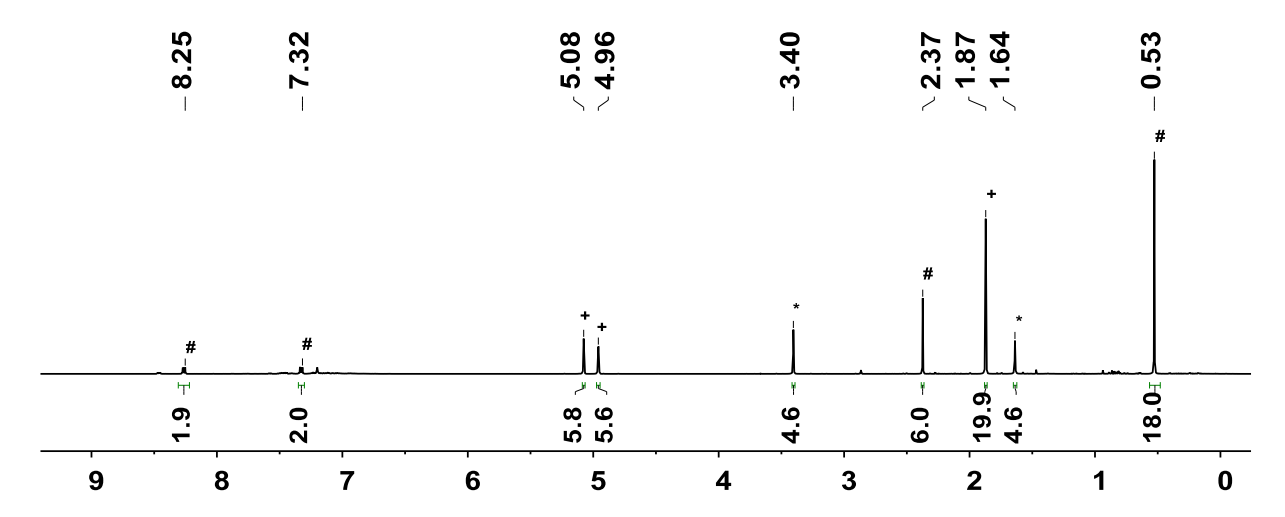
Die cyclische Modellverbindung **205** ist energetisch günstiger als die lineare Modellverbindung **206** ( $\Delta E = 148 \text{ kJ mol}^{-1}$  und  $\Delta G^{298} = 63 \text{ kJ mol}^{-1}$ ). Dies lässt darauf schließen, dass es sich bei dem unlöslichen Polymer um eine cyclische Verbindung handeln sollte.

#### 3.2.7.4 Abfangversuche des Germylens

Da die aus der Fragmentierungsreaktion der Benzo-7-germanorbornadiene **153-157** entstehenden Germylene auf einem anderen Reaktionspfad weiter reagieren, als die bei der Fragmentierung der Dibenzo-7-germanorbornadiene **6** und **102** entstehenden Germylene, wurde erneut versucht, die Germylene abzufangen. Für diese Versuche wurde das methylphenylsubstituierte Germanorbornadien **156** gewählt. Als Abfangreagenzien wurden Methanol und Dimethylbutadien genutzt (siehe Schema 65). Beide Abfangreagenzien waren nicht in der Lage das Germylen abzufangen.<sup>[138]</sup>

Schema 65: Abfangversuche der Germylens 181 mit Dimethylbutadien und Methanol.

Im ersten Abfangversuch des Germylens **182** mit Dimethylbutadien wurden je ein Äquivalent Germanorbornadien **156** und <sup>Me4</sup>NHC **46**, sowie drei Äquivalente des Dimethylbutadiens eingesetzt. Eine NMR spektroskopische Untersuchung der Reaktionslösung zeigte jedoch lediglich Signale des Naphthalinderivats **167**, sowie des freien <sup>Me4</sup>NHCs **46** und des Dimethylbutadiens (siehe Abbildung 38). Die Verbindung **207** konnte nicht nachgewiesen werden.



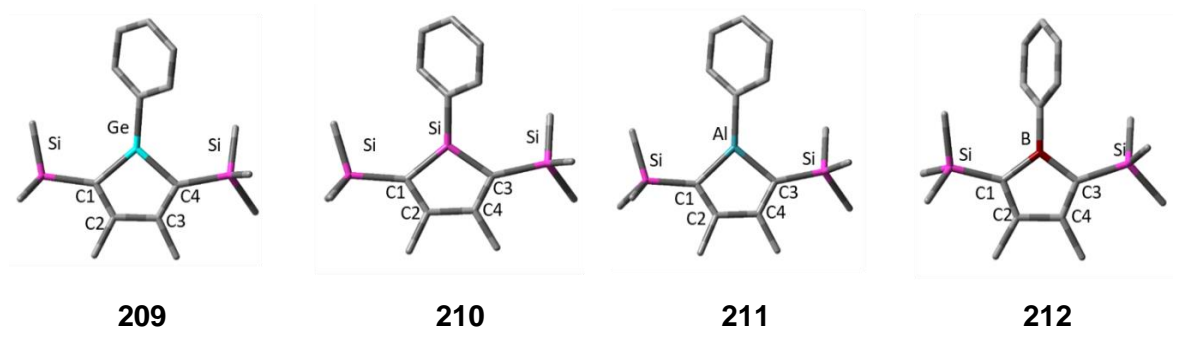
**Abbildung 57:**  $^{1}$ H NMR Spektrum (500 MHz, 305 K,  $C_6D_6$ ) der Reaktionsmischung des Germanorbornadiens **156** mit  $^{\text{Me}4}$ NHC **46** (\*) und Dimethylbutadien (+), Naphthalinderivat **167** (#).

Bei einem analogen Abfangversuch mit Methanol (siehe Schema 65) wurde lediglich das Naphthalinderivat **167** und kein freies Me4NHC **46** NMR spektroskopisch und massenspektrometrisch nachgewiesen. Zudem konnte das Methanolabfangprodukt des Me4NHCs massenspektrometrisch nachgewiesen werden. Verbindung **208** konnte jedoch nicht nachgewiesen werden. Zusammenfassend lassen sich die Germylene weder in der NHC-induzierten Fragmentierungsreaktion vom Dibenzo- (**102**) noch vom Benzogermanorbornadien **156** abfangen.

### 3.3. Germolyl- und Silolylkationen

Die Synthese des Germanorbornadienylkations **180** war nicht möglich, da die Vorläuferverbindungen dieses Kations nicht stabil sind. Die Hydridogermole **150** und **151**, sowie das allylsubstituierte Germol **152** sind hingegen stabil und daher ideale Startverbindungen für die entsprechenden Kationen. Daher werden im folgenden Kapitel Germolylkationen und deren Siliciumanaloga, die Silolylkation, genauer betrachtet.

Germolyl- und Silolylkationen sind die schwereren homologen Verbindungen zum Cyclopentadienylkation. Dieses wird nach der Breslowschen 4π-Elektronenerweiterung der Hückeltheorie häufig als typisches Beispiel für eine anti-aromatische Verbindung bezeichnet.[87, 103] Während einige Derivate des Cyclopentadienylkations im Triplett-Grundzustand vorliegen und daher nach der Bairds-Regel aromatische Verbindungen sind, gibt es auch wenige Beispiele von anti-aromatischen Cyclopentadienylkationen im Singulett-Zustand.[104-106] Diese Anti-Aromatizität führt im Gegensatz zu aromatischen Verbindungen zu einer Destabilisierung der Verbindungen und damit verbunden zu einer hohen Reaktivität. [87] Daher wurde das anti-aromatische Cyclopentadienylkation lediglich in gefrorenem Dichlormethan, festem Antimonpentafluorid oder in inerten Edelgas-Matrizen untersucht. [105, <sup>108, 154]</sup> Die isoelektronischen Borole weisen ebenfalls einen schwachen anti-aromatischen Charakter auf. Diese Eigenschaft wird mit ihrer hohen Reaktivität verknüpft.[105, 108, 155-157] Antiaromatische Germolyl- oder Silolylkationen sollten demnach ebenfalls hoch reaktiv sein. Daher werden im Folgenden die Modellverbindungen der Heterole 209-212 im Singulett-Zustand optimiert (siehe Abbildung 58) (M06-2X/def2-TZVP). Alle Verbindungen weisen je zwei lokalisierte C=C-Doppelbindungen mit einer Bindungslänge von 134.6-135.9 pm sowie eine Kohlenstoffeinfachbindung mit einer Bindungslänge von 153.2-154.9 pm auf. Die Bindungslängen dieser formal antiaromatischen Heterole sind in Tabelle 9 zusammengefasst.



**Abbildung 58:** Berechnete Strukturen der Germolyl **209**-und Silolylkationen **210**, sowie Alumol **211** und Borol **212** im Singulett-Zustand (M06-2x/6-def2-TVZP).

Zudem wurden die Heterole **209-212** ebenfalls im Triplett-Zustand optimiert. Hier zeigten alle Verbindungen anhand ihrer delokalisierten C-C-Bindungen einen aromatischen Charakter. Die

Bindungslängen zwischen den Kohlenstoffatomen C1 und C2 sowie C3 und C4 sind mit 143.3-145.1 pm im Vergleich zu den lokalisierten Doppelbindungen des Singulett-Zustandes deutlich verlängert, während die Bindungen zwischen den Kohlenstoffatomen C2 und C3 mit 138.7-140.8 pm deutlich verkürzt sind (alle Bindungslängen der Heterole werden in Tabelle 9 zusammengefasst). Die E-C1 Bindungslängen befinden sich sowohl im Triplett-Zustand als auch im Singulett-Zustand im erwarteten Bereich für E–C-Einfachbindungen.<sup>[140, 158-159]</sup> Die E-C1-Bindungslängen sind im Triplett-Zustand jedoch geringfügig verkürzt.

**Tabelle 9:** Bindungslängen der berechneten Strukturen der Heterole und Heterolylkationen **209- 212** [pm] im Singulett- und Triplett-Zustand (M06-2x/def2-TZVP).

	E-C1	C1-C2	C2-C3	C3-C4
Germolylkation(Singulett)	192.0	135.9	154.8	135.8
Germolylkation (Triplett)	190.6	143.3	140.8	143.3
Silolylkation(Singulett)	181.6	135.8	154.9	135.3
Silolylkation (Triplett)	180.7	144.4	140.6	144.4
Alumol (Singulett)	194.3	135.2	154.1	134.9
Alumol (Triplett)	193.2	145.1	138.7	145.5
Borol (Singulett)	158.0	134.6	153.2	134.7
Borol (Triplett)	154.8	144.8	138.9	144.8

Außerdem wurden die Energieunterschiede zwischen dem Triplett- und dem Singulett-Zustand, sowie die HOMO-LUMO-Lücken dieser Verbindungen bestimmt (siehe Tabelle 10).

Tabelle 10: HOMO und LUMO Energien sowie die HOMO-LUMO-Lücke [eV] und der Energieunterschied der Singulett- und Triplett-Zustände (ΔE<sub>ST(adiabatisch)</sub>) [eV] der neutralen Heterole und Heterolylkationen (M06-2x/def2-TZVP).

	НОМО	LUMO	E <sub>HOMO/LUMO</sub>	$\Delta E_{ST(adiabatisch)}$
Germolylkation	-11.39	-6.14	5.24	13.77
Silolylkation	-11.50	-6.11	5.37	13.15
Alumol	-7.42	-1.32	6.10	18.45
Borol	-7.32	-1.66	5.66	11.46

Die großen HOMO-LUMO-Lücken von  $E_{HOMO/LUMO} = 5.2-6.1$  eV sowie der sehr große Energieunterschied zwischen den Singulett- und den Triplett-Zuständen ( $\Delta E_{ST} = 11.5-18.5$  eV), bei denen der Singulett-Zustand erwartungsgemäß begünstigt ist, legen nahe, dass sich die Heterole im Singulett-Zustand befinden. Der durch eine Jahn-Teller-Verzerrung dann nicht mehr anti-aromatische Singulett-Zustand ist häufig begünstigt und liegt

energetisch tiefer als der Triplett-Zustand. [160] Erwartungsgemäß ist ΔE<sub>ST</sub> des Modellborols **212** kleiner als  $\Delta E_{ST}$  der anderen Heterole. Von Borolen mit anderen Substitutionsmustern ist ein anti-aromatischer Charakter bekannt. Der abnehmende anti-aromatische Charakter der Heterole vom Borol zum Silolylkation wurde bereits anhand ihrer positiven NICS Werte (Nucleus-independent chemical shift) nachgewiesen.[161] Daher kann die Reaktivität der Silolylund Germolylkationen nicht mit einem anti-aromatischen Charakter begründet werden. Diese Reaktivität kann jedoch durch den starken Lewis-aciden Charakter dieses Verbindungstyps erklärt werden. Um die Lewis-Acidität der Heterole quantifizieren zu können, wurde die Methode der fluoride ion competition (FIC) herangezogen. Hierbei wird die Bindungsenthalpie des Fluorids zu einer Lewis-Säure berechnet. Da das freie Fluoridion sehr schwer zu modellieren ist wird in der Regel ein Fluoridüberberträger, wie das [COF<sub>3</sub>]<sup>-[162]</sup> oder [Et<sub>3</sub>BF]<sup>-[117]</sup> in einer isodesmischen Reaktion zu Hilfe genommen. In dieser Arbeit wurde Triethylboran genutzt, um eine bessere Vergleichbarkeit mit den vorangegangenen Arbeiten von Großekappenberg et al.[117] und Künzler et al.[68] herzustellen (siehe Schema 66 und Tabelle 11). Hieraus ergibt sich die Fluorid Ionen competition gegenüber Et<sub>3</sub>BF (FIC<sup>Et3B</sup>). Zudem wurden die Lösungsmitteleffekte des Benzols nach dem SCIPCM-Modell mit einbezogen, da in der Gasphase die elektrostatische Anziehung der Ionen und deren Ladungsneutralisation die berechnete FICEt3B stark beeinflussen.[163]

Schema 66: Isodesmische Reaktion der Heterole 209-212 zur Berechnung der FIC<sup>Et3B</sup>.

**Tabelle 11:** Fluoride Ion Competition (FIC<sup>Et3B</sup>) der Heterole und Heterolylkationen [kJ mol<sup>-1</sup>] (M06-2X/def2-TZVP).

		FIC <sup>Et3B</sup>	FICET3B (SCIPCM-Benzol)
209	Germolylkation	543	353
217	Trimethylgermyliumion	605	374
210	Silolylkation	626	435
218	Trimethylsilyliumion	674	462
211	Alumol	172	152
212	Borol	97	77
219	SbF <sub>5</sub>	246	248
220	Tris(pentafluorophenyl)boran (BCF)	-	155

Nach einer Definition von Krossing und Mitarbeitern handelt es sich bei allen molekularen Lewis-Säuren, die in der Gasphase eine höhere Lewis-Acidität aufweisen als das monomere Antimonpentafluorid 219 um Lewis-Supersäuren. [164] Die FICEt3B des SbF<sub>5</sub> 219 beträgt 248 kJ mol<sup>-1</sup> (246 kJ mol<sup>-1</sup> in der Gasphase). Anhand ihrer FIC<sup>Et3B</sup> können sowohl das Germolylkation 209 als auch das Silolylkation 210 mit einer FICEt3B von 353 kJ mol-1 und 435 kJ mol-1 als Lewis-Supersäuren eingeordnet werden. Betrachtet wurden hier nur die FICs<sup>Et3B</sup> nach dem SCIPCM-Modell, da die FICsEt3B der ionischen Verbindungen in der Gasphase aufgrund der elektrostatischen Anziehung im Gegensatz zum SbF₅ deutlich verfälscht wurden. Auch bei den Trimethyltetryliumkationen 217 und 218 handelt es sich aufgrund ihrer FICs<sup>Et3B</sup> von 374 kJ mol<sup>-1</sup> und 462 kJ mol<sup>-1</sup> um Lewis-Supersäuren, welche in einem sehr ähnlichen Lewis-Aciditätsbereich wie die Germolyl- und Silolylkationen 209 und 210 liegen. Die neutralen Gruppe 13 Heterole weisen mit FICs<sup>Et3B</sup> von 152 kJ mol<sup>-1</sup> (Alumol **211**) und 77 kJ mol<sup>-1</sup> (Borol 212) eine wesentlich geringere Lewis-Acidität auf. Bei diesen Verbindungen handelt es sich nicht Lewis-Supersäuren. Ein Vergleich mit der starken Lewis-Säure um Tris(pentafluorophenyl)boran **220** (BCF), dessen FIC<sup>Et3B</sup> bei 155 kJ mol<sup>-1</sup> liegt, zeigt, dass das Borol 212 keine starke Lewis-Säure ist. Das Alumol 211 weist eine ähnliche Lewis-Acidität wie das Boran 220 auf. Daher handelt es sich bei dem Alumol 211 um eine starke Lewis-Säure. Aufgrund ihrer sehr hohen Lewis-Superacidität kann von den Germolyl- und Silolylkationen 209 und 210 eine hohe Aktivität in Bindungsaktivierungsreaktionen erwartet werden. [63, 65] Daher soll im folgenden Kapitel die Stärke der Lewis-Acidität dieser Verbindungsklasse untersucht und deren Eigenschaften in Bindungsaktivierungsreaktionen getestet werden. Da es nicht möglich war, die freien Germolyl- und Silolylkation zu isolieren, wurden die Heteroltriflate genutzt, um die Lewis-Acidität der Heterolylkationen auch experimentell zu bestimmen. Zudem wurden die Imidazoliumderivate dieser Verbindungen dargestellt und untersucht.

#### 3.3.1 Studien zur Synthese von Germolylkationen

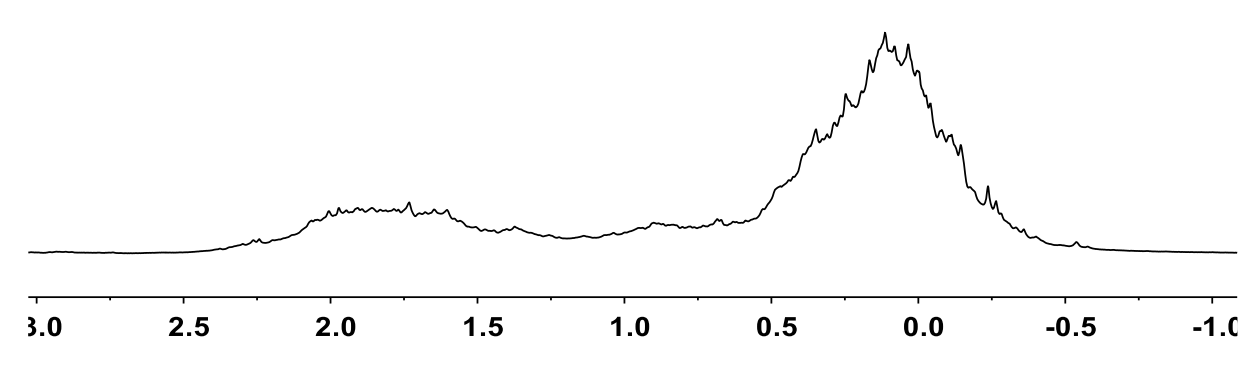
Es wurden Versuche zur Synthese der freien Germolylkationen über Hydridtransferreaktionen (Corey-Reaktionen<sup>[74, 165]</sup>) sowie Halogenidtransferreaktionen durchgeführt.

### 3.3.1.1 Versuchte Synthese von Germolylkationen über eine Hydridtransferreaktion

In einer ersten Testreaktion sollte das Hydridogermol **150** dehydriert werden. Hierzu wurden das Hydridogermol **150** mit dem Tritylborat  $[Ph_3C][B(C_6F_5)_4]$  **221** in  $C_6D_6$  umgesetzt (siehe Schema 67).

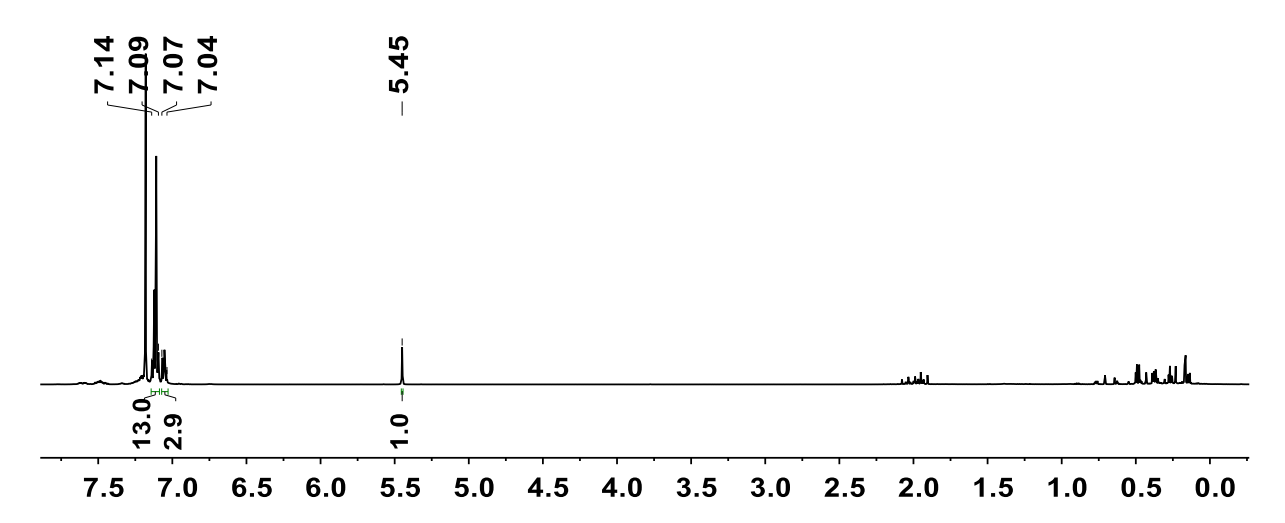
Schema 67: Versuchte Synthese der Germolylkationen 209 und 222 über eine Corey-Reaktion.

Durch den Einsatz von Benzol als Lösungsmittel bildete sich ein zweiphasiges Reaktionsgemisch. Eine Untersuchung der polaren Phase dieser Reaktionsmischung zeigte lediglich Signale von Zersetzungsprodukten des Germolylkations **209** (siehe Abbildung 59). Der Phenylsubstituent des Hydridogermols **150** gewährleistete daher eine zu geringe sterische Abschirmung des entstehenden Germolylkations.



**Abbildung 59**: Ausschnitt des <sup>1</sup>H NMR Spektrums (500 MHz, 305 K,  $C_6D_6$ ) der polaren Phase der Reaktionsmischung aus der Reaktion des Hydridogermols **150** mit [Ph<sub>3</sub>C][B( $C_6F_5$ )<sub>4</sub>] **221**.

Auch die unpolare Phase der Reaktionsmischung zeigte lediglich Signale von diversen Zersetzungsprodukten des Germolylkations **209** (siehe Abbildung 60). Das Vorhandensein des Triphenylmethans, welches über sein charakteristisches C-H Signal bei der chemischen Verschiebung von  $\delta$  ( $^{1}$ H) = 5.45 identifiziert wurde, bestätigt, dass ein Hydridtransfer stattgefunden hat.



**Abbildung 60:** <sup>1</sup>H NMR Spektrum (500 MHz, 305 K, C<sub>6</sub>D<sub>6</sub>) der unpolaren Phase der Reaktionsmischung aus der Reaktion des Hydridogermols **150** mit [Ph<sub>3</sub>C][B(C<sub>6</sub>F<sub>5</sub>)<sub>4</sub>] **221**.

In einem weiteren Versuch wurde ein Äquivalent Me4NHC 46 zur Reaktionslösung hinzugefügt, um das entstehende Germolylkation 209 als NHC-Addukt abzufangen. Ein solches Addukt des Germolylkations konnte über diesen Syntheseweg jedoch nicht dargestellt werden. Eine NMR spektroskopische Untersuchung beider Phasen des Reaktionsgemisches wies nur Signale mehrerer Zersetzungsprodukte auf.

Um eine bessere Stabilisierung des Kations zu gewährleisten, wurde die Phenylsubstitution des Germols durch eine Pentamethylphenyl(Pemp)-Substitution ersetzt. Diese sollte das entstehende Germolylkation **222** besser vor nukleophilen Angriffen abschirmen. Zudem sind bereits Germylkationen bekannt, die nicht bei Raumtemperatur stabil sind. Ein Beispiel hierfür ist das tris(bi-*tert*-butoxy)-germylkation **223**, welches 2008 von der Arbeitsgruppe Schnepf publiziert wurde. Dieses ist nur bis zu einer Temperatur von T = -20°C stabil. Auch das erst kürzlich von der Arbeitsgruppe Wesemann publizierte intramolekular arylstabilisierte Dihydridogermylkation **224** ist temperaturlabil (siehe Abbildung 61). [69]

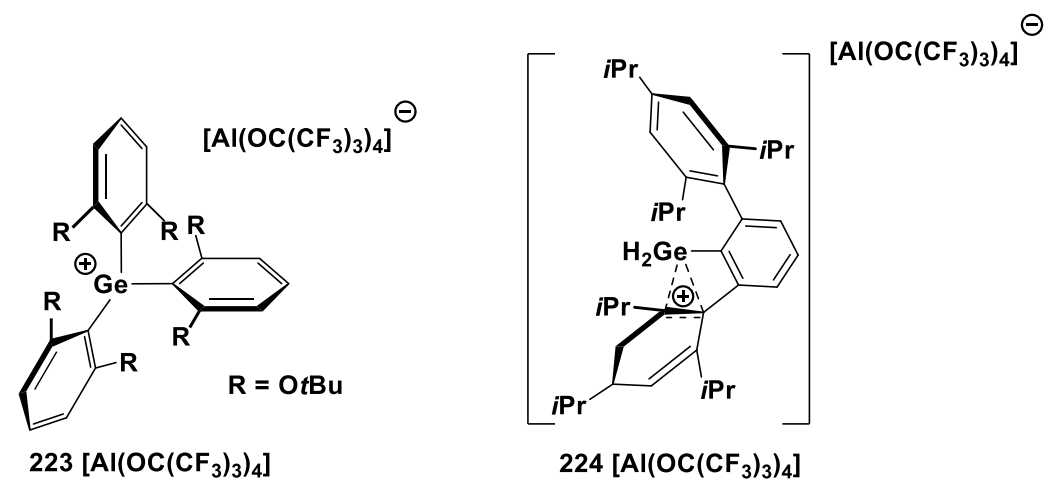


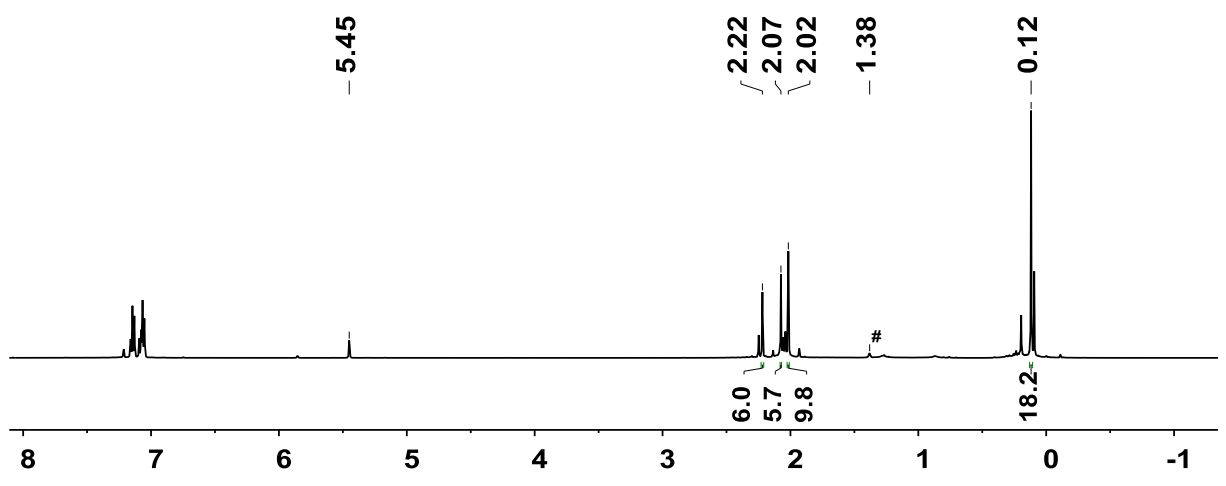
Abbildung 61: Schnepf Germylkation 223 und Wesemann Germylkation 224.

Daher wurde die Corey-Reaktion des Hydridogermols **151** bei T = -35°C in Chlorbenzol durchgeführt, um ein gegebenenfalls temperaturlabiles Germolylkation **222** besser stabilisieren zu können. Doch auch eine Pempsubstitution des Germols und eine Verringerung der Reaktionstemperatur boten keine ausreichende Stabilisierung des Germolylkations **222**. Erneut konnte durch das vorhandene Triphenylmethan bestätigt werden, dass eine Corey-Reaktion abgelaufen ist. Das entstandene Germolylkation **222** war jedoch nicht stabil. Daher konnten abermals lediglich die Zersetzungsprodukte des Kations NMR spektroskopisch nachgewiesen werden.

Es gibt Hinweise auf eine stabilisierende Wirkung von Acetonitril als Koordinationspartner des pempsubstituierten Germolylkations in der Verbindung **225** (siehe Schema 68).

Schema 68: Versuchte Synthese als Organonitrilium stabilisierten Germolylkations 225.

Im Anschluss einer Corey-Reaktion unter Einsatz von Hydridogermol **151** und Tritylborat **221** in der Gegenwart von CD<sub>3</sub>CN konnte folgendes <sup>1</sup>H NMR Spektrum der polaren Phase des Reaktionsgemisches erhalten werden (siehe Abbildung 62).



**Abbildung 62:**  $^{1}$ H NMR Spektrum (500 MHz, 305 K,  $C_6D_6$ ) der polaren Phase der Reaktionsmischung aus der Reaktion des Hydridogermols **151** mit [Ph<sub>3</sub>C] [B( $C_6F_5$ )<sub>4</sub>] **221** mit  $CD_3CN$  (#).

Dieses zeigt neben zwei nicht identifizierbaren Nebenprodukten Signale eines neuen pempsubstituierten Germols. Die Protonensignale der unbekannten Germolverbindung

welches das Hauptprodukt dieser Reaktion ist, und des Hydridogermols **151** werden in Tabelle 12 gegenübergestellt.

**Tabelle 12**: Übersicht der <sup>1</sup>H NMR spektroskopischen Daten des Hydridogermols **151** und des unbekannten Germols (500 MHz, 305 K, C<sub>6</sub>D<sub>6</sub>).

	Hydridogermol 151	unbekanntes Germol
Si <u>Me₃</u>	0.24	0.12
C- <u>Me</u> 3	2.11	2.07
Pemp (para Me)	2.05	2.02
Pemp (meta Me)	2.06+2.13	2.02
Pemp (ortho Me)	2.20+2.76	2.22

Auffällig ist, dass die Signale der meta- und ortho Methylgruppen des Pempsubstituenten des neuen Germols, im Gegensatz zum Hydridogermol 151 magnetisch äquivalent sind. Das Hydridogermol 151 weist je zwei nicht magnetisch äquivalente meta- und ortho-Methylgruppen des Pempsubstituenten bei  $\delta$  (<sup>1</sup>H) = 2.06 und 2.13, sowie  $\delta$  (<sup>1</sup>H) = 2.20 und 2.76 auf. Die para und meta Methylgruppen des unbekannten Germols befinden sich vermutlich in der gleichen chemischen Umgebung und weisen lediglich ein Signal bei δ (¹H) = 2.02 auf. Auch die ortho Methylgruppen dieses Germols sind magnetisch äquivalent und zeigen nur ein Signal bei  $\delta$  (<sup>1</sup>H) = 2.22. Die hohe Symmetrie der unbekannten Germolverbindung kann ebenfalls in der berechneten Struktur des pempsubstituierten Germolylkations 222, jedoch nicht in der berechneten Struktur der Verbindung 225 beobachtet werden. Dies ist jedoch kein eindeutiger Beweis für das Entstehen eines Germolylkations. Im Fall von Silylkationen kann deren Existenz durch die für die von Silolylkationen charakteristische Tieffeldverschiebung der Signale im <sup>29</sup>Si NMR Spektrum bestätigt werden. Da die <sup>73</sup>Ge NMR Spektroskopie aufgrund der niedrigen Frequenz und des kleinen gyromagnetischen Verhältnisses nicht praktikabel ist und der Einfluss eines positiv geladenen Germaniumatoms auf die NMR chemischen Verschiebungen der Nachbaratome im <sup>1</sup>H und <sup>13</sup>C{<sup>1</sup>H} NMR Spektren gering ist, <sup>[65]</sup> sollte das Vorhandensein dieses Kations bestenfalls über eine Kristallstruktur belegt werden. Diese konnte jedoch nicht erhalten werden.

Da für die Germolhydride **150** und **151** eine Hydridtransferreaktion möglich war, wurde keine Germanium-Kohlenstoffbindungsspaltung mit dem allylsubstituierten Germol **152** durchgeführt.

# 3.3.1.2 Versuchte Synthese von Germolylkationen über eine Germanium-Halogenidtransferreaktion

Eine weitere Syntheseroute für Germylkationen ist die weniger bekannte heterolytische Bindungsspaltung von Germanium-Halogenbindungen. Aufgrund der hohen Bindungsstabilität einer Silicium-Halogenbindung eignet sich diese Reaktionsführung jedoch nicht so gut zur Synthese von Silylkationen.<sup>[63]</sup> Die Germanium-Halogenbindungspaltung kann durch den Einsatz von Silbersalzen schwach koordinierender Anionen durchgeführt werden.<sup>[80]</sup> Ebenso können Triethylsilylkation für diese Reaktion eingesetzt werden.<sup>[79]</sup> Hierbei bildet sich Triethylsilylhalogenid.

In einem ersten Versuch wurde das phenylsubstituierte Chlorgermol 139 mit Triethylsilylborat  $76[B(C_6F_5)_4]$  umgesetzt (siehe Schema 69). Auch in diesem Versuch konnten nur Zersetzungsprodukte des Germolylkations 209 erhalten werden.

Schema 69: Versuchte Synthese des Germolylkationens 209.

Daher wurde versucht, das Germolylkation über eine Reaktion mit dem Silbersalz des Dodecabrom-*closo*-dodecaborats ([Ag]<sub>2</sub>[B<sub>12</sub>Br<sub>12</sub>]) **226** darzustellen (siehe Schema 70).

Schema 70: Versuchte Synthese des Germolylkations 209 über eine Ge-Cl-Bindungsspaltung.

Das phenylsubstituierte Chlorgermol **139** wurde als Ausgangsverbindung gewählt. Dieses wurde zusammen mit dem Silbersalz **226** zunächst in Toluol gelöst. Die Reaktionslösung wurde, aufgrund der Lichtempfindlichkeit des Silbersalzes **226**, unter Lichtausschluss für 16 Stunden bei Raumtemperatur gerührt. Nach dem Aufarbeiten der Reaktionslösung konnte in einer NMR spektroskopischen Untersuchung ausschließlich das Startmaterial nachgewiesen werden. Um zum einen die Löslichkeit des *closo*-borats zu verbessern und zum anderen ein entstehendes Kation besser zu stabilisieren wurde diese Reaktion in Acetonitril wiederholt. Es

konnte jedoch weiterhin keine Reaktion beobachtet werden. Auch durch die Nutzung von Dichlormethan als Lösungsmittel konnte keine Reaktion des Chlorgermols **139** mit dem Silbersalz **226** beobachtet werden. Daher wurden analog zur Untersuchung des Catecholboreniumkations von Ingelson und Mitarbeitern<sup>[166]</sup> zusätzlich Triethylphosphanoxid (Et<sub>3</sub>PO) **227** zur Reaktionslösung gegeben. Bei dieser Reaktion wird nicht das freie Kation erhalten, jedoch konnte der Phosphanoxidkomplex **229** isoliert werden. Mit Hilfe der Verschiebung des Triethylphosphans im <sup>31</sup>P{¹H} NMR Spektrum kann eine experimentelle Abschätzung der Lewis-Säurestärke des Kations vorgenommen werden (Gutmann-Beckett-Methode<sup>[167-168]</sup>). (siehe Schema 71).

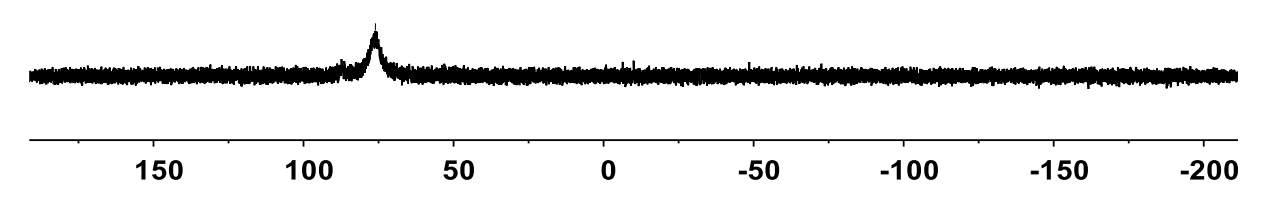
Schema 71: Synthese des Gutmann-Beckett-Addukts 229.

Es wurde versucht diese Reaktion auf das Germol 139 zu übertragen. Daher wurde das Chlorgermol 139 mit dem Silberborat 226 und Et₃PO 227 zur besseren Löslichkeit in Chlorbenzol gelöst (siehe Schema 72).

Schema 72: Versuchte Synthese des Germolylkations 209 über eine Ge-Cl-Bindungsspaltung mit anschließender Stabilisierung durch Triethylphosphanoxid 227.

Die Reaktionslösung wurde unter Lichtausschluss für 16 Stunden gerührt. Eine NMR spektroskopische Untersuchung der Reaktionslösung zeigte jedoch erneut lediglich Signale die dem Chlorgermol **139** sowie dem Phosphanoxidkomplex des Silberkations zugeordnet werden können. (siehe Abbildung 63). Die chemische Verschiebung des <sup>31</sup>P NMR Signals dieses Produktes wurde durch ein separates Experiment bestätigt.

76.0



**Abbildung 63:** <sup>31</sup>P{<sup>1</sup>H} NMR Spektrum (202 MHz, 305 K, C<sub>6</sub>D<sub>6</sub>) Gutmann-Beckett-Addukts des Silberkations.

Da unter Einsatz des Silbersalzes **226** keine Salzmetathesereaktion beobachtet werden konnte, wurde ein anderes schwach koordinierendes Anion genutzt. Die Wahl der Anionen und des Lösungsmittels sind entscheidende Faktoren in der Synthese von Germyl- und Silylkationen. Das bis dato einzige Beispiel einer erfolgreichen Germanium-Halogenidbindungspaltung über eine Silbersalzmetathesereaktion mit dem Silbersalz **232** wurde von der Arbeitsgruppe Schnepf veröffentlicht (siehe Schema 73). Sie nutzten das Aluminat als schwach koordiniertes Anion. Die Reaktion wurde in Dichlormethan bei T = -35°C durchgeführt. Das Germyliumaluminat **223[Al(OC(CF<sub>3</sub>)<sub>3</sub>)<sub>4</sub>)]** ist nur bei Temperaturen bis höchstens T = -20°C stabil.

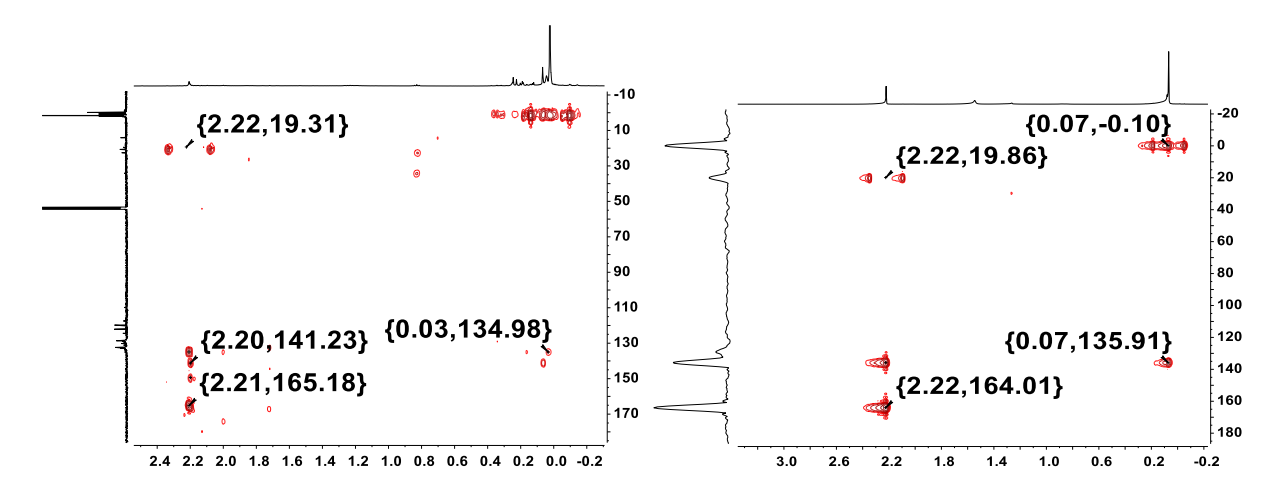
Schema 73: Synthese des Germyliumaluminats  $223[Al(OC(CF_3)_3)_4)]$  über eine Silbersalzmetathesereaktion (R = tert-Butylether).

Das Germolchlorid **139** wurde daher in einer analogen Reaktion mit dem Silbersalz **232** unter Lichtausschluss umgesetzt (siehe Schema 74). Hierzu wurden das Germolchlorid **139** und das Silbersalz **232** in einem Schlenkkolben vorgelegt. Anschließend wurden die Feststoffe sowie das Dichlormethan auf T = -80°C gekühlt. Nach der Zugabe des Lösungsmittels wurde die

Reaktionslösung auf T = -35°C erwärmt und zwei Tage bei dieser Temperatur und unter Lichtausschluss gerührt.

Schema 74: Versuchte Synthese des Germolylaluminats 209[Al(OC(CF<sub>3</sub>)<sub>3</sub>)<sub>4</sub>].

In einer anschließenden NMR spektroskopischen Untersuchung der Reaktionslösung bei  $T=-35^{\circ}C$  konnten jedoch sowohl im Protonen als auch im  $^{13}C$  NMR Spektrum, lediglich Signale beobachtet werden, die eine sehr ähnliche chemische Verschiebung wie das Edukt aufwiesen (siehe Abbildung 64). So liegen die charakteristischen Signale der C1/C4 sowie C2/C3 Kohlenstoffatome (siehe Schema 74) des phenylsubstituierten Chlorgermols **139** bei einer chemischen Verschiebung von  $\delta$  ( $^{13}C$ ) = 135.9 und  $\delta$  ( $^{13}C$ ) = 164.0, während die  $^{13}C$  NMR spektroskopischen Signale der gebildeten, unbekannten Verbindung aus der Reaktionsmischung nur geringfügig verschoben sind ( $\delta$  ( $^{13}C$ ) = 134.9 und  $\delta$  ( $^{13}C$ ) = 165.2).



**Abbildung 64:** Ausschnitte der <sup>1</sup>H<sup>13</sup>C HMBC NMR Spektren (500 MHz, 305 K, CD<sub>2</sub>Cl<sub>2</sub>) der Reaktionsmischung des Germolchlorids **139** und des Silbersalzes **232** links und des Chlorgermols **139** rechts.

Dementsprechend kann das freie Germolylkation **209** nicht entstanden sein. Eine weitere Möglichkeit besteht prinzipiell in der Koordination des Chlorgermols **139** am Silberkation zur Verbindung **234** (siehe Abbildung 65). Diese Reaktivität konnte bereits für die ähnliche Siliciumverbindung **235** anhand einer Kristallstruktur nachgewiesen werden. Durch die Koordination des tri-*tert*-Butylsiliciumbromids an ein Silberkation konnte im <sup>29</sup>Si NMR Spektrum im Vergleich zur unkoordinierten Verbindung ein Verschiebungsunterschied von  $\Delta\delta$  (<sup>29</sup>Si) = 2

beobachtet werden. Eine Verschiebung der Protonen- und Kohlenstoffsignale der Verbindung wurde nicht berichtet. Daher ist es aufgrund dieser Datenlage nicht möglich, zwischen einem nicht reagierten Germolchlorid 139 und einem an das Silberkation koordinierten Germolchlorid 234 zu unterscheiden. Abhilfe würde eine Kristallstruktur dieser Verbindung schaffen. Es konnten farblose Einkristalle aus der Reaktionslösung des Chlorgermols 139 mit dem Silbersalz 231 erhalten werden. Diese zersetzten sich jedoch, bevor sie gemessen werden konnten.

**Abbildung 65**: Mögliche Koordination des Germolchlorids am Silberkation zur Verbindung **234**, analog zur Verbindung **235**.<sup>[82]</sup>

Eine weitere aus der Siliciumchemie bekannte Reaktionsmöglichkeit wäre zudem die definierte Zersetzung des Aluminatanions unter Bildung eines Zwitterions **236** (siehe Abbildung 66). Bei dieser Reaktion wird jedoch auch das Epoxid **237** gebildet, wodurch diese Zersetzung anhand weitere Signale im <sup>19</sup>F NMR Spektrum bei  $\delta$  (<sup>19</sup>F) = -64.4 und  $\delta$  (<sup>19</sup>F) = -108.4 detektiert werden kann. <sup>[169]</sup> Bei der Reaktion des Chlorgermols **139** mit dem Silbersalz **232** wurde jedoch lediglich ein Signal im <sup>19</sup>F NMR Spektrum bei  $\delta$  (<sup>19</sup>F) = -75.9 beobachtet. Dieses kann dem Anion des Silbersalzes **232** zugeordnet werden.

$$(CF_3)_3CO \xrightarrow{\bigoplus_{AI} - F \xrightarrow{\bigoplus_{Si} t} Bu_3} OC(CF_3)_3 FCF_3$$

$$0C(CF_3)_3 FCF_3$$

$$236$$

Abbildung 66: Zwitterion 236 und Epoxid 237.[169]

Zusammenfassend wurde auf diversen Syntheserouten versucht, die freien Germolylkationen **209** und **222** darzustellen. Dies scheint jedoch unter Berücksichtigung der untersuchten Synthesewege nicht möglich zu sein. Die Kationen sind in der Regel zu reaktiv und bilden keine stabilen Verbindungen, die untersucht werden könnten. Eine Stabilisierung durch Acetonitril könnte eine Möglichkeit sein, jedoch werden hier noch weitere Untersuchungen benötigt.

### 3.3.2. Studien zur Synthese von Silolylkationen

Zudem wurde versucht, ein Silolylkation zu synthetisieren. Dieses sollte durch seine starke Tieffeldverschiebung im <sup>29</sup>Si NMR Spektrum als kationische Spezies identifizierbar sein. Es wurde versucht das Kation über die Corey-Reaktion darzustellen. Das Hydrid wurde jedoch durch den zweiten Substituenten am Silol abgeschirmt, sodass keine Hydridabstraktion beobachtet werden konnte. Eine Silicium-Kohlenstoffbindungsspaltung zwischen dem Silol und einer Allylgruppe führte lediglich zur Bildung von Zersetzungsprodukten des Silolylkations.

## 3.3.2.1 Versuchte Synthese von Silolylkationen über eine Hydridtransferreaktion

Um an einem Silol die Corey-Reaktion durchführen zu können, wurde zunächst das Hydridosilol **238** in sehr guter Ausbeute von 94% synthetisiert (siehe Schema 75). Als zweiter Substituent wurde eine Mesitylgruppe gewählt. Die Synthese eines pempsubstituierten Chlorsilols, analog zum pempsubstituierten Chlorgermol **140**, war nur mit sehr geringen Ausbeuten möglich.<sup>[170]</sup> Daher wurde auf die literaturbekannte Synthese des mesitylsubstituierten Chlorsilols **239** zurückgegriffen.<sup>[171]</sup> Die Mesitylgruppe sollte ein Silylkation ebenso gut sterisch abschirmen wie eine Pempgruppe.

Schema 75: Syntheseroute des Hydridosilols 238 (Mes = Mesityl).

Das Hydridosilol **238** wurde anschließend in einer Hydridtransferreaktion eingesetzt (siehe Schema 76). Hierzu wurde das Hydridosilol **238** in  $C_6D_6$  gelöst. Das in  $C_6D_6$  gelöste Tritylborat **221** wurde schnell hinzugegeben. Die Reaktionslösung wurde 15 min bei Raumtemperatur gerührt. Anschließend wurde die polare Phase des Reaktionsgemisches NMR spektroskopisch untersucht. Es konnte keine Reaktion festgestellt werden.

Schema 76: Versuchte Synthese des Silolylkations 241 über eine Hydridtransferreaktion.

Daher wurde die polare Phase erneut in das Reaktionsgefäß überführt. Um die Reaktion zu ermöglichen wurde die Reaktionslösung für mehrere Stunden auf T = 50°C erhitzt. Dies führte jedoch lediglich zur Entstehung unbekannter Zersetzungsprodukte. Diese Ergebnisse lassen darauf schließen, dass der Mesitylsubstituent des Silols **238** dessen Hydrid sehr effektiv abschirmt, sodass ein Hydridtransfer nicht möglich ist.

### 3.3.2.2 Versuchte Synthese des Silolylkations über eine Silicium-Kohlenstoffbindungsspaltung

Da eine Hydridtransferreaktion für das Hydridosilol **238** nicht möglich war, wurde eine Allylfunktion eingeführt, um anschließend analog zur Synthese des ersten Silyliumions **75** von Lambert *et al.* eine Silicium-Kohlenstoffbindungsspaltung durchführen zu können. <sup>[66]</sup> Eine Allylgruppe sollte einen besseren Angriffspunkt für ein starkes Elektrophil, wie Triethylsilylkation, bieten, während die Mesitylgruppe das entstehende Silylkation abschirmt. Die Synthese des Allylsilols **242** ist in Schema 77 dargestellt. Im Gegensatz zum Germaniumanalogon **152** konnte die Synthese des Allylsilols **242** nicht bei Raumtemperatur unter Einsatz eines Äquivalentes Allylgrignard durchgeführt werden. Die Synthese des Allylsilols **242** gelang stattdessen in sehr guter Ausbeute von 98% unter Einsatz von sechs Äquivalenten Allylgrignard in Tetrahydrofuran und bei T = 60°C.

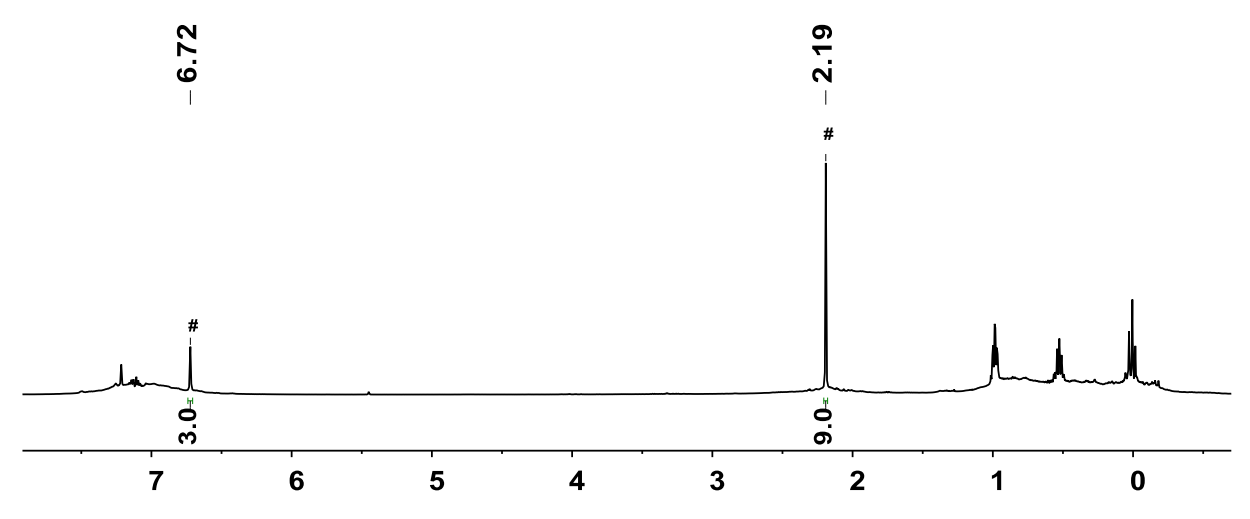
Schema 77: Synthese des Allylsilols 242 (Ausbeute 98%).

Das Allylsilol **242** wurde anschließend mit dem zuvor nach einer bekannten Synthesevorschrift präparierten benzolstabilisierten Triethylsilylkation **76** umgesetzt (siehe Schema 78). [74, 145]

Schema 78: Versuchte Synthese des Silolylkations 241.

Nach einer Reaktionszeit von 30 Minuten wurde zunächst die polare Phase des Reaktionsgemisches NMR spektroskopisch untersucht (siehe Abbildung 67). Da das Edukt nicht mehr vorhanden war, ist davon auszugehen, dass der Allyltransfer auf das Triethylsilylkation stattgefunden hat. Die Reaktionslösung wies jedoch kein für Silylkationen charakteristisches stark ins Tieffeld verschobene Signal im  $^{29}$ Si{ $^{1}$ H} NMR Spektrum auf. Dies sollte nach quantenchemischen Rechnungen (M06L/def2-TZVP) bei  $\delta$  ( $^{29}$ Si) = 248 liegen. Stattdessen ließ sich das Vorhandensein von Mesitylen als Zersetzungsprodukt des Silolylkations in der polaren und unpolaren Phase des Reaktionsgemisches NMR spektroskopisch und massenspektrometrisch nachweisen (siehe Abbildung 67). Das Triethylallylsilan ließ sich jedoch weder in der polaren noch in der unpolaren Phase nachweisen.

Diese Reaktion wurde unter Verwendung eines Protonenschwamms (2,6-Di-*tert*-butyl-4-methylpyridin) wiederholt. Dennoch konnte auch in diesem Experiment nur das Mesitylen als Zersetzungsprodukt des Silolylkations nachgewiesen werden.



**Abbildung 67:** <sup>1</sup>H NMR Spektrum (500 MHz, 305 K,  $C_6D_6$ ) der unpolaren Phase der Reaktionsmischung aus der Reaktion des Allylsilols **242** mit [Et<sub>3</sub>Si5 [B( $C_6F_5$ )<sub>4</sub>] **76**(# = Mesitylen).

Das freie Silolylkation **241** erwies sich als eine zu reaktive Spezies, die nicht isoliert werden konnte.

### 3.3.3 Germolyl- und Silolyltrifluormethansulfonsäureester

Nachdem über die bekannten Syntheserouten weder ein freies Germolyl- oder Silolylkation noch ein Phosphanoxid- oder NHC-Addukt dieser Verbindungen dargestellt werden konnten, wurde mit einer Triflatgruppe eine weitere funktionelle Gruppe in die Heterole eingeführt. Diese wurde bereits in der organischen Chemie als gute Abgangsgruppe etabliert.<sup>[172]</sup>

# 3.3.3.1 Synthese und Charakterisierung der Germolyl- und Silolyl trifluormethansulfonsäureester

Die Germolyltrifluormethansulfonsäureester 172 und 243 konnten über eine Salzmetathesereaktion des Silbertriflats mit den jeweiligen Chlorgermolen 139 und 140 in guten Ausbeuten von 74% bis 84% synthetisiert (siehe Schema 79) und NMR spektroskopisch und massenspektrometrisch vollständig charakterisiert werden. Zudem konnten von beiden Germoltriflaten Einkristalle erhalten werden, die sich für eine XRD-Analyse eigneten.

$$R^{1}$$
 CI

 $Ge$  SiMe<sub>3</sub>
 $Ge$  SiMe<sub>3</sub>

Schema 79: Synthese der Germoltriflate 172 und 243. (Ausbeute 172 = 74%, 243 = 82%).

Die Reaktionen mussten aufgrund der Lichtempfindlichkeit des Silbertriflats unter Lichtausschluss durchgeführt werden. Nach einer Reaktionszeit von sechzehn Stunden wurde das entstandene Silberchlorid entfernt. Die Germoltriflate wurden aus n-Pentan kristallisiert (siehe Abbildung 68). Die  $^{13}$ C $^{1}$ H $^{1}$  NMR Spektren beider Germoltriflate wiesen das für Triflate charakteristische Quartett im Bereich von  $^{1}$ C $^{1}$ 

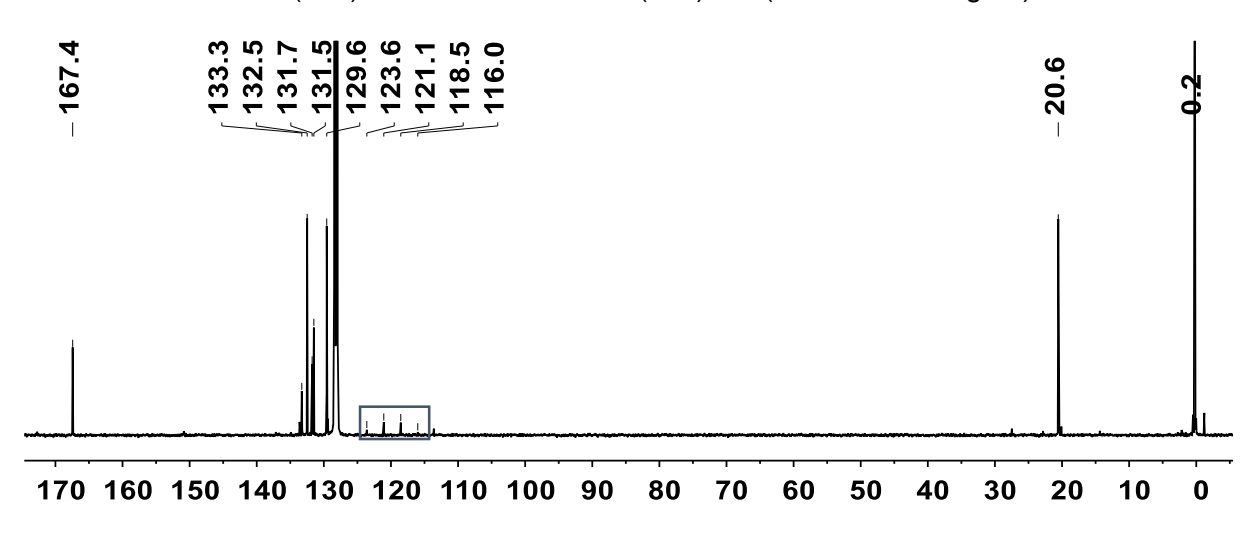
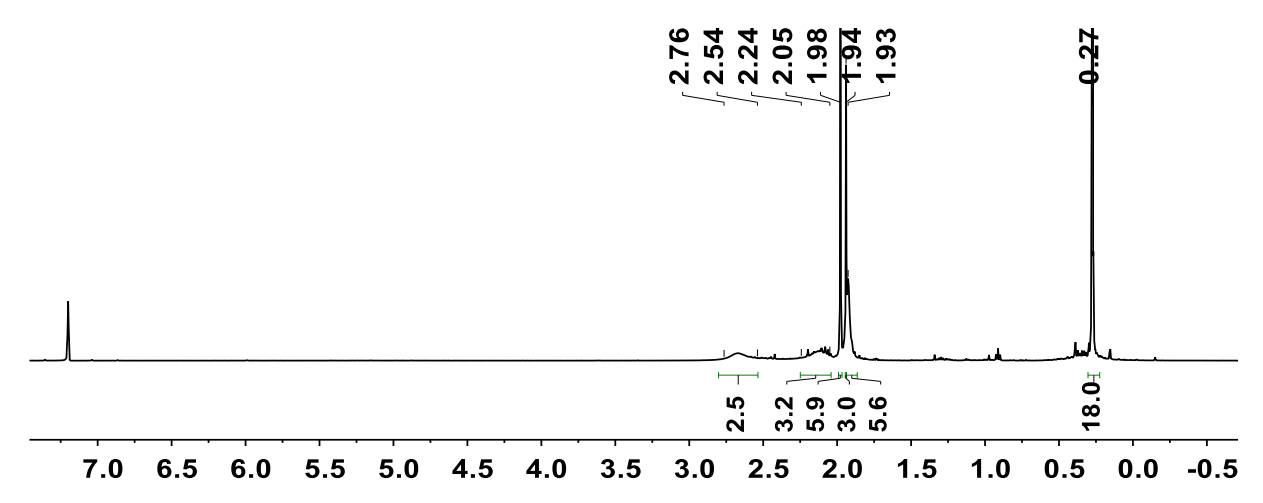


Abbildung 68: <sup>13</sup>C {<sup>1</sup>H} NMR Spektrum (125 MHz, 305 K, C<sub>6</sub>D<sub>6</sub>) des Germoltriflats 172.

Das pempsubstituierte Germoltriflat **243** zeigte zudem im <sup>1</sup>H und <sup>13</sup>C{<sup>1</sup>H} NMR Spektrum eine starke Verbreiterung der *ortho-* und *meta-*Methylgruppensignale des Pempsubstituenten, welche auf eine gehinderte Drehbarkeit der Ge-C<sub>ispo</sub>(Pemp)-Bindung hindeuten (siehe

Abbildung 69). Dieses Phänomen konnte bereits im pempsubstituierten Germolchlorid **140** beobachtet werden.



**Abbildung 69:** <sup>1</sup>H NMR Spektrum (500 MHz, 238 K, C<sub>6</sub>D<sub>6</sub>) des Pemp-Germoltriflats **243**. Die *ortho*-und *meta*-Methylgruppensignale sind deutlich verbreitert.

Wie im  $^1H$  NMR Spektrum des pempsubstituierten Germoltriflats **243** erkennbar ist (Abbildung 68), sind die Signale der *ortho*-Methylgruppen bei  $\delta$  ( $^1H$ ) = 2.54 - 2.76 und  $\delta$  ( $^1H$ ) = 2.05-2.24 sowie das Signal der *meta*-Methylgruppen bei  $\delta$  ( $^1H$ ) = 1.93 deutlich verbreitert. Einzig das Signal der *para*-Methylgruppe bei  $\delta$  ( $^1H$ ) = 1.94 wird nicht von der unterbundenen Drehbarkeit des Substituenten beeinflusst. In einem variablen Temperatur- (VT) NMR-Experiment (siehe Abbildung 70) in Toluol konnte ab einer Temperatur von T = 373 K durch das schärfer werden der *meta*-Methylgruppensignale (blau) eine beginnende freie Drehbarkeit der Pempgruppe gezeigt werden. Zudem fallen bei T = 373 K die Signale der *ortho*-Methylgruppen (rot) zusammen und sind auch etwas schärfer als bei Raumtemperatur. Um diesen Effekt besser sehen zu können, hätte die Probe in einem VT-NMR Experiment über T = 373 K erhitzt werden müssen. Dies ist jedoch aus technischen Gründen nicht möglich.

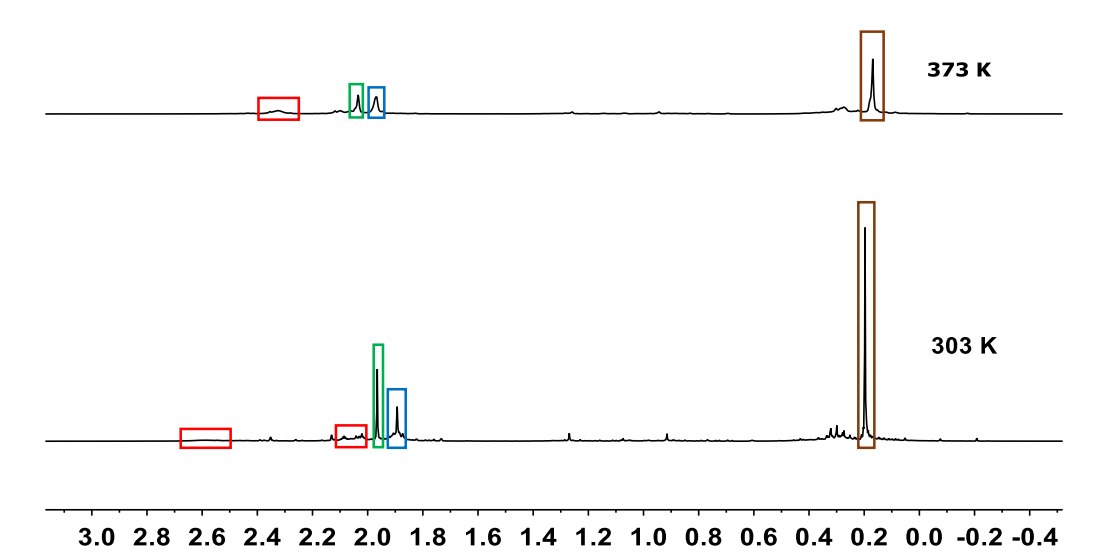


Abbildung 70: Ausschnitt aus dem VT  $^1$ H NMR Spektrum (500 MHz,  $C_7D_9$ ) des pempsubstituierten Germoltriflats 243 (SiMe<sub>3</sub>-Gruppen = braun (im  $^1$ H NMR Spektrum bei 373 K verschoben um  $\delta$  ( $^1$ H) = -0.03), ortho-Methylgruppen = rot (Verschoben um  $\delta$  ( $^1$ H) = -0.28 und +0.25); meta- und para-Methylgruppen = blau (Verschoben um  $\delta$  ( $^1$ H) = -0.08); Methylgruppe des Germolrings = grün (Verschoben um  $\delta$  ( $^1$ H) = -0.06)).

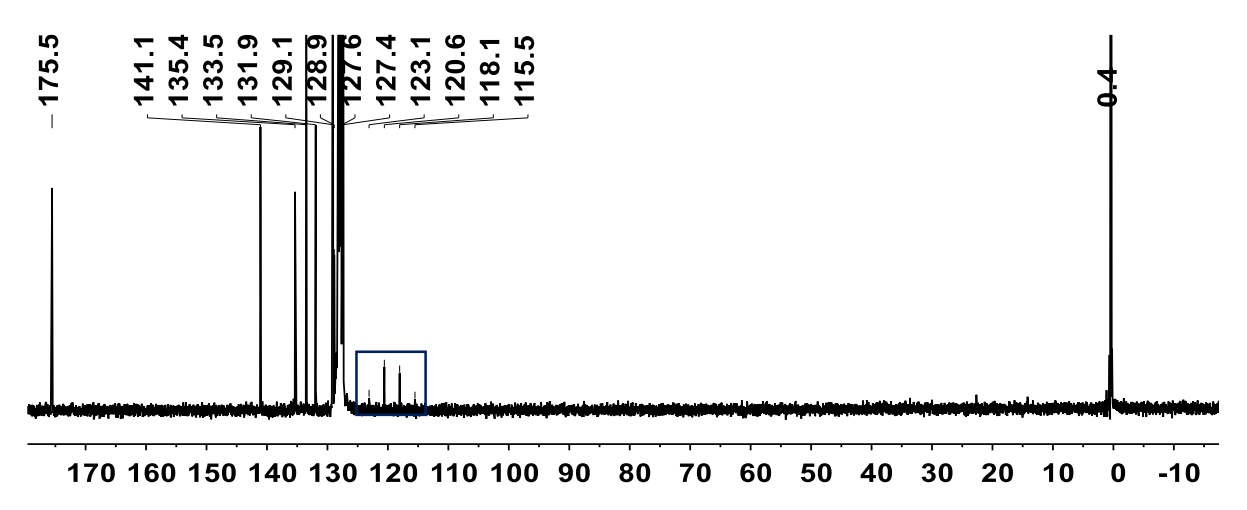
Zudem ist im VT-NMR-Experiment eine nicht unübliche Verschiebung aller Signale des Germoltriflats **243** zu beobachten. Eine Temperaturabhängigkeit der Verschiebungen im <sup>1</sup>H NMR Spektrum wurde bereits in Zuckerderivaten an Protonen beobachtet, welche eine Beteiligung zu einer Wasserstoffbrückenbindung aufwiesen.<sup>[173]</sup> Dieser Effekt wurde ebenfalls an Aminprotonen in Proteinen beobachtet.<sup>[174]</sup>

Auch der Silolyltrifluormethansulfonsäureester **244** konnte in sehr guter Ausbeute (92%) aus der Salzmetathesereaktion des Chlorsilols **245** mit Silbertriflat erhalten werden. Das Chlorsilol **245** wurde zuvor durch eine Salzmetathesereaktion des dichlorsubstituierten Silols **240** mit Phenyllithium in einer Ausbeute von 83% dargestellt (siehe Schema 80).

Schema 80: Synthese des Siloltriflats 244.

Das phenylsubstituierte Chlorsilol **245** sowie das Siloltriflat **244** wurden vollständig NMR spektroskopisch und massenspektrometrisch charakterisiert. Zudem konnten von beiden Silolen Einkristalle erhalten werden, die sich für eine XRD-Analyse eigneten. Die Reaktionsmischung des Siloltriflats wurde analog zu den Germoltriflaten **172** und **243** nach sechszehn Stunden aufgearbeitet. Allerdings wurden nur 40 % des Chlorsilols zum Produkt

umgesetzt. Daher wurde die Reaktionszeit auf zwei Tage verlängert. Anschließend konnte in einer NMR spektroskopischen Untersuchung ausschließlich das Siloltriflat **244** nachgewiesen werden. Das charakteristische Quartett des Triflatsubstituenten liegt bei einer chemischen Verschiebung von  $\delta$  ( $^{13}$ C) = 115.5-123.1 und weist eine  $^{1}$ J<sub>C-F</sub>-Kopplungskonstante von  $^{1}$ J<sub>C-F</sub> = 318.9 Hz auf (siehe Abbildung 71).



**Abbildung 71**:  $^{13}C\{^{1}H\}$  NMR Spektrum (125 MHz, 305 K,  $C_6D_6$ ) des Siloltriflats **244**.

Die Substitution des Chlorids gegen eine Triflatgruppe lässt sich ebenfalls mittels der Verschiebung des zentralen Siliciumatoms im  $^{29}$ Si $^{1}$ H $^{1}$ NMR Spektrum der Verbindung **244** beobachten (siehe Tabelle 13). Die  $^{29}$ Si NMR chemische Verschiebung des Dichlorsilols **240** liegt bei  $\delta$  ( $^{29}$ Si) = 19.2 Das Chlorgermol **245** weist eine chemische Verschiebung von  $\delta$  ( $^{29}$ Si) = 17.9 auf. Die Einführung einer Triflatgruppe führt zu einer weiteren Hochfeldverschiebung des Signals im  $^{29}$ Si $^{1}$ H $^{1}$ NMR Spektrum ( $\delta$  ( $^{29}$ Si) = 16.5). Die Verschiebungen von Silyltriflaten liegen im allgemeinen im Bereich von  $\delta$  ( $^{29}$ Si) = 11.5 bis 45.2. [175-176] Auf die  $^{29}$ Si NMR chemischen Verschiebung der Signale der Trimethylsilylgruppen hat die Substitution am zentralen Siliciumatom jedoch lediglich einen geringen Einfluss.

Tabelle 13: Übersicht der <sup>29</sup>Si NMR spektroskopischen Daten der Silole 240, 244 und 245.

	$R^1,R^2$	$SiR_1R_2$	Si <u>Me₃</u>
240	CI, CI <sup>[98]</sup>	19.2	-8.0
245	Ph, Cl	17.9	-8.4
244	Ph, OTf	16.5	-8.3

Das mesitylsubstituierte Siloltriflat konnte hingegen nur in sehr geringen Ausbeuten dargestellt und nicht isoliert werden. Durch einen Wechsel des Lösungsmittels von Toluol zu Dichlormethan konnte die Ausbeute der Reaktion des mesitylsubstituierten Chlorsilols zum entsprechenden Siloltriflat nicht erhöht werden. Stattdessen führte der Einsatz des

Dichlormethans als Lösungsmittel zur Entstehung weiterer Nebenprodukte. Durch die Erhöhung der Reaktionstemperatur von Raumtemperatur zu T = 90°C wurde der Umsatz hingegen etwas erhöht. [170]

Die Molekülstrukturen der drei Heteroltriflate **172**, **243** und **244**, wie sie sich aus den XRD-Analysen geeigneter Einkristalle ergeben, sind in der Abbildung 72 gezeigt Die Bindungslängen und -winkel, die für eine weitere Diskussion relevant sind, sind in den Tabellen 14 und 15 zusammengefasst.

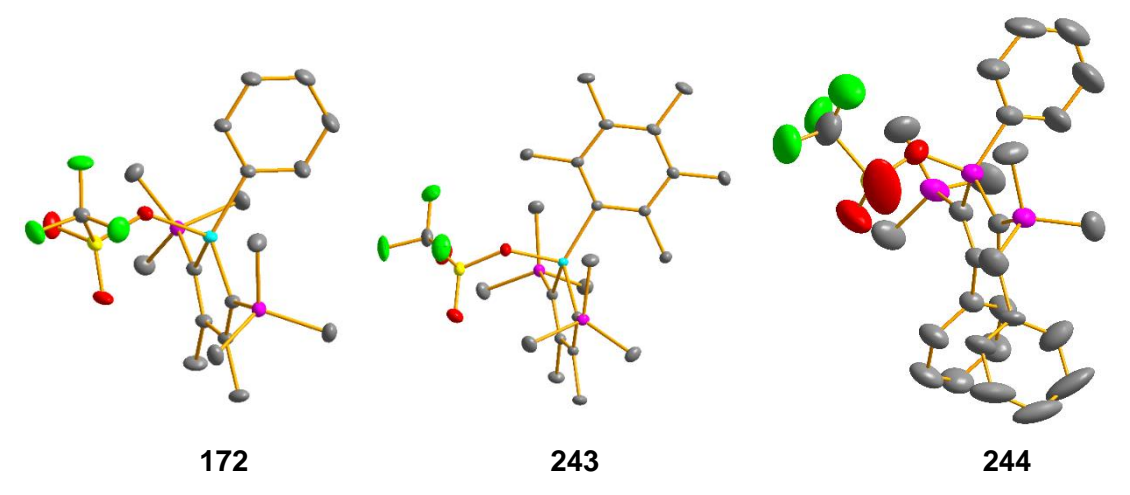


Abbildung 72: Molekülstrukturen der Germoltriflate 172 und 243 und des Siloltriflats 244 im Kristall (thermische Ellipsoide mit 50% Aufenthaltswahrscheinlichkeit, die Wasserstoffatome sind zur besseren Übersichtlichkeit nicht abgebildet). Für Bindungslängen und -winkel siehe Tabellen 14 und 15.

**Tabelle 14:** Relevante Bindungslängen der Heteroltriflate **172, 243 und 244** (E = Ge, Si;  $R^1$  = Aryl;  $R^2$  = OTf) [pm].

	Heterol	R <sup>1</sup>	E-C1	E-C4	C1-C2	C2-C3	C3-C4
172	Germol	Ph	192.1 (7)	193.3 (7)	135.8 (9)	152.45 (10)	135.47 (10)
243	Germol	Pemp	193.60 (12)	193.92 (11)	135.33 (15)	151.76 (17)	136.02 (15)
244	Silol	Ph	184.91 (16)	185.01 (16)	135.70 (23)	152.63 (20)	135.51 (21)

**Tabelle 15:** Relevante Winkel der Heteroltriflate **172, 243** und **244** [°]  $(E = Ge, Si; R^1 = Aryl; R^2 = OTf)$ 

	Heterol	R¹	$R^1$ -E-C1( $\alpha$ )	$R^1$ -E-C4( $\beta$ )	C1-E-C4(γ)	$\Sigma_{lphaeta\gamma}$
172	Germol	Ph	124.22 (30)	123.04 (31)	94.53 (32)	341.79
243	Germol	Pemp	123.52 (45)	124.69 (44)	93.68 (40)	341.89
244	Silol	Ph	117.06 (75)	118.34 (78)	97.00 (70)	332.40

Die Beschriftung der Kohlenstoffatome ist der Abbildung 73 zu entnehmen. Bei der Betrachtung der Bindungslängen der Heteroltriflate (siehe Tabelle 14) sind keine größeren Auffälligkeiten festzustellen.

Abbildung 73: Übersicht der Nummerierung der Kohlenstoffatome der Heterolringe.

Das zentrale Siliciumatom des Siloltriflats **244** ist annähernd tetraedrisch von den Substituenten umgeben. Die Summe der Bindungswinkel  $\Sigma_{\alpha\beta\gamma}$  weicht mit 332.4° nur wenig von einer idealen tetraedrischen Koordination mit einer Summe der Bindungswinkel von 328.5° (3 x 109.5°) ab (siehe Tabelle 15). Bei den Germoltriflaten **172** und **243** kann jedoch eine leichte Erhöhung der Summe der Bindungswinkel festgestellt werden. Eine Erhöhung der Summe der Bindungswinkel auf  $\Sigma_{\alpha\beta\gamma}=360^\circ$  würde einer trigonal planaren Koordination entsprechen, welche in Germylkationen beobachtet werden kann. Die  $\Sigma_{\alpha\beta\gamma}$  der Germoltriflate ist jedoch mit 341.8-341.9° noch viel zu gering um von einer trigonal planaren Koordination analog zu einem Germylkation sprechen zu können. [65] Auffällig ist zudem, dass ein Wechsel des aromatischen Substituenten von einer Phenyl- zu einer Pempgruppe keinen Einfluss auf die Koordinationssphäre des Germaniumatoms hat.

Anschließend wurden die Tetrel-Sauerstoffbindungen der Triflate untersucht. Die Bindungslängen und BDEs sind in Tabelle 16 zusammengefasst.

Tabelle 16: Bindungslängen und BDEs (M06-2X/def2-TZVP) der E-O-Bindungen der Heteroltriflate 172, 243 und 244 (E = Ge, Si; R<sup>1</sup> = Aryl; R<sup>2</sup> = OTf).

	Heterol	R <sup>1</sup>	Bindungslänge E-O [pm]	Kovalente Bindungslänge [140, 177] E-O [pm]	BDE [kJ mol <sup>-1</sup> ]	Kovalente BDE [158, 178] [kJ mol <sup>-1</sup> ]
172	Germol	Ph	189.8 (6)	175–185	532	386
243	Germol	Pemp	191.2(8)	175–185	487	386
244	Silol	Ph	172.78 (14)	163	585	452

Alle Tetrel-Sauerstoffbindungen der Heteroltriflate sind mit 172.8 pm (**244**) und 189.8-191.2 pm (**172** und **243**) gegenüber typischen Si-O- (163 pm)<sup>[177]</sup> und Ge-O- (175-185 pm)<sup>[140]</sup> Bindungen verlängert. Diese leicht ionische Natur der Ge-O- und Si-O-Bindungen zeigt sich ebenfalls in den Bindungslängen anderer literaturbekannter Germaniumtriflat- (192 pm)<sup>[179-180]</sup> oder Siliciumtriflatverbindungen.<sup>[181]</sup> Zudem ist die Ge-O-Bindung im pempsubstituierten

Germoltriflat **243** gegenüber dem phenylsubstituierten Germoltriflat **172** leicht verlängert. Die sterisch bedingte Abschwächung der Ge-O-Bindung in **243** ist noch besser in einem Vergleich der BDEs beider Verbindungen zu erkennen ( $\Delta E = 45 \text{ kJ mol}^{-1}$ ). Die BDEs der Silol- und Germoltriflate **172, 243** und **244** liegen mit Silol **244** = 585 kJ mol<sup>-1</sup>, **172** und **243** (487 - 532 kJ mol<sup>-1</sup>) jeweils im Bereich einer kovalenten Bindung (Si-O (452 kJ mol<sup>-1</sup>) / Ge-O (386 kJ mol<sup>-1</sup>). [158, 178]

Die Einführung einer Bis(trifluormethylsulfonsäure)imidgruppe über eine zur Heteroltriflatsynthese analogen Reaktion des Chlorgermols 139 mit dem entsprechenden Silbersalz führte lediglich zu Zersetzungsprodukten des Germols. Auch die Einführung von zwei Triflatgruppen über eine Reaktion des Dichlorgermols 133 mit zwei Äquivalenten Silbertriflat war nicht möglich. Auch diese Reaktion führte zur Zersetzung des Germols.

### 3.3.3.2 Synthese eines Germolylkations über die Abstraktion einer Triflatgruppe

Der ionische Charakter der Bindung zwischen dem Germaniumatom und dem Sauerstoffatom der Triflatgruppe sollte im Folgenden genutzt werden, um über die Abspaltung einer Triflatgruppe mit Hilfe von Triethylsilylkation das Germolylkation **209** zu erhalten (siehe Schema 81).

Ph OTf

Me<sub>3</sub>Si 
$$Ge$$
 SiMe<sub>3</sub>  $[Et_3Si(C_6D_5CI)][HCB_{11}Br_6H_5]$   $Ge$  SiMe<sub>3</sub>

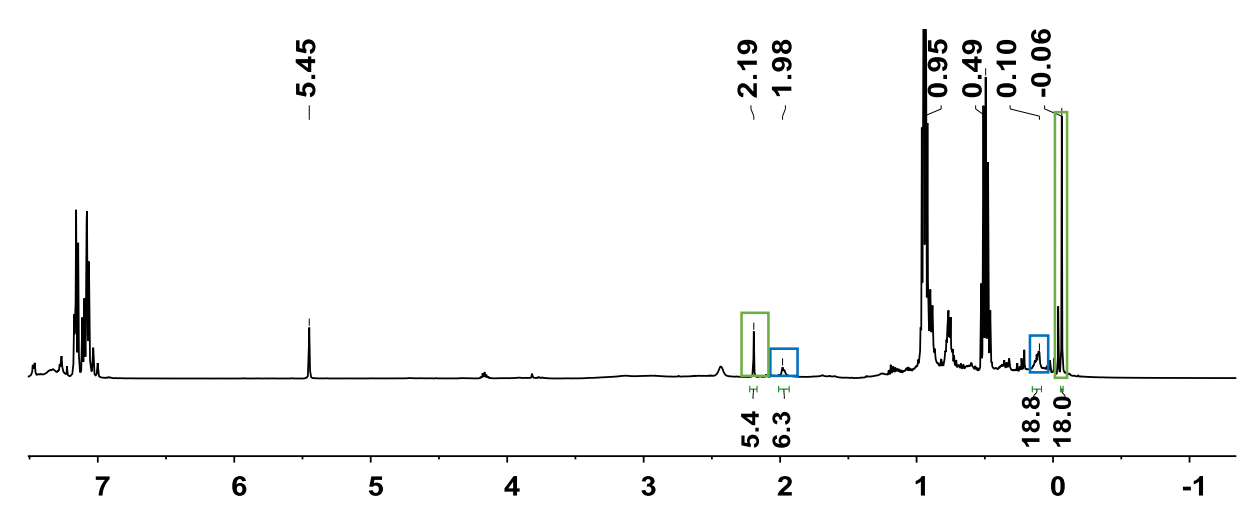
-Et<sub>3</sub>SiOTf
246

209[HCB<sub>11</sub>Br<sub>6</sub>H<sub>5</sub>]

209[HCB<sub>11</sub>Br<sub>6</sub>H<sub>5</sub>]

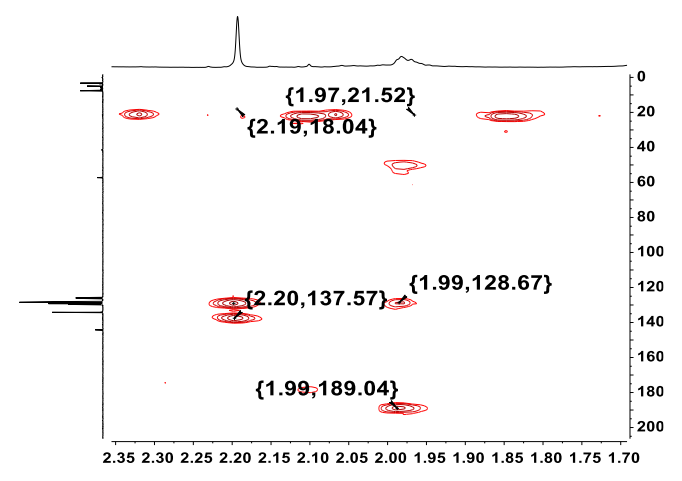
Schema 81: Synthese des Germolylkations 209[HCB<sub>11</sub>Br<sub>6</sub>H<sub>5</sub>] unter Abspaltung von Et<sub>3</sub>SiOTf 246.

Hierzu wurde zunächst das Triethylsilylkation in Chlorbenzol präpariert und nach einer Reaktionskontrolle zur Germollösung **172** (ebenfalls in Chlorbenzol) gegeben. Die rote Lösung wurde innerhalb von 30 min orange. Eine NMR spektroskopische Untersuchung der Reaktionslösung zeigt im  $^1$ H NMR Spektrum jeweils ein scharfes und ein breites Signal für die Trimethylsilylgruppen ( $\delta$  ( $^1$ H) = -0.06 und  $\delta$  ( $^1$ H) = 0.10) und die Methylgruppen ( $\delta$  ( $^1$ H) = 1.98 und  $\delta$  ( $^1$ H) = 2.19) des Germols. Diese entsprechen nicht den Eduktsignalen (siehe Abbildung 74).



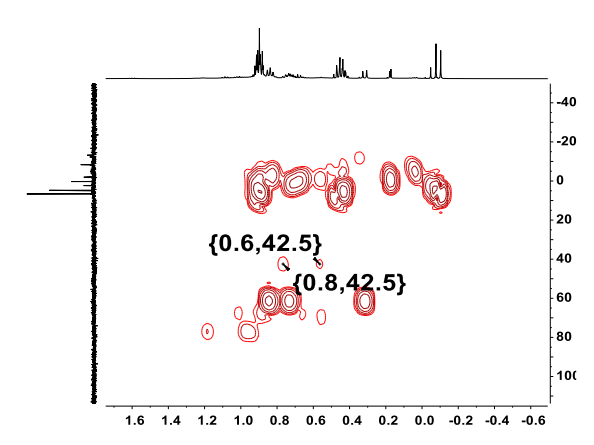
**Abbildung 74**:  $^{1}$ H NMR Spektrum (500 MHz, 238 K,  $C_6D_5CI$ ) eines Reaktionsgemisches bestehend aus dem potentiellen Germolylkation **209**[HCB<sub>11</sub>Br<sub>6</sub>H<sub>5</sub>] (blau) und einem unbekannten Germols (grün), Verunreinigung durch Triphenylmethan und unreagiertes Triethylsilkation.

Eine genauere Betrachtung des  $^1$ H  $^{13}$ C HMBC NMR Spektrums (siehe Abbildung 75) der Reaktionslösung zeigt, dass nur die Methylgruppen des breiteren Signalsatzes die für Germole übliche Korrelation zu den Kohlenstoffatomen des Germolrings zeigt. Diese sind mit  $\delta$  ( $^{13}$ C) = 128.7 und  $\delta$  ( $^{13}$ C) = 189.0 zudem signifikant gegenüber den Signalen der Ausgangsverbindung ( $\delta$  ( $^{13}$ C) = 132.9 und  $\delta$  ( $^{13}$ C) = 167.2 verschoben. Quantenchemische Rechnungen des Germolylkations (M06L/def2-TZVP) weisen  $^{13}$ C NMR chemische Verschiebungen dieser Kohlenstoffatome von  $\delta$  ( $^{13}$ C) = 119.1 und  $\delta$  ( $^{13}$ C) = 180.6 auf und stimmen daher recht gut mit den gemessenen Werten des unbekannten Germols überein. Dies kann ein Hinweis auf die Entstehung des Germolylkations **209** in der Reaktion des Germoltriflats **172** mit Triethylsilyliumkation sein. Unklar ist jedoch, welche zweite Germolverbindung bei dieser Reaktion entstand.



**Abbildung 75:** Ausschnitt eines  $^1H^{13}C$  HMBC NMR Spektrums (500 MHz, 305 K,  $C_6D_6$ ) des potentiellen Germolylkations **209**[HCB<sub>11</sub>H<sub>5</sub>Br<sub>6</sub>].

Im  $^1$ H  $^{29}$ Si NMR HMBC Spektrum (siehe Abbildung 76), welches jedoch zu einem späteren Zeitpunkt aufgenommen wurde und daher bereits einige Zersetzungsprodukte aufweist, konnte eine Korrelation bei  $\delta$  ( $^{29}$ Si) = 42.5 dem Triethylsilyltriflat **246** zugewiesen werden.  $^{[175]}$ 



**Abbildung 76:** Ausschnitt eines  $^1\text{H}^{29}\text{Si}$  HMBC NMR Spektrums (500 MHz, 305 K,  $\text{C}_6\text{D}_6$ ) des potentiellen Germolylkations **209**[HCB<sub>11</sub>H<sub>5</sub>Br<sub>6</sub>] im Gemisch mit Et<sub>3</sub>SiOTf **246**.

Durch das Vorhandensein von Et<sub>3</sub>SiOTf **246** lässt sich auf das Ablaufen einer Reaktion schließen, jedoch konnte die Verbindung nicht kristallisiert werden. Demzufolge lässt sich nicht mit Sicherheit feststellen, ob das Germolylkation **209** entstanden ist. Auch eine massenspektrometrische Untersuchung ist ungeeignet für die Identifizierung des Germolylkations, da auch durch die Ionisation im ESI-Massenspektrometer aus dem Germoltriflat **172** ein entsprechendes Germolylkation entstehen würde.

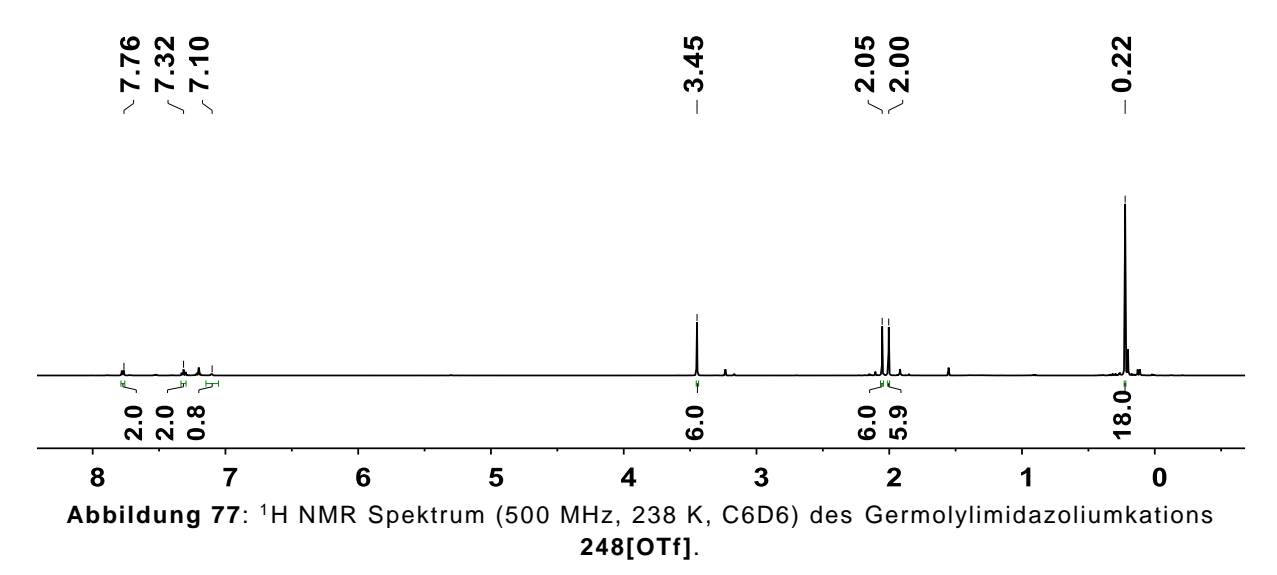
# 3.3.4 Synthese und Charakterisierung von Silolyl- und Germolylimidazoliumtriflaten

Die Reaktivität der Heterotriflate kann jedoch noch in weiteren Reaktionen genutzt werden. Zwar war es nicht möglich, durch die Zugabe von Me4NHC 46 das aus einem Hydrid Transfer entstehende Germolylkation 209 in einem NHC-Addukt zu stabilisieren. Über eine Reaktion der Germoltriflate 172 und 243 mit einem Carben können diese Kationen jedoch in sehr guten Ausbeuten von 88% bzw. 89% erhalten werden (siehe Schema 82), 247 bildet hierbei eine Ausnahme und konnte nicht sauber isoliert werden. Die Germolylimidazoliumkationen 247, 248 und 249 konnten NMR spektroskopisch und massenspektrometrisch vollständig charakterisiert werden. Zudem konnten von allen Verbindungen Einkristalle erhalten werden, die sich für eine XRD-Analyse eigneten.

$$R^{1}$$
 OTf  $R^{2}$   $R^{2}$   $N - R^{2}$   $R^{1}$   $N - R^{2}$   $R^{1}$   $N - R^{2}$   $R^{2}$   $N - R^{2}$   $N - R^{2}$ 

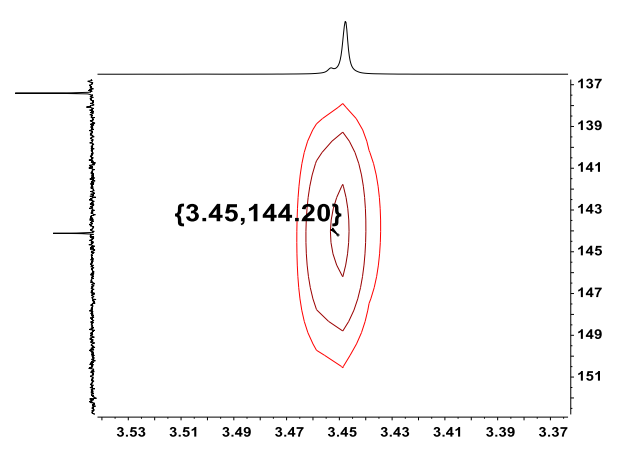
Schema 82: Synthese der Germolylimidazoliumkationen 247, 248 und 249.

Zur Synthese der Germolylimidazoliumkationen **247**, **248** und **249** wurden die Germoltriflate **172** und **243** in  $C_6D_6$  gelöst. Zu dieser Lösung wurde das entsprechende Carben zugegeben. Für Synthesen in größerem Maßstab wurde  $C_6H_6$  als Lösungsmittel genutzt. Die Reaktionslösungen wurden für einige Stunden (**247** = 16 h, **248** = 1.5 h und **249** = 20 h) bei Raumtemperatur gerührt. Eine NMR spektroskopische Untersuchung der Reaktionslösungen der Germolylimidazoliumkationen **248** (siehe Abbildung 77) und **249** bestätigte das vollständige Ablaufen der Reaktion ohne die Entstehung von Nebenprodukten. Die Verbindungen konnten in einer Ausbeute von 89% (**248**) und 88% (**249**) als kristalline Feststoffe erhalten werden. Bei der Reaktion zum Germolylimidazoliumkation **247** konnten mehrere NHC-Spezies in der Reaktionslösung beobachtet werden. Trotzdem konnte eine Kristallstruktur dieser Verbindung erhalten werden.



Alle Carbokationatome des Imidazoliumsubstituenten, welche im  $^1$ H  $^{13}$ C HMBC über ein Kreuzsignal zum Signal der Methylgruppen des Imidazoliums identifiziert wurden, weisen mit einer chemischen Verschiebung von  $\delta$  ( $^{13}$ C) = 144.2 - 146.4 eine deutliche Hochfeldverschiebung im Vergleich zum Carbenkohlenstoffatom ( $\delta$  ( $^{13}$ C) = 212.8) auf (siehe Abbildung 78 und Tabelle 17) und bestätigten so eine Bindung des ehemaligen

Carbenkohlenstoffatoms zum Germol. Eine Hochfeldverschiebung des ehemaligen Carbenkohlenstoffatoms im Bereich von  $\delta$  ( $^{13}$ C) =148 - 164.1 durch die Bindung an ein vierfach koordiniertes Tetrelatom ist vielfach in der Literatur beschrieben. $^{[25,\ 182-185]}$ 

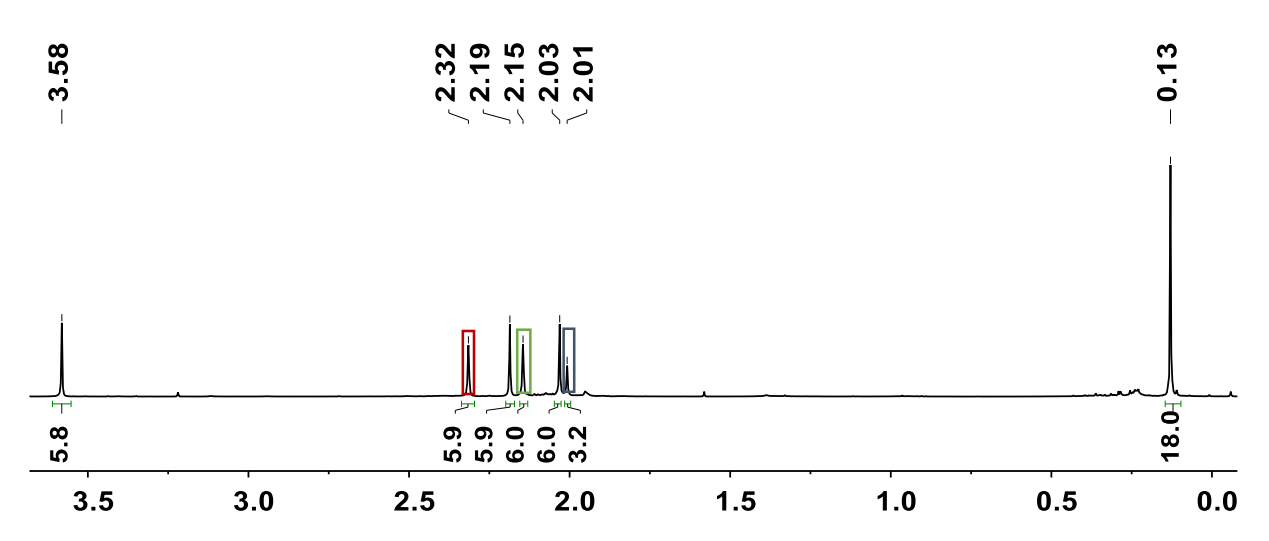


**Abbildung 78**: Ausschnitt eines  $^1$ H  $^{13}$ C HMBC NMR Spektrums (500 MHz, 305 K,  $C_6D_6$ ) des Germolylimidazoliumkations **248[OTf]**.

Tabelle 17: <sup>13</sup>C NMR chemische Verschiebungen der carbokationischen Kohlenstoffatome in den <sup>13</sup>C NMR Spektren der Germolylimidazoliumkationen 247-249.

Germolylimidazoliumkation	δ ( <sup>13</sup> C)
Ph, <sup>iPr</sup> Imidazolium <b>247</b>	146.4
Ph, Me4Imidazolium 248	144.2
Pemp, Me4Imidazolium 249	148.3

Zudem wurde durch die Substitution der Triflatgruppe im pempsubstituierten Germolylimidazoliumkation **249** eine freie Drehbarkeit des Pempsubstituenten ermöglicht. Dies konnte durch die nun scharfen Signale der Methylgruppen des Pempsubstituenten im <sup>1</sup>H NMR Spektrum gezeigt werden (siehe Abbildung 79). In einem VT NMR Experiment wurde die Verbindung zudem auf T = -90°C gekühlt. Eine Verbreiterung der Methylgruppensignale und damit eine Einschränkung der freien Drehbarkeit des Pemp-Substituenten konnte jedoch nicht beobachtet werden.



**Abbildung 79:** Ausschnitt des  $^1$ H NMR Spektrums (500 MHz, 238 K,  $C_6D_6$ ) des Germolylimidazoliumtriflats **249[OTf]** (farbliche Markierung der Pemp Methylgruppen: rot = ortho; grün = meta; blau = para).

Die Molekülstrukturen der Germolylimidazoliumtriflate **247[OTf]-249[OTf]**, wie sie sich aus den XRD-Analysen geeigneter Einkristalle ergeben, sind in Abbildung 80 gezeigt. Die Bindungslängen und -winkel, die für die Diskussion relevant sind, wurden in den Tabellen 18 und 19 zusammengefasst. Alle Kationen kristallisierten in der triklinen Raumgruppe P1. In der Kristallstruktur des Germols **247** waren noch C<sub>6</sub>D<sub>6</sub> und Dichlormethan (DCM) enthalten. Das DCM sowie die Triflatgruppe dieser Struktur sind fehlgeordnet. Alle Kationen sind mit einem Abstand von 330-415 pm gut von den Triflationen separiert und zeigen keine Anzeichen einer Ionenpaarung.

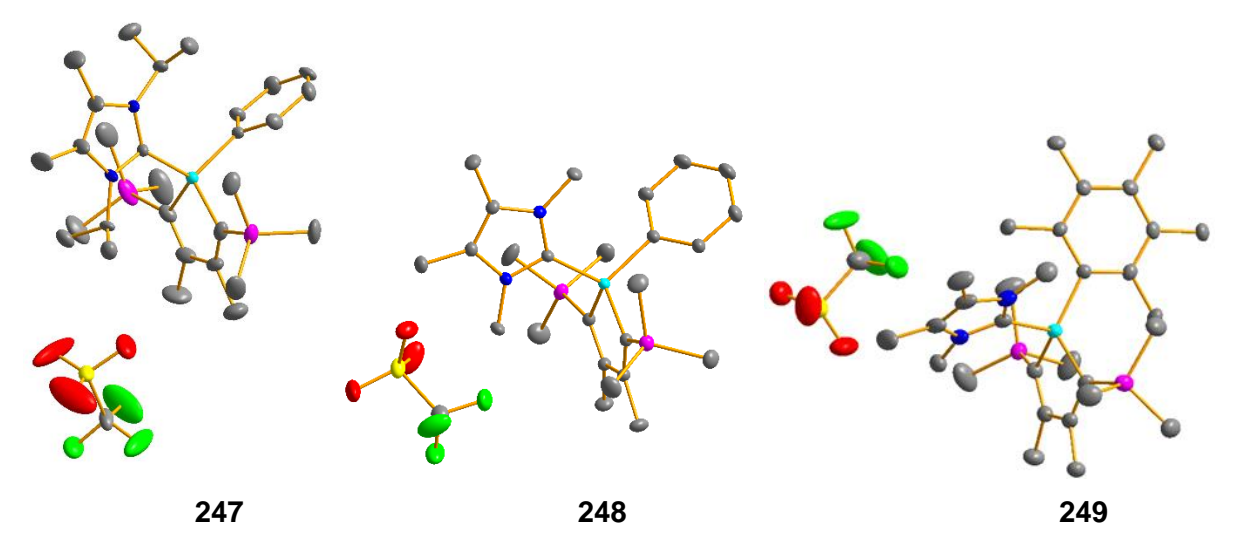


Abbildung 80: Molekülstrukturen der Germolylimidazoliumtriflate 247-249 im Kristall (thermische Ellipsoide mit 50% Aufenthaltswahrscheinlichkeit, die Wasserstoffatome sind zur besseren Übersichtlichkeit nicht abgebildet). Für Bindungslängen und -winkel siehe Tabellen 18 und 19.

Tabelle 18: Relevante Bindungslängen der Germolylimidazoliumkationen 247-249 [pm].

R1, R2	Ge-C1	Ge-C4	C1-C2	C2-C3	C3-C4
<b>247</b> Ph, <i>i</i> Pr	193.340 (112)	195.980 (120)	133.960 (186)	148.900 (216)	135.200 (186)
<b>248</b> Ph, Me	194.1 (8)	195.92 (10)	136.05 (11)	151.48 (12)	135.70 (13)
<b>249</b> Pemp, Me	194.85 (26)	196.13 (25)	135.29 (27)	150.51 (31)	135.31 (37)

Die Beschriftung der Kohlenstoffatome ist der Abbildung 73 zu entnehmen. Bei der Betrachtung der Bindungslängen der Kationen 248 und 249 (siehe Tabelle 18) sind keine größeren Auffälligkeiten festzustellen. Bei den C1-C2- sowie C3-C4-Bindungen handelt es sich um C=C-Doppelbindungen, während es sich bei der C2-C3-Bindung um eine Kohlenstoffeinfachbindung analog zum Dichlorgermol 133 handelt. Auch bei den Germaniumkohlenstoffbindungen handelt es sich um typische Einfachbindungen. Diese sind jedoch im Vergleich zu den Germoltriflaten 172 und 243 geringfügig verlängert. Das Germylkation 223 der Arbeitsgruppe Schnepf, weist hingegen eine verkürzte Ge-C<sub>ispo</sub>-Bindung und damit eine π Elektronen-Delokalisierung der Arylsubstituenten zum elektronenarmen Germylkation auf. Die C-C-Bindungen des Germolylimidazoliumkations 247 sind alle leicht verkürzt, dies kann jedoch auch ein Resultat aus der nicht optimalen Strukturlösung dieses Kristalls sein, welche durch die Fehlordnung des Triflats und des DCMs mitunter verzerrt ist.

**Tabelle 19:** Relevante Winkel der Germolylimidazoliumkationen **247-249** [°] R<sup>1</sup> = Arylsubstituent.

	R <sup>1</sup> ,R <sup>2</sup>	R¹-Ge-C1(α)	R¹-Ge-C4(β)	C1-Ge-C4(γ)	$\Sigma_{lphaeta\gamma}$
247	Ph, <i>i</i> Pr	113.818 (488)	110.757 (488)	92.461 (575)	317.036
248	Ph, Me	113.99 (43)	113.23 (24)	92.65 (40)	319.87
249	Pemp, Me	117.935 (118)	124.681 (105)	92.151 (107)	334.767

Die Summe der Bindungswinkel um das Germaniumatom der Imidazoliumkationen weicht bei den Verbindungen **247** und **248** mit 319.9° und 317.0° von der  $\Sigma_{\alpha\beta\gamma}$  des idealen Tetraederwinkels (328.5°) ab (siehe Tabelle 19). Eine solche Verringerung der  $\Sigma_{\alpha\beta\gamma}$  entspricht nicht der in Germylkationen beobachteten trigonal planaren Koordination. Im Kation **249** ist das Germaniumatom hingegen annähernd tetraedrisch umgeben. Die Verringerung der Summe der Bindungswinkel weist zusammen mit der leichten Verlängerung der Ge-C1/C4-Bindungen der Germolylimidazoliumkationen auf eine Lokalisierung der kationischen Ladung im Imidazoliumkation und nicht am Germaniumatom hin.

In einem nächsten Schritt wurde die Germaniumkohlenstoffbindung der Kationen genauer betrachtet (siehe Tabelle 20). Sowohl die Bindungslängen als auch die BDEs weisen auf eine

kovalente Germaniumkohlenstoffbindung hin. Dies würde ebenfalls gegen eine Lokalisierung der kationischen Ladung am Germaniumatom sprechen.

**Tabelle 20:** Bindungslängen und berechnete BDEs (M06-2X/def2-TZVP) der Ge-C-Bindungen der Germolylimidazoliumkationen **247-249**.

	R <sup>1</sup> ,R <sup>2</sup>	Bindungslänge Ge-C [pm]	Kovalente Bindungslänge <sup>[140, 177]</sup> Ge-C [pm]	BDE [kJ mol <sup>-1</sup> ]	Kovalente BDE <sup>[158]</sup> [kJ mol <sup>-1</sup> ]
247	Ph, <i>i</i> Pr	200.080 (103)	195-200	253	255
248	Ph, Me	198.23 (10)	195-200	327	255
249	Pemp, Me	200.90 (26)	195-200	282	255

Die Bindungslängen der Ge-C<sub>NHC</sub>-Bindungen entsprechen mit 198.2-200.9 pm einer kovalenten Germaniumkohlenstoffbindung (195-200 pm).<sup>[140]</sup> Die BDE nimmt im Vergleich zum phenylsubstituierten Germolylimidazoliumkation **248** mit 327 kJ mol<sup>-1</sup> sowohl durch die Nutzung eines sterisch anspruchsvolleren Arylsubstituenten in **249** (282 kJ mol<sup>-1</sup>) als auch eines größeren Carbens in **247** (253 kJ mol<sup>-1</sup>) ab, jedoch liegt sie in allen Fällen im Rahmen einer kovalenten Germanium-Kohlenstoffbindung (255 kJ mol<sup>-1</sup>).<sup>[158]</sup> Daher wurden die BDEs weiterer möglicher Germolylimidazoliumkationen berechnet (siehe Tabelle 21).

**Tabelle 21:** Bindungsdissoziationsenergien(BDE) der Germolylimidazoliumkation (M06-2X/def2-TZVP).

(11100 270 0012 12	• • • • • • • • • • • • • • • • • • • •
Germolylimidazoliumkation	BDE [kJ mol <sup>-1</sup> ]
Germol Ph-DippNHC	311
Germol Ph-cAAC	283
Germol Pemp- <sup>iPr</sup> NHC	195

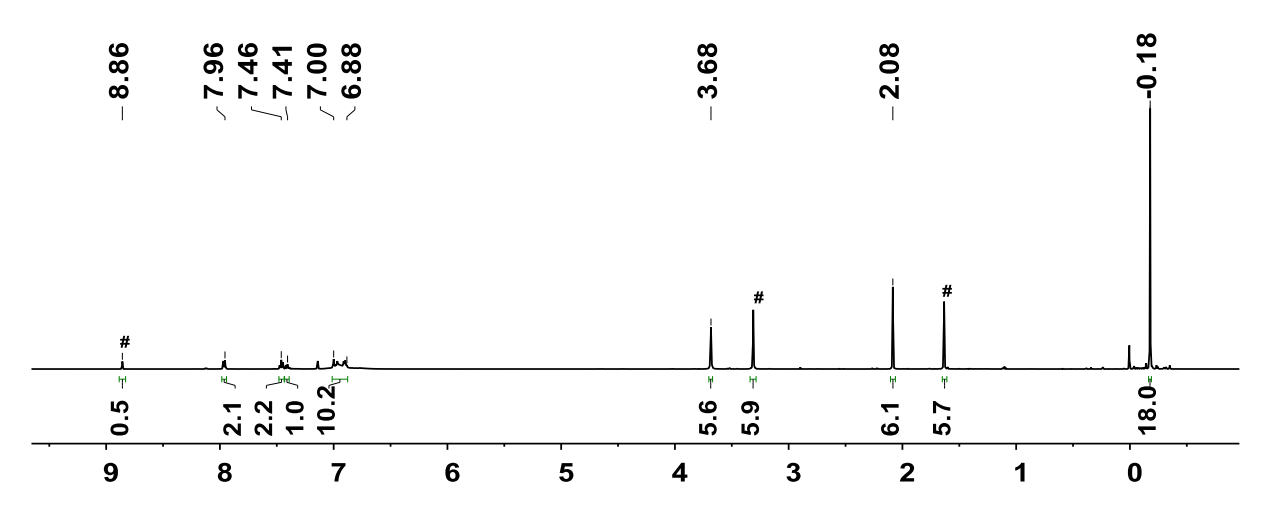
Eine weitere Vergrößerung des Substituenten am Carben durch den Einsatz eines <sup>Dipp</sup>Carbens führt mit 311 kJ mol<sup>-1</sup> nicht zu einer ausreichenden Verringerung der BDE. Auch durch den Einsatz eines cAAC kann anhand der BDE von 283 kJ mol<sup>-1</sup> weiterhin eine kovalente Bindung zwischen dem Germaniumatom und dem ehemaligen Carbenatom erwartet werden. Einzig das Addukt aus pempsubstituierten Germol und <sup>Pr</sup>NHC weist mit 195 kJ mol<sup>-1</sup> eine BDE unterhalb der durchschnittlichen BDE einer Germaniumkohlenstoffbindung (255 kJ mol<sup>-1</sup>) auf. <sup>[158]</sup> Daher wurde in einer Probereaktion das pempsubstituierte Germoltriflat **243** in C<sub>6</sub>D<sub>6</sub> gelöst und <sup>Pr</sup>NHC **55** zugegeben. Die Lösung wurde 16 h gerührt. Eine NMR spektroskopische Untersuchung der Reaktionslösung zeigte freies Carben und Zersetzungsprodukte des Germols. Es ist daher davon auszugehen, dass dieses Addukt nicht stabil ist und sich das

entstehende Germolylkation rasch zersetzt. Das Signal des Carbenkohlenstoffatoms konnte auch im <sup>1</sup>H <sup>13</sup>C HMBC nicht nachgewiesen werden. Die Verschiebungen der übrigen Signale stimmen jedoch mit den Literaturwerten überein.<sup>[186]</sup>

Die NMR spektroskopischen und kristallographischen Daten sowie die BDEs lassen bereits darauf schließen, dass die kationische Ladung nicht am Germaniumatom, sondern im Imidazoliumsubstituenten lokalisiert ist. Um dies jedoch abschließend nachzuweisen, wurde das Silolylimidazoliumkation **250** synthetisiert (siehe Schema 83). Dieses besitzt einen NMR aktiven Kern am potentiell kationischen Zentrum. Daher kann anhand der <sup>29</sup>Si{<sup>1</sup>H} NMR chemischen Verschiebung die Ladungsverteilung dieses Verbindungstyps besser analysiert werden.

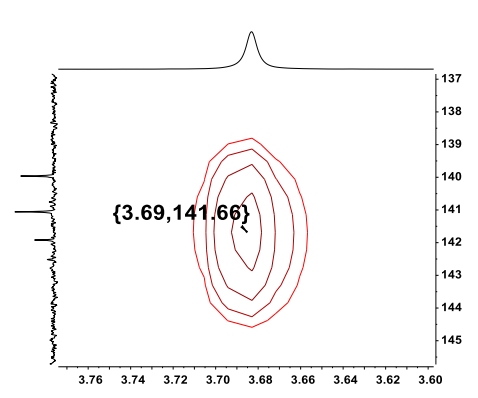
Schema 83: Synthese des Silolylimidazoliumkations 250.

Die Synthese des Silolylimidazoliumkations 250 wurde zunächst analog zu den Germolylimidazoliumkationen 247-249 durchgeführt. Bei der Synthese entstanden jedoch, je nach Reaktionsbedingungen, bis zu 1.3 Äquivalente Imidazoliumtriflat 151[OTf] (siehe Schema 83). Weder durch Verwendung anderer Lösungsmittel wie Chlorbenzol um die Bildung von Areniumionen zu unterbinden oder Diethylether noch durch die Verringerung der Reaktionstemperatur (bis zu T = -80°C) konnte die Bildung des Imidazoliumtriflats 151[OTf] vollständig unterbunden werden. Zudem musste ein Überschuss an Carben eingesetzt werden, um eine vollständige Reaktion des Siloltriflats 244 zu gewährleisten. Als beste Diethylether Reaktionsbedingungen erwiesen sich als Lösungsmittel eine Reaktionstemperatur von T = -30°C. Hierbei fielen zwar sowohl das Produkt als auch das Imidazoliumkation 251 aus, doch konnte mittels Waschen mit kaltem Diethylether zumindest überschüssiges Carben entfernt werden. Auch von der Verbindung 250[OTf] konnten Einkristalle erhalten werden, die sich für eine XRD-Analyse eigneten. Eine NMR spektroskopische Untersuchung bestätigte das Entstehen des Silolylimidazoliumkations 250 mit dem Imidazoliumtriflat 151[OTf] als Nebenprodukt. Anhand des Protonen NMR Spektrums (Abbildung 81) konnte ein Verhältnis von 1:0.9 (250:251) ermittelt werden. Aufgrund der schlechten Löslichkeit der Verbindung 250[OTf] in Benzol wurde Chlorbenzol als Lösungsmittel genutzt.



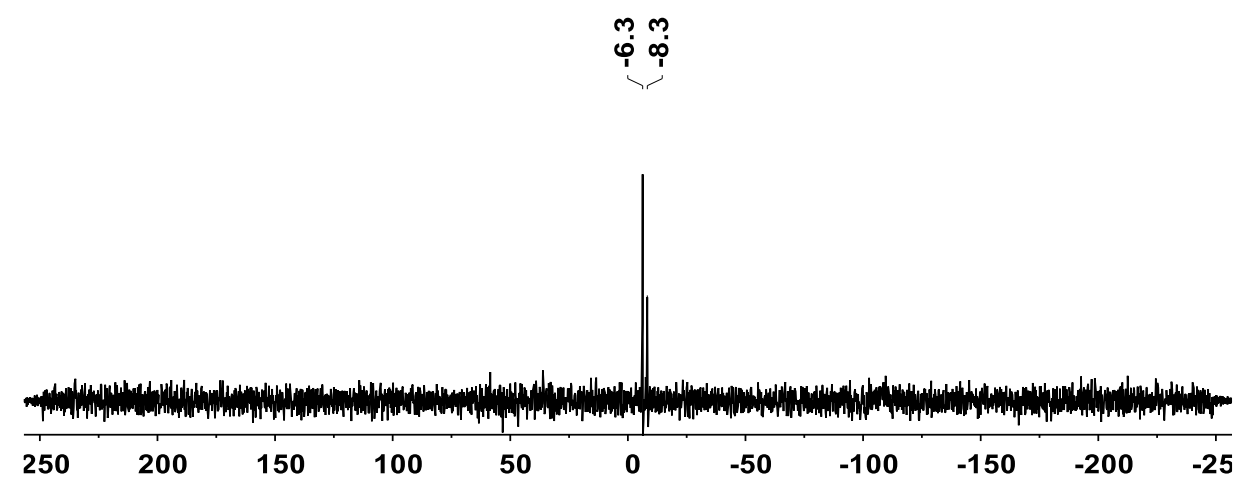
**Abbildung 81:**  $^{1}$ H NMR Spektrum (500 MHz, 238 K,  $C_{6}D_{5}CI$ ) des Silolylimidazoliumkations **250** [OTf] (# = Imidazoliumkation **251**).

Analog zu den Germolylimidazoliumkationen **247-249** ist das Carbokationatom des Silolylimidazoliumkations **250** stark hochfeldverschoben. Die Zuordnung erfolgte erneut über das Kreuzsignal bei  $\delta$  ( $^{13}$ C) = 141.7 zur Methylgruppe des Carbens im  $^{1}$ H  $^{13}$ C HMBC Spektrum (siehe Abbildung 82).



**Abbildung 82**: Ausschnitt eines <sup>1</sup>H <sup>13</sup>C HMBC NMR Spektrums (500 MHz, 305 K C<sub>6</sub>D<sub>5</sub>Cl) des Silolylimidazoliumkations **250[OTf]**.

Im  $^{29}\text{Si}\{^1\text{H}\}$  NMR Spektrum der Verbindungen **250** und **251** lässt sich ein Signal bei  $\delta$  ( $^{29}\text{Si}$ ) = -6.3 beobachten. Triarylsubstituierte Silyliumkationen zeichnen sich durch teilweise stark ins Tieffeld verschobene Signale im  $^{29}\text{Si}\{^1\text{H}\}$  NMR Spektrum im Bereich von  $\delta$  ( $^{29}\text{Si}$ ) = 216.2-244.7 aus. [ $^{63}$ ] Das  $^{29}\text{Si}$  chemische Signal des Kations **250** ist jedoch im Vergleich zum Triflat bei  $\delta$  ( $^{29}\text{Si}$ ) = 16.5 mit  $\delta$  ( $^{29}\text{Si}$ ) = -6.3 ins Hochfeld verschoben. Dies deutet stark auf eine am Kohlenstoff- und nicht am Siliciumatom lokalisierte kationische Ladung hin (siehe Abbildung 83 Struktur **250B**) und wird durch einen Vergleich mit den  $^{29}\text{Si}\{^1\text{H}\}$  NMR chemischen Verschiebungen der literaturbekannten Verbindungen Trimethylsilylimidazolium **252[NTf2]** bei  $\delta$  ( $^{29}\text{Si}$ ) =  $^{4.5}$  und **253[I]** bei  $\delta$  ( $^{29}\text{Si}$ ) =  $^{-5.1}$  bestätigt (Abbildung 84). Bei dem Signal bei  $\delta$  ( $^{29}\text{Si}$ ) = -8.3 handelt es sich um das Signal der Trimethylsilylgruppe.



**Abbildung 83**:  $^{29}$ Si  $\{^{1}$ H $\}$  NMR Spektrum (99 MHz, 305 K,  $C_{6}D_{5}CI$ ) des Silolylimidazoliumkations **250**.

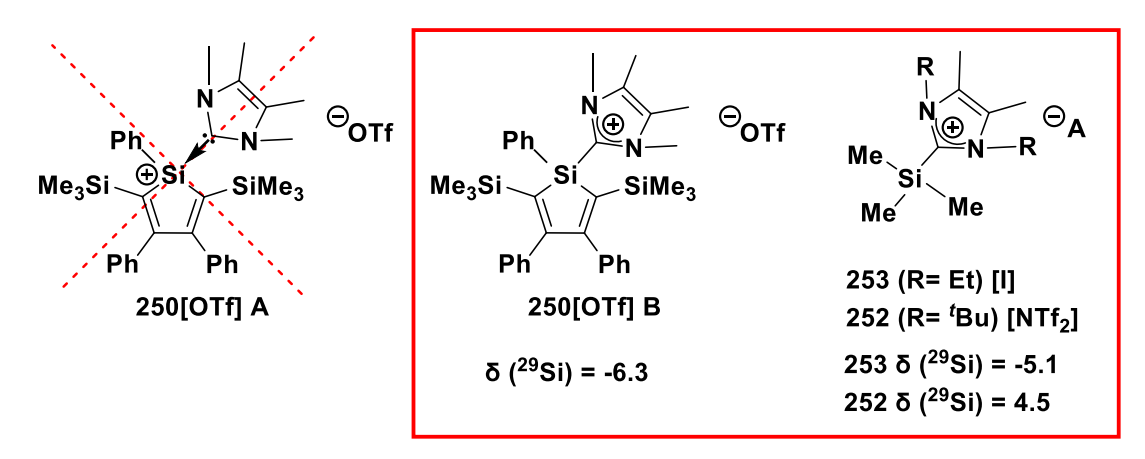
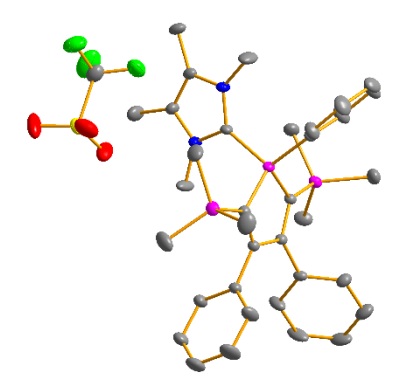


Abbildung 84: Mögliche Ladungsverteilung im Silol-NHC Addukt 250[OTf]A und 250[OTf]B mit den Vergleichsverbindungen 252 und 253.

Die Molekülstruktur des Silolylimidazoliumkations **250**, wie sie sich aus der XRD-Analyse geeigneter Einkristalle ergab, ist in der Abbildung 85 gezeigt. Auch das Silolylimidazoliumkation **250** ist mit 348.7 pm gut vom Triflatanion separiert. Erneut weisen die Bindungslängen des Heterolrings keine Auffälligkeiten auf. Das Silicium ist annähernd tetraedrisch umgeben ( $\Sigma_{\alpha\beta\gamma}=326.14^{\circ}$ ). Die Bindungslänge zwischen dem Siliciumatom des Silolrings und dem Imidazoliumsubstituenten ist mit 191.5 pm leicht verlängert. Die BDE dieser Bindung liegt jedoch mit 350 kJ mol<sup>-1</sup> im Bereich einer kovalenten Bindung (301 kJ mol<sup>-1</sup>) I<sup>158</sup> und bestätigt damit erneut die Lage der kationischen Ladung am C1 Atom des Imidazoliums.



**Abbildung 85**: Molekülstruktur des Silolylimidazoliumkations **150** im Kristall (thermische Ellipsoide mit 50% Aufenthaltswahrscheinlichkeit, die Wasserstoffatome sind zur besseren Übersichtlichkeit nicht abgebildet) Si-C<sub>NHC</sub>: 191.47(11); Si-C<sub>1</sub>: 186.57(11); Si-C<sub>4</sub>: 186.63(13); C<sub>1</sub>-C<sub>2</sub>: 136.52(14); C<sub>2</sub>-C<sub>3</sub>: 151.35(14); C<sub>3</sub>-C<sub>4</sub> 136.24(16); C<sub>Ph</sub>-Si-C<sub>1</sub>:118.11(51); C<sub>Ph</sub>-Si-C<sub>4</sub>: 112.26(53); C<sub>1</sub>-Si-C<sub>4</sub>: 95.77(46). C<sub>Ph</sub>-Si-C<sub>NHC</sub>: 109.48(52).

Um diese neuen Heterol-NHC Addukte noch weiter einzuordnen, wurden sie mit einem weiteren Beispiel eines NHC-Heteroladduktes aus der Literatur verglichen. Die Arbeitsgruppe Sindlinger publizierte 2020 das NHC-stabilisierte Borolkation 88, welches über eine vorherige Adduktbildung des Carbens an das Chlorborol 254 und einer anschließenden Salzmetathesereaktion mit Hilfe eines WCA-Lithiumsalzes dargestellt werden konnte (siehe Schema 84). [108]

Schema 84: Darstellung des NHC-stabilisierten Borolkations 88.[108]

In dieser Verbindung gibt es Hinweise auf eine Lokalisierung der kationischen Ladung am Boratom und nicht am ehemaligen Carbenkohlenstoffatom. Das C1/4 Signal im <sup>13</sup>C{<sup>1</sup>H} NMR Spektrum des Borolkations zeigt eine deutliche Tieffeldverschiebung. [108] Diese wurde ebenfalls mit Hilfe quantenchemischer Rechnungen für die Germolyl- und Silolylkationen vorhergesagt. Dennoch zeigte eine NRT-Analyse des Borols 88, dass die Resonanzstruktur des Borolimidazoliumkations mit 47.9% vorliegt. Bei den Germolylund Silolylimidazoliumkationen 247-250 konnten lediglich wesentlich geringere Tieffeldverschiebungen des C2/C3 Signals beobachtet werden. (siehe 3.3.6). Zudem weist das Borolkation 88 im Vergleich zu einer neutralen Borolverbindung durch eine deutliche Absenkung der LUMO Energie (von -3.35 eV im Chlorborol zu -6.38 eV im Kation) und nur geringer Absenkung der HOMO Energie (von -5.17 eV zu -7.63 eV) eine geringere HOMO-LUMO Lücke auf.<sup>[108]</sup> Im Falle der Germolyl- und Silolylimidazoliumkationen **247-250** konnte dieser Effekt nicht beobachtet werden, da in diesen Verbindungen im Vergleich zu den neutralen Chlorverbindungen zwar eine Absenkung der LUMO-Energie, jedoch gleichzeitig eine ebenso hohe Absenkung der HOMO-Energie festgestellt werden kann (siehe Kapitel 3.4.3).

Zudem wurde von der Arbeitsgruppe Cui mit dem Carben-stabilisierten silolbasierten Silylen **89** ein weiteres Beispiel eines carbensubstituierten Heterols publiziert. Der Arbeitsgruppe Cui gelang die Isolierung eines NHC-stabilisierten Silolylens **89**, welches durch eine Dehydrohalogenierungsreaktion des hydridosubstituierten Chlorsilols **256** synthetisiert wurde (siehe Schema 85). [115] Bei dieser Struktur handelt es sich um ein nukleophiles Silylen, dessen Resonanzstruktur analog zu den NHC-stabilisierten Silylenen **44** als imidazoliumsubstituiertes Silolanion oder neutrales Silylanion-Äquivalent **44(B)** beschrieben werden kann. [25] Die siliciumchemische Verschiebung der Verbindung **89** liegt bei  $\delta$  (29Si) = -43.6 und somit in einem ähnlichen Bereich wie das von der Arbeitsgruppe Tilley publizierte Kaliumsalz des trimethylsilylsubstituierten Silolylanions **80** ( $\delta$  (29Si) = -41.5). [92] Das NHC-stabilisierte Hydridosilylen **44** von Lutters *et al.* weist eine Verschiebung von  $\delta$  (29Si) = -80.5 auf. [25] Die Verschiebung des Carbenkohlenstoffatoms der Verbindung **89** liegt bei  $\delta$  (13C) = 160.5 und ist damit deutlich weiter ins Tieffeld verschoben als das Kohlenstoffsignal im Carbokation des Silolylimidazoliumkations **150** ( $\delta$  (13C) = 141.7). [115]

Schema 85: Darstellung des NHC-stabilisierten Silolylens 89.[115]

### 3.3.5 Untersuchungen der Lewis-Acidität der Heterolverbindungen

Die relativen FICs<sup>Et3B</sup> der freien Heterolylkationen **209** und **210** weisen bereits auf eine starke Lewis-Acidität dieses Verbindungstyps hin. Diese wird im Folgenden experimentell bestätigt.

Zur experimentellen Bestimmung der Lewis-Acidität sind bereits mehrere Verfahren bekannt (siehe Abbildung 86). Als eine der wichtigsten Methoden hat sich die Gutmann-Beckett-Methode erwiesen. [167-168] In diesem experimentellen Verfahren wird eine Lewis-Säure mit

einem Phosphanoxid umgesetzt. Die Adduktbildung mit der Lewis-Säure führt zu einer Tieffeldverschiebung des Signals im <sup>31</sup>P NMR Spektrum. Diese kann zur Abschätzung der Lewis-Acidität einer Lewis-Säure herangezogen werden. Die Lewis-Acidität von Silyl- und Germylkationen wurde mit dieser Methode bereits bestimmt.<sup>[117]</sup>

Eine weitere Methode wurde von Childs und Mitarbeitern entwickelt.<sup>[188]</sup> Die Lewis-Säuren werden mit Crotonaldehyd zur Reaktion gebracht. Die Stärke der Lewis-Säure kann anschließend anhand der chemischen Verschiebung des β-H-Atoms abgeschätzt werden. Für Silylkationen oder Germylkationen ist diese Methode jedoch nicht geeignet, da Folgereaktionen ablaufen können.<sup>[117]</sup>

Die Hilt-Methode nutzt die chemische Verschiebung des *para*-Deuteriumatoms im Pydridin-d₅ Lewis-Säure-Addukt zur Einschätzung der Lewis-Acidität.<sup>[189]</sup>

Zudem wurde kürzlich von der Arbeitsgruppe Müller eine neue Methode zur Bestimmung der Lewis-Acidität von donorstabilisierten Silylkationen entwickelt. Diese nutzt Fluorbenzonitril (FBN) als Sonde. Die Stärke der Lewis-Säure wird anhand der chemischen Verschiebung im <sup>19</sup>F NMR Spektrum sowie der <sup>1</sup>J<sub>(CF)</sub> Kopplungskonstante eingeordnet. Das FBN verdrängt, im Gegensatz zum Phosphanoxid der Gutmann-Beckett-Methode oder dem Pyridin in der Hilt-Methode, den Donor des Silylkations nicht, sodass die Lewis-Säurestärke auch von intramolekular stabilisierten Silylkationen korrekt eingeschätzt werden kann.<sup>[68]</sup>

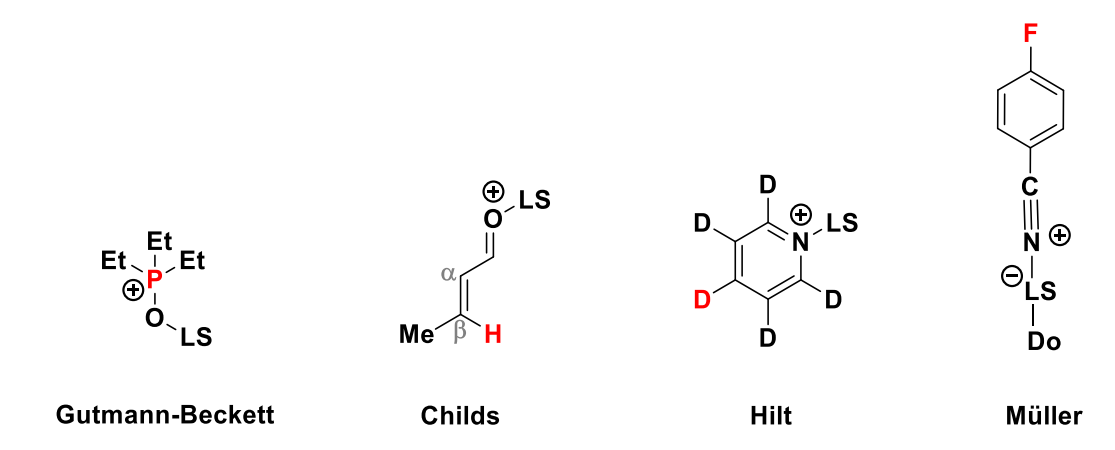


Abbildung 86: Genutzte Verbindungen in den Methoden zur Quantifizierung der Lewis-Acidität.

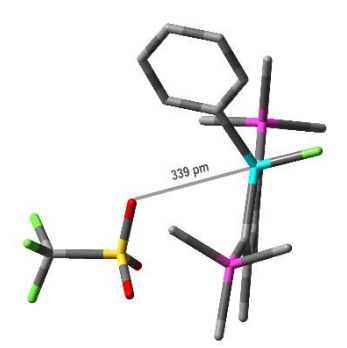
Daher sollen im Laufe dieser Arbeit sowohl die Gutmann-Beckett- als auch die neue Müller-Methode zur experimentellen Bestimmung der Lewis-Aciditäten der Heterolverbindungen eingesetzt werden, insbesondere da eine experimentelle Quantifizierung der Lewis-Acidität von Germylkationen bis dato sehr selten vorgenommen wurde.<sup>[163]</sup>

# 3.3.5.1 Untersuchungen der Lewis-Acidität der Heterolverbindungen mit der FIC<sup>Et3B</sup>Methode

Um zunächst die Lewis-Säurestärken der neuen Heteroltriflate **172**, **243** und **244** und Heterolylimidazoliumkationen **247-250** theoretisch einordnen zu können, wurden analog zu den freien Heterolylkationen **209** und **210** die FICs<sup>Et3B</sup> dieser Verbindungen berechnet. Erstere zeigten bereits experimentell durch die Polymerisation von THF ein Lewis-acides Verhalten.

Die FICs<sup>Et3B</sup> der Triflat- und Imidazoliumverbindungen wurden in Tabelle 22 zusammengefasst. Zudem wurden die Lösungsmitteleffekte des Benzols nach dem SCIPCM-Modell mit einbezogen, da in der Gasphase die elektrostatische Anziehung der Ionen und deren Ladungsneutralisation die berechnete FIC<sup>Et3B</sup> stark beeinflussen.<sup>[163]</sup>

Zu beachten ist jedoch, dass es nicht möglich ist, Germole mit einem Germaniumatom mit der Koordinationszahl fünf zu optimieren. Daher führt die Addition eines Fluoratoms in Laufe der Optimierung der Strukturen immer zur Abspaltung der Triflatgruppe oder des Carbens. Diese wiesen jedoch weiterhin einen Abstand zum Germaniumatom auf, welcher sich noch im Bereich einer van der Waals Wechselwirkung befindet, wie am Beispiel des fluorierten phenylsubstituierten Germoltriflats gezeigt werden kann. Das Sauerstoffatom des Triflats weist lediglich einen Abstand von 339 pm zum Germaniumatom auf (siehe Abbildung 87). Dies liegt noch unterhalb der Summe der Van-der-Waals-Radien dieser Atome (391 pm). [190] Auch die weiteren Abstände zwischen den Tetrelatomen und den Sauerstoffatomen der Triflatgruppen sowie Kohlenstoffatomen der Carbene, liegen im Bereich der Van-der-Waals-Radien. Daher können diese Strukturen für einen Vergleich der Verbindungen genutzt werden.



**Abbildung 87**: Optimierte Struktur des fluorierten phenylsubstituierten Germoltriflats (M06-2X/ def2 TZVP).

Tabelle 22: FIC<sup>Et3B</sup> der Heteroltriflate 172, 243 und 244 und Heterolylimidazoliumkationen 247-250 sowie der Vergleichsverbindung BCF [kJ mol<sup>-1</sup>] (M06-2X/def2-TZVP).

	Heterol	R <sup>1</sup> , R <sup>2</sup>	FIC <sup>Et3B</sup> .	FIC <sup>Et3B</sup> (SCIPCM-Benzol)
172	Germol	Ph, OTf	90	66
243	Germol	Pemp, OTf	87	65
244	Silol	Ph, OTf	118	95
247	Germol	Ph, <sup>iPr</sup> imidazolium	321	144
248	Germol	Ph, Me4imidazolium	248	68
249	Germol	Pemp, Me4imidazolium	241	65
250	Silol	Ph, Me4imidazolium	292	111
220	Tris(pent	tafluorophenyl)boran (BCF)	-	155

Die berechneten FICs<sup>Et3B</sup> zeigen wie erwartet, dass alle Verbindungen mit einer FICs<sup>Et3B</sup> von 65-144 kJ mol<sup>-1</sup> eine wesentlich geringere Lewis-Acidität als die freien Germolyl- und Silolylkationen **209** und **210** (FIC<sup>Et3B</sup> = 353 kJ mol<sup>-1</sup> und 453 kJ mol<sup>-1</sup>) aufweisen. Generell sind erwartungsgemäß die Siliciumverbindungen Lewis-acider als die Germaniumverbindungen. Die Triflate weisen alle eine wesentlich geringere FIC<sup>Et3B</sup> als die starke Lewis-Säure BCF **220** (FIC<sup>Et3B</sup> = 155 kJ mol<sup>-1</sup>) auf, während die FICs<sup>Et3B</sup> der Imidazoliumkationen stark von der Substitution am Carben abhängen. Das *iso*-propylsubstituierte Imidazoliumkation **247** liegt mit einer FIC<sup>Et3B</sup> von 144 kJ mol<sup>-1</sup> in einem ähnlichen Bereich wie die starke Lewis-Säure BCF, während das methylsubstituierte Kation **248** nur eine halb so große FIC<sup>Et3B</sup> aufweist. Das Silolylimidazoliumkation **250** weist, wie erwartet, mit FIC<sup>Et3B</sup> = 111 kJ mol<sup>-1</sup>eine wesentlich höhere Lewis-Acidität als das Germaniumanalogon **248** (FIC<sup>Et3B</sup> = 68 kJ mol<sup>-1</sup>) auf.

Eine deutliche Zunahme der Lewis-Acidität durch die Einführung des Imidazoliumkations mit FIC<sup>Et3B</sup> = 144 kJ mol<sup>-1</sup> gegenüber dem Triflat **172** (FIC<sup>Et3B</sup> = 66 kJ mol<sup>-1</sup>) kann nur im Fall des Imidazoliumkations **247** beobachtet werden. Die FIC<sup>Et3B</sup> des Silolylimidazoliumkations **250** liegt mit 111 kJ mol<sup>-1</sup> ein wenig höher als die FIC<sup>Et3B</sup> des Siloltriflats **244** (FIC<sup>Et3B</sup> = 95 kJ mol<sup>-1</sup>). Die FIC<sup>Et3B</sup> des pempsubstituierten Germolylimidazoliumkations ist mit 65 kJ mol<sup>-1</sup> jedoch identisch zum analogen Triflat.

### 3.3.5.2 Untersuchungen der Lewis-Acidität der Heterolylkationen mit der Gutmann-Beckett-Methode

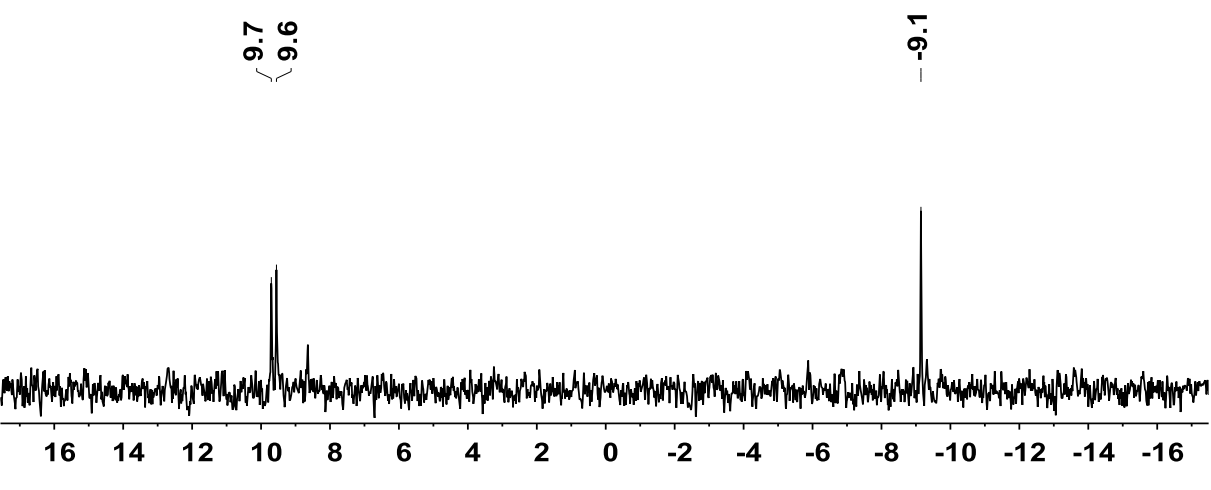
Um die Lewis-Säurestärke der Germole und Silole experimentell zu bestimmen, wurde zunächst auf die Gutmann-Beckett-Methode zurückgegriffen. Hierzu wurden die Heteroltriflate in  $C_6D_6$  gelöst und mit Triethylphosphanoxid **227** zur Reaktion gebracht. Die Silolyl- und Germolyloxyphosphoniumtriflate **231[OTf]**, **257[OTf]** und **258[OTf]** konnten in guten (68% und

80%) bis quantitativen Ausbeuten als kristalline Feststoffe erhalten werden (siehe Schema 86) und NMR spektroskopisch und massenspektrometrisch vollständig charakterisiert werden. Zudem konnten von den Silolyl- und Germolyloxyphosphoniumtriflaten 231[OTf], 257[OTf] und 258[OTf] sowie dem Triphenylphosphan-Adukkt des phenylsubstituierten Germoltriflats 259[OTf] Einkristalle erhalten werden, die sich für eine XRD-Analyse eigneten.

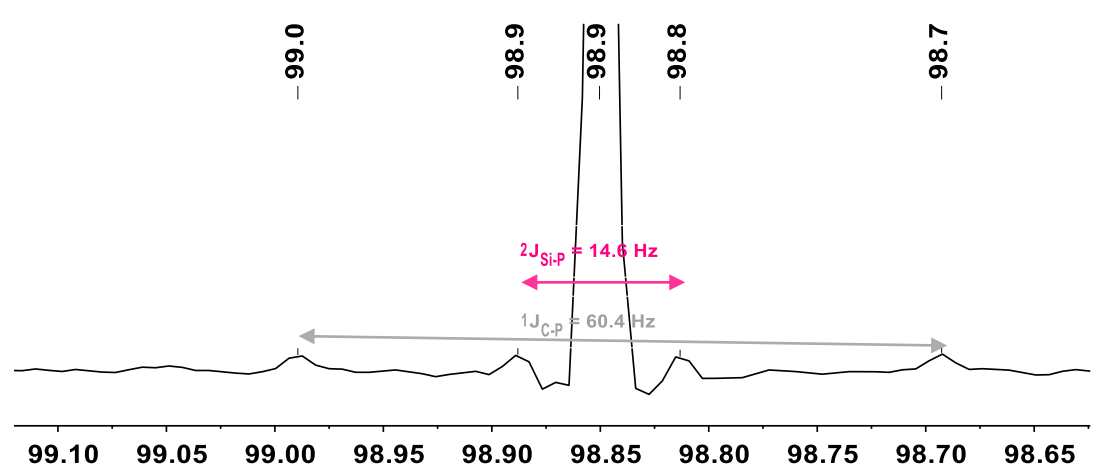
Schema 86: Synthese der Silolyl- und Germolyloxyphosphoniumtriflate 231[OTf], 257[OTf] und 258[OTf] (Ausbeuten: 231[OTf]: 80%; 257[OTf]:100%; 258[OTf]: 68%).

Dies zeigt erneut, dass es sich bei der Triflatgruppe um eine gute selektive Abgangsgruppe handelt. Das Gutmann-Beckett-Addukt konnte über eine Reaktion des Phosphanoxids **227** mit einer Reaktionsmischung des Chlorgermols **139** und einem Silbersalz analog zum Boreniumkation nicht erhalten werden, während es in einer Reaktion mit den Heteroltriflaten in teilweise quantitativer Ausbeute erhalten wurde. Auch eine Reaktion des mesitylsubstituierten Chlorsilols **239** mit dem Phosphanoxid **227** konnte nicht beobachtet werden.<sup>[170]</sup>

<sup>29</sup>Si{<sup>1</sup>H} <sup>31</sup>P{<sup>1</sup>H} lm NMR Spektrum dem **NMR** Spektrum sowie des Silolyloxyphosphoniumtriflats 258[OTf] konnten zudem die Kopplungen zwischen dem zentralen Siliciumatom des Silols und dem Phosphoratom des Phosphanoxids beobachtet werden (siehe Abbildungen 88 und 89). Diese führten im <sup>29</sup>Si{<sup>1</sup>H} NMR Spektrum zu einer Aufspaltung des entsprechenden Signals bei  $\delta$  (29Si) = 9.6 zum Duplett. Die Verschiebung dieses Signals im <sup>29</sup>Si{<sup>1</sup>H} **NMR** Spektrum entspricht Bilduna der eines Silyloxyphosphoniumkations, welche in einem Bereich von  $\delta$  (<sup>29</sup>Si) = -17.9 -35.4 liegen. [117, 181] Die Kopplungskonstante liegt mit <sup>2</sup>J<sub>Si-P</sub> = 14.6 Hz im erwarteten Bereich (siehe Abbildung Kopplung in den <sup>31</sup>P{<sup>1</sup>H} **NMR**  $^{1}J_{C-P}$ konnte Spektren aller Heterolyloxyphosphoniumtriflate 231, 257 und 258 beobachtet werden. Sie liegt bei  $^{1}J_{C-P} = 60.4-62.1 \text{ Hz}.$ 



**Abbildung 88**: Ausschnitt des <sup>29</sup>Si{<sup>1</sup>H} NMR Spektrums (99 MHz, 305 K, C<sub>6</sub>D<sub>6</sub>) des Silolyloxyphosphoniumtriflats **258[OTf]**.



**Abbildung 89**: Ausschnitt des <sup>31</sup>P{<sup>1</sup>H} NMR Spektrums (202 MHz, 305 K, C<sub>6</sub>D<sub>6</sub>) des Silolyloxyphosphoniumtriflats **258[OTf]**.

Um die Lewis-Acidität der Heterole nach der Gutmann-Beckett-Methode zu analysieren, wurden die chemischen Verschiebungsunterschiede der Phosphoniumtriflate **231[OTf]**, **257[OTf]** und **258[OTf]** zum freien Triethylphosphanoxid **227** im  $^{31}P\{^1H\}$  NMR Spektrum ( $\delta$  ( $^{31}P$ ) = 46.2) verglichen. Wobei über die Gutmann-Beckett-Methode nicht die Lewis-Acidität der Heteroltriflate **172**, **243** und **244**, sondern die Lewis-Acidität der Kationen **209**, **210** und **222** abgeschätzt wurde. Die Verschiebungsunterschiede der Phosphoniumtriflate im  $^{31}P\{^1H\}$  NMR Spektrum zum freien Triethylphosphanoxid **227** sind in Tabelle 23 zusammengefasst.

Tabelle 23: Signale der Heterolyloxyphosphoniumtriflate 231[OTf], 257[OTf] und 258[OTf] im  $^{31}P\{^{1}H\}$  NMR und deren Verschiebungsunterschied zum freien Triethylphosphanoxid 227 ( $\delta$   $^{31}P=46.2$ ) in  $C_6D_6$ .

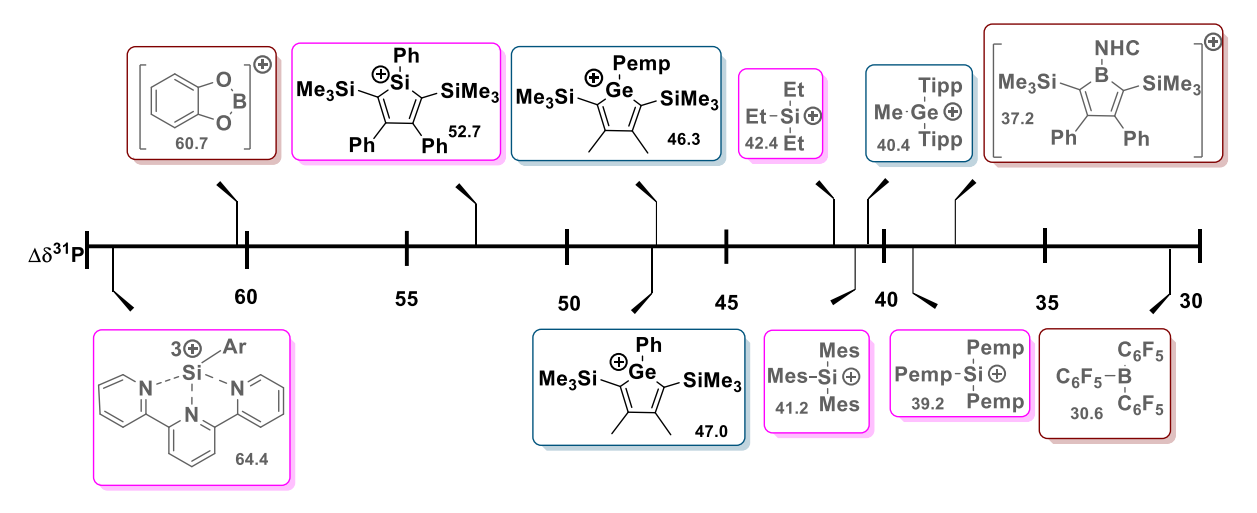
-	Heterol	R	δ ( <sup>31</sup> P)	Δδ ( <sup>31</sup> P)
231	Germol	Ph	93.2	47.0
257	Germol	Pemp	92.7	46.5
258	Silol	Ph	98.9	52.7

Die erhaltenen chemischen Verschiebungsunterschiede im <sup>31</sup>P{<sup>1</sup>H} NMR Spektrum werden üblicherweise zur Berechnung der Aceptor Number (AN) nach folgender Gleichung herangezogen. Der Skalierungsfaktor von 2.348 wurde von Gutmann eingeführt um die ANs für Hexan auf 0 und für SbCl<sub>5</sub> auf 100 zu skalieren.<sup>[191]</sup>

AN = 
$$\Delta\delta$$
 (31P) \* 2.348

Die Verschiebungen im <sup>31</sup>P{<sup>1</sup>H} NMR Spektrum sind jedoch lösungsmittelabhängig. Gutmann und Mitarbeiter nutzten Hexan. <sup>[167]</sup> Häufig werden die Messungen aus Löslichkeitsgründen auch in DCM-d<sub>2</sub> durchgeführt. <sup>[108]</sup> In dieser Arbeit wurde jedoch C<sub>6</sub>D<sub>6</sub> genutzt, um eine bessere Vergleichbarkeit mit den Messungen der zuvor untersuchten Silyl- und Germyloxyphosphoniumborate herzustellen. <sup>[117]</sup> Daher wurde auf die Angabe der ANs verzichtet und ausschließlich die Verschiebungsunterschiede diskutiert.

Ein Vergleich der  $\Delta\delta$  ( $^{31}P$ ) mit bereits angefertigten Studien zeigt deutlich, dass es sich bei den Germolyl- und Silolylkationen **209**, **210** und **222** um starke Lewis-Säuren handelt (siehe Abbildung 90). Sie weisen nach der Gutmann-Beckett-Methode mit  $\Delta\delta$  ( $^{31}P$ ) = 46.5-52.8 eine wesentlich höhere Lewis-Acidität als die starke Lewis-Säure BCF **220** ( $\Delta\delta$  ( $^{31}P$ ) = 30.6)[ $^{1117}$ ] oder als das von Sindlinger *et al.* publizierte Borolkation **88** ( $\Delta\delta$  ( $^{31}P$ ) = 37.2)[ $^{108}$ ] auf. Wobei ein direkter Vergleich der Ergebnisse der Gutmann-Beckett-Methode von verschiedenen Verbindungsklassen aufgrund des großen Einflusses von sterischen und HSAB (hard and soft acids and bases)-Effekten schwierig ist.[ $^{181}$ ] Die Germolyl- und Silolylkationen **209**, **210** und **222** weisen jedoch ebenfalls eine höhere Lewis-Acidität als die bereits bekannten Silyl- und Germylkationen ( $\Delta\delta$  ( $^{31}P$ ) = 39.2-42.4) auf.[ $^{117}$ ] Analog zu diesen Verbindungen ist das Silolylkation **210** deutlich Lewis-acider als die Germolylkationen **209** und **222**. Der Effekt der verschiedenen Substituenten am Germaniumatom ist hingegen deutlich kleiner. Der elektronenschiebende +I Effekt der Methylgruppen des Pempsubstituenten führt zu einer Anhebung der LUMO-Energie um 0.4 eV (siehe Kapitel 3.4.2) und dadurch zur Absenkung der Lewis-Acidität des Germolylkations **222** im Vergleich zum Germolylkation **209**.

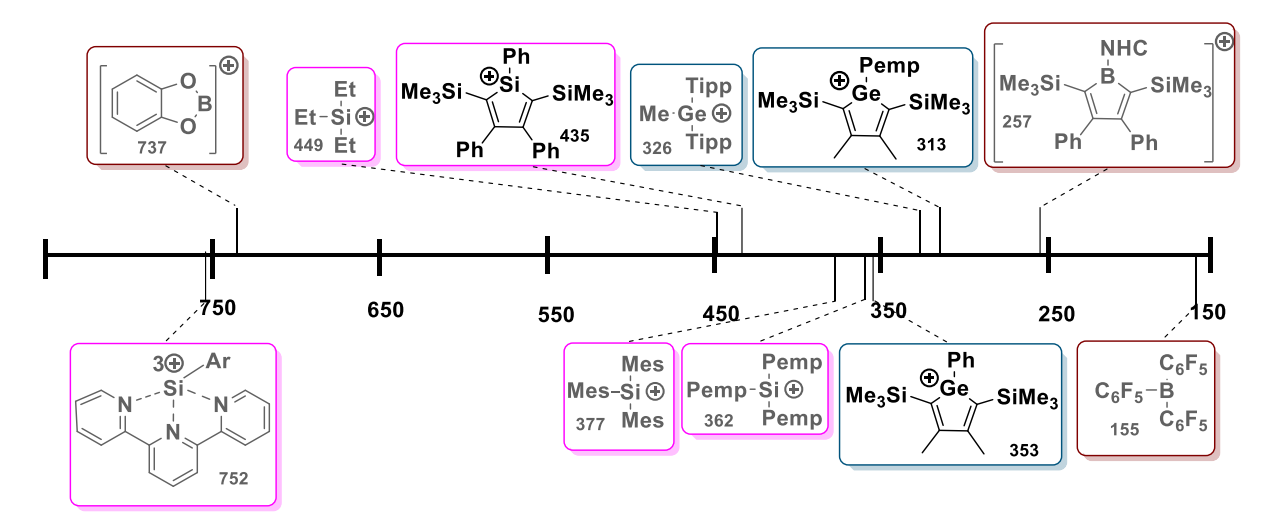


**Abbildung 90**: Übersicht der  $\Delta\delta$  (<sup>31</sup>P) von Triethylphosphanoxid-Addukten von neutralen und kationischen Borverbindungen (weinrot), Silylkationen (rosa) und Germylkationen (blau), die Vergleichsverbindungen sind grau gekennzeichnet .<sup>[108, 117, 166]</sup>.

Auch wenn die Silolyl- und Germolylkationen eine sehr hohe Lewis-Acidität aufweisen, gibt es Beispiele für Verbindungen mit höherer Lewis-Acidität. Das von Ingleson und Mitarbeitern publizierte, jedoch nie isolierte, Boreniumion galt mit  $\Delta\delta$  ( $^{31}P$ ) = 60.7 zunächst als die Verbindung mit der höchsten Lewis-Acidität nach der Gutmann-Beckett-Methode. [ $^{166}$ ] 2020 wurde jedoch von der Arbeitsgruppe Driess ein trikationischer, terpyridinstabilisierter Silylkomplex mit Triflat als Anion dargestellt. Der Verschiebungsunterschied im  $^{31}P\{^{1}H\}$  NMR Spektrum des Gutmann-Beckett-Addukts dieser Verbindung liegt bei  $\Delta\delta$  ( $^{31}P$ ) = 64.4. [ $^{181}$ ]

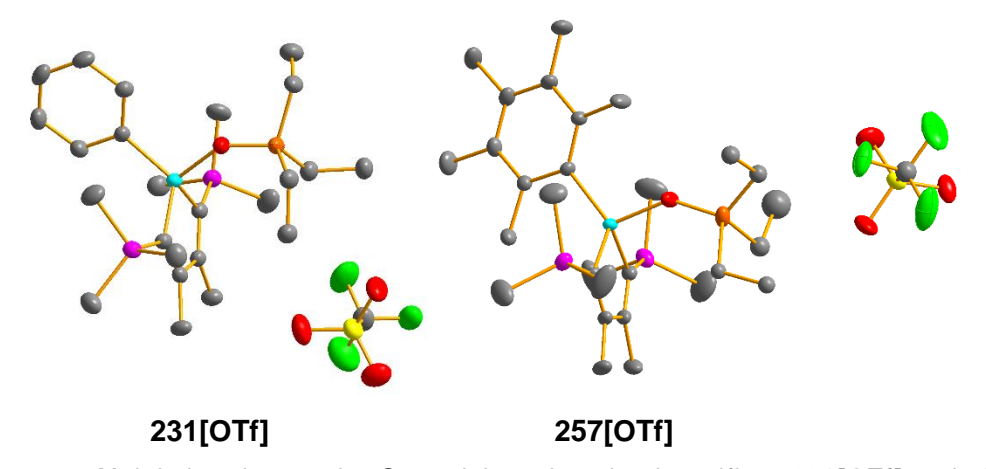
Ein Vergleich mit den theoretisch bestimmten FICs<sup>Et3B</sup> dieser Verbindungen zeigt eine etwas veränderte Reihenfolge der Lewis-Aciditäten (siehe Abbildung 91). So weist das Silolylkation **210** mit einer FIC<sup>Et3B</sup> von 435 kJ mol<sup>-1</sup> eine geringere Lewis-Acidität als das Triethylsilylkation (449 kJ mol<sup>-1</sup>) auf. Auch die Germolylkationen weisen mit einer FIC<sup>Et3B</sup> von 353 kJ mol<sup>-1</sup> (**209**) und 313 kJ mol<sup>-1</sup> (**222**) eine geringere Lewis-Acidität als die Silylkationen auf. Das Germolylkation **209** weist jedoch eine höhere FIC<sup>Et3B</sup> als das Germylkation **222** (326 kJ mol<sup>-1</sup>) auf. Nach der Gutmann-Beckett-Methode handelt es sich bei den Silolyl- und Germolylkationen um die Lewis-acideren Verbindungen.

Bei dem terpyridinstabilisierten Silylkomplex und dem Boriniumion handelt es sich jedoch auch nach der Methode der Fluorid ion competition aufgrund ihrer FICs<sup>Et3B</sup> von 751 kJ mol<sup>-1</sup> und 737 kJ mol<sup>-1</sup> weiterhin um die Lewis-acidesten Verbindungen, während die starke Lewissäure BCF **220** und das Borolkation **88** mit FICs<sup>Et3B</sup> von 155 kJ mol<sup>-1</sup> und 257 kJ mol<sup>-1</sup> in dieser Reihe die am wenigsten Lewis-aciden Verbindungen sind.

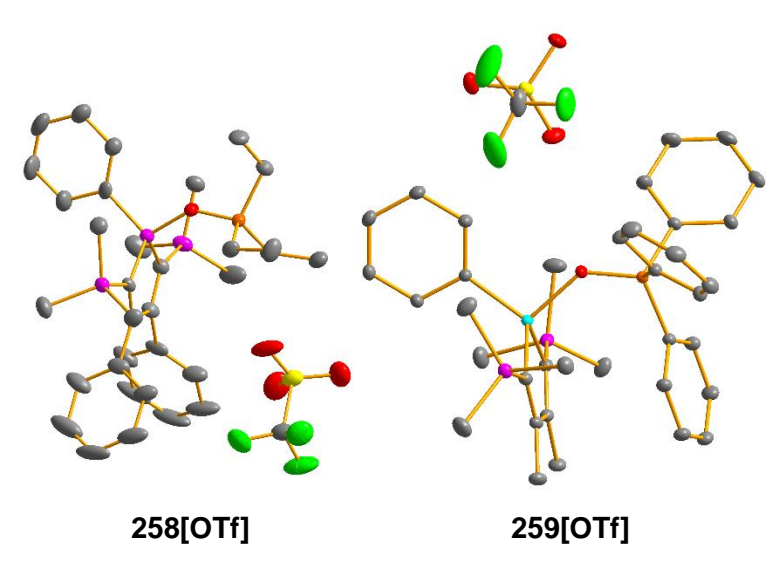


**Abbildung 91**: Übersicht der FICs<sup>Et3B</sup> [kJ mol<sup>-</sup>1] der neutralen und kationischen Borverbindungen (weinrot), Silylkationen (rosa) und Germylkationen (blau), die Vergleichsverbindungen sind grau gekennezochnet (M06-2X/def2-TZVP).

Die Molekülstrukturen der vier Silolyl- und Germolyloxyphosphoniumtriflate **231[OTf]** und **257[OTf]-259[OTf]**, wie sie sich aus den XRD-Analysen geeigneter Einkristalle ergeben, sind in den Abbildungen 92 und 93 gezeigt. Erneut sind alle Kationen gut vom Triflatanion separiert. Alle Bindungslängen und -winkel, die für die Diskussion wichtig sind, werden in den Tabellen 24-27 zusammengefasst.



**Abbildung 92**: Molekülstrukturen der Germolyloxyphosphoniumtriflate **231[OTf]** und **257[OTf]** im Kristall (thermische Ellipsoide mit 50% Aufenthaltswahrscheinlichkeit, die Wasserstoffatome sind zur besseren Übersichtlichkeit nicht abgebildet). Für Bindungslängen und -winkel siehe Tabellen 24-27.



**Abbildung 93**: Molekülstrukturen der Silolyl- und Germolyloxyphosphoniumtriflate **258[OTf]** und **259[OTf]** im Kristall (thermische Ellipsoide mit 50% Aufenthaltswahrscheinlichkeit, die Wasserstoffatome sind zur besseren Übersichtlichkeit nicht abgebildet). Für Bindungslängen und -winkel siehe Tabellen 24-27.

**Tabelle 24:** Relevante Bindungslängen der Silolyl- und Germolyloxyphosphoniumkationen **231** und **257-259** [pm] (R<sup>1</sup> = Arylsubstituent).

	Heterol	R <sup>1</sup> ,R <sub>3</sub> <sup>2</sup> PO	Ge-C	21	Ge-0	C4	C1-C	2	C2-C	23	C3-C	24
231	Germol	Ph, Et	193.59	(28)	194.18	(30)	135.30	(38)	152.29	(46)	134.52	(36)
257	Germol	Pemp, Et	193.80	(13)	194.39	(18)	135.47	(28)	152.58	(28)	135.48	(29)
258	Silol	Ph, Et	184.90	(60)	185.86	(58)	137.35	(70)	151.27	(93)	136.34	(70)
259	Germol	Ph, Ph	192.56	(5)	193.48	(6)	135.92	(7)	152.92	(8)	136.01	(8)

Die Beschriftung der Kohlenstoffatome ist der Abbildung 73 zu entnehmen. Bei der Betrachtung der Bindungslängen der Germolyloxyphosphoniumtriflate 231[OTf], 257[OTf] und 259[OTf] sind keine größeren Auffälligkeiten festzustellen (siehe Tabelle 24). Das Silolyloxyphosphoniumtriflat 258[OTf] weist hingegen im Vergleich zum Chlorsilol 245 mit 151.3 pm eine geringfügige Verkürzung der Kohlenstoffeinfachbindung (245 = 152.5 pm) und mit 137.4 pm bzw. 136.3 pm im Gegensatz zu den Doppelbindungen im Chlorsilol 245 von 136.0 pm und 136.1 pm eine geringe Verlängerung der Kohlenstoffdoppelbindung auf. In der berechneten Struktur des Silolylkations 210 (M06-2X/def2-TZVP) konnte eine Vergrößerung der Bindungslängenunterschiede der Einzel-und Doppelbindungen der Butadieneinheit des Silols vorhergesagt werden. Daher steht eine Verringerung dieser Differenz im Widerspruch mit der erwarteten größer werdenden kationischen Ladungsdichte im Silolyloxyphosphoniumtriflat **258[OTf]**.

Die Tetrelatome der Heterolyloxyphosphoniumtriflate 231[OTf] und 257[OTf]-259[OTf] sind mit Ausnahme des pempsubstituierten Gemyloxyphosphoniumtriflats 257[OTf] alle mit

 $\Sigma_{\alpha\beta\gamma}$  = 327.9-333.9° annährend tetraedrisch umgeben (siehe Tabelle 25). Bei der Verbindung 257[OTf] kann eine leichte Erhöhung der Summe der Bindungswinkel (337.5°) beobachtet werden. Diese Erhöhung ist jedoch viel zu gering um einer trigonalen planaren Koordinationssphäre des Germaniumatoms zu entsprechen. Das Chlorgermol 140 wies mit  $\Sigma_{\alpha\beta\gamma}$  = 332.8 eine geringere Summe der Bindungswinkel auf. Diese Ergebnisse entsprechen nicht der Reihenfolge der Lewis-Säurestärke dieser Verbindungen. Silolyloxyphosphoniumkation 258 ist deutlich Lewis-acider als die Germaniumanaloga und sollte daher am ehesten eine Vergrößerung der Summe der Bindungswinkel aufweisen. Zudem sollte die Summe der Bindungswinkel im Vergleich zum Chlorsilol 245 zunehmen, diese  $\Sigma_{\alpha\beta\gamma}$  nimmt jedoch mit 327.9° im Vergleich zu **245** (333.0°) ab. In der Vergleichsverbindung, dem trispempsubstituierten Silyloxyphosphoniumborat, lag die Summe der Bindungswinkel zwischen der  $\Sigma_{\alpha\beta\gamma}$  der neutralen Verbindung und der  $\Sigma_{\alpha\beta\gamma}$  des Triarylsilylkations. [117]

**Tabelle 25:** Relevante Winkel der Silolyl- und Germyloxyphosphoniumkationen **231** und **257-259**[°] (R¹ = Arylsubstituent).

βγ
Þγ
.90
.49
.93
.52

lm Folgenden wird die Tetrelsauerstoffbindung der Silolylund Germolyloxyphosphoniumkationen untersucht. Die Bindungslängen sowie die BDEs dieser Bindungen sind in Tabelle 26 zusammengefasst. Alle untersuchten Germanium- bzw. Siliciumsauerstoffbindungen sind gegenüber kovalenten Tetrelsauerstoffbindungen deutlich Bindungsverlängerung verlängert. Diese konnte ebenfalls in anderen Tetryloxyphosphoniumkationen beobachtet werden. [117, 181] Die Bindungslängen der Ge-O-Bindungen liegen mit 184.9-185.7 pm im Bereich einer kovalenten Ge-O-Bindung (175-185 pm).[140] Die BDEs dieser Germaniumsauerstoffbindungen sind mit 199-269 kJ mol-1 kleiner als die BDEs einer kovalenten Ge-O-Bindung (386 [kJ mol-1]).[178] Der Einfluss der Triphenylsubstitution des Germolyloxyphosphoniumkations auf die Ge-O-Bindungslänge ist geringfügig größer als der Einfluss einer Pempsubstitution am Germaniumatom. Daher ist die Ge-O-Bindung im Germolyloxyphosphoniumkation 259 mit 185.7 pm gegenüber der Ge-O-Bindung im pempsubstituierten Germolyloxyphosphoniumkation 257 mit 185.1 sehr leicht verlängert. Dieser Einfluss wird auch anhand der BDEs dieser Bindung deutlich. Die BDE des triphenylphosphan substituierten Kations 259 ist mit 199 kJ mol-1 geringer als die BDE des

pempsubstituierten Germolyloxyphosphoniumkations **257** mit 230 kJ mol<sup>-1</sup>. Auch die Siliciumsauerstoffbindung im Silolyloxyphosphoniumtriflat **258** ist mit 168.5 pm gegenüber einer kovalenten Si-O-Bindung (163 pm) verlängert. Die BDE dieser Bindung beträgt 324 kJ mol<sup>-1</sup> und ist damit deutlich geringer als die BDE einer kovalenten Si-O-Bindung (452 kJ mol<sup>-1</sup>).<sup>[158]</sup>

**Tabelle 26:** Bindungslängen und BDEs (M06-2x/def2TZVP) der E-O-Bindungen der Silolyl- und Germolyloxyphosphoniumkationen **231** und **257-259** (R¹ = Arylsubstituent)

	Heterol	R <sup>1</sup> , R <sub>3</sub> <sup>2</sup> PO	Bindungslänge E-O [pm]	Kovalente Bindungslänge <sup>[140, 177]</sup> E-O [pm]	BDE [kJ mol <sup>-1</sup> ]	kovalente BDE <sup>[158, 178]</sup> [kJ mol <sup>-1</sup> ]
231	Germol	Ph, Et	184.49 (24)	175-185	269	386
257	Germol	Pemp, Et	185.13 (13)	175-185	230	386
258	Silol	Ph, Et	168.49 (35)	163	324	452
259	Germol	Ph, Ph	185.71 (6)	175-185	199	386

Durch die Adduktbildung des Phosphanoxids lässt sich ebenfalls eine Verlängerung der P-O-Bindung beobachten (siehe Tabelle 27). Diese liegt im Triphenylphosphanoxid bei 146 pm. [192] Diese Verlängerung der P-O-Bindung verläuft analog zur Entschirmung des Phosphoratoms und ist abhängig von der Lewis-Acidität des Heterols. Daher ist die P-O-Bindung im Silolyloxyphosphoniumtriflat **258[OTf]** mit 156.6 pm im Vergleich zu den P-O-Bindungslängen der Germolyloxyphosphoniumtriflate 231[OTf], 257[OTf] und 259[OTf] (154.5-155.0 pm) verlängert. Auch ein Effekt durch die elektronenschiebende Pempsubstitution am Germol auf die P-O-Bindungen des Germolyloxyphosphoniumtriflats 257[OTf] lässt sich feststellen. Die P-O-Bindung des Lewis-saureren phenylsubstituierten Germolyloxyphosphoniumtriflats 231[OTf] ist mit 154.9 pm geringfügig länger als die P-O-Bindung des pempsubstituierten Germolyloxyphosphoniumtriflats 257[OTf] (154.5 pm). Das triphenylsubstituierte Germolyloxyphosphoniumkation 259 weist mit 154.7 pm eine P-O-Bindungslänge auf, die zwischen den Germyloxyphosphoniumkationen 231 und 257 liegt. Dieser Trend wurde jedoch nicht anhand der <sup>31</sup>P{<sup>1</sup>H} NMR chemischen Verschiebung dieser Verbindungen bestätigt. Alle untersuchten P-O-Bindungslängen sind im Vergleich zur P-O Doppelbindung des Triphenylphosphanoxides mit 147 pm verlängert.[193] Sie sind jedoch auch kürzer als eine typische P-O-Einfachbindung (174 pm).[159] Die P-O-Bindungen aller untersuchten Germolyloxyphosphoniumkationen sind ebenfalls im Vergleich zur P-O-Bindung des weniger Lewis-aciden Tripempsilylphosphanaddukts (153.1 pm) verlängert.[117]

**Tabelle 27:** Bindungslängen der P-O-Bindungen der Silolyl- und Germolyloxyphosphoniumkationen **231** und **257-259** (R¹ = Arylsubstituent).

	Heterol	R <sup>1</sup> , R <sub>3</sub> <sup>2</sup> PO	Bindungslänge P-O [pm]	
231	Germol	Ph, Et	154.95	(23)
257	Germol	Pemp, Et	154.47	(16)
258	Silol	Ph, Et	156.63	(34)
259	Germol	Ph, Ph	154.74	(6)

# <u>3.3.5.3 Untersuchungen der Lewis-Acidität der Heterolverbindungen mit der FBN-Methode</u>

Mit Hilfe der Gutmann-Beckett-Methode konnte bereits die Lewis-Acidität der Germolyl- und Silolylkationen 209, 210 und 222 experimentell bestimmt werden. Die Triflatgruppen konnten als Abgangsgruppen genutzt werden, sodass erneut in den Phosphanoxid-Addukten ein tetrakoordinertes Tetrelatom erhalten werden konnte. Die Stärke der neuen FBN-Methode liegt in der korrekten Abschätzung der Lewis-Acidität ohne Aufhebung einer Donor-Wechselwirkung. Hierdurch kann im Fall der donorstabilisierten Silylkationen ein pentakoordiniertes Siliciumatom erhalten werden. Dieses Konzept sollte auf die Heteroltriflate angewandt werden, um auch ihre Lewis-Säurestärke experimentell bestimmen zu können. In einer Probereaktion des Germoltriflats 172 mit FBN 262 konnte jedoch nur das freie FBN 262 erhalten werden (siehe Schema 87), welches NMR spektroskopisch über die charakteristische Verschiebung des freien FBNs 262 im  $^{19}F\{^1H\}$  NMR Spektrum bei  $\Delta\delta$  ( $^{19}F$ ) = 103.4 nachgewiesen wurde.  $^{[68]}$  Die FIC  $^{Ei3B}$  des Germoltriflats 172 ist, mit 66 kJ mol $^{-1}$  im Vergleich zur FIC  $^{Ei3B}$  der donorstabilisierten Silylkationen (167-235 kJ mol $^{-1}$ ), für die diese Methode entwickelt wurde, jedoch auch recht gering. Das Germoltriflat ist daher sehr wahrscheinlich nicht Lewis-acide genug, um mit dem FBN reagieren zu können.

Die Reaktion wurde mit dem geringfügig Lewis-acideren Germolylimidazoliumkation 248 wiederholt. Die FIC<sup>Et3B</sup> des Imidazoliums 248 liegt mit 68 kJ mol<sup>-1</sup> ebenfalls nicht im gleichen Bereich wie die FIC<sup>Et3B</sup> der donorstabilisierten Silylkationen. Daher konnte auch in der Reaktion des Germolylimidazoliumkations 248 mit FBN 262 NMR spektroskopisch lediglich freies FBN 262 nachgewiesen werden. Sowohl das Germoltriflat 172 als auch das Germolylimidazolium 248 sind daher nicht Lewis-acide genug, um das FBN zu binden. Daher konnte die Lewis-Acidität beider Verbindungsklassen nicht mit Hilfe der FBN-Methode bestimmt werden. Stattdessen konnte mit Hilfe der Heteroltriflate über die Gutmann-Beckett-

Methode ausschließlich die Lewis-Acidität der freien Heterolylkationen 209, 210 und 222 bestimmt werden.

Ph R CN Me<sub>3</sub>Si Ge SiMe<sub>3</sub> 262 Me<sub>3</sub>Si Ge SiMe<sub>3</sub>

172 R = OTf
248 R = 
$$^{\text{Me4}}$$
lmidazolium

Fh N $\oplus$  R Me<sub>3</sub>Si Ge SiMe<sub>3</sub>

260 R = OTf
261 R =  $^{\text{Me4}}$ lmidazolium

Schema 87: Versuchte Reaktion des Germoltriflats 172 und des Germolylimidazoliumkations 248 mit FBN 262.

#### 3.3.5.4 Lewis-Säure katalysierte Diels-Alder-Reaktion

Lewis-Säuren sind bekanntermaßen in der Lage Diels-Alder-Reaktionen zu katalysieren. [194198] Daher wurde die Reaktivität der Heteroltriflate 172, 243 und 244 sowie der
Heterolylimidazoliumkationen 248 und 249 in einer Diels-Alder-Reaktion getestet. Ein
besonderes Augenmerk lag auf dem katalytischen Leistungsvermögen der Lewis-Säuren
untereinander und auf der Frage, ob ein Zusammenhang zwischen diesem und der LewisAcidität bzw. FICEt3B dieser Verbindungen besteht. Für diese Untersuchungen wurde die
Diels-Alder-Reaktion zwischen dem Methylacrylat 263 und Dimethylbutadien 264 gewählt
(siehe Schema 88). Dieses Verfahren wurde bereits für Reaktivitätsstudien der donorstabilisierten Silylkationen in der Arbeitsgruppe Müller etabliert. [194, 199]

Lewis-Säure 5 mol%

Et<sub>2</sub>O, 4d, r.t.

263

Lewis-Säure (LS)

$$R^1$$
 $R^2$ 

SiMe<sub>3</sub>
 $R^2$ 
 $R^3$ 
 $R^4$ 
 $R^2$ 
 $R^4$ 
 $R^4$ 
 $R^4$ 
 $R^4$ 
 $R^4$ 
 $R^4$ 
 $R^4$ 
 $R^4$ 

Lewis-Säure (LS)

 $R^4$ 
 $R^4$ 
 $R^4$ 
 $R^4$ 
 $R^4$ 

Lewis-Säure 5 mol%

 $R^4$ 
 $R^4$ 
 $R^4$ 
 $R^4$ 
 $R^4$ 
 $R^4$ 
 $R^4$ 

Lewis-Säure 5 mol%

 $R^4$ 
 $R^4$ 

Schema 88: Lewis-Säure katalysierte Diels-Alder-Reaktion vom Methylacrylat 263 mit dem Dimethylbutadien 264.

Aufgrund der gegenüber den donor-stabilisierten Silylkationen viel geringeren katalytischen Aktivität der Heteroltriflate und Imidazoliumkationen in der untersuchten Diels-Alder-Reaktion wurden die Reaktionsbedingungen angepasst. Die Reaktionstemperatur wurde von -30°C auf Raumtemperatur erhöht und die Reaktionszeit von einer Stunde auf vier Tage verlängert. Trotz dieser Änderungen konnte durch den Einsatz der untersuchten Lewis-Säuren nur ein maximaler Umsatz von 13% erreicht werden. Dennoch sollte untersucht werden, ob sich die Reaktivitäten der Lewis-Säuren in der Diels-Alder-Reaktion mit ihrer FICEt3B in eine sinnvolle Reihenfolge bringen lassen. Hierbei sind zwei Szenarien möglich: Zum einen könnten die Verbindungen mit der höchsten Lewis-Acidität auch die besten Katalysatoren sein. Zum anderen kann gerade diese Eigenschaft auch zu einer schlechteren katalytischen Leistung führen. Dies wird anhand des Mechanismus dieser Reaktion verdeutlicht (siehe Abbildung 94). Die Lewis-Säure katalysierte Diels-Alder-Reaktion beginnt mechanistisch mit der Aktivierung der Carbonylfunktion des Methylacrylats 263. Anschließend muss eine Bindungsspaltung zwischen der Lewis-Säure und dem Cyclohexenester 265 erfolgen. Dies ermöglicht eine Fortführung des Katalysezykluses. Ist die Bindung zwischen einer Lewis-Säure und dem Carbonyl jedoch nicht reversibel, kann keine katalytische Reaktion dieser Lewis-Säure erwartet werden. Entsprechend ist der Umsatz einer solchen Reaktion sehr gering.[194] Daher könnten die Verbindungen mit der höchsten FICEt3B entweder zum höchsten oder aber auch zum niedrigsten Umsatz in der katalysierten Diels-Alder-Reaktion führen. Interessant wäre, ob sich die weiteren Verbindungen in diesen Trend einreihen. Die Bestimmung der Umsätze gelang über eine GC-Messung der Reaktionslösung. Analog zu einer vorherigen Arbeit wurde Standards, hierzu mit Hilfe des internen Mesitylen, eine Kalibrierkurve am Gaschromatographen erstellt.[194]

**Abbildung 94:** Mechanismus der Lewis-Säure katalysierte Diels-Alder-Reaktion des Methylacryalts **263** mit dem Dimethylbutadien **264**.

Der Umsatz der von Heteroltriflaten und Heterolylimidazoliumkationen sowie der Vergleichssubstanz AlCl<sub>3</sub> katalysierten Diels-Alder-Reaktion des Methylacryalts **263** und Dimethylbutadien **264** wurden zusammen mit ihren FICs<sup>Et3B</sup> in Tabelle 28 zusammengefasst.

Tabelle 28: Berechnete FIC<sup>Et3B</sup> [kJ mol<sup>-1</sup>] der Heteroltriflate 172, 243 und 244 sowie der Heterolylimidazoliumkationen 248 und 249 und Aluminiumtrichlorid 266 in Benzol (M06-2X/def2-TVZP; SCIPCM) und mittels GC-Messung bestimmte Ausbeuten in der von diesen Verbindungen katalysierten Diels-Alder-Reaktion

	Heterol	R <sup>1</sup> , R <sup>2</sup>	FIC <sup>Et3B</sup>	Umsatz DA
172	Germol	Ph, OTf	66	13%
243	Germol	Pemp, OTf	65	11%
244	Silol	Ph, OTf	95	2%
248	Germol	Ph, Me4imidazolium	68	7%
249	Germol	Pemp, Me4imidazolium	65	1%
266		AICI <sub>3</sub>	244	4%

Bei der Betrachtung der Umsätze der Lewis-Säure katalysierten Diels-Alder-Reaktionen lässt sich kein Zusammenhang zwischen den erzielten Umsätzen der Diels-Alder-Reaktion und den berechneten FICs<sup>Et3B</sup> der untersuchten Verbindungen feststellen. So sind die Umsätze in der vom phenylsubstituierten Germoltriflat **172** katalysierten Diels-Alder-Reaktion mit 13% innerhalb der untersuchten Reaktionen am höchsten. Das Triflat **172** liegt jedoch mit einer

FIC<sup>Et3B</sup> von 66 kJ mol<sup>-1</sup> in einem sehr ähnlichen Bereich wie das pempsubstituierte Triflat **243** (FIC<sup>Et3B</sup> = 65 kJ mol<sup>-1</sup>) oder die Germolylimidazoliumkationen **248** und **249** (FIC<sup>Et3B</sup> = 65-68 kJ mol<sup>-1</sup>). Diese katalysieren diese Diels-Alder-Reaktion jedoch mit Umsätzen zwischen 1% und 11% unterschiedlich gut. Zudem sind die Umsätze der durchgeführten Diels-Alder-Reaktionen generell sehr gering. Dies betrifft jedoch auch das Aluminiumtrichlorid **266**, welches ein häufig genutzter Katalysator dieser Reaktion ist, welche unter Standardbedingungen jedoch bei höheren Temperaturen durchgeführt wird.<sup>[197, 200]</sup> Die Ausbeute in der von AlCl<sub>3</sub> katalysierten Reaktion betrug 4%. Durch den Einsatz der Germoltriflate **172** und **243** sowie des Germolylimidazoliumkations **248** als Lewis-acide Katalysatoren in dieser Diels-Alder-Reaktion konnten mit 7-13% bessere Umsätze erzielt werden.

Eine Diskrepanz zwischen der durch die Reihenfolge der Lewis-Acidität erwarteten Reihenfolge der Reaktionsumsätze und der experimentell bestimmten Reihenfolge wurde bereits von mehreren Arbeitsgruppen berichtet. [189, 194, 201] Diese Diskrepanz kann durch verschiedene Faktoren verursacht werden. Zum einen könnten die Lewis-Säuren an die Carbonylfunktion des Methylacryalts (Verbindung 268) binden und auf diese Weise den katalytischen Zyklus unterbrechen. Zudem könnten die Lewis-Säuren auch weitere Nebenreaktionen mit den Dienen eingehen. [189] Ferner ist der Mechanismus der Lewis-Säure katalysierten Diels-Alder-Reaktionen noch nicht vollständig aufgeklärt. Die Arbeitsgruppe Oestreich postulierte einen schrittweisen und keinen konzertierten Mechanismus. Das hierbei entstehende Intermediat könnte eine Polymerisation des Methylacryalts initiieren. [202] Auch hierdurch würden die Umsätze der Reaktion reduziert werden.

# 3.3.6. Vergleich der spektroskopischen und kristallographischen Eigenschaften der Heteroltriflate, Heterolylimidazoliumtriflate und Heterolyloxyphosphoniumtriflate

Im Folgenden werden die Eigenschaften der Heteroltriflate 172, 243 und 244, der Heterolylimidazoliumkationen 247-250 und der Heterolyloxyphosphoniumtriflate 231[OTf], 257[OTf] und 258[OTf] verglichen. Ein besonderes Augenmerk liegt hier auf den Bindungslängenunterschieden des Butadiengerüsts der Heterolstrukturen sowie den Unterschieden der Verschiebungen der C1/C4 und C2/C3 Kohlenstoffatome im <sup>13</sup>C{<sup>1</sup>H} NMR Spektrum. Beide Größen können zur Analyse der Ladungssituation der Heterole als Indikatoren herangezogen werden. <sup>[108]</sup> Erwartet wurde ein leicht steigender kationischer Charakter von den Heteroltriflaten zu den Heterolylimidazoliumkationen und den Heterolyloxyphosphoniumtriflaten. Verglichen wurden diese Strukturen jeweils mit den

optimierten Strukturen der Silolyl- und Germolylkationen **210** und **209**. Die optimierten Strukturen des Silolyl- und der Germolylkationen **210** und **209** weisen jeweils durch eine Hochfeldverschiebung des C1/C4-Signals und eine Tieffeldverschiebung des C2/C3 Signals im  $^{13}$ C{ $^{1}$ H} NMR Spektrum eine, im Vergleich zu den neutralen Chlorheterolen **139** und **245**, deutliche Vergrößerung der Differenz dieser beiden Kohlenstoffverschiebungen ( $\Delta$   $\delta$  ( $^{13}$ C)) auf (siehe Tabelle 29). So liegt diese Differenz in den neutralen Chlorheterolen bei  $\Delta$   $\delta$ ( $^{13}$ C) = 27.1 (**139**) und  $\Delta$   $\delta$ ( $^{13}$ C) = 31.6 (**245**), während für die Silolyl- und Germolylkation **210** und **209** quantenchemisch  $^{13}$ C NMR chemische Verschiebungsunterschiede von  $\Delta$   $\delta$ ( $^{13}$ C) = 61.5 (**209**) bzw.  $\Delta$   $\delta$ ( $^{13}$ C) = 76.0 (**210**) berechnet wurden. Die berechneten  $^{13}$ C NMR chemischen Verschiebungen zeigen eine gute Übereinstimmung mit den gemessenen Werten. Eine Ausnahme sind die berechneten Verschiebungen der Heterolylimidazoliumkationen.

Eine im Vergleich zu den Chlorheterolen **139** und **245** leichte Vergrößerung dieser Differenz kann für alle Heteroltriflate **172**, **243** und **244**, Heterolylimidazoliumkationen **247-250** und der Heterolyloxyphosphoniumkationen **231**, **257** und **258** festgestellt werden. Keine  $\Delta\delta(^{13}C)$  ist jedoch so groß, dass von einem kationischen Heterol ausgegangen werden kann. Die größten Verschiebungsunterschiede und damit auch den kationischsten Charakter weisen erwartungsgemäß im Fall der Germole mit  $\Delta\delta(^{13}C)=37.7(231)$  und  $\Delta\delta(^{13}C)=29.1(257)$  die Heterolyloxyphosphoniumkationen auf. Diese unterscheiden sich jedoch kaum von den Verschiebungsdifferenzen der Germoltriflate ( $\Delta\delta(^{13}C)=35.9$  (**172**) und  $\Delta\delta(^{13}C)=27.4$  (**243**). Das Siloltriflat **244** weist mit  $\Delta\delta(^{13}C)=40.1$  die insgesamt größte Verschiebungsdifferenz auf, unterscheidet sich jedoch auch nur wenig vom Silolyloxyphosphoniumtriflat **258** ( $\Delta\delta(^{13}C)=39.0$ ).

Die Heterolylimidazoliumkationen **247-250** weisen mit  $\Delta \, \delta(^{13}\text{C}) = 29.1(\textbf{248});$   $\Delta \, \delta(^{13}\text{C}) = 24.2(\textbf{249})$  und  $\Delta \, \delta(^{13}\text{C}) = 35.1(\textbf{250})$  lediglich geringere Verschiebungsdifferenzen im Vergleich zu den Chlorheterolen auf. Dies ist eine Folge der Lokalisierung der kationischen Ladung außerhalb des Heterolrings im Imidazoliumkation. Einzig das *iso*-propylsubstituierte Germolylimidazolium **247** weist mit  $\Delta \, \delta(^{13}\text{C}) = 35.6$  eine größere Verschiebungsdifferenz auf.

Anhand der Differenz der Kohlenstoffbindungslängen der Butadieneinheit der Heterole kann für die Germole ein ähnlicher, wenn auch nicht so deutlicher Trend festgestellt werden. Die quantenchemisch berechnete Struktur des Germolylkations weist im Vergleich zum phenylsubstituierten Chorgermol 139 (17 pm) mit 19 pm eine leichte Vergrößerung der Bindungslängendifferenz auf. Während für die Germoltriflate und Phosphanoxidaddukte keine deutliche Vergrößerung dieser Differenz festgestellt werden kann, kann für die Heterolylimidazoliumkationen 247-250 hingegen mit 15 pm eine Verkleinerung dieser Differenz beobachtet werden. Im *iso*-propylsubstituierten Germolylimidazolium 247 ist diese mit einer Differenz der Bindungslängen von 14 pm noch weiter ausgeprägt. Auch die

quantenchemisch berechnete Struktur des Silolylkations 210 weist im Vergleich zum phenylsubstituierten Chlorsilol 245 (17) mit 19 pm eine leichte Vergrößerung der Bindungslängendifferenz auf. Das Silolylimidazoliumkation 250 weist analog zur Germaniumverbindung eine Verringerung der Bindungslängendifferenz auf. Diese kann jedoch auch für das Siloltriflat 244 und am stärksten für das Silolyloxyphosphoniumtriflat 258[OTf] beobachtet werden. Die Differenz der Kohlenstoffbindungslängen der Butadieneinheit der Heterole scheint daher keine geeignete Methode zur Analyse der Ladungsverteilung dieser Heterole zu sein. Zudem handelt es sich bei keiner der untersuchten Verbindungen um ein kationisches Heterol.

Tabelle 29: Differenzen der C-C Bindungslängen der Butadieneinheit der Verbindungen 139, 140, 172, 209, 210, 231, 243, 244, 255, 247-250, 257 und 258(Δ Doppelbindungen(DB) C1-C2 und C3-C4): (Einfachbindung (EB) C2-C3) und Differenzen der <sup>13</sup>C chemischen Verschiebungen von C1/C4 und C2/C3 (M06L/def2-TZVP).

Heterol		$R^1$ , $R^2$	Δ Bindungslänge	Δ δ( <sup>13</sup> C)	Δ δ( <sup>13</sup> C)
			DB und EB		berechnet
			[pm]		
209	Germol	Ph, -	berechnet: 19	-	61.5
139	Germol	Ph, Cl	17	27.1	29.6
172	Germol	Ph, OTf	17	35.9	36.7
248	Germol	Ph, Me4imidazolium	15	29.1	37.3
247	Germol	Ph, <sup>iPr</sup> imidazolium	14	35.6	25.0
231	Germol	Ph, OPEt <sub>3</sub>	17	37.7	40.0
140	Germol	Pemp, CI	16	17.2	22.0
243	Germol	Pemp, OTf	16	27.4	29.1
249	Germol	Pemp, Me4imidazolium	15	24.2	30.7
257	Germol	Pemp, OPEt <sub>3</sub>	17	29.1	31.4
210	Silol	Ph, -	berechnet: 19	-	76.0
245	Silol	Ph, Cl	17	31.6	35.5
244	Silol	Ph, OTf	16	40.1	41.8
250	Silol	Ph, Me4imidazolium	15	35.1	45.1
258	Silol	Ph, OPEt₃	14	39.0	45.7

#### 3.4 Elektronische Eigenschaften der Heterolverbindungen

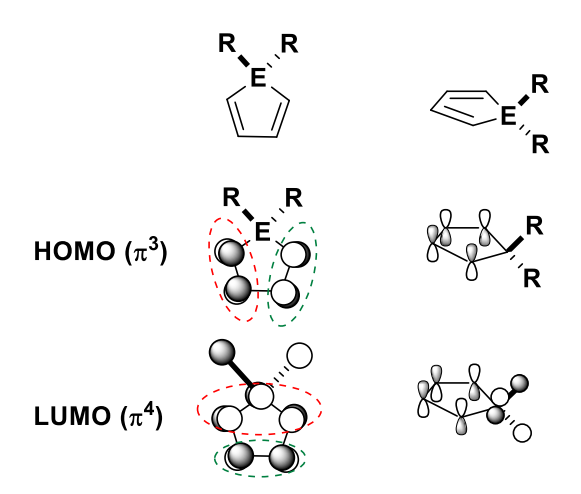
Im Laufe dieser Arbeit wurden insgesamt fünf bereits in der Literatur beschriebene sowie zwanzig bislang unbekannte 1,1-substituierte Germole und Silole dargestellt. Diese bieten eine gute Grundlage für die Untersuchung des Einflusses dieser Substitution sowie den Einfluss der unterschiedlichen Tetrelatome auf die elektronischen Eigenschaften dieser Heterole. Hierbei wurde insbesondere die Veränderung der Frontorbitale sowie das UV-vis-Absorptionsverhalten dieser Heterole untersucht.

Einige solcher Untersuchungen sind bereits beschrieben. So ist bekannt, dass der Substitutionseffekt in 2,5-Position der Heterole am stärksten ist, da Substituenten an dieser Position eine starke  $\pi$ -Interaktion mit dem  $\pi$ -System des Heterols eingehen können. [203-204]

Hierbei stabilisieren starke π-Akzeptoren das LUMO, während starke π-Donoren das HOMO destabilisieren. <sup>[204-205]</sup> Zudem konnte sowohl an Silolen als auch an Stannolen gezeigt werden, dass die Substitution am Tetrelatom nur einen geringen Einfluss auf die optischen Eigenschaften wie Absorption- und Fluoreszenzeigenschaften hat. <sup>[205-207]</sup>.

Auch der Einfluss des Tetrelatoms auf die energetische Lage der HOMOs und LUMOs der Heterole wurde bereits von Tamao und Mitarbeitern untersucht. Diese Untersuchung konnte zeigen, dass das HOMO des Silols im Vergleich zum Cyclopentadien energetisch weniger abgesenkt wird als das entsprechende LUMO. Hierdurch entsteht im Silol eine kleinere HOMO-LUMO-Lücke. [83] Der Grund für die geringen LUMO-Energien liegt in einer guten Überlappung der  $\sigma$ -Orbitale der Substituenten am Heteroatom mit dem  $\pi$ -Orbital des Butadiensystems. Eine solche Wechselwirkung ist im Cyclopentadien aufgrund des im Vergleich zum  $\pi$ -Orbital energetisch wesentlich höher liegenden  $\sigma$ -Orbital nicht so gut möglich. [83] Dichtefunktionalrechnungen von Reinhold auf dem M06-2x/def2TZVP Niveau bestätigen die älteren Ergebnisse von Tamao und Yamaguchi. [135] Zudem untersuchte er die Lage der HOMO- und LUMO-Energien der schweren Gruppe 14 Heterole. Die energetische Lage der Frontorbitale sowie die Größe der HOMO-LUMO-Lücke des Germols, Stannols und Plumbols ändern sich im Vergleich zum Silol kaum, daher ist von einer ähnlichen Reaktivität auszugehen. [135]

Die Form der Frontorbitale ist in Abbildung 95 skizziert. Das HOMO der Heterole ist ausschließlich am  $\pi$ -Orbital des Butadiens lokalisiert, während das LUMO die oben beschriebene Wechselwirkung zwischen dem  $\pi^*$ -Orbital des Butadiensystems und den  $\sigma^*$ -Orbitalen der Substituenten am Heteroatom aufweist. [203]



**Abbildung 95**: Form der erwarteten HOMOs ( $\pi^3$ ) und LUMOs ( $\pi^4$ ) der Heterole. [204]

Zudem wurde in der vorliegenden Arbeit die energetische Lage der Frontorbitale von Silolyl-, Germolyl-, Stannolyl- und Plumbolylkationen 209, 210, 222 und 268-272 untersucht. Ein

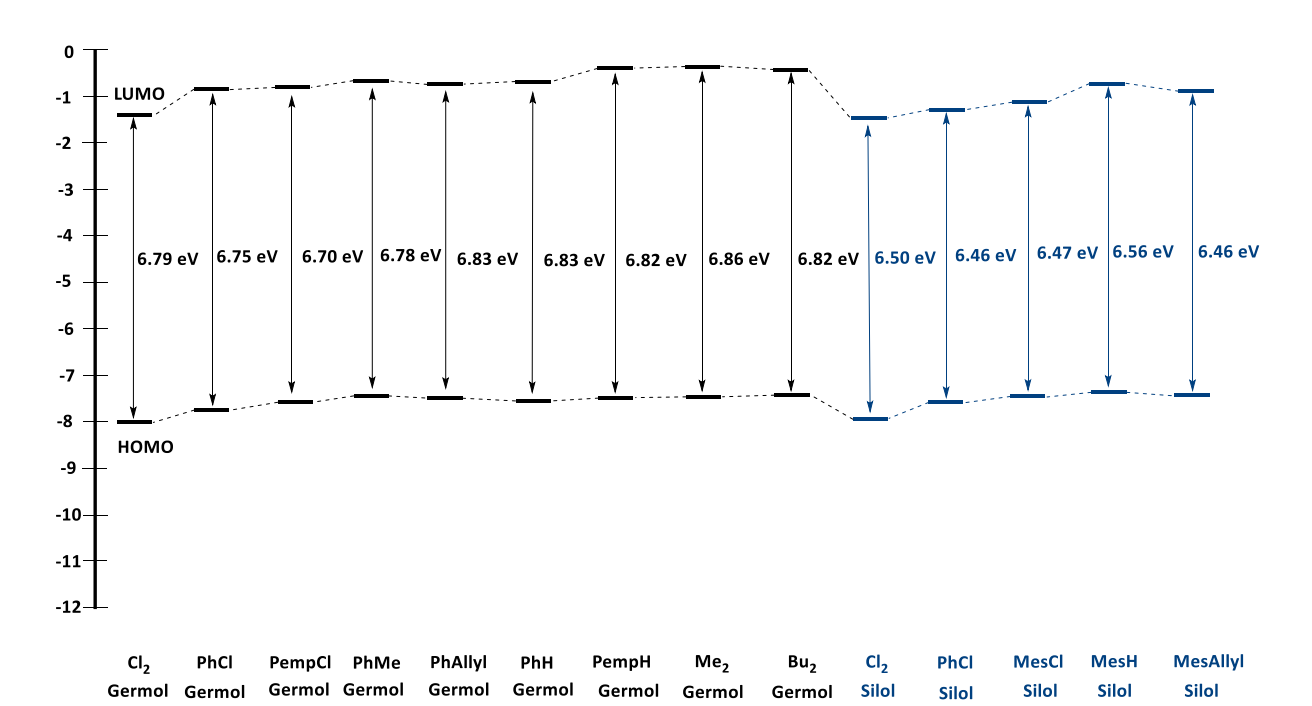
besonderes Augenmerk lag auf dem Einfluss des Tetrelatoms und dessen Substituenten auf die energetische Lage der HOMOs und LUMOs. Diese wurden ebenfalls mit den Frontorbitalen der Heteroltriflate 172, 243 und 244 und der Heterolylimidazoliumkationen 247-250 verglichen. Letztere waren zwar energetisch leicht abgesenkt, wiesen jedoch im Gegensatz zu den Heterolylkationen 209, 210, 222 und 269-273 keine verkleinerte HOMO-LUMO-Lücke auf.

#### 3.4.1 Elektronische Eigenschaften der neutralen Germole und Silole

Die Molekülstrukturen der Silole 238-240, 242 und 245 und der Germole 133, 137, 139, 140, 144, 146, 150-152 wurden optimiert (M06-2X/def2-TZVP). Die so erhaltenen Strukturen stimmen mit den experimentellen Strukturen sehr gut überein (maximale Abweichung der Bindungslängen und -winkel: 2%). Die berechneten Strukturen sind im elektronischen Anhang aufgelistet. Die Energien und die Struktur der so erhaltenen Kohn-Sham Orbitale wurden analysiert. Die HOMO- und LUMO-Energien der in dieser Arbeit untersuchten neutralen Germole und Silole sind in Tabelle 30 zusammengefasst, die Frontorbitale dieser Heterole in Abbildung 96 dargestellt. Durch eine Substitution am Tetrelatom ändert sich die energetische Lage der HOMOs und des LUMOs erwartungsgemäß wenig. Die HOMOs der neutralen Germole und Silole liegen im Bereich von -7.32-(-8.01) eV, während die LUMOs bei -0.50-(-1.41) eV liegen. Hierbei weist das Dichlorgermol 133 mit einem HOMO bei -8.01 eV und das Dichlorsilol 240 mit einem LUMO bei -1.41 eV jeweils die energetisch niedrigsten Orbitale auf. Das pempsubstituierte Hydridogermol 151 weist die energetisch am höchsten liegenden Orbitale (HOMO: -7.32eV, LUMO: -0.50 eV) auf. Die HOMO-LOMO-Lücke dieser Heterole beträgt 6.46-6.86 eV. Das phenylsubstituierte Chlorsilol 245 weist mit 6.46 eV die kleinste HOMO-LUMO-Lücke auf, während das dimethylsubstituierte Germol 146 die mit 6.86 eV größte HOMO-LUMO-Lücke aufweist. Der Einfluss des Tetrelatoms kann am Beispiel der jeweiligen Dichlorverbindungen 133 und 240 sowie der phenylsubstituierten Chlorheterole 139 und 245 untersucht werden. Die HOMOs der Germole 133 und 139 liegen mit -8.01 eV bzw. -7.68 eV energetisch geringfügig tiefer als die HOMOs der Silole 240 und 245 (-7.91 eV; 7.65 eV), während die LUMOs der Silole 240 und 245 mit -1.41 eV und -1.19 eV energetisch geringfügig tiefer liegen als die Germole 133 und 139 (-1.22 eV, -0.93 eV). Dies führt zu einer leicht verkleinerten HOMO-LUMO-Lücke der Silole (6.56 eV-6.46 eV) im Vergleich zu den Germolen (6.79 eV-6.86 eV) und lässt sich somit gut mit den erwarteten Ergebnissen in Einklang bringen.[135]

Tabelle 30: HOMO- und LUMO-Energien sowie die HOMO-LUMO-Lücke der neutralen Germole 133, 137,139,140,144,146,150-152 und Silole 238-240, 242 und 245 [eV] (M06-2X/ def2 TZVP).

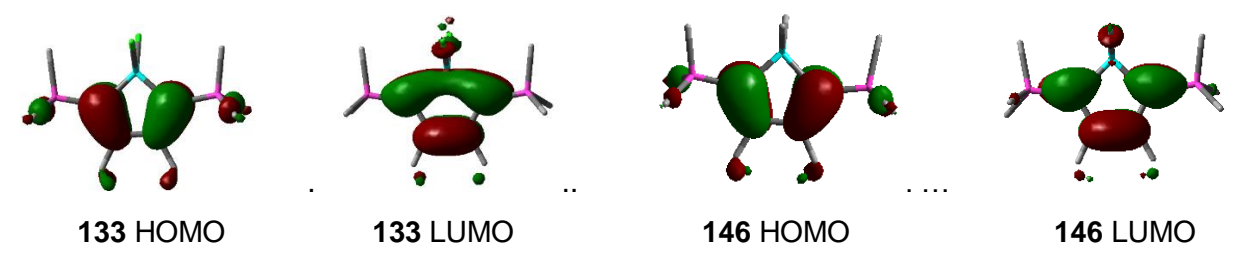
	Heterol	$R^1$ , $R^2$	HOMO [eV]	LUMO [eV]	ΔE HOMO-LUMO [eV]
133	Germol	CI, CI	-8.01	-1.22	6.79
139	Germol	Ph, Cl	-7.68	-0.93	6.75
140	Germol	Pemp, CI	-7.49	-0.79	6.70
150	Germol	Ph, H	-7.44	-0.61	6.83
151	Germol	Pemp, H	-7.32	-0.50	6.82
152	Germol	Ph, Allyl	-7.40	-0.62	6.78
144	Germol	Ph, Me	-7.38	-0.55	6.83
146	Germol	Me, Me	-7.38	-0.52	6.86
137	Germol	<i>n</i> Bu, <i>n</i> Bu	-7.33	-0.51	6.82
240	Silol	CI, CI	-7.91	-1.41	6.50
245	Silol	Ph, Cl	-7.65	-1.19	6.46
239	Silol	Mes, CI	-7.55	-1.08	6.47
238	Silol	Mes, H	-7.45	-0.89	6.56
242	Silol	Mes, Allyl	-7.40	-0.94	6.46



**Abbildung 96**: HOMO- und LUMO-Energien der neutralen Germole **133**, 137,139,140,144,146,150-152 und Silole **238-240**, **242 und 245**.

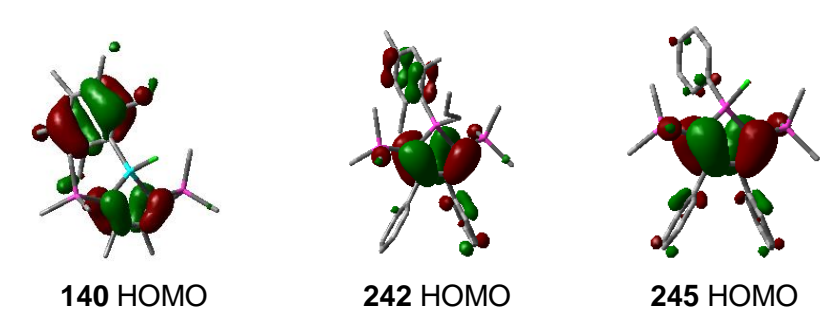
Die berechneten Frontorbitale der Germole und Silole entsprechen den in Abbildung 95 skizzierten HOMOs und LUMOs. Jedoch ist bei der Betrachtung dieser Orbitale (siehe

Abbildungen 97 und 98) auffällig, dass das LUMO bei dem gewählten isodensity Wert nur in den chlorsubstituierten Verbindungen 133, 139, 140, 239, 240 und 245 durch die elektronenziehende Eigenschaft des Halogensubstituenten Beiträge des Tetrelatoms aufzeigt, während es in den alkyl- und arylsubstituierten Germolen und Silolen bei dem gleichen isodensity-Wert klar vom Tetrelatom separiert ist. Dies ist ein Effekt der stärkeren Kreuz-Hyperkonjugation, welche ausgeprägter vorliegt, da die  $\sigma^*$ -Orbitale durch den elektronegativeren Chlorsubstituenten abgesenkt wurden. Dies wird beispielhaft an den Frontorbitalen des Dichlorgermols 133 und des dimethylsubstituierten Germols 146 gezeigt (siehe Abbildung 97).



**Abbildung 97**: Frontorbitale der Germole **133** und **146** (*isodensity*-Wert 0.04; M06-2X/def2-TZVP).

Das HOMO der meisten Germole entspricht dem in Abbildung 95 skizzierten  $\pi^3$ -Orbital. Das HOMO der pempsubstituierten Verbindungen **140** und **151** zeigt hingegen eine starke Beteiligung des Arylsubstituenten. Dieser Effekt tritt ebenfalls in abgeschwächter Form in den mesitylsubstituierten Silolverbindungen **238**, **239** und **242** auf. Bei den phenylsubstituierten Verbindungen **139**, **144**, **150**, **152** und **245** tritt bei dem gleichen isodensity-Wert nur eine geringe Beteiligung des Arylsubstituenten am HOMO auf, während die Chlor- und Alkylsubstituenten keine Beteiligung am HOMO der Heterole aufweisen. (siehe Abbildung 98 und 97).



**Abbildung 98**: HOMOs der Germols **140** und der Silole **242** und **245** (isodensity-Wert 0.04; M06-2X/def2-TZVP).

Um den Effekt einer Substitution am Tetrelatom auf die HOMO-LUMO Lücke nicht nur theoretisch, sondern auch experimentell zu untersuchen, wurden zudem UV-vis-Spektren der Germole 133, 137, 139, 140, 144, 146, 150-152 in Pentan gemessen (siehe Abbildung 99). Die detektierten Absorptionsbanden der langwelligsten Absorption (im Folgenden  $\lambda_{max}$ 

genannt) wurden mit den berechneten Absorptionen der niedrigsten Energie verglichen (siehe Tabelle 31).

Tabelle 31: UV-Absorptionsdaten der Germole 133, 137, 139, 140, 144, 146, 150-152 (experimentelle Werte gemessen in Pentan, theoretische Werte auf dem M06-2X/def2-TZVP Niveau berechnet).

	Heterol	R <sup>1</sup> , R <sup>2</sup>	λ <sub>max</sub> [nm]	ε [Mol <sup>-1</sup> cm <sup>-1</sup> ]	Berechnete λ <sub>max</sub> [nm]
133	Germol	CI, CI	314	3.28 *10 <sup>3</sup>	297
139	Germol	Ph, Cl	312	3.39 *10 <sup>3</sup>	302
150	Germol	Ph, H	224	6.02 *10 <sup>3</sup>	293
			300	1.04 *10 <sup>3</sup>	
152	Germol	Ph, Allyl	298	2.84 *10 <sup>3</sup>	300
144	Germol	Ph, Me	298	5.41 *10 <sup>3</sup>	294
146	Germol	Me, Me	296	4.80 *10 <sup>3</sup>	285
137	Germol	<i>n</i> Bu, <i>n</i> Bu	294	4.82 *10 <sup>3</sup>	296
140	Germol	Pemp, CI	290	4.90 *10 <sup>3</sup>	295
151	Germol	Pemp, H	288	5.91 *10 <sup>3</sup>	297

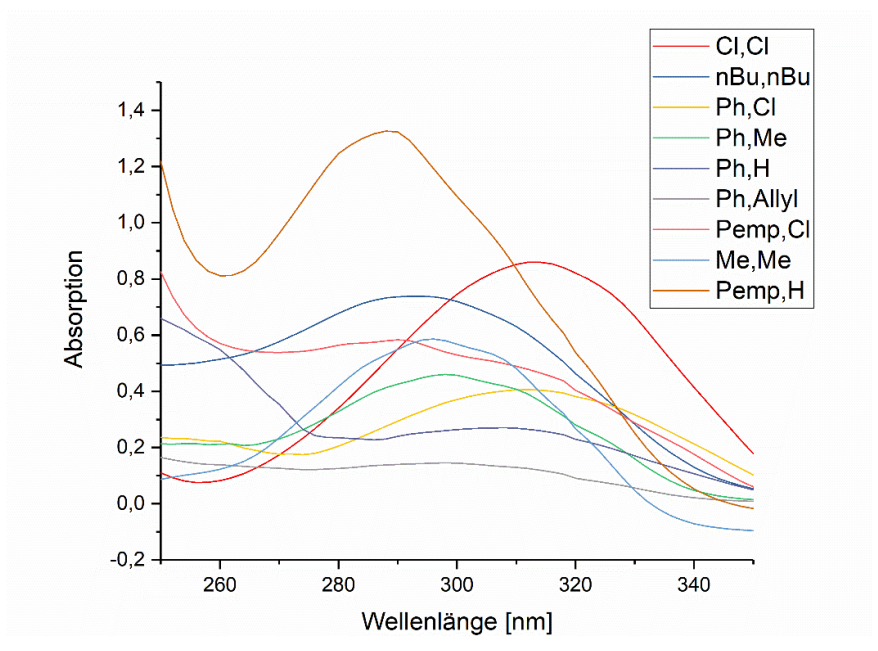


Abbildung 99: Ausschnitt der UV-vis-Spektren der Germole 133, 137,139,140,144,146,150-152.in Pentan.

Wie durch die vorangegangene, qualitative Orbitalanalyse zu erwarten, ist der Effekt der 1,1-Substitution auf die Lage der Absorptionsbanden klein. Die Germole 133, 137, 139, 140, 144, 146, 150-152 zeigen durch eine maximale hypsochrome Verschiebung von 26 nm der niedrigsten Energieabsorption ( $\lambda_{max}$ ) einen geringen Einfluss des Substituenten am

Germaniumatom. Die HOMO-LUMO-Lücken der Germole 133, 137, 139, 140, 144, 146, 150-152 unterscheiden sich jedoch lediglich um 0.16 eV. Aufgrund dieses geringen Unterschieds wurde kein großer Effekt in der Verschiebung der Banden im UV-vis-Spektrum erwartet. Dennoch liegt  $\lambda_{max}$  des Dichlorgermols 133 bei 314 nm, während das  $\lambda_{max}$  des pempsubstituierten Hydridogermols 151 mit 288 nm eine hypsochrome Verschiebung aufweist. Die HOMO-LUMO-Lücke dieser Verbindungen unterscheidet sich jedoch lediglich um 0.03 eV und kann daher die hypsochrome Verschiebung von 26 nm nicht erklären. Zudem weist das dimethylsubstituierte Germol 146 mit 6.86 eV eine größere HOMO-LUMO-Lücke als das pempsubstituierte Hydridogermol 151 (6.82 eV) auf und sollte daher experimentell eine Bande bei kleinerer Wellenlänge als das pempsubstituierte Hydridogermol 151 aufweisen. Dies konnte jedoch nicht beobachtet werden.

Eine Auftragung der gemessenen Wellenlängen der niedrigsten Energieabsorption  $\lambda_{max}$ . gegenüber den berechneten HOMO-LUMO Lücken zeigt, dass keine eindeutige Korrelation zwischen diesen Werten besteht. Der gleiche Effekt kann zwischen den gemessenen und berechneten Wellenlängen der niedrigsten Energieabsorption festgestellt werden (siehe Abbildung 100).

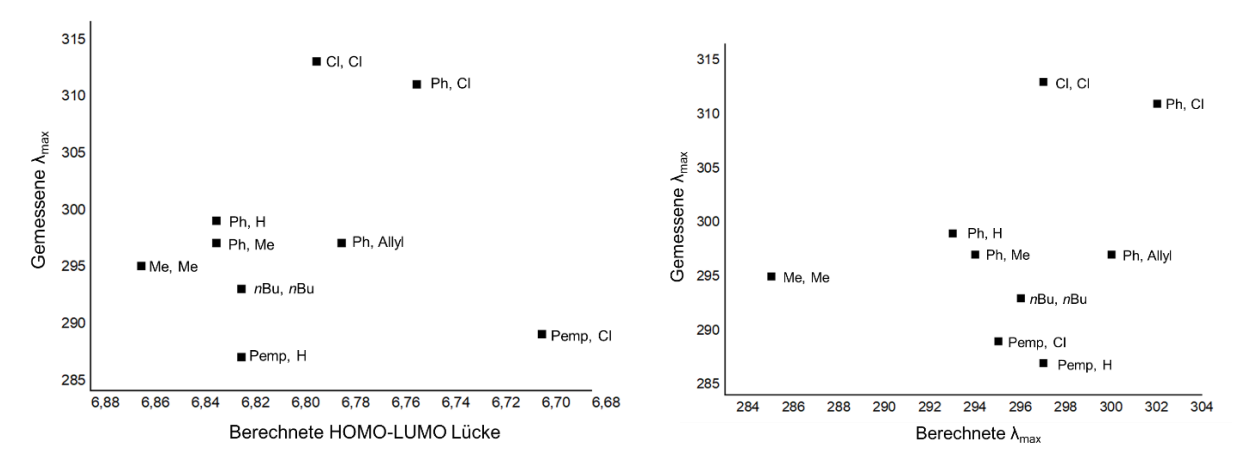


Abbildung 100: Auftragung der gemessenen Wellenlängen der geringsten Energieabsorption der Germole 133, 137, 139, 140, 144, 146, 150-152 ( $\lambda_{max}$ .) gegenüber der berechneten HOMO-LUMO Lücken (links) oder der berechneten Wellenlänge ( $\lambda_{max}$ ). (rechts) dieser Verbindungen. Zur besseren Übersichtlichkeit ist die Abszisse des linken Diagramms absteigend angeordnet.

Ein Zusammenhang zwischen der Lage der Bande mit der niedrigsten Energieabsorption und dem Substitutionsmuster am Germaniumatom lässt sich anhand der berechneten UV-vis-Absorptionen ebenfalls nicht eindeutig feststellen (siehe Tabelle 31). Die berechneten Absorptionen weisen neben den HOMO-LUMO-Übergängen auch die Beteiligung weiterer Orbitalübergänge auf. Die Dichlorheterole 133 und 240 bilden hierbei die einzigen Ausnahmen, die keine weiteren Orbitalbeteiligungen zeigen.

Die UV-vis-Spektren der Silole 239, 240, 242 und 245 wurden ebenfalls in Pentan gemessen (siehe Abbildung 101 und Tabelle 32) und auf M06-2X/def2-TZVP Niveau berechnet (siehe Tabelle 32). Im Fall der Silole konnte jedoch keine Abhängigkeit der Bande der niedrigsten Energieabsorption vom Substituenten am Silicium festgestellt werden. Die Silole 239, 240, 242 und 245 weisen bei 316-318 nm jeweils die Bande mit der größten Wellenlänge auf. Zudem wurden für die Verbindungen 239 und 242 zusätzlich starke Absorptionsbanden bei 240 nm beobachtet.

Ferner konnte ebenfalls keine Abhängigkeit des Tetrelatoms beobachtet werden. So liegt die Absorption mit niedrigster Energie des Dichlorsilols **240** bei 316 nm, während sie im Dichlorgermol **133** bei 314 nm liegt und damit lediglich um 2 nm hypsochrom verschoben ist.

**Tabelle 32:** UV-vis-Absorptionsdaten der Silole **239**, **240**, **242** und **245** (experimentelle Werte gemessen in Pentan, theoretische Werte auf dem M06-2X/def2-TZVP Niveau berechnet).

	Heterol	$R^1$ , $R^2$	$\lambda_{\text{max}}[\text{nm}]$	ε [Mol <sup>-1</sup> cm <sup>-1</sup> ]	Berechnete $\lambda_{max}[nm]$
239	Silol	Mes, Cl	240	13.89 *10 <sup>3</sup>	
			316	2.26 *10 <sup>3</sup>	313
242	Silol	Mes, Allyl	240	21.21 *10 <sup>3</sup>	
			318	2.93 *10 <sup>3</sup>	313
240	Silol	CI, CI	268	5.83 *10 <sup>3</sup>	
			316	4.89 *10 <sup>3</sup>	312
245	Silol	Ph, Cl	316	2.11 *10 <sup>3</sup>	313

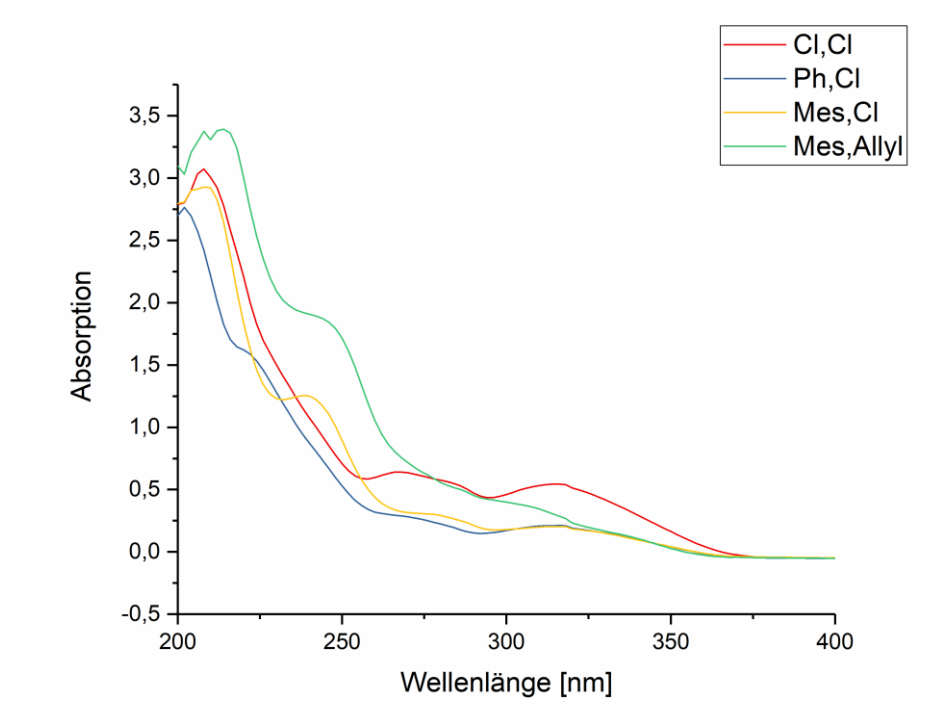


Abbildung 101: UV-vis-Spektrum der Silole 239, 240, 242 und 245 in Pentan.

#### 3.4.2 Elektronische Eigenschaften der Heterolylkationen

Zudem wurden neben den neutralen, in dieser Arbeit genutzten Silolen 238-240, 242 und 245 und Germolen 133, 137, 139, 140, 144, 146, 150-152 ebenfalls die Heterolylkationen der Gruppe 14 optimiert (M06-2x/def2-TZVP), um die Frontorbitale dieser Kationen mit den in dieser Arbeit beschriebenen neutralen Germolen und Silolen sowie den Heterolylimidazoliumtriflaten 247-250 und Heteroltriflaten 172, 243 und 244 zu vergleichen. Um den Einfluss des Tetrelatoms sowie der Substituenten, insbesondere einer Pempsubstitution, welche zur Abschirmung des potentiellen Heterolylkations in dieser Arbeit genutzt wurde, am Tetrelatom zu untersuchen, wurden die Strukturen von acht Heterolylkationen optimiert (M06-2X/def2-TZVP). Hierbei handelt es sich um die phenyl- sowie pempsubstituierten Silolylkationen, Germolylkationen, Stannolylkationen Plumbolylkationen 210, 209, 222 und 269-273 (siehe Abbildung 102).

Ph Pemp

| SiMe<sub>3</sub> | Vs. | Me<sub>3</sub>Si 
$$\stackrel{E}{\oplus}$$
 | SiMe<sub>3</sub>

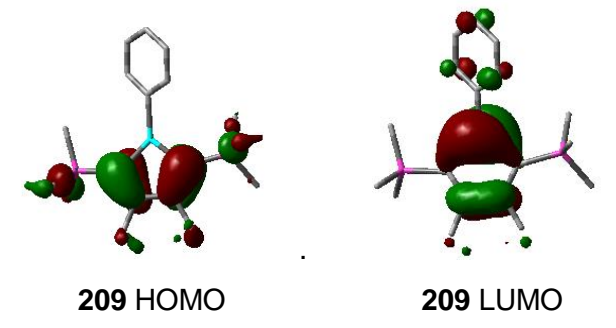
210 = E = Si
209 = E = Ge
269 = E = Sn
270 = E = Pb

Pemp

| Discription of the property of the prope

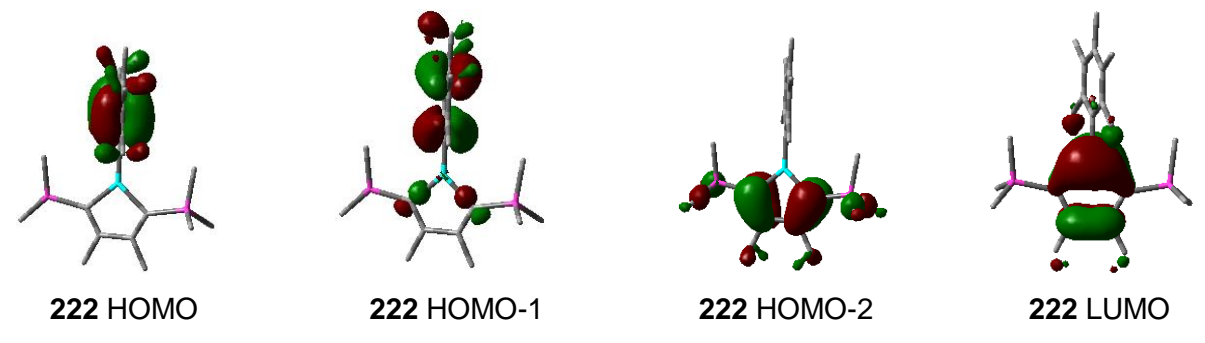
**Abbildung 102**: Optimierte phenyl- und pempsubstituierte Heterolylkationen **210**, **209**, **222** und **269-273** der Gruppe 14.

Bei der Betrachtung der HOMOs der phenylsubstituierten Heterolylkationen **209**, **210**, **269** und **270** sind keine Besonderheiten festzustellen. Das HOMO entspricht dem im Abbildung 95 skizzierten  $\pi^3$ -Orbtial. Dies ist am Beispiel des phenylsubstituierten Germolylkations **209** gezeigt (siehe Abbildung 103). Das LUMO des Kations **209** entspricht dem  $\pi^4$ -Orbital mit einer entsprechend großen Beteiligung des Tetrelatoms.



**Abbildung 103**: Frontorbitale des Germolylkations **209** (*isodensity*-Wert 0.04; M06-2X/def2-TZVP).

Im Falle einer Pempsubstitution der Heterolylkationen 222, 271-273 ist das HOMO vollständig am Pempsubstituenten lokalisiert. Dies wird erneut beispielhaft am Germolylkation 222 gezeigt (siehe Abbildung 104). Das HOMO-1 zeigt ebenfalls fast ausschließlich Beiträge des Pempsubstituenten. Erst das HOMO-2 entspricht dem  $\pi^3$ -Orbital (siehe Abbildung 95). Um eine bessere Vergleichbarkeit mit den phenylsubstituierten Heterolylkationen 209, 210, 269 und 270 herzustellen, wird für die weitere Betrachtung der pempsubstituierten Heterolylkationen 222, 271-273 nicht das HOMO sondern das HOMO-2 ( $\pi^3$ - Orbital) herangezogen. Das LUMO der pempsubstituierten Heterolylkationen 222, 271-273 zeigt analog zu den phenylsubstituierten Heterolylkationen 209, 210, 269 und 270 eine große Beteiligung des Tetrelatoms (siehe Abbildung 104).



**Abbildung 104**: Frontorbitale des Germolylkations **222** (*isodensity*-Wert 0.04(M06-2X/def2-TZVP)).

Sowohl die π<sup>3</sup>- Orbitale als auch die LUMOs der Heterolylkationen 209, 210, 222 und 269-273 liegen im Vergleich zu den neutralen Heterolen energetisch wesentlich tiefer ( $\pi^3$ -Orbitale: -10.96 eV -(-11.50 eV) und LUMOs (-5.40 eV-(-6.11 eV)) (siehe Tabelle 33 und Abbildung 105). Hierbei liegt das  $\pi^3$ -Orbital (HOMO) des phenylsubstituierten Silolylkations 210 erwartungsgemäß mit -11.50 eV am tiefsten. Die Energie des π³-Orbitals steigt leicht in der Reihe der Tetrelatome (209: -11.39 eV; 269: -11.26 eV; 270: -11.22 eV). Der Effekt einer Pempsubstitution an den Tetrelatomen ist ähnlich groß wie der Effekt durch den Wechsel des Tetrelatoms. Das  $\pi^3$ -Orbital (HOMO-2) des pempsubstituierten Silolylkations 271 liegt bei -11.24 eV, also 0.28 eV tiefer als das  $\pi^3$ -Orbital des phenylsubstituierten Silolylkations **210**. Das  $\pi^3$ - Orbital im pempsubstituierten Germolylkation 222 liegt bei -11.17 eV, während die  $\pi^3$ -Orbitale der pempsubstituierten Stannolyl- und Plumbolylkationen 272 und 273 mit -11.01 eV bzw. -10.96 eV energetisch geringfügig tiefer als die π<sup>3</sup>-Orbitale des Germolyl- und des Silolylkations 271 und 222 liegen. Die LUMOs der phenylsubstituierten Heterolylkationen zeigen einen ähnlichen Trend. Mit -6.14 eV und -6.11 eV liegen die LUMOs der phenylsubstituierten Silolyl- und Germolylkationen 210 und 209 energetisch am tiefsten, während die LUMOs des Stannolylkations (-6.01 eV) und des Plumbolylkations (-5.80 eV) 269 und 270 energetisch etwas höher liegen. In den LUMOs der pempsubstituierten Heterolylkationen 222, 271-273 ist kein so klarer Trend erkennbar. Mit -5.40 eV liegt das LUMO

des Plumbols **273** zwar energetisch am höchsten, jedoch liegt das LUMO des pempsubstituierten Germols **222** mit -5.72 eV energetisch am tiefsten, während die LUMOs des Silolylkations **271** und des Stannolylkations **272** bei -5.59 eV und -5.57 eV liegen.

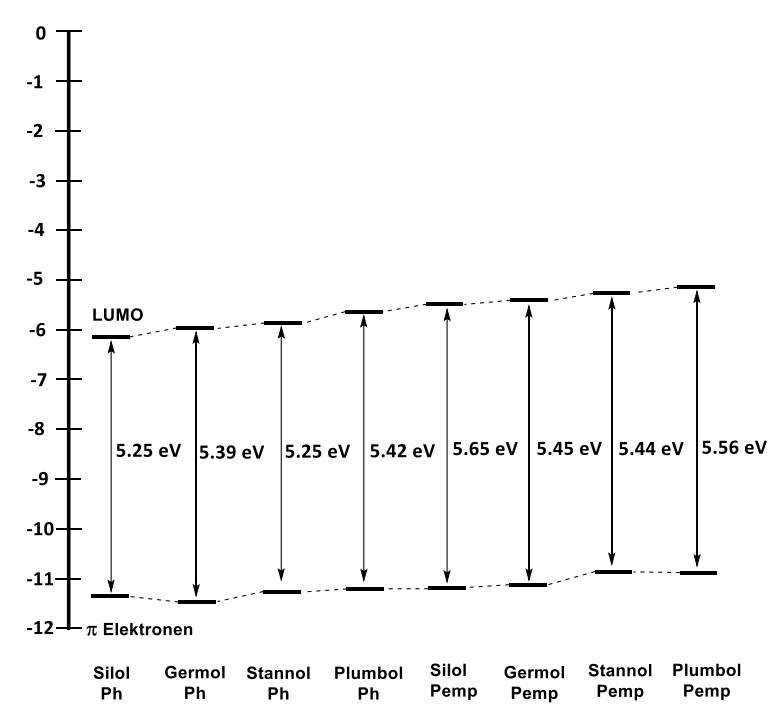
Da die LUMOs der Kationen im Vergleich zu den neutralen Heterolen noch weiter energetisch gesenkt werden als die  $\pi^3$ -Orbitale kommt es zu einer Verringerung der HOMO-LUMO-Lücke. Diese beträgt für die Kationen 210, 209, 222 und 269-273 5.25 eV-5.65 eV, während sie in den Germolen und Silolen 133, 137, 139, 140, 144, 146, 150-152, 238-240, 242 und 245 bei 6.56-6.86 eV liegt. Die kleinste HOMO-LUMO-Lücke weisen mit 5.25 eV die phenylsubstituierten Germolyl und Stannolylkationen 209 und 269 auf, während das pempsubstituierte Silolylkation 271 mit 5.65 eV die größte HOMO-LUMO-Lücke in dieser Reihe besitzt.

Die niedrige Lage der LUMOs der Heterolylkationen bestätigt die experimentell über die Gutmann-Beckett-Methode und mittels FICBEt3-Methode festgestellte hohe Lewis-Acidität dieser Verbindungen. Zudem entspricht die energetische Anhebung des LUMOs des 222 pempsubstituierten Germolylkations im Vergleich zum phenylsubstituierten Germolylkation 209 um 0.4 eV einer leichten Verringerung der Lewis-Acidität der pempsubstituierten Verbindung 222. Die deutlich erhöhte Lewis-Acidität des Silolylkations 271 gegenüber den Germolylkationen 209 und 222 kann jedoch nicht anhand der energetischen Lage der entsprechenden LUMOs erklärt werden. Das LUMO-Level der Heterolylkationen wird offensichtlich durch die unterschiedlichen Elektronegativitäten beeinflusst und spiegelt die Reihenfolge der Allred-Rochow Elektronegativitätsskala (Ge > Si > Sn > Pb) wieder. [208]

Die kleinere HOMO-LUMO Lücke der Heterolylkationen **210**, **209**, **222** und **269-273** bestätigt zudem die erhöhte Reaktivität der Kationen im Vergleich zu den neutralen Verbindungen. Die auf dem M06-2X/def2-TZVP Niveau berechneten UV-vis-Absorptionsdaten dieser Heterolylkationen sagen jedoch ein  $\lambda_{max}$  unter 400 nm vorher. Daher ist nicht von einer Farbigkeit der Heterolylkationen analog der neutralen Borole auszugehen.

Tabelle 33:  $\pi^3$ -Orbital- (HOMO bzw. HOMO-2) - und LUMO-Energien sowie die HOMO-LUMO-Lücke der Heterolylkationen 210, 209, 222 und 269-273 [eV] (M06-2X/def2-TZVP).

	Heterol	$R^1$	$\pi^3$ -Orbital [eV]	LUMO [eV]	$\Delta(\text{L-H}) \text{ [eV]}$
			(HOMO bzw. HOMO-2)		
210	Silol	Ph	-11.50	-6.11	5.39
209	Germol	Ph	-11.39	-6.14	5.25
269	Stannol	Ph	-11.26	-6.01	5.25
270	Plumbol	Ph	-11.22	-5.80	5.42
271	Silol	Pemp	-11.24/ (-10.75)	-5.59	5.65/ (5.16)
222	Germol	Pemp	-11.17 /(-10.73)	-5.72	5.45/ (5.01)
272	Stannol	Pemp	-11.01/ (-10.69)	-5.57	5.44/ (5.12)
273	Plumbol	Pemp	-10.96/ (-10.59)	-5.40	5.56/ (5.19)

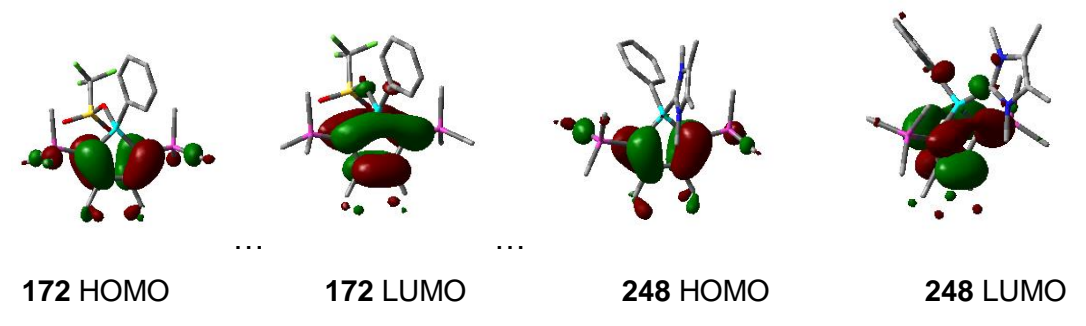


**Abbildung 105**:  $\pi^3$ -Orbtial- und LUMO-Energien der Heterolylkationen **210**, **209**, **222** und **269**-

# 3.4.3 Elektronische Eigenschaften der Heteroltriflate und Heterolylimidazoliumkationen

Im nächsten Schritt wurden die energetischen Lagen der Frontorbitale der in dieser Arbeit synthetisierten Heteroltriflate 172, 243 und 244 und Heterolylimidazoliumkationen 247-250 untersucht. Die Form der Frontorbitale der Triflatverbindungen 172, 243 und 244 gleicht den Orbitalen der elektronenziehenden chlorsubstituierten Verbindungen. Die HOMOs der

Heterolylimidazoliumkationen **247-250** sind den alkyl- und arylsubstituierten Germolen ebenfalls sehr ähnlich (siehe Abbildung 106). Eine Abweichung lässt sich in den LUMOs der Heterolylimidazoliumkationen feststellen (siehe Abbildung 107). So zeigt das LUMO des phenylsubstituierten Germolylimidazoliumkations **248** bereits eine geringe Beteiligung der Imidazoliumsubstituenten. Diese ist im Lewis-acideren Silicium-Analogon **250** etwas stärker ausgeprägt. Eine besonders starke Ausprägung zeigt zudem das im Experiment nicht stabile pempsubstituierte Germolyl-*iso*-propylimidazoliumkation **274**. Die Tetrelatome sind im Gegensatz zu den Tetrelkationen nur wenig am jeweiligen LUMO beteiligt. Dies ist ein weiteres Indiz für die nicht vorhandene Lokalisierung der kationischen Ladung am Tetrelatom in diesem Verbindungstyp.



**Abbildung 106**: Frontorbitale der Germolverbindungen **172** und **248**. (isodensity-Wert 0.04; M06-2X/def2-TZVP).

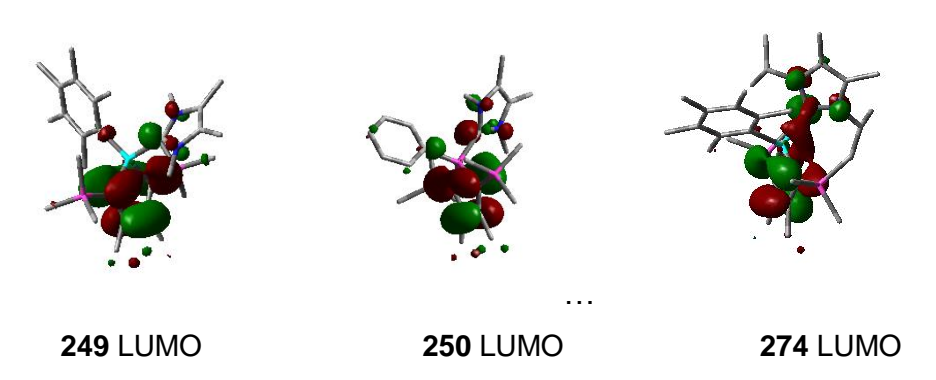


Abbildung 107: Frontorbitale der Germolylimidazoliumkationen 249 und 274 und des Silolylimidazoliumkations 250 (isodensity-Wert 0.04; M06-2X/def2-TZVP).

Bei der Betrachtung der energetischen Lage der Frontorbitale lassen sich folgende Trends erkennen: durch eine Triflatsubstitution lässt sich im Vergleich zu den Germolen und Silolen 133, 137, 139, 140, 144, 146, 150-152, 238-240, 242 und 245 lediglich ein sehr leichtes Absenken der LUMO-Energien (-7.73-(-7.88 eV)) und ein leichtes Absenken der HOMO-Energien (-1.02-(-1.42 eV)) in den Heteroltriflaten 172, 243 und 244 feststellen (siehe Tabelle 34 und Abbildung 108). Die energetische Lage der LUMOs der Triflatverbindungen unterscheidet sich nur sehr geringfügig von der energetischen Lage der LUMOs der

Chlorheterole. Dies entspricht der im Vergleich zu den Heterolylkationen wesentlich geringeren nach der FIC<sup>Et3B</sup>-Methode bestimmten Lewis-Acidität der Triflatverbindungen. Zudem liegt das LUMO des Siloltriflats **244** mit -1.42 eV tiefer als die LUMOs der Germolverbindungen **172** und **243** (-1.22-(-1.02) eV). Dies entspricht ebenfalls den Ergebnissen der FIC<sup>Et3B</sup>-Methode.

Die Heterolylimidazoliumkationen **247-250** zeigen im Vergleich zu den Heteroltriflaten eine deutlich stärkere Absenkung der entsprechenden HOMO- und LUMO-Energien. So liegen die HOMO-Energien in einem Bereich von -9.97-(-10.33 eV) und die LUMO-Energien in einem Bereich von -3.42-(-3.65 eV). Hierbei liegen die Frontorbitale der Siliciumverbindung **250** energetisch mit einem HOMO von -10.33 eV sowie einem LUMO von -3.65 eV am niedrigsten. Eine erhöhte Lewis-acidität der Heterolylimidazoliumkationen **247-250** im Vergleich zu den Heteroltriflaten **172, 243** und **244** kann anhand der FIC<sup>Et3B</sup>-Methode jedoch nicht festgestellt werden.

Da die HOMO-Energieniveaus in einem ähnlichen Maße wie die LUMO-Energieniveaus abgesenkt werden, kommt es weder in den Heteroltriflatverbindungen 172, 243 und 244 noch in den Heterolylimidazoliumkationen 247-250 zu einer Verringerung der HOMO-LUMO-Lücke. Diese liegen im Bereich von 6.38-6.74 eV und unterscheiden sich damit kaum von den HOMO-LUMO-Lücken der neutralen Germole und Silole 133, 137, 139, 140, 144, 146, 150-152, 238-240, 242 und 245 (6.56-6.86 eV). Eine signifikante Verringerung der HOMO-LUMO-Lücke und eine hiermit einhergehende Erhöhung der Reaktivität dieser Verbindungen kann daher nur in den Heterolylkationen 210, 209, 222 und 269-273 beobachtet werden.

**Tabelle 34:** HOMO- und LUMO-Energien sowie die HOMO-LUMO-Lücke der Heteroltriflate **172**, **243** und **244** und Heterolylimidazoliumkationen **247-250** [eV] (M06-2X/def2-TZVP).

	Heterol	$R^1$ , $R^2$	HOMO [eV]	LUMO [eV]	$\Delta(\text{L-H}) [\text{eV}]$
172	Germol	Ph, OTf	-7.88	-1.22	6.66
243x	Germol	Pemp, OTf	-7.73	-1.02	6.71
244	Silol	Ph, OTf	-7.80	-1.42	6.38
248	Germol	Ph, Me4Imidazolium	-10.30	-3.56	6.74
247	Germol	Ph, <sup>iPr</sup> Imidazolium	-10.09	-3.45	6.64
249	Germol	Pemp, Me4Imidazolium	-9.97	-3.42	6.55
273	Germol	Pemp, <sup>iPr</sup> Imidazolium	-9.91	-3.26	6.65
250	Silol	Ph, Me4Imidazolium	-10.33	-3.65	6.68

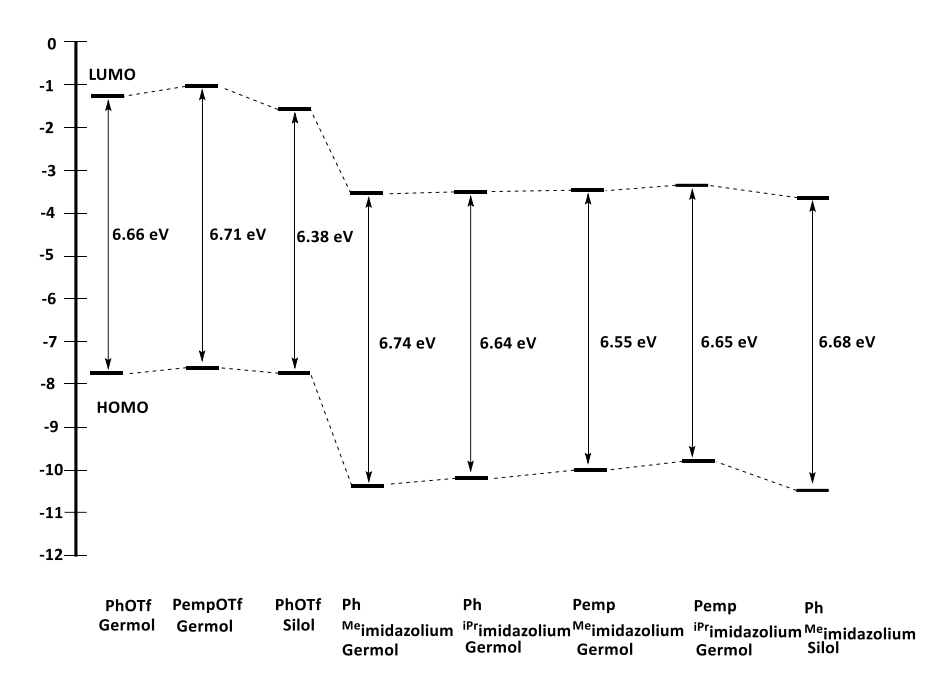


Abbildung 108: HOMO- und LUMO-Energien der der Heteroltriflate 172, 243 und 244 und Heterolylimidazoliumkationen 247-250.

Zudem wurden die UV-vis-Spektren der Heteroltriflate 243 und 244 und Heterolylimidazoliumkationen 248-250 gemessen (siehe Abbildung 109) detektierten  $\lambda_{max}$  mit den berechneten Werten verglichen (siehe Tabelle 35). Da die Heterolylimidazoliumtriflate 248[OTf]-250[OTf] in Pentan keine gute Löslichkeit aufwiesen, wurden die UV-vis-Spektren in Dichlormethan aufgenommen. Zum Vergleich wurde vom pempsubstituierten Germoltriflat 243 sowohl ein UV-vis-Spektrum in Dichlormethan als auch in Pentan gemessen. Die Absorptionsbanden zeigten keine Verschiebung, daher ist ein Vergleich der UV-vis-Spektren dieser Verbindungen mit den in Pentan gemessenen UV-vis-Spektren der Germole 133, 137, 139, 140, 144, 146, 150-152 vertretbar. Daher wurden die Absorptionsbanden der Heteroltriflate 172, 243 und 244 und der Heterolylimidazoliumtriflate 248[OTf]-250[OTf] mit den jeweiligen Chlorgermolen 139 und 140 oder dem Chlorsilol 245 verglichen. Die Silole 244 und 250 zeigten durch ihre Triflat- bzw. Imidazoliumsubstitution mit  $\lambda_{max} = 318$  nm lediglich eine geringfügige bathochrome Verschiebung der langwelligsten Absorptionsbande von 2 nm und damit keinen Effekt dieser Substitution. Die Germolylimidazoliumtriflate 248[OTf] und 249[OTf] sowie das pempsubstituierte Germoltriflat 243 weisen mit ihrem UV-vis-Absorptionen bei 316 nm und 294 nm ebenfalls lediglich eine bathochrome Verschiebung von 4 nm auf. Auch die Germole zeigten weder einen Effekt der Triflatsubstitution noch der Imidazoliumsubstitution auf die UV-vis-Bande des energieärmsten Übergangs dieser Verbindungen. Da die HOMO-LUMO-Lücke dieser Verbindungen mit jeweils lediglich 0.1 eV (im Silolylimidazoliumtriflat 0.2 eV) von den HOMO-LUMO-Lücken der Chlorverbindungen abweicht, entsprechen diese experimentellen Ergebnisse den Erwartungen. Das elektronische Verhalten der Heteroltriflate 243 und

Heterolylimidazoliumkationen 248-250 entspricht eher den neutralen Heterolen 133, 137, 139, 140, 144, 146, 150-152, 238-240, 242 und 245 als den Heterolylkationen 210, 209, 222 und 269-273. Dies ist ein weiterer Hinweis auf die kovalente Natur der Tetrel-Imidazoliumbindung. Zudem zeigten alle Verbindungen eine starke zusätzliche Bande bei kleineren Wellenlängen im Bereich von 240-254 nm.

Die berechneten Wellenlängen zeigten erneute Beteiligungen weiterer Orbitalübergänge und eignen sich daher nicht zur Interpretation.

Tabelle 35: UV-Absorptionsdaten der Heteroltriflate 172, 243 und 244 und Heterolylimidazoliumkationen 248-250 (experimentelle Werte gemessen in Pentan, theoretische Werte auf dem M06-2X/def2-TZVP Niveau berechnet.

	Heterol	R <sup>1</sup> , R <sup>2</sup>	λ <sub>max</sub> [nm]	ε [Mol <sup>-1</sup> cm <sup>-1</sup> ]	Berechnete λ <sub>max</sub> [nm]
250	Silol	Ph, Me4imidazolium	254	2.33 *10 <sup>3</sup>	
			318	1.82 *10 <sup>3</sup>	313
244	Silol	Ph, OTf	244	1.63 *10 <sup>3</sup>	
			318	0.37 *10 <sup>3</sup>	323
248	Germol	Ph, Me4imidazolium	248	1.77 *10 <sup>3</sup>	
			316	0.47 *10 <sup>3</sup>	300
172	Germol	Ph, OTf	-		313
249	Germol	Pemp, Me4imidazolium	240	1.77 *10 <sup>3</sup>	
			294	0.35 *10 <sup>3</sup>	296
243	Germol	Pemp, OTf	244	2.64 *10 <sup>3</sup>	
			294	0.83 *10 <sup>3</sup>	309

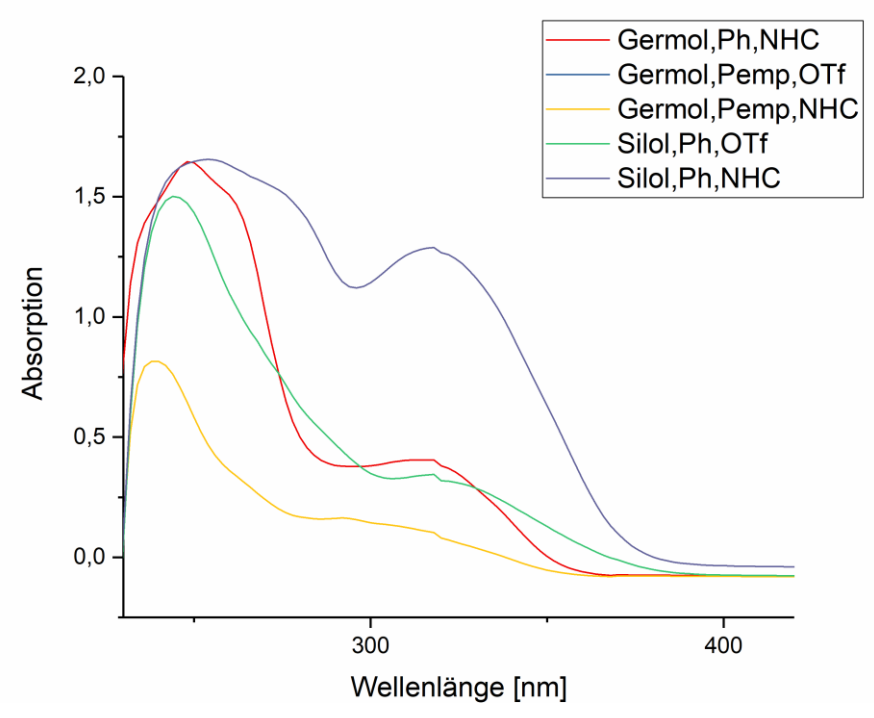


Abbildung 109: UV-vis-Spektrum der Heteroltriflate 243 und 244 und Heterolylimidazoliumkationen 248-250 in Dichlormethan.

Zusammenfassend konnte experimentell und durch Ergebnisse von DFT-Rechnungen unterstützt bestätigt werden, dass eine Substitution am Tetrelatom der Germole und Silole 133, 137, 139, 140, 144, 146, 150-152, 238-240, 242 und 245 keinen großen Einfluss auf die Lage des HOMOs und LUMOs dieser Verbindungen sowie auf deren UV-vis-Absorptionen des energieärmsten Übergangs hat. Zudem konnte kein Effekt durch die Substitution des Tetrelatoms von Germanium zu Silicium festgestellt werden. Die Untersuchung der Frontorbitale der Heterolylkationen 210, 209, 222 und 269-273. zeigte eine deutliche energetische Absenkung der π<sup>3</sup>-Orbitale (HOMO bzw. HOMO-2) und LUMOs. Die Absenkung der LUMOs entspricht der experimentell über die Gutmann-Beckett-Methode festgestellten hohen Lewis-Acidität dieser Verbindungen. Zudem konnte ein kleiner stabilisierender Effekt durch eine Pempsubstitution (energetische Anhebung des HOMOs und LUMOs) im Vergleich zu einer Phenylsubstitution festgestellt werden. Der Wechsel des Tetrelatoms zu den schweren Elementen der Gruppe 14 führte ebenfalls zu geringfügigen Anhebung der HOMOund LUMO-Energien der Heterolylkationen. Generell wiesen die Heterolylkationen 209, 210, 222 und 269-273 durch eine größere Absenkung des LUMOs eine kleinere HOMO-LUMO-Lücke als die neutralen Germole und Silole 133, 137, 139, 140, 144, 146, 150-152, 238-240, 242 und 245 auf. Die Heteroltriflate 172, 243 und 244 zeigten erwartungsgemäß nur eine geringe energetische Absenkung ihrer HOMOs und LUMOs im Vergleich zu den neutralen Germolen und Silolen 133, 137, 139, 140, 144, 146, 150-152, 238-240, 242 und 245, während die Heterolylimidazoliumkationen 248-250 eine größere Absenkung der Frontorbitale zeigten. In beiden Fällen wurden jedoch das HOMO und das LUMO gleichmäßig abgesenkt, sodass

es nicht zu einer Verringerung der HOMO-LUMO-Lücke und einer damit einhergehenden Steigerung der Reaktivität kam. Die UV-vis-Spektren der Heteroltriflate 243 und 244 und Heterolylkationen 248-250 wiesen daher ebenfalls keine Verschiebung der UV-Bande im Niedrigenergiebereich auf. Daher entsprechen die Heterolylimidazoliumtriflate 248[OTf]-250[OTf] und die Heteroltriflate 172, 243 und 244 elektronisch eher den neutralen Heterolen als den Heterolylkationen 210, 209, 222 und 269-273.

## 4. Zusammenfassung und Ausblick

Im ersten Teil der vorliegenden Arbeit wurde die Reaktivität von alkylsubstituierten Dibenzo-7germanorbornadienen gegenüber Carbenen untersucht. Die Fragmentierungsreaktionen der
Dibenzo-7-germanorbornadiene 6 und 102 mit verschiedenen Carbenen zeigten jedoch ein
unerwartetes Reaktionsmuster. Statt der erwarteten NHC-stabilisierten Germylene 104 und
105 konnten die Digermabicyclooctadiene 7 und 106 erhalten werden (siehe Schema 89). Ein
Abfangen des Germylens oder des im NHC-induzierten Fragmentierungsprozess als
Intermediat entstehenden NHC-stabilisierten Germylens war nicht möglich. Die Dibenzo-7germanorbornadiene 6 und 102 selbst sind die besten Abfangreagenzien. Der
zugrundeliegende Mechanismus der NHC-induzierten Fragmentierungsreaktion, welche zu
den Digermabicyclooctadienen 7 und 106 führte, wurde auf Basis von quantenchemischen
Rechnungen untersucht und aufgeklärt.

Schema 89: Reaktion der Dibenzo-7-germanorbornadiene 6 und 102 mit den Carbenen 46 und 53 zu den Digermabicyclooctadienen 7 und 106.

Die NHC-induzierte Fragmentierungsreaktion einer analogen Siliciumverbindung, dem alkylsubstituierten Silanorbornadien 103, führt nicht zur Bildung des entsprechenden Disilabicyclooctadiens 131. Auch die Bildung eines NHC-stabilisierten Silylens 44, welches aus der Fragmentierungsreaktion des terphenylsubstituierten Silanorbornadienes 50 erhalten werden kann, konnte nicht beobachtet werden (siehe Schema 90).<sup>[25]</sup> Stattdessen konnten aufgrund der geringen Stabilität des intermediär gebildeten NHC-Silylenaddukts 132 neben Anthracen 8 nur siliciumhaltige Zersetzungsprodukte erhalten werden.

Schema 90: Reaktion des Dibenzo-7-silanorbornadiens 103 mit Me4NHC 46.

Zudem wurde der Einfluss der aromatischen Abgangsgruppe auf die NHC-induzierte Fragmentierungsreaktion von Germanorbornadienen untersucht. Hierzu konnten über eine Diels-Alder-Reaktion der entsprechenden Germole mit *in situ* hergestelltem Arin fünf Benzo-7-germanorbornadiene 153-157 erhalten werden (siehe Abbildung 110). Von den asymmetrisch substituierten Benzo-7-germanorbornadienen 156 und 157 wurde jeweils nur ein Stereoisomer erhalten. Eine röntgenkristallographische Untersuchung des Germanorbornadiens 156 bestätigte, dass es sich um das *anti*-Konformer handelte.

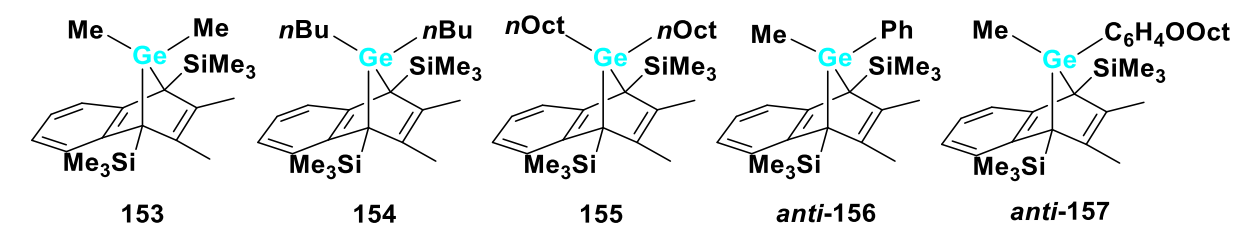


Abbildung 110: Im Rahmen dieser Arbeit dargestellte Benzo-7-germanorbornadiene 153-157.

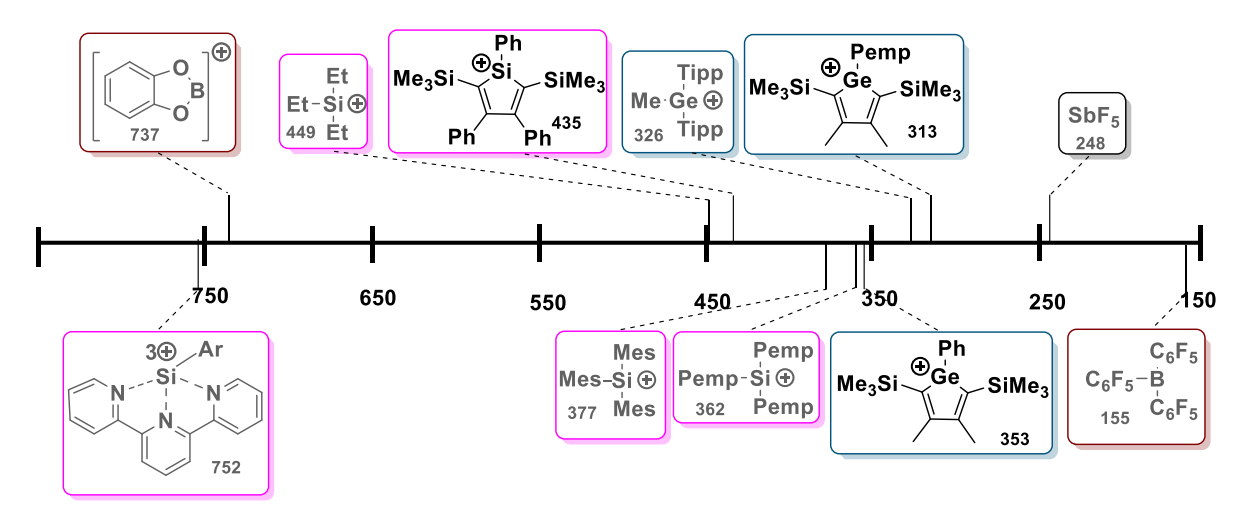
Im Anschluss wurden die Reaktivitäten der Benzo-7-germanorbornadiene 153-157 gegenüber Carbenen untersucht, um diese mit den Reaktivitäten der Dibenzo-7-germanorbornadiene 6 und 102 gegenüber Carbenen zu vergleichen. Aus der Reaktion der Benzo-7germanorbornadiene 153-157 mit verschiedenen Carbenen weder konnte Digermabicyclooctadien noch ein NHC-stabilisiertes Germylen erhalten werden. Im Rahmen von NMR spektroskopischen Untersuchungen der Reaktionslösungen konnten lediglich das Naphthalinderivat 167 als aromatische Abgangsgruppe dieser Fragmentierungsreaktion sowie freies Carben nachgewiesen werden. Obwohl letzteres stöchiometrisch eingesetzt worden war, ließen sich in den Reaktionslösungen weniger als ein Äquivalent des Carbens im Vergleich zum Naphthalinderivat 167 nachweisen. Zudem konnte ein farbloses, unlösliches Polymer isoliert werden (siehe Schema 91).

Schema 91: Reaktion der Benzo-7-germanorbornadiene 153-157 mit Carbenen zum Naphthalinderivat 167 und den unlöslichen Polymeren 193-198.

Das aus der Me4NHC-induzierten Fragmentierungsreaktion des Germanorbornadiens 153 dargestellte Polymer 193 wurde als Modell genutzt und im festen Zustand untersucht. Anhand eines <sup>13</sup>C CP-MAS-NMR Spektrums konnte bestätigt werden, dass es sich bei dem unlöslichen Feststoff ein dimethylgermylenhaltiges Polymer handelt. Zudem konnten um Imidazolingruppen im Polymer 193 nachgewiesen werden. Ein IR-Spektrum des Feststoffes bestätigte diese Ergebnisse. Die Resultate von DFT-Rechnungen erlauben einen mechanistischen Vorschlag zur Fragmentierungsreaktion unter Bildung dieses Polymers. Zudem konnte auf Basis der DFT-Rechnungen ein Strukturvorschlag dieses cyclischen Polymers gemacht werden.

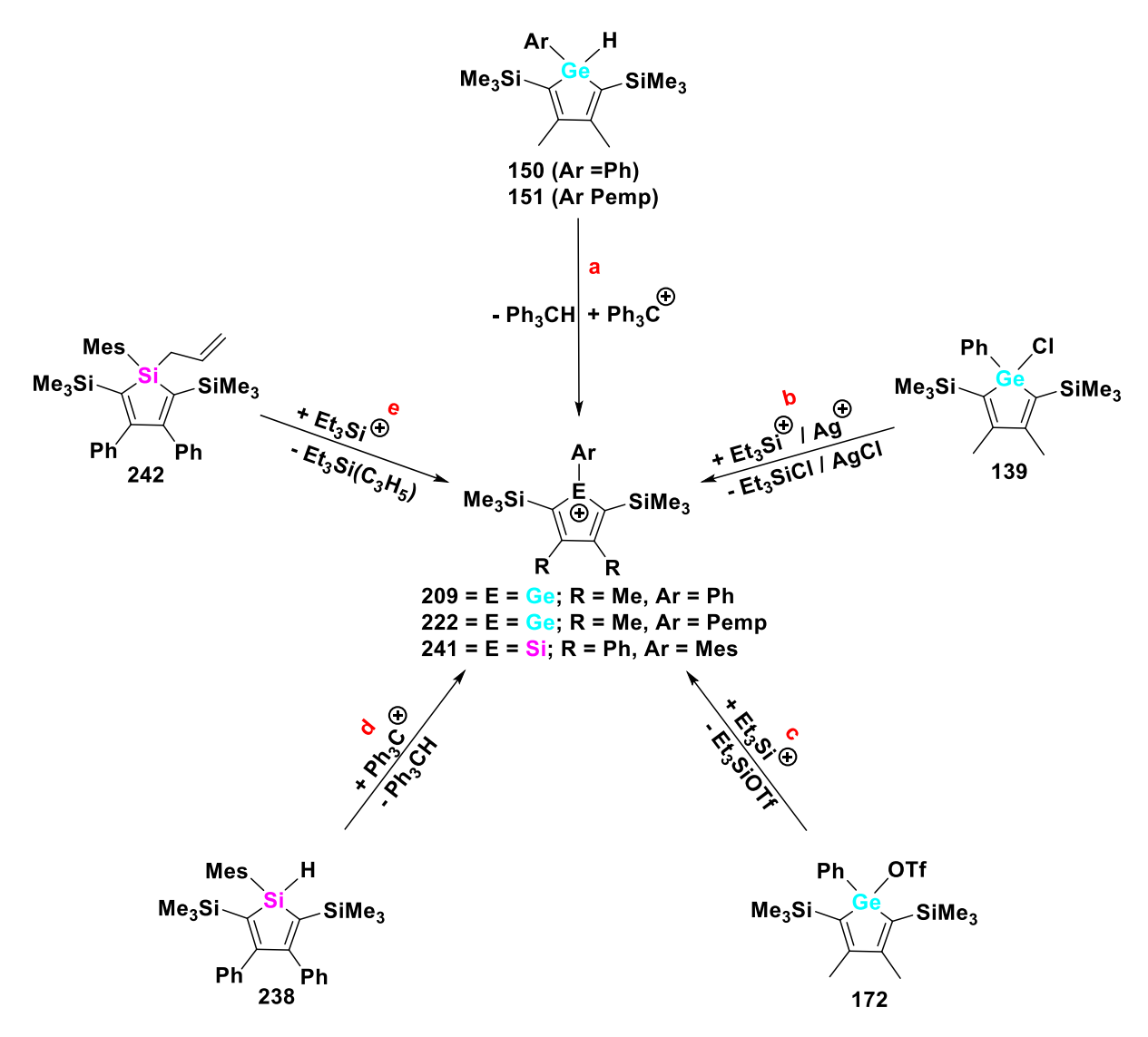
Die angestrebte Synthese eines Germanorbornadienylkations **180** war aufgrund der thermischen Instabilität der Vorläuferverbindungen wie dem Hydridogermanorbornadien **168** oder dem allylsubstituierten Germanorbornadien **175** nicht möglich.

Ein weiterer Teil dieser Arbeit beschäftigte sich mit der Synthese und Untersuchung der ebenfalls sehr reaktiven Silolyl- und Germolylkationen **210**, **209** und **222**. Durch quantenchemische Rechnungen konnte zunächst gezeigt werden, dass der durch eine Jahn-Teller-Verzerrung nicht anti-aromatische Singulett-Zustand für diese Spezies energetisch begünstigt ist. Die FICE<sup>E13B</sup>-Werte dieser Kationen lassen auf eine Lewis-Superacidität dieses Verbindungstyps und eine damit einhergehende hohe Reaktivität schließen.<sup>[117, 162]</sup> Die FICs<sup>E13B</sup> der Germolyl- und Silolylkationen **210**, **209** und **222** liegen in einem ähnlichen Bereich wie die FICs<sup>E13B</sup> bekannter alkyl- und arylsubstituierter Silyl- und Germylkationen (siehe Abbildung 111). Daher weisen sie eine höhere Lewis-Acidität als die starken Lewis-Säuren BCF und Antimonpentafluorid auf.



**Abbildung 111**: Übersicht der FICs<sup>Et3B</sup> [kJ mol<sup>-1</sup>] der neutralen und kationischen Borverbindungen (weinrot), Silylkationen (rosa) und Germylkationen (blau) und dem Antimonpenfluorid (schwarz), die Vergleichsverbindungen sind grau gekennzeichnet (M06-2X/def2-TZVP).

Zur möglichen Darstellung der Germolylkationen 209 und 222 wurden drei verschiedene Synthesewege genutzt (siehe Schema 92). Eine Hydridabstraktionsreaktion (Syntheseweg a) der Hydridogermole 150 und 151 konnte durchgeführt werden, wobei sich jedoch die entstehenden Germolylkationen 209 und 222 als zu reaktiv erwiesen und nicht isoliert werden konnten. Eine mögliche Stabilisierung durch eine intermolekulare Koordination mit Organonitrilen unter Bildung von Nitriliumionen sollte in diesem Zusammenhang noch genauer untersucht werden. Eine Germanium-Halogenidbindungsspaltung (Syntheseweg b) unter Einsatz des benzolstabilisierten Triethylsilylkations 76 führte analog der Hydridtransferreaktion zu Zersetzungsprodukten des Germolylkations 209. Durch den Einsatz eines Silbersalzes (Syntheseweg b) konnte die Entstehung eines Germolylkations nicht beobachtet werden. Es konnten NMR spektroskopische Hinweise auf die erfolgreiche Synthese des Germolylkations 209 über eine Reaktion des Germoltriflats 172 mit dem benzolstabilisierten Triethylsilylkation 76 (Syntheseweg c) erhalten werden.



Schema 92: Mögliche Syntheserouten zur Darstellung der Silolyl- und Germolylkationen 209, 222 und 241.

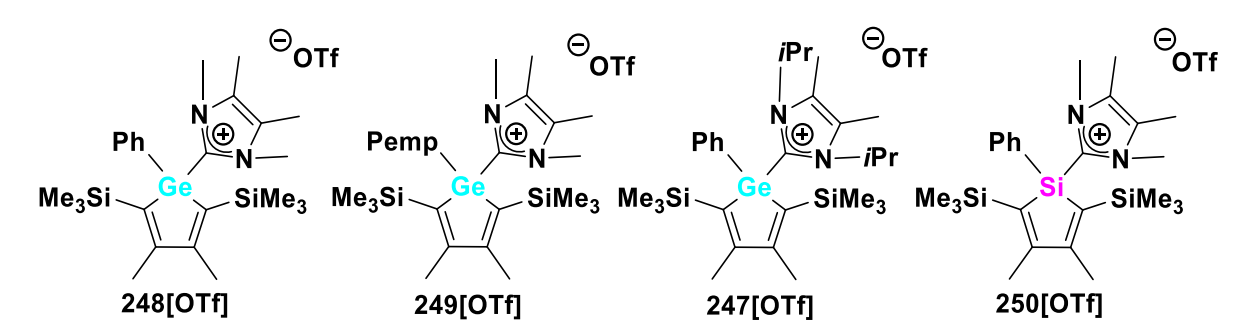
Eine Hydridabstraktion des Hydridosilols 238 (Syntheseweg d) war aufgrund der guten sterischen Abschirmung des Siliciumatoms durch die Mesitylsubstitution nicht möglich (siehe Schema 92). Trotz dieser sterischen Abschirmung konnte das allylsubstituierte Silol 242 synthetisiert werden. Dieses dürfte eine ideale Startverbindung zur Darstellung eines Silolylkations über eine Silicium-Kohlenstoffbindungsspaltung sein (Syntheseweg e). In einem ersten Syntheseversuch konnte das Silolylkation 241 jedoch noch nicht erhalten werden. Stattdessen wurde Mesitylen als Zersetzungsprodukt isoliert.

Zudem konnten im Laufe dieser Arbeit die Germolyltrifluormethansulfonsäureester 172 und 243 sowie der Silolyltrifluormethansulfonsäureester 244 in guten Ausbeuten dargestellt werden, wodurch eine gute Abgangsgruppe als Substituent am Tetrelatom eingeführt werden konnte (siehe Abbildung 112). Röntgenkristallographisch konnte für die Germoltriflate 172 und 243 eine leichte Erhöhung der Summe der Bindungswinkel um das Germaniumatom

festgestellt werden. Diese Erhöhung ist jedoch zu gering, um sie als trigonal planare Koordination, welche in Germyliumionen beobachtet wird, einordnen zu können. Dieser Trend kann anhand der <sup>13</sup>C{¹H} NMR chemischen Verschiebungen der Kohlenstoffatome der Heterolringe bestätigt werden, welcher sich ebenfalls für das Siloltriflat **244** zeigte. Bei den Tetrel-Sauerstoffbindungen zwischen dem Heterol und dem Triflatsubstituenten handelt es sich um kovalente Bindungen. Dies konnte mit Hilfe der entsprechenden Bindungslängen und der BDEs dieser Bindungen bestätigt werden.

Abbildung 112: Im Rahmen dieser Arbeit dargestellte Heteroltriflate 172, 243 und 244.

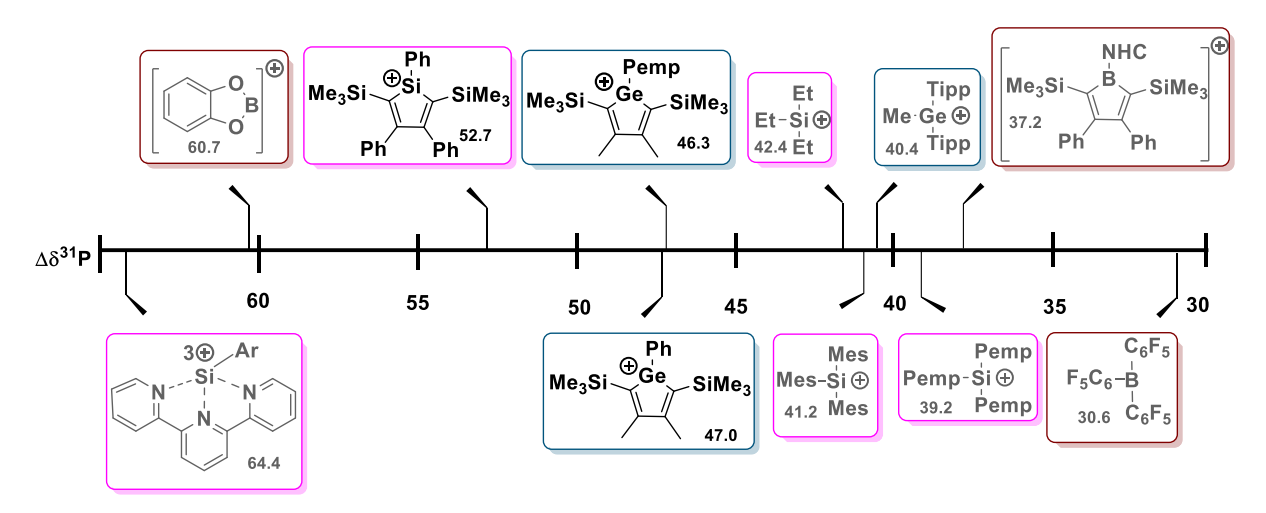
Über die Reaktion der Heteroltriflate **172**, **243** und **244** mit verschiedenen NHCs konnten zudem drei Germolylimidazoliumtriflate **247[OTf]-249[OTf]** und ein Silolylimidazoliumtriflat **250[OTf]** in sehr guten Ausbeuten erhalten werden (siehe Abbildung 113). Das Triflat erwies sich als sehr gute selektive Abgangsgruppe, da durch die Zugabe von Me4NHC **46** zum Germolylkation **209**, welches mittels einer Hydridtransferreaktion erzeugt wurde, kein Heterol-NHC-Addukt erhalten werden konnte.



**Abbildung 113**: Im Rahmen dieser Arbeit dargestellte Heterolylimidazoliumtriflate **247[OTf]**-**250[OTf]**.

Die Bindungssituation zwischen den Tetrelatomen und den Carbenen wurde mit Hilfe von röntgenkristallographischen, <sup>13</sup>C{<sup>1</sup>H} NMR und UV-vis-spektroskopischen Daten sowie Ergebnissen von DFT Rechnungen untersucht. Diese Daten zeigten eindeutig, dass es sich bei den Bindungen zwischen den Heterolen und den Carbenen um eine kovalente Bindung handelt. Zudem konnte anhand der <sup>29</sup>Si{<sup>1</sup>H} NMR chemischen Verschiebung des Silolylimidazoliumtriflats **250[OTf]** belegt werden, dass die kationische Ladung im Imidazoliumsubstituenten lokalisiert ist.

In einem weiteren Teil dieser Arbeit wurde die Lewis-Acidität der Heterolylkationen untersucht. Die über die FIC<sup>Et3B</sup>-Methode bereits theoretisch bestimmte Lewis Superacidität konnte ebenfalls experimentell über die Gutmann-Beckett-Methode bestätigt werden. Die Heterolylkationen **209**, **210** und **222** wiesen nach der Gutmann-Beckett-Methode eine höhere Lewis-Acidität als bekannte Silyl- und Germylkationen auf (siehe Abbildung 114). Sie sind ebenfalls deutlich Lewis-acider als die starke Lewis-Säure BCF oder das Borolkation **88**.<sup>[108, 117, 181]</sup>



**Abbildung 114**: Übersicht der  $\Delta\delta^{31}$ P von Triethylphosphanoxid-Addukten von neutralen und kationischen Borverbindungen (weinrot), Silylkationen (rosa) und Germylkationen (blau); die Vergleichsverbindungen sind grau gekennzeichnet. [108, 117, 181]

Die relativen FICs<sup>Et3B</sup> der Heteroltriflate **172**, **243** und **244** und Heterolylimidazoliumkationen **247-250** bestätigten eine im Vergleich zu den freien Heterolylkationen deutlich geringere Lewis-Acidität dieser Verbindungen. Diese ist in den Siliciumverbindungen erwartungsgemäß generell etwas höher als in den Germaniumverbindungen. Durch die Einführung der Imidazoliumsubstitution wurde die Lewis-Acidität im Vergleich zu den Triflatverbindungen nur dann wesentlich erhöht, wenn es sich um den sterisch anspruchsvolleren *iso*-propylsubstituierten Imidazoliumsubstituenten handelte.

Die Reaktivität der Heteroltriflate 172, 243 und 244 sowie der Heterolylimidazoliumkationen 247-250 wurde in einer Lewis-Säure katalysierten Diels-Alder-Reaktion getestet. Eine Korrelation der Lewis-Acidität der Verbindungen mit den Umsätzen der katalysierten Diels-Alder-Reaktion war nicht möglich. Dennoch zeigten einige der Lewis-aciden Heterolverbindungen einen höheren katalytischen Umsatz als das häufig als Katalysator in Diels-Alder-Reaktionen genutzte Aluminiumtrichlorid.

Zudem konnte bestätigt werden, dass eine Substitution am Tetrelatom der Germole und Silole 133, 137, 139, 140, 144, 146, 150-152, 238-240, 242 und 245 keinen großen Einfluss auf die Lage der HOMOs und LUMOs dieser Verbindungen sowie auf deren UV-Absorptionen im

langwelligen Bereich hat. Die freien Heterolylkationen 210, 209, 222 und 269-273 wiesen durch eine größere Absenkung des LUMOs eine kleinere HOMO-LUMO-Lücke als die neutralen Germole und Silole 133, 137, 139, 140, 144, 146, 150-152, 238-240, 242 und 245 auf. Die starke Absenkung der LUMOs entspricht der experimentell über die Gutmann-Beckett-Methode festgestellten hohen Lewis-Acidität dieser Verbindungen. Die Heteroltriflate 172, 243 und 244 zeigten hingegen erwartungsgemäß nur eine geringe energetische Absenkung ihrer HOMOs und LUMOs im Vergleich zu den neutralen Germolen und Silolen 133, 137, 139, 140, 144, 146, 150-152, 238-240, 242 und 245, während die Heterolylimidazoliumkationen 247-250 eine größere Absenkung der Frontorbitale zeigten. In beiden Fällen wurden jedoch das HOMO und das LUMO gleichmäßig abgesenkt, sodass es nicht zu einer Verringerung der HOMO-LUMO-Lücke kam. Dies konnte experimentell unter Zuhilfenahme von UV-vis-Spektren bestätigt werden, welche ein sehr ähnliches Absorptionsverhalten der Heteroltriflate 243 und 244 und der Heterolylimidazoliumkationen 248-250 sowie der neutralen Heterole 133, 137, 139, 140, 144, 146, 150-152, 238-240, 242 und 245 zeigten.

In nachfolgenden Arbeiten sollte versucht werden, die Reaktionsbedingungen zur Synthese des Silolylkations **241** über eine Silicium-Kohlenstoffbindungsspaltung zu optimieren, um über diesen Weg ein Silolylkation zu erhalten, da das allylsubstituierte Silol **242** eine ideale Ausgangsverbindung für diese Synthese sein sollte. Zudem kann das Entstehen des Germolylkations **209** über die Reaktion des Germoltriflats **172** mit einem starken Elektrophil mittels röntgenkristallographischer Untersuchungen nachgewiesen werden.

Die von der Arbeitsgruppe Tamm dargestellten Trimethylsilylimidazoliumtriflate **252[OTf]**, welche strukturell große Ähnlichkeiten mit den Heterolylimidazoliumtriflaten **247[OTf]**-**250[OTf]** aufweisen, zeigen eine Reaktivität als frustriertes Carben-Silyliumpaar. Daher konnten Bindungsaktivierungsreaktionen mit Kohlenstoffdioxid, Isocyanaten und Alkinen beobachtet werden. Entsprechend sollte die Reaktivität der Heterolylimidazoliumtriflate **247[OTf]**-**250[OTf]** gegenüber diesen Substraten ebenfalls untersucht werden.

## 5. Experimenteller Teil

#### 5.1 Allgemeine Arbeitstechniken

Alle Versuche wurden, wenn nicht anders beschrieben, mit gängigen Schenktechniken oder in der Glovebox (Braun Unilab bzw. Vigor) durchgeführt. Genutzte Glasgeräte und Apparaturen wurden zuvor im Trockenschrank bei 120°C für mindestens eine Stunde ausgeheizt und vor Gebrauch evakuiert. Als Inertgas wurde Argon 5.0 verwendet. Dieses wurde über eine Phosphorpentoxidsäule (Siccapent®, Firma Merck) getrocknet. Zur Trocknung von Chemikalien wurde ein Feinvakuum von 0.1-1 Pa genutzt.

#### 5.1.1.Lösungsmittel und Chemikalien

Diethylether, Tetrahydrofuran, *n*-Hexan, *n*-Pentan, Toluol, Benzol wurden unter Inertgas über eine Natrium-Kaliumlegierung getrocknet, vor der Verwendung zum Sieden erhitzt und destilliert. Tetrahydrofuran zusätzlich wurde in einem ähnlichen Verfahren über trockenem Kaliumhydroxid vorgetrocknet. Dimethylsulfoxid wurde über trockenem CaCl<sub>2</sub> getrocknet und destilliert.

Alle Lösungsmittel wurden hiernach auf getrocknetem Molsieb 3 Å gelagert. Alle Ether wurden regelmäßig auf Peroxide getestet.

Deuteriertes Benzol und Toluol wurden unter inerten Bedingungen auf Natrium gelagert und anschließend destilliert. Diese Lösungsmittel wurden ebenfalls auf Molsieb 3 Å gelagert. Deuteriertes Chlorbenzol oder Dichlormethan wurden mindestens 24 h vor der Benutzung auf Molsieb 3 Å gelagert.

Alle weiteren Verbindungen waren entweder im Arbeitskreis vorhanden oder wurden käuflich erworben. Alle kommerziell erhältlichen Chemikalien wurden ohne weitere Aufreinigung eingesetzt.

#### 5.1.2 Analysemethoden

#### Kernresonanzspektroskopie (NMR)

Die NMR Spektren wurden auf den Geräten Bruker Avance DPX 300, Bruker Avance DRX 500 und Bruker Avance III 500 aufgenommen.

Im <sup>1</sup>H NMR Spektrum wurde das Restprotonensignal des verwendeten Lösungsmittels als interner Standard genutzt. Die <sup>13</sup>C{<sup>1</sup>H} NMR Spektren wurden gegenüber den Lösungsmittelsignalen als interner Standard referenziert. Es wurde die zentrale Linie des Signals verwendet (siehe Tabelle 36).

**Tabelle 36**: Chemische Verschiebungen der deuterierten Lösungsmittelsignale bzw.

Restprotonensignale.

Lösungsmittel	$\delta^1 H$	δ <sup>13</sup> C
Benzol-d <sub>6</sub>	$C_6D_5H = 7.20$	$C_6D_6 = 128.0$
Chloroform-d₁	$CHCl_3 = 7.24$	$CDCl_3 = 77.0$
Toluol d <sub>9</sub>	$C_7D_8H = 2.08$	$C_7D_9 = 20.4$
Chlorbenzol d <sub>5</sub>	$C_6HD_4CI = 6.96$	$C_6D_5CI = 134.2$
Dichlormethan d <sub>2</sub>	$CHDCl_2 = 6.96$	$CD_2CI_2 = 54.0$

Für die <sup>29</sup>Si, <sup>31</sup>P, <sup>19</sup>F und <sup>15</sup>N NMR Spektren wurde der jeweilige externe Referenzstandard verwendet (siehe Tabelle 37).

Tabelle 37: Verschiebungen der externen Standards.

Kern	Standard (Extern)	δ
<sup>29</sup> Si	Me <sub>2</sub> SiHCl	11.1
<sup>15</sup> N	MeNO <sub>2</sub>	379.9
<sup>31</sup> P	$H_3PO_{4(aq)}$ (85%)	141.0
<sup>19</sup> F	CFCl₃	0.0

Die <sup>29</sup>Si{<sup>1</sup>H} NMR Spektren wurden mit einer Relaxationszeit 10 s aufgenommen. Die <sup>29</sup>Si INEPT NMR Experimente wurden für eine Si-CH<sub>3</sub> Gruppe mit einer Kopplungskonstante von <sup>2</sup>J<sub>Si-CH<sub>3</sub></sub> = 8 Hz mit einer Wartezeit von 3.0 s aufgenommen. Die chemische Verschiebung des Stickstoffs wurde indirekt über ein <sup>1</sup>H<sup>15</sup>N HMBC Experiment gemessen. Zur genauen Zuordnungen der Signale wurden 2D Spektren (HMQC, HMBC, COSY und NOESY) genutzt. Bei Angabe der NMR spektroskopischen Daten wurden die gängigen Abkürzungen verwendet:

s: Singulet, d: Dublett, t: Triplett, q: Quartett, m: Multiplett, pent: Pentett, sept: Septett, br: breites Signal.

#### Massenspektrometrie

Die Massenspektren wurden mit dem Massenspektrometer Thermo Scientific DFS (EI) und Water Q-ToF Premier (ESI) gemessen. Die Ionisierung erfolgte durch Elektronenstoßionisation (EI) und Elektronensprayionisation (ESI), sowie "Liquid injection field desorption/ionisation" (LIFDI). Die Intensitäten wurden jeweils auf den höchsten Peak bezogen. Die Proben wurden in Pentan oder Toluol gelöst.

#### Gaschromatographie-Massenspektrometrie (GC/MS)

Die GC-MS Messungen wurden zunächst an einem Thermo Focus mit einer DB5-Säule (25 m, Durchmesser 0.2 mm) durchgeführt. Hiernach wurde ein Shimadzu GC-MS-QP 2020 mit einer Macherey-Nagel Optima 5 HT Säule (30 m, 0,25 mm) verwendet. Anschließend konnten die Messungen am arbeitsgruppeneigenen Gerät AGILENT 7890B-GASCHROMATOGRAPH mit 5977B GC/MSD MS-Detektor und AGILENT G4513A-Autosampler durchgeführt werden. Die Injektion erfolgte an allen Geräten mit einem Split 1:20, die Detektion mittels Massenspektrometer mit einer Elektronenstoßionisationsquelle von 70 eV. Die Intensitäten wurden jeweils auf den höchsten Peak bezogen. Die Proben wurden in *n*-Pentan gelöst.

#### Gaschromatographie (GC)

Die GC Messungen wurden an einem AGILENT 6890N Gaschromatographen mit Flammenionisationsdetektor durchgeführt.

#### Infrarotspektroskopie (IR)

Die IR-Spektren wurden auf einem BRUCKER TENSOR 27 mit einer MKII Reflection Golden Gate Diamant-ATR- Einheit aufgenommen.

#### **UV-Vis Spektroskopie**

Die UV-vis-Spektren wurden auf einem SPECORD 200 von ANALYTIK JENA aufgenommen. Die Proben wurden (wenn nicht anders angegeben) in *n*-Pentan gelöst.

#### Röntgenstrukturanalyse

Die Ш Röntgenstrukturanalysen erfolgten an einem **BRUCKER AXS APEX** Einkristalldiffraktometer (mit einer Mo-K $\alpha$  Strahlung bei 153K mit  $\lambda$  = 71.073 pm, Kappa 4 Kreis Goniometer) oder am Bruker AXS D8 Venture Diffraktometer (mit einer Mo-Kα Strahlung bei 153K mit  $\lambda$  = 71.073 pm und  $\lambda$  = 154.178 pm, Kappa 4 Kreis Goniometer und Photon III C14 CPAD Detektor). Eine empirische Absorptionskorrektur wurde unter Verwendung äquivalenter Reflexionen mit dem Programm SADABS oder TWINABS[119, 209] durchgeführt Die Strukturen wurden mit Hilfe der Programme SHELXS<sup>[210]</sup> und SHELXL<sup>[211]</sup> gelöst und verfeinert. Die Molekülstrukturen wurden mit dem Programm Diamond dargestellt. Abstände und Winkel wurde mit dem Programm Mercury ermittelt.

#### **Elementaranalyse**

Die Elementaranalysen (C, H, N, S) wurden auf einem EURO EA ELEMENT Gerät gemessen. Als Standard wurde Sulfanilamide genutzt. Abweichungen der gemessen Werte sind auf die Bildung von Germanium- und Siliciumcarbide zurück zu führen. Die Reinheit der Verbindungen wird mit Hilfe der im elektronischen Anhang befindlichen spektroskopischen Daten belegt.

#### 5.2 Darstellung und Charakterisierung der Verbindungen

#### 5.2.1 Vorläuferverbindungen

#### Magnesiumanthracen 12

4.70 g (26.36 mmol, 1 eqiuv.) des zuvor sublimierten Anthracens und 0.64 g (26.37 mmol, 1 eqiuv.) Magnesiumpulver (325 mesh) wurden in 40 mL trockenem THF gelöst bzw. suspendiert. Es wurden 2-3 Tropfen trockenes Dibromethan zugegeben. Die Lösung wurde 24 h auf 60°C erhitzt (in drei 8 h Intervallen). Nach einer Stunde entstand eine grüne Lösung, nach 8 h bildete sich ein orange farbender Feststoff. Nach 24 h wurde die grüne Lösung vorsichtig dekantiert, der orange Feststoff mit kaltem THF gewaschen und im Feinvakuum getrocknet. Das Produkt konnte als oranges Pulver erhalten werden und wurde direkt weiter umgesetzt.

Die Synthese ist literaturbekannt.<sup>[212]</sup> Zu beachten ist jedoch, dass sie nur unter Verwendung von frisch sublimiertem Anthracen und sehr feinem Magnesium Pulver das Produkt in moderaten Ausbeuten liefert.

Ausbeute: 6.76 g (16.14 mmol, 61 %).

#### 5.2.2 Germole

#### 1,1-Dichloro-2,5-bis(trimethylsilyl)3,4-dimethyl-germacyclopentadien 133

Die Synthese des Dichlorgermols erfolgte nach einer leicht veränderten Synthesevorschrift von Crispin Reinhold.<sup>[98, 213]</sup>

Das zuvor getrocknete Dicyclopentadienylzirkoniumdichlorid **134** (3.00 g, 10.26 mmol) wurde in 80 mL Pentan suspendiert. Die Suspension wurde auf -90°C gekühlt und bei dieser Temperatur langsam *n*-Butyllithium (13.47 mL, 21.55 mmol, 2.1 eqiuv.). zu getropft. Die farblose Suspension wurde eine Stunde bei -90°C gerührt. Anschließend wurde Trimethylsilypropin (2.24 g, 21.55 mmol, 2.1 eqiuv.), in 5 ml Pentan gelöst, zugegeben. Die Suspension wurde über Nacht auf Raumtemperatur erwärmt.

Anschließend wurde 10 ml THF zugegeben. Die rote Suspension wurde auf -10°C gekühlt und Germaniumtetrachlorid (2.20 g, 10.26 mmol, 1 eqiuv.), in 5 ml Pentan gelöst, zu getropft. Das Reaktionsgemisch wurde über Nacht unter ständigem Rühren eines Circulus auf Raumtemperatur erwärmt.

Das Lösungsmittel wurde unter vermindertem Druck entfernt. Der gelbliche Feststoff wurde in Pentan suspendiert und Dicyclopentadienylzirkoniumdichlorid zusammen mit Lithiumchlorid filtriert. Die hellgelbe Lösung wurde über Kieselgel filtriert. Anschließend wurde das Lösungsmittel am Rotationsverdampfer entfernt. Die farblosen Kristalle wurden im Feinvakuum getrocknet.

Ausbeute: 2.80 g, 76%

<sup>1</sup>**H NMR** (499.87 MHz, 305 K,  $C_6D_6$ )  $\delta$ : 0.35 (s, 18H, Si(CH<sub>3</sub>)<sub>3</sub>), 1.68 (s, 6H, CH<sub>3</sub>).

Die Spektroskopischen Daten entsprechen der Literatur. [98]

**GC/MS:** Rt: 8.35 min, m/z (%): 368 (19.1) [M<sup>+</sup>], 353 (75.2) [M-CH<sub>3</sub>], 224 (100.0) [M<sup>+</sup>-GeCl<sub>2</sub>],

209 (87.1) [C<sub>11</sub>H<sub>21</sub>Si<sub>2</sub>], 97 (60.2) [C<sub>5</sub>H<sub>9</sub>Si], 73 (24.0) [SiMe<sub>3</sub>]

**UV-vis** (*n*-Pentan): [nm]  $\lambda_{\text{max}} = 314 \ (\epsilon \ [\text{Mol}^{-1}\text{cm}^{-1}] = 3.20*10^3)$ 

#### 1,1-Dimethyl-2,5-bis(trimethylsilyl)3,4-dimethyl-germacyclopentadien 146

$$\begin{array}{c} \text{Me} \quad \text{Me} \\ \text{Me}_3 \text{Si} \quad \text{Ge} \quad \text{SiMe}_3 \\ \\ 146 \end{array}$$

Das zuvor getrocknete Dichlorgermol **133** (1.0 g, 2.72 mmol) wurde in 15 ml Diethylether gelöst. Die Lösung wurde auf -90°C gekühlt. Zur farblosen Lösung wurde langsam Methyllithium (3.40 mL, 5.43 mmol, 2.1 eqiuv.) zugetropft. Die Lösung wurde über Nacht auf Raumtemperatur erwärmt.

Das luftstabile Produkt wurde filtriert und das Lösungsmittel des Filtrats unter vermindertem Druck entfernt. Der Rückstand wurde im Feinvakuum getrocknet. Das Produkt konnte als gelbes Öl isoliert werden.

**Ausbeute**: 0.68 g, 77%

<sup>1</sup>**H NMR** (499.87 MHz, 305 K,  $C_6D_6$ )  $\delta$ : 0.29 (s, 18H, Si(CH<sub>3</sub>)<sub>3</sub>);

0.47 (s, 6H, Ge-CH<sub>3</sub>); 2.01 (s, 6H, C-CH<sub>3</sub>).

<sup>13</sup>C {<sup>1</sup>H} NMR (125.71 MHz, 305 K,  $C_6D_6$ )  $\delta$ : -2.1 (Si(CH<sub>3</sub>)<sub>3</sub>); 0.9 (Ge-CH<sub>3</sub>); 20.9

(C-CH<sub>3</sub>),142.4 (C-SiMe<sub>3</sub>); 161.6 (C-Me).

<sup>29</sup>Si {<sup>1</sup>H} INEPT NMR (99.31 MHz, 305 K,  $d_3 = 8.4$  ms,  $d_4 = 31.3$  ms,  $C_6D_6$ )  $\delta$ : -10.2.

**GC/MS**: Rt: 7.94 min, m/z (%): 328 (19.4) [M<sup>+</sup>], 313 (38.5) [M-CH<sub>3</sub>], 209 (100.0) [C<sub>11</sub>H<sub>21</sub>Si<sub>2</sub>], 201 (57.1) [C<sub>7</sub>H<sub>15</sub>GeSi], 97 (59.3) [C<sub>5</sub>H<sub>9</sub>Si], 73 (90.9) [SiMe<sub>3</sub>].

**HR/MS** (EI): C<sub>14</sub>H<sub>30</sub>GeSi<sub>2</sub> (M+H), berechnet: 328.1092; gemessen: 328.1098

**Elementaranalyse:** C<sub>14</sub>H<sub>30</sub>GeSi<sub>2</sub>, berechnet: C: 51,39 H: 9,24; gemessen C: 48,75. H: 8,35.

**UV-vis** (*n*-Pentan): [nm]  $\lambda_{\text{max}} = 296 \ (\epsilon \ [\text{Mol}^{-1}\text{cm}^{-1}] = 4.80*10^3).$ 

## 1,1-Di-n-butyl-2,5-bis(trimethylsilyl)3,4-dimethyl-germacyclopentadien 137

Das zuvor getrocknete Dichlorgermol **133** (0.30 g, 0.82 mmol) wurde in 5 ml Tetrahydrofuran gelöst. Zur Lösung wurde elementares Kalium (0.32 g, 8.20 mmol, 10 eqiuv.) gegeben. Das Reaktionsgemisch wurde 16 h bei Raumtemperatur gerührt. Anschließend wurde die rote Suspension filtriert und *n*-Butylchlorid (0.30 g, 3.28 mmol, 4 eqiuv.) zum Filtrat langsam zugetropft. Die gelbe Suspension wurde nach weiteren 16 h Rühren filtriert und das Lösungsmittel des Filtrats entfernt. Das Produkt konnte als hellbraunes Öl erhalten werden.

**Ausbeute**: 0.34 g, 100%

<sup>1</sup>**H NMR** (499.87 MHz, 305 K, C<sub>6</sub>D<sub>6</sub>) δ: 0.34 (s, 18H, Si(CH<sub>3</sub>)<sub>3</sub>); 0.90 (t,  $^{3}$ J<sub>H-H</sub>= 7.3

Hz,6H, C<u>H</u><sub>3</sub>-*n*Bu); 1.18 (m, 4H, Ge-C<u>H</u><sub>2</sub>*n*Bu); 1.33 (m, 4H, *n*Bu); 1.45 (m, 4H,

*n*Bu); 2.03 (s, 6H, C-CH<sub>3</sub>).

<sup>13</sup>C {<sup>1</sup>H} NMR (125.71 MHz, 305 K, C<sub>6</sub>D<sub>6</sub>)  $\delta$ : 1.1 (Si(CH<sub>3</sub>)<sub>3</sub>); 14.1 (<u>C</u>H<sub>3</sub>-*n*Bu);

16.2 (Ge-<u>C</u>H<sub>2</sub>-nBu); 21.4 (C-CH<sub>3</sub>); 26.7

(nBu); 28.6 (nBu); 140.9 (C-SiMe<sub>3</sub>);

163.2 (C-Me).

<sup>29</sup>Si {<sup>1</sup>H} INEPT NMR (99.31 MHz, 305 K,  $d_3 = 8.4$  ms,  $d_4 = 31.3$  ms)  $C_6D_6$ )  $\delta$ : -10.5.

**GC/MS**: Rt: 8.87 min, m/z (%):412 (12.8) [M<sup>+</sup>], 356 (28.5) [M-nBu], 299 (100) [M-nBu<sub>2</sub>], 195 (41.8) [C<sub>10</sub>H<sub>18</sub>Si<sub>2</sub>], 97 (12.3) [C<sub>5</sub>H<sub>9</sub>Si], 73 (37.5) [SiMe<sub>3</sub>].

HR/MS (EI): C<sub>20</sub>H<sub>42</sub>GeSi<sub>2</sub>: berechnet: 412.2031; gemessen: 412.2047

**Elementaranalyse:** C<sub>20</sub>H<sub>42</sub>GeSi<sub>2</sub>, berechnet: C: 58,40 H: 10,29; gemessen C: 43,36 H: 8,12. **UV-Vis** (*n*-Pentan): [nm]  $λ_{max}$  = 294 (ε [Mol<sup>-1</sup>cm<sup>-1</sup>] = 3.01\*10<sup>3</sup>).

### 1,1-Di-n-octyl-2,5-bis(trimethylsilyl)3,4-dimethyl-germacyclopentadien 138

Das zuvor getrocknete Dichlorgermol **133** (0.25 g, 0.68 mmol) wurde in 5 ml Tetrahydrofuran gelöst. Zur Lösung wurde elementares Kalium (0.27 g, 6.79 mmol, 10 eqiuv.) gegeben. Das Reaktionsgemisch wurde 16 h bei Raumtemperatur gerührt. Anschließend wurde die rote Suspension filtriert und *n*-Octylchlorid (0.40 g, 2.72 mmol, 4 eqiuv.) zum Filtrat langsam zugetropft. Die gelbe Suspension wurde nach weiteren 16 h rühren filtriert und das Lösungsmittel des Filtrats entfernt. Das Produkt konnte als hellbraunes Öl isoliert werden.

Ausbeute: 0.31 g, 91%

<sup>1</sup>H NMR (499.87 MHz, 305 K, C<sub>6</sub>D<sub>6</sub>) δ: 0.38 (s, 18H, Si(CH<sub>3</sub>)<sub>3</sub>); 0.93 (t,  ${}^{3}J_{H-H}=7.1$ 

Hz,6 H, CH<sub>3</sub>-*n*Oct); 1.23-1.26 (m, 6 H, Ge-

 $CH_{2-}nOct+CH_{2-}nOct)$ ; 1.29-1.39 (m, 18 H,

*n*Oct); 1.54 (m, 4H, *n*Oct);

2.07 (s, 6H, C-CH<sub>3</sub>).

<sup>13</sup>C {<sup>1</sup>H} NMR (125.71 MHz, 305 K,  $C_6D_6$ )  $\delta$ : 0.7 (Si(CH<sub>3</sub>)<sub>3</sub>); 14.1 (CH<sub>3</sub>-nOct);

16.3 (Ge-CH<sub>2-</sub>nOct); 21.0 (C-CH<sub>3</sub>);

22.9 (nOct); 26.1 (nOct); 29.4 (nOct);

29.5 (nOct); 32.0 (nOct); 33.4 (nOct);

140.8 (C-SiMe<sub>3</sub>); 162.8 (C-Me).

<sup>29</sup>Si {<sup>1</sup>H} INEPT NMR (99.31 MHz, 305 K,  $d_3 = 8.4$ ms,  $d_4 = 31.3$ ms)  $C_6D_6$ )  $\delta$ : -10.5.

**GC/MS**: Rt: 11.87 min, m/z (%): 524 (4.8) [M+], 412 (36.1) [M-nOct], 299 (100.0) [M-nOct<sub>2</sub>], 195

 $(29.5) [C_{10}H_{18}Si_2], 97 (13.8) [C_5H_9Si], 73 (73.7) [SiMe_3].$ 

HR/MS (EI): C<sub>28</sub>H<sub>58</sub>GeSi<sub>2</sub> (M+H), berechnet: 524.3283; gemessen: 524.3295

**Elementaranalyse:** C<sub>28</sub>H<sub>58</sub>GeSi<sub>2</sub>, berechnet: C: 64,23 H: 11,17; gemessen C: 62.59. H: 10.67.

## 1-Chloro,1-phenyl-2,5-bis(trimethylsilyl)3,4-dimethyl-germacyclopentadien 139

Das zuvor getrocknete Dichlorgermol **133** (1.0 g, 2.72 mmol) wurde in 40 ml Diethylether gelöst. Die Lösung wurde auf -90°C gekühlt. Zur farblosen Lösung wurde langsam Phenyllithium (1.66 mL, 2.99 mmol, 1.1 eqiuv) zugetropft. Die Lösung wurde über Nacht auf Raumtemperatur erwärmt.

Das luftstabile Produkt wurde filtriert und das Filtrat mit Wasser versetzt. Die wässrige Phase wurde separiert und die organische Phase über Magnesiumsulfat getrocknet. Das Lösungsmittel wurde am Rotationsverdampfer stark eingeengt. Das Produkt kristallisierte bei -70°C. Die farblosen Kristalle wurden im Feinvakuum getrocknet.

**Ausbeute: 0.90g, 81%** 

<sup>1</sup>**H NMR** (499.87 MHz, 305 K,  $C_6D_6$ )  $\delta$ : 0.23 (s, 18H; Si(CH<sub>3</sub>)<sub>3</sub>);

1.93 (s, 6H, C-CH<sub>3</sub>); 7.11-7.17 (m, 3 H,

Ph); 7.71 (d,  ${}^{3}J_{H-H}=6.5 \text{ Hz } 2 \text{ H, Ph}$ ).

<sup>13</sup>C {<sup>1</sup>H} NMR (125.71 MHz, 305 K, C<sub>6</sub>D<sub>6</sub>)  $\delta$ : 0.4 (Si(CH<sub>3</sub>)<sub>3</sub>); 20.3 (C-CH<sub>3</sub>);

128.9 (Ph-CH); 130.3 (Ph-CH);132.8

(Ph-CH);136.3 (Ph-Cq); 136.8 (C-SiMe<sub>3</sub>);

163.9 (C-Me).

<sup>29</sup>Si {<sup>1</sup>H} INEPT NMR (99.31 MHz, 305 K,  $d_3 = 8.4$  ms,  $d_4 = 31.3$  ms)  $C_6D_6$ )  $\delta$ : -8.4.

Die spektroskopischen Daten entsprechen der Literatur. [91] Die Ausbeute konnte von 36% auf 81% erhöht werden.

**GC/MS**: Rt: 9.72 min, m/z (%):410 (11.6) [M<sup>+</sup>], 395 (32.6) [M-CH<sub>3</sub>], 271 (100) [C<sub>10</sub>H<sub>14</sub>ClGeSi], 224 (39.6) [M<sup>+</sup>-GePh<sub>2</sub>], 209 (53.1) [C<sub>11</sub>H<sub>21</sub>Si<sub>2</sub>], 151 (32.0) [GePh], 97 (31.8) [C<sub>5</sub>H<sub>9</sub>Si], 73 (15.3) [SiMe<sub>3</sub>].

HR/MS (EI): C<sub>18</sub>H<sub>29</sub>GeSi<sub>2</sub> (M), berechnet: 410.0703; gemessen: 410.0704

Elementaranalyse: C<sub>18</sub>H<sub>29</sub>ClGeSi<sub>2</sub>, berechnet: C: 52,77 H: 7.14; gemessen C: 53,14. H: 7.34.

**UV-Vis** (*n*-Pentan): [nm]  $\lambda_{\text{max}} = 312$  ( $\epsilon$  [Mol<sup>-1</sup>cm<sup>-1</sup>] = 3.39\*10<sup>3</sup>)

Schmelzpunkt: 126°C

# 1-Chloro,1-pentamethylphenyl-2,5-bis(trimethylsilyl)3,4-dimethyl-germacyclopentadien 140

Pentamethylphenylbromid (0.68 g, 2.99 mmol, 1.1 equiv.) wurde in 20 ml Diethylether gelöst und auf -80°C gekühlt. *t*-Butyllithium (3.74 mL, 5.98 mmol, 2.2 equiv.) wird langsam zur Lösung zugetropft. Die Suspension wird innerhalb einer Stunde auf -30°C erwärmt und anschließend wieder auf -80°C gekühlt.

Das zuvor getrocknete Dichlorgermol **133** (1.0 g, 2.72 mmol) wurde in 40 ml Diethylether gelöst. Die Lösung wurde auf -80°C gekühlt. Zur farblosen Lösung wurde langsam die Pentamethyllithium-Suspension getropft. Die Suspension wurde über Nacht auf Raumtemperatur erwärmt.

Das luftstabile Produkt wurde filtriert und das Filtrat mit Wasser versetzt. Die wässrige Phase wurde separiert und die organische Phase über Magnesiumsulfat getrocknet. Das Lösungsmittel wurde entfernt. Das als Nebenprodukt anfallende Pentamethylbenzol wurde mittels Kugelrohrdestillation (2.4\*10<sup>-2</sup> mbar, 130°C) entfernt. Das Produkt ist ein hellgelber Feststoff.

**Ausbeute:** 0.87g, 67%

<sup>1</sup>H NMR (499.87 MHz, 305 K,  $C_6D_6$ ) δ: 0.30 (s, 18H; Si(CH<sub>3</sub>)<sub>3</sub>); 1.96 (s, 6H, C-

CH<sub>3</sub>);2.01 (s, 3H, Pemp-pCH<sub>3</sub>); 2.01

(s, 6H, Pemp-mCH<sub>3</sub>);

2.59 (s<sub>br.</sub> 3H, Pemp-oCH<sub>3</sub>).

<sup>13</sup>C {<sup>1</sup>H} NMR (125.71 MHz, 305 K, C<sub>6</sub>D<sub>6</sub>)  $\delta$ : 0.6 (Si(CH<sub>3</sub>)<sub>3</sub>), 16.5 (Pemp-*m*CH<sub>3</sub>),

16.9 (Pemp-pCH<sub>3</sub>), 20.3 (C-CH<sub>3</sub>),

21.1(Pemp-oCH<sub>3</sub>),133.3 (Cq-Pemp),

133.7 (Cq Pemp), 137.2 (Cq-Pemp)

138.8 (Cq-Pemp),

142.7 (C-SiMe<sub>3</sub>), 159.9 (C-Me).

<sup>29</sup>Si {<sup>1</sup>H} INEPT NMR (99.31 MHz, 305 K,  $d_3 = 8.4$  ms,  $d_4 = 31.3$  ms)  $C_6D_6$ )  $\delta$ : -8.6.

Die spektroskopischen Daten entsprechen der Literatur.<sup>[213]</sup>

**UV-Vis** (*n*-Pentan): [nm]  $\lambda_{\text{max}} = 290 \ (\epsilon \ [\text{Mol}^{-1}\text{cm}^{-1}] = 4.90 \times 10^3)$ 

Schmelzpunk: 97°C

# 1-Chloro,1-(4-(octyloxy)phenyl-3,4-dimethyl-2,5-bis(trimethylsilyl)germacyclopentadien 141

1-lod-4-(octyloxy)benzol (500 mg, 1.51 mmol) wurde in 20 mL THF gelöst und auf -80°C gekühlt. Zu dieser Lösung wurde langsam *n*-Butyllithium (2.0 equiv.) zugetropft. Das Reaktionsgemisch wurde für weitere zwei Stunden bei -80°C gerührt und im Anschluss langsam auf -40°C aufgewärmt. Das -40°C kalte Reaktionsgemisch wurde zu einer auf -80°C gekühlten Lösung des Dichlorgermols **133** (0.55 g, 1.51 mmol, 1.0 equiv.) in 30 mL THF zugetropft. Das Reaktionsgemisch wurde über Nacht auf Raumtemperatur erwärmt und am nächsten Tag drei Stunden auf 45°C erhitzt. Das bei der Reaktion entstandene Lithiumchlorid wurde abfiltriert und das Lösungsmittel des Filtrats unter vermindertem Druck entfernt. Das Produkt konnte in Form von braunen Kristallen erhalten werden, die abschließend noch mit wenig *n*-Pentan gewaschen wurden. In den daraufhin aufgenommenen NMR Spektren konnte eine Verunreinigung durch (Octyloxy)benzol (Verhältnis Verunreinigung zu Produkt: 1:3) festgestellt werden.

**Ausbeute:** 443 mg (55 %)

<sup>1</sup>**H NMR** (499.87 MHz, 305 K, C<sub>6</sub>D<sub>6</sub>): δ: 0.31 (s, 18H; Si(CH<sub>3</sub>)<sub>3</sub>); 0.93-0.96 (m, 3H;

CH<sub>3</sub>- nOct); 1.18-1.39 (m, 10H, nOct);

1.56-1.63 (m, 2H, CH<sub>2</sub>(nOct));

1.98 (s, 6H, C-CH<sub>3</sub>); 3.59

 $(t, 2H,= 6.5, {}^{3}J_{H-H}= 7.1CH_{2}-O(nOct);$ 

6.84-6.87 (m, 2H, Ph);

7.50-7.55 (m, 2H, Ph).

<sup>13</sup>C {<sup>1</sup>H} NMR (125.71 MHz, 305 K,  $C_6D_6$ )  $\delta$ : 1.0 (); 14.3 (CH<sub>3</sub>- nOct),

20.4 (C-CH<sub>3</sub>); 23.1 (nOct); 26.4 (nOct);

29.6 (nOct); 29.6 (nOct), 29.7 (nOct),

32.2 (nOct), 67.8 (CH<sub>2</sub>-O(nOct)); 115.2

(PhCH); 125.1 (PhCq); 134.9 (PhCH),

138.7 (C-SiMe<sub>3</sub>); 161.3 (Ph-<u>C</u>-O);

162.3 (C-Me).

<sup>29</sup>Si {<sup>1</sup>H} INEPT NMR (99.31 MHz, 305 K,  $d_3$  = 8.4 ms,  $d_4$  = 31.3 ms)  $C_6D_6$ ) δ: -8.6.

HR/MS (EI): C<sub>26</sub>H<sub>45</sub>ClGeOSi<sub>2</sub> (M), berechnet: 538.1904; gemessen: 538.1906

Der Molekülionenpeak der Verbindung ist im GC-MS(EI) nicht zu sehen.

## 1-Hydrido,1-phenyl-2,5-bis(trimethylsilyl)3,4-dimethyl-germacyclopentadien 150

Im ersten Schritt wurde LiAlH<sub>4</sub> (0.03 g, 0.70 mmol, 1 eqiuv.) in 5 mL Diethylether suspendiert. Das zuvor getrocknete Germol **139** (0.29 g, 0.70 mmol, 1 eqiuv.) wurde in 10 mL Diethylether gelöst. Die Germollösung wurde bei Raumtemperatur langsam zum LiAlH<sub>4</sub> zugetropft. Der Reaktionsfortschritt wurde mittels GC/MS überwacht. Die Reaktion war nach 16 h vollständig. Zur Reaktionsmischung wurde, unter Eisbadkühlung, vorsichtig NH<sub>4</sub>Cl-Lösung zugegeben. Die organische Phase wurde anschließend abgetrennt und die wässrige Phase noch dreimal mit Diethylether extrahiert. Die vereinigten organischen Phasen wurden über Magnesiumsulfat getrocknet. Das Lösungsmittel wurde unter vermindertem Druck entfernt. Das farblose Öl wurde 2 d am Feinvakuum getrocknet, bis das Produkt als farbloser kristalliner Feststoff vorlag.

**Ausbeute:** 0.19 g, 73%

<sup>1</sup>**H NMR** (499.87 MHz, 305 K,  $C_6D_6$ )  $\delta$ : 0.21 (s, 18H, Si(CH<sub>3</sub>)<sub>3</sub>);

2.07 (d,  ${}^{5}J_{H-H}$ = 0.8 Hz, 6H, C-CH<sub>3</sub>);

5.79 (pent, <sup>5</sup>J<sub>H-H</sub>= 0.8 Hz ,1H, Ge-H);

7.13-7.17 (m, 3 H, Ph); 7.53 (m, 2 H, Ph).

<sup>13</sup>C {<sup>1</sup>H} NMR (125.71 MHz, 305 K,  $C_6D_6$ )  $\delta$ : 1.1 (Si(CH<sub>3</sub>)<sub>3</sub>); 21.1 (C-CH<sub>3</sub>); 128.7 (CH-

Ph); 128.8 (CH-Ph); 129.3 (CH-Ph); 135.0

(CH-Ph); 137.1 (Cq-Ph); 140.1 (C-SiMe<sub>3</sub>);

163.9 (C-Me).

<sup>29</sup>Si {<sup>1</sup>H} INEPT NMR (99.31 MHz, 305 K,  $d_3 = 8.4$ ms,  $d_4 = 31.3$ ms)  $C_6D_6$ )  $\delta$ : -9.1.

**GC/MS**: Rt: 8.95 min, m/z (%): 376 (37.2) [M<sup>+</sup>], 361 (40.1) [M-CH<sub>3</sub>], 303 (21.9) [M-SiMe<sub>3</sub>], 257 (94.9) [C<sub>12</sub>H<sub>14</sub>GeSi<sub>2</sub>], 195 (100) [C<sub>10</sub>H<sub>18</sub>Si<sub>2</sub>],151 (32.5) [GePh], 135 (67.4) [C<sub>6</sub>H<sub>7</sub>Si<sub>2</sub>], 97 (31.6) [C<sub>5</sub>H<sub>9</sub>Si], 73 (15.3) [SiMe<sub>3</sub>].

HR/MS (EI): C<sub>18</sub>H<sub>20</sub>GeSi<sub>2</sub> (M), berechnet: 376.1092; gemessen: 376.1090

**IR** (ATR, neat) [cm<sup>-1</sup>]:  $\tilde{\nu}$ Ge–H = 2026.

**Elementaranalyse:** C<sub>18</sub>H<sub>20</sub>GeSi<sub>2</sub>, berechnet: C: 57.62 H: 8.06; gemessen C: 53.34. H: 7.34.

**UV-Vis** (*n*-Pentan): [nm]  $\lambda_{\text{max}}$ =224 ( $\epsilon$  [Mol<sup>-1</sup>cm<sup>-1</sup>] = 6.02\*10<sup>3</sup>)

300 ( $\epsilon$  [Mol<sup>-1</sup>cm<sup>-1</sup>] = 1.04\*10<sup>3</sup>)

Schmelzpunkt: 96°C

# 1-Hydrido,1-pentamethylphenyl-2,5-bis(trimethylsilyl)3,4-methyl-germacyclopentadien 151

Im ersten Schritt wurde LiAlH<sub>4</sub> (0.02 g, 0.60 mmol, 1 eqiuv.) in 10 mL Diethylether suspendiert. Das zuvor getrocknete Germol **140** (0.29 g, 0.60 mmol, 1 eqiuv.) wurde in 10 mL Diethylether gelöst. Die Germollösung wurde bei Raumtemperatur langsam zum LiAlH<sub>4</sub> zugetropft. Der Reaktionsfortschritt wurde mittels GC/MS überwacht. Die Reaktion war nach 20 h vollständig. Zur Reaktionsmischung wurde, unter Eisbadkühlung, vorsichtig NH<sub>4</sub>Cl-Lösung zugegeben. Die organische Phase wurde anschließend abgetrennt und die wässrige Phase noch dreimal mit Diethylether extrahiert. Die vereinigten organischen Phasen wurden über Magnesiumsulfat getrocknet. Das Lösungsmittel wurde unter vermindertem Druck entfernt. Das farblose Öl wurde 12h im Feinvakuum getrocknet, bis das Produkt als farbloser Feststoff vorlag.

**Ausbeute:** 0.15 g, 56%

<sup>1</sup>**H NMR** (499.87 MHz, 305 K,  $C_6D_6$ ) δ: 0.24 (s,18H, Si(CH<sub>3</sub>)<sub>3</sub>); 2.05 (s 3H, Pemp-pCH<sub>3</sub>); 2.06 (s<sub>br.</sub> 3H, Pemp-CH<sub>3</sub>); 2.11 (d, <sup>5</sup>J<sub>H-H</sub>= 1.2 Hz, 6H, C-CH<sub>3</sub>); 2.13 (s<sub>br</sub>, 3H, Pemp-CH<sub>3</sub>); 2.20 (s<sub>br.</sub> 3H, Pemp-CH<sub>3</sub>); 2.76 (s<sub>br.</sub> 3H, Pemp-CH<sub>3</sub>); 6.08 (pent, <sup>5</sup>J<sub>H-H</sub>= 1.2 Hz ,1H, Ge-H); <sup>13</sup>C  $\{^1H\}$  NMR (125.71 MHz, 305 K, C<sub>6</sub>D<sub>6</sub>)  $\delta$ :  $0.8 (Si(CH_3)_3);$ 16.6(br. Pemp-CH<sub>3</sub>); 16.9 (C-CH<sub>3</sub>); 17.2(br. Pemp-CH<sub>3</sub>); 19.3 (br. Pemp-CH<sub>3</sub>); 21.1(Pemp-pCH<sub>3</sub>); 22.0 (br. Pemp-CH<sub>3</sub>); 133.1 (br.Cq-Pemp); 133.5 (Cq-Pemp); 136.2 (Cq-Pemp); 138.9 (br.Cq-Pemp; 144.1 (C-SiMe<sub>3</sub>); 161.3 (C-Me).

<sup>29</sup>Si {<sup>1</sup>H} INEPT NMR (99.31 MHz, 305 K,  $d_3 = 8.4$  ms,  $d_4 = 31.3$  ms)  $C_6D_6$ )  $\delta$ : -9.5.

 $\begin{aligned} \textbf{GC/MS:} & \text{Rt: } 11.69 \text{ min, } \text{m/z (\%): } 446 \text{ (61.9) [M$^+$], } 373.10 \text{ (28.7) [M-SiMe$_3$], } 299 \text{ (20.9) [M-Pemp], } \\ 283 \text{ (28.9) [M-Pemp+Me], } 221 \text{ (100) } & [\text{C}_{10}\text{H}_{11}\text{CISi}_2], } 73 \text{ (36.5) [SiMe$_3$].} \end{aligned}$ 

**IR** (ATR, neat) [cm<sup>-1</sup>]:  $\tilde{\nu}$ Ge–H = 2026.

**HR/MS** (EI): C<sub>23</sub>H<sub>40</sub>GeSi<sub>2</sub>: berechnet: 446.1875; gemessen: 446.1872.

**Elementaranalyse:**  $C_{23}H_{40}GeSi_2$ , berechnet: C: 62.03 H: 9.05; gemessen C: 61.68. H: 10.56.

**UV-Vis** (*n*-Pentan): [nm]  $\lambda_{\text{max}}$ =288 ( $\epsilon$  [Mol<sup>-1</sup>cm<sup>-1</sup>] = 5.91\*10<sup>3</sup>).

Schmelzpunkt: 81°C

Die Signale der *ortho*- und *meta*ständigen quaternären Kohlenstoffatme der Pempgruppe sind nur schwer zu erkennen, jedoch durch das HMBC-NMR Spektrum bestätigt.

### 1-Methyl,1-phenyl-2,5-bis(trimethylsilyl)3,4-dimethyl-germacyclopentadien 144

Das zuvor getrocknete 1-Chloro,1-phenyl-germol **139** (0.3 g, 0.73 mmol) wurde in 15 ml Diethylether gelöst. Die Lösung wurde auf -90°C gekühlt. Zur farblosen Lösung wurde langsam Methyllithium (0.50 mL, 0.80 mmol, 1.1 eqiuv.) zu getropft. Die Lösung wurde über Nacht auf Raumtemperatur erwärmt.

Das luftstabile Produkt wurde filtriert und das Lösungsmittel des Filtrats unter vermindertem Druck entfernt. Der Rückstand wurde im Feinvakuum getrocknet. Das Produkt konnte als farbloses Öl isoliert werden.

**Ausbeute:** 0.23 g, 81%

<sup>1</sup>**H NMR** (499.87 MHz, 305 K,  $C_6D_6$ )  $\delta$ : 0.18 (s, 18H, Si(CH<sub>3</sub>)<sub>3</sub>);

0.76 (s, 3H, Ge-CH<sub>3</sub>); 2.09 (s, 6H, C-CH<sub>3</sub>);

7.13-7.19 (m, 3 H, Ph); 7.47 (m, 2 H, Ph).

<sup>13</sup>C {<sup>1</sup>H} NMR (125.71 MHz, 305 K, C<sub>6</sub>D<sub>6</sub>)  $\delta$ : - 5.2 (Ge-CH<sub>3</sub>); 0.9 (Si(CH<sub>3</sub>)<sub>3</sub>); 21.0 (C-CH<sub>3</sub>);

128.4 (CH-Ph); 128.9 (CH-Ph);133.7

(CH-Ph);138.8 (Cq-Ph);

142.0 (C-SiMe<sub>3</sub>); 163.0 (C-Me).

<sup>29</sup>Si INEPT NMR (99.31 MHz, 305 K,  $d_3 = 8.4$  ms,  $d_4 = 31.3$  ms)  $C_6D_6$ ) δ: -9.6.

**GC/MS**: Rt: 9.09 min, m/z (%): 390 (19.3) [M $^{+}$ ], 375 (33.9) [M-CH<sub>3</sub>], 271 (100.0) [C<sub>10</sub>H<sub>14</sub>ClGeSi],

263 (14.0) [C<sub>12</sub>H<sub>16</sub>GeSi], 135 (13.1) [C<sub>6</sub>H<sub>7</sub>Si<sub>2</sub>], 73 (7.8) [SiMe<sub>3</sub>].

**HR/MS** (EI): C<sub>19</sub>H<sub>32</sub>GeSi<sub>2</sub>: berechnet: 390.1249; gemessen: 390.1252

**Elementaranalyse:** C<sub>19</sub>H<sub>32</sub>GeSi<sub>2</sub>, berechnet: C: 58,63 H: 8,29; gemessen C: 58,56. H: 6,46.

**UV-Vis** (*n*-Pentan): [nm]  $\lambda_{\text{max}}$ =298 ( $\epsilon$  [Mol<sup>-1</sup>cm<sup>-1</sup>] = 5.41\*10<sup>3</sup>)

Schmelzpunkt: 103°C

## 1-Methyl,1-(4-(octyloxy)phenyl-3,4-dimethyl-2,5-bis(trimethylsilyl)

### germacyclopentadien 145

Das zuvor getrocknete ethersubstituierte Germol **141** (0.44 g, 0.08 mol) wurde in 20 mL Diethylether gelöst. Daraufhin wurde die auf -90°C gekühlte Lösung langsam mit Methyllithium (1.3 equiv.) versetzt und über Nacht auf Raumtemperatur erwärmt. Entstandenes Lithiumchlorid wurde abfiltriert und das Lösungsmittel des Filtrats unter vermindertem Druck entfernt. Das Produkt konnte in Form eines gelblichen Öls erhalten werden. Die im Anschluss aufgenommenen NMR Spektren zeigten wiederum eine Verunreinigung durch (Octyloxy)benzol.

**Ausbeute:** 0.21 g (49%)

<sup>1</sup>**H NMR** (499.87 MHz, 305 K,  $C_6D_6$ )  $\delta$ : 0.21 (s, 18H; Si(CH<sub>3</sub>)<sub>3</sub>);

0.78 (s, 3H; Ge-CH<sub>3</sub>); 0.91-0.95 (m, 3H;

CH<sub>3</sub>- nOct); 1.23-1.37 (m, 10H, nOct);

1.60-1.64 (m, 2H, CH<sub>2</sub>(nOct));

2.11 (s, 6H, C-CH<sub>3</sub>); 3.65

(t, 2H, = 6.4,  ${}^{3}J_{H-H}$ = 6.5 CH<sub>2</sub>-O(*n*Oct));

6.90-6.93 (m, 2H, Ph),

7.42-7.45 (m, 2H, Ph).

<sup>13</sup>C {<sup>1</sup>H} NMR (125.71 MHz, 305 K,  $C_6D_6$ )  $\delta$ : -4.9 (Ge-CH<sub>3</sub>); 1.0 ();

14.4 (CH<sub>3</sub>- nOct),

21.2(C-<u>C</u>H<sub>3</sub>); 23.1 (*n*Oct); 26.5 (*n*Oct);

29.7 (nOct);29.7 (nOct), 29.8 (nOct),

32.2 (nOct), 67.6 (CH<sub>2</sub>-O(nOct)), 115.0

(Ph CH), 128.4 (Ph Cq), 135.1 (Ph CH),

142.4 (C-SiMe<sub>3</sub>), 160.5 (Ph-C-O),

162.8 (C-Me)

<sup>29</sup>Si {<sup>1</sup>H} INEPT NMR (99.31 MHz, 305 K,  $d_3 = 8.4$  ms,  $d_4 = 31.3$  ms)  $C_6D_6$ )  $\delta$ : -9.7.

Der Molekülionenpeak der Verbindung ist im GC-MS(EI) nicht zu sehen.

### 1-Allyl,1-phenyl-2,5-bis(trimethylsilyl)3,4-dimethyl-germacyclopentadien 152

Zunächst wurde der Allylgrignard (1.22 mL, 1.22 mmol, 1 eqiuv.) in 10 mL Diethylether gelöst (der Allylgringnard wurde als 1 M Lösung gekauft (Firma Sigma Aldrich)). Das zuvor getrocknete Germol 139 (0.5 g, 1.22 mmol, 1 eqiuv.) wurde in 10 mL Diethylether gelöst. Die Germollösung wurde langsam zum Grignard getropft. Der Reaktionsfortschritt wurde mittels GC/MS überwacht. Die Reaktion war nach 14 h vollständig. Zur Reaktionsmischung wurde, unter Eisbadkühlung, vorsichtig NH<sub>4</sub>Cl-Lösung zugegeben. Die organische Phase wurde anschließend abgetrennt und die wässrige Phase noch dreimal mit Diethylether extrahiert. Die vereinigten organischen Phasen wurden über Magnesiumsulfat getrocknet. Das Lösungsmittel wurde entfernt. Das gelbe Öl wurde 10 h im Feinvakuum getrocknet, bis das Produkt als hellgelber kristalliner Feststoff vorlag.

Ausbeute: 0.50 g, 98%

<sup>1</sup>**H NMR** (499.87 MHz, 305 K,  $C_6D_6$ )  $\delta$ : 0.21 (s, 18H, Si(CH<sub>3</sub>)<sub>3</sub>);

2.06 (s, 6H, C-CH<sub>3</sub>); 2.45 (dt,  ${}^{3}J_{H-H}$ = 8.0 Hz,  ${}^{4}J_{H-H}$ = 1.1 Hz, 2H, Ge-CH<sub>2</sub>); 4.90 (m, 1H, CH=C<u>H<sub>2</sub></u>); 5.07 (m, 1H, CH=C<u>H<sub>2</sub></u>); 5.98 (m,

1H, <u>CH</u>=CH<sub>2</sub>); 7.14 (m, 3 H, Ph);

7.46 (m, 2 H, Ph).

<sup>13</sup>C {<sup>1</sup>H} NMR (125.71 MHz, 305 K,  $C_6D_6$ )  $\delta$ : 0.8 (Si(CH<sub>3</sub>)<sub>3</sub>); 21.0 (C-CH<sub>3</sub>);

21.2 (Ge-CH<sub>2</sub>);113.6 (CH=<u>C</u>H<sub>2</sub>);

128.5 (CH-Ph); 129.1 (CH-Ph); 134.0 (CH-Ph); 134.9 (CH<sub>2</sub>=<u>C</u>H); 138.4 (Cq-Ph);

140.1(C-SiMe<sub>3</sub>);164.0 (C-Me).

<sup>29</sup>Si {<sup>1</sup>H} INEPT NMR (99.31 MHz, 305 K,  $d_3 = 8.4$  ms,  $d_4 = 31.3$  ms)  $C_6D_6$ )  $\delta$ : -9.7.

**GC/MS:** Rt: 9.62 min, m/z (%): 416 (13.4) [M<sup>+</sup>], 375 (100.0) [M-Allyl], 263 (65.1) [C<sub>12</sub>H<sub>16</sub>GeSi], 151 (41.4) [GePh], 97 (15.1) [C<sub>5</sub>H<sub>9</sub>Si], 73 (17.7) [SiMe<sub>3</sub>].

HR/MS (EI): C<sub>21</sub>H<sub>34</sub>GeSi<sub>2</sub>: berechnet: 416.1405; gemessen: 416.1411

**Elementaranalyse:** C<sub>21</sub>H<sub>34</sub>GeSi<sub>2</sub>, berechnet: C: 60,73 H: 8,35; gemessen C: 58,94 H: 7,57.

**UV-Vis** (*n*-Pentan): [nm]  $\lambda_{\text{max}} = 212 \ (\epsilon \ [\text{Mol}^{-1}\text{cm}^{-1}] = 14.5. \ ^*10^3)$ 

298 ( $\epsilon$  [Mol<sup>-1</sup>cm<sup>-1</sup>] = 2.80. \*10<sup>3</sup>)

Schmelzpunkt: 120°C

# 1-Trifluormethansulfonyl,1-phenyl-2,5-bis(trimethylsilyl)3,4-dimethylgermacyclopentadien 172

Das zuvor getrocknete 1-Chloro,1-phenyl-germol **139** (0.31 g, 0.75 mmol) und das Silbertriflat (0.19 g, 0.75 mmol) wurden in je 15 ml Toluol gelöst bzw. suspendiert. Die Germollösung wurde anschließend schnell zur Silbertriflat-Suspension zugegeben. Die farblose Suspension wurde unter Lichtausschluss 16 h gerührt. Das lichtstabile Produkt wurde filtriert und das Lösungsmittel des Filtrats unter vermindertem Druck entfernt. Der Rückstand wurde in der Glovebox in Pentan gelöst und durch Verdampfen kristallisiert. Die farblosen Kristalle wurden mit Pentan gewaschen, um überschüssiges Silbertriflat zu entfernen.

**Ausbeute:** 0.29 g, 74%

<sup>1</sup>H NMR (499.87 MHz, 305 K,  $C_6D_6$ ) δ: 0.23 (s, 18H, Si(CH<sub>3</sub>)<sub>3</sub>); 1.86 (s,6H, C-

CH<sub>3</sub>); 7.07 (m, 3 H, Ph); 7.51 (m, 2 H, Ph).

<sup>13</sup>C {<sup>1</sup>H} NMR (125.71 MHz, 305 K,  $C_6D_6$ )  $\delta$ : 0.2 (Si(CH<sub>3</sub>)<sub>3</sub>); 20.6 (C-CH<sub>3</sub>);

116.0 (q,  ${}^{1}J_{C-F}$ = 318.7 Hz);

129.6 (CH-Ph); 131.5 (C-SiMe<sub>3</sub>);

131.7 (CH-Ph); 132.5 (CH-Ph);

133.3 (Cq-Ph);167.4. (C-Me).

<sup>29</sup>Si {<sup>1</sup>H} INEPT NMR (99.31 MHz, 305 K, d<sub>3</sub> = 8.4 ms, d<sub>4</sub> = 31.3 ms) C<sub>6</sub>D<sub>6</sub>) δ: 7.9.

<sup>19</sup>**F** {<sup>1</sup>**H**} **NMR** (470.30 MHz, 305 K,  $C_6D_6$ )  $\delta$ : -76.8 (d,  ${}^1J_{C-F}$ = 318.7 Hz)

HR/MS (ESI): C<sub>19</sub>H<sub>29</sub>GeSi<sub>2</sub> (ohne OTf) berechnet: 375.1020; gemessen: 375.1019

**Elementaranalyse:** C<sub>19</sub>H<sub>29</sub>GeF<sub>3</sub>O<sub>3</sub>SSi<sub>2</sub>, berechnet: C: 43,61 H: 5,59 S: 6,13; gemessen C: 42.59. H: 5.29; S: 6.09.

# 1-Trifluormethansulfonyl,1-pentamethylphenyl-2,5-bis(trimethylsilyl)3,4-dimethylgermacyclopentadien

Das zuvor getrocknete 1-Chloro,1-pemp-germol 140 (0.20 g, 0.42 mmol) und das Silbertriflat (0.11 g, 0.42 mmol) wurden in je 15 ml Toluol gelöst bzw. suspendiert. Die Germollösung wurde anschließend schnell zur Silbertriflat-Suspension zugegeben. Die farblose Suspension wurde unter Lichtausschluss 16 h gerührt. Das lichtstabile Produkt wurde filtriert und das Lösungsmittel des Filtrats unter vermindertem Druck entfernt. Der Rückstand wurde in der Glovebox in Pentan gelöst und durch Verdampfen kristallisiert. Die farblosen Kristalle wurden mit Pentan gewaschen um überschüssiges Silbertriflat zu entfernen.

```
Ausbeute: 0.20 g, 82%
```

```
<sup>1</sup>H NMR (499.87 MHz. 305 K. C_6D_6) δ:
                                                            0.27 (s, 18H, Si(CH<sub>3</sub>)<sub>3</sub>); 1.93 (sbr 6H, Pemp-
                                                            CH<sub>3</sub>); 1.94 (s. 3H, Pemp-pCH<sub>3</sub>);
                                                             1.98 (s, 6H, C-CH<sub>3</sub>),
                                                            2.05-2.24 (sbr. 3H, Pemp-CH<sub>3</sub>);
                                                             2.54-2.76 (sbr 3H, Pemp-CH<sub>3</sub>).
<sup>13</sup>C {<sup>1</sup>H} NMR (125.71 MHz, 305 K, C<sub>6</sub>D<sub>6</sub>) δ: 0.2 (Si(CH<sub>3</sub>)<sub>3</sub>), 16.2 (br, Pemp-CH<sub>3</sub>),
                                                             17.0 (Pemp-pCH<sub>3</sub>), 20.5 (C-CH<sub>3</sub>),
                                                            21.5 (br, Pemp-CH<sub>3</sub>)
                                                             115.8 (q, {}^{1}J_{C-F}= 318.8 Hz)
                                                             130.8 (Cq-Pemp); 136.2 (C-SiMe<sub>3</sub>),
                                                             138.5(Cq-Pemp), 164.4. (C-Me).
<sup>1</sup>H NMR (499.87 MHz, 373 K, C_7D_9) δ:
                                                            0.20 (s, 18H, Si(CH_3)_3);
                                                            2.00 (s. 9H, Pemp-p- und m-CH<sub>3</sub>);
                                                            2.07 (s, 6H, C-CH<sub>3</sub>),
                                                            2.31-2.42 (sbr. 6H, Pemp-oCH<sub>3</sub>);
<sup>13</sup>C{<sup>1</sup>H} NMR (125.71 MHz, 373 K, C_6D_6) \delta: 0.1 (Si(CH<sub>3</sub>)<sub>3</sub>), 15.6 (Pemp-CH<sub>3</sub>)
                                                             16.1 (Pemp-p- und m-CH<sub>3</sub>);
                                                             16.7 (C-CH<sub>3</sub>), 118.4 (d, {}^{1}J_{C-F}= 318.8 Hz);
                                                             131.2 (Cq-Pemp); 134.2 (Cq-Pemp);
                                                             136.9 (C-SiMe<sub>3</sub>); 138.1 (Cq-Pemp);
                                                             138.4(Cq-Pemp);164.3 (C-Me).
```

<sup>29</sup>Si {<sup>1</sup>H} INEPT NMR (99.31 MHz, 305 K,  $d_3$  = 8.4 ms,  $d_4$  = 31.3 ms)  $C_6D_6$ ) δ: -8.0.

<sup>19</sup>**F** {<sup>1</sup>**H**} **NMR** (470.30 MHz, 305 K,  $C_6D_6$ )  $\delta$ : -77.6 (d,  $^1J_{C-F}$ = 318.8 Hz)

MS (ESI): C<sub>23</sub>H<sub>39</sub>GeSi<sub>2</sub> (ohne OTf); berechnet: 445.1802; gemessen: 445.1800

**Elementaranalyse:** C<sub>24</sub>H<sub>39</sub>GeF<sub>3</sub>O<sub>3</sub>SSi<sub>2</sub>, berechnet: C: 48,58 H: 6,62 S: 5,54; gemessen C: 48.57. H: 6.79; S: 4.79.

**UV-Vis** (*n*-Pentan): [nm]  $\lambda_{max}$  = 294

(DCM): [nm] 
$$\lambda_{\text{max}} = 244 \ (\epsilon \ [\text{Mol}^{-1}\text{cm}^{-1}] = 2.64 \ ^*10^3)$$
  
[nm]  $\lambda_{\text{max}} = 294 \ (\epsilon \ [\text{Mol}^{-1}\text{cm}^{-1}] = 0.83. \ ^*10^3)$ 

Aufgrund der sehr breiten Signale der Pemp-Methylgruppen konnten nicht alle quaternären Kohlenstoffe der Pemp-Gruppe im <sup>13</sup>C {<sup>1</sup>H} NMR Spektrum gefunden werden.

# 1-Tetramethylimidazolium-2-yliden 1-phenyl,-2,5-bis(trimethylsilyl),3,4-dimethylgermacyclopentadien 248

In der Glovebox wurden 1-Trifluormethansulfonyl,1-phenyl-Germol **172** (0.10 g, 0.19 mmol) und  $^{\text{Me4}}$ NHC (0.02 g, 0.19 mmol, 1 eqiuv.) in 1 mL Benzol ( $C_6D_6$ ) gelöst. Die farblose Reaktionsmischung wurde 1.5 h bei Raumtemperatur gerührt. Nach einer NMR Kontrolle wurde das Lösungsmittel in der Box verdampft. Der farblose Rückstand wurde in wenig Diethylether gelöst und durch Verdampfen kristallisiert.

Ausbeute: 0.13 g, 89%

<sup>1</sup>**H NMR** (499.87 MHz, 305 K,  $C_6D_6$ )  $\delta$ : 0.22 (s, 18H, Si(CH<sub>3</sub>)<sub>3</sub>); 2.00

(s, 6H, NHC-C-CH<sub>3</sub>); 2.05 (s, 6H, C-CH<sub>3</sub>);

3.45 (s, 6H, NHC-N-CH<sub>3</sub>); 7.10

(m, 1 H, Ph); 7.32 (t,  ${}^{3}J_{C-H}=$  7.6 Hz, 2 H,

Ph); 7.76 (m, 2 H, Ph).

<sup>13</sup>C {<sup>1</sup>H} NMR (125.71 MHz, 305 K,  $C_6D_6$ )  $\delta$ : 0.8 (Si(CH<sub>3</sub>)<sub>3</sub>); 8.9 (NHC-C-CH<sub>3</sub>); 21.1 (C-

CH<sub>3</sub>); 34.4 (NHC-N-CH<sub>3</sub>);

118.2 ( $q_{schwach}$ ,  $^{1}J_{C-F}$ = 322.8 Hz);

129.4 (CH-Ph); 129.6 (CH-Ph);131.0 (Cq-Ph); 131,6 (NHC <u>C</u>-CH3) ;135.3

(CH-Ph); 137.4 (C-SiMe<sub>3</sub>);

144.1 (NHC N-C-N); 166.5. (C-Me).

<sup>29</sup>Si {<sup>1</sup>H} INEPT NMR (99.31 MHz, 305 K,  $d_3 = 8.4$  ms,  $d_4 = 31.3$  ms)  $C_6D_6$ )  $\delta$ : -8.6.

<sup>19</sup>**F** {<sup>1</sup>**H**} **NMR** (470.30 MHz, 305 K,  $C_6D_6$ )  $\delta$ : -77.5 ( $^1J_{C-F}$ = 322.8 Hz).

<sup>15</sup>N NMR (50.66 MHz, 305 K,  $C_6D_6$ )  $\delta$ : 182.3.

**MS** (ESI): C<sub>25</sub>H<sub>41</sub>GeN<sub>2</sub>Si<sub>2</sub> (ohne OTf); berechnet: 499.2020; gemessen: 499.2027

**Elementaranalyse:** C<sub>26</sub>H<sub>41</sub>GeF<sub>3</sub>N<sub>2</sub>O<sub>3</sub>SSi<sub>2</sub>, berechnet: C: 48,23 H: 6,38 S: 4,95; gemessen C: 44.94. H: 6,93; S: 6.24.

**UV-Vis** (DCM): [nm]  $\lambda_{\text{max}} = 248 \ (\epsilon \ [\text{Mol}^{-1}\text{cm}^{-1}] = 1.77. *10^3)$ 316  $(\epsilon \ [\text{Mol}^{-1}\text{cm}^{-1}] = 0.47. *10^3)$  Zudem wurde auch die Verbindung1-(2,5-di*iso*propyl-3,4dimethylimidazolium-2-yliden)1-phenyl,-2,5-bis(trimethylsilyl),3,4-dimethyl-germacyclopentadien **247** kristallisiert. Es konnten jedoch keine sauberen NMR-Spektren erhalten werden.

# 1-Tetramethylimidazolium-2-yliden 1-pentamethylphenyl,-2,5-bis(trimethylsilyl), 3,4-dimethyl-germacyclopentadien 249

In der Glovebox wurden 1-Trifluormethansulfonyl,1-pemp-Germol **243** (0.05 g, 0.08 mmol) und Me4NHC (0.01 g, 0.08 mmol, 1 eqiuv.) in 0.7 mL Benzol (C<sub>6</sub>D<sub>6</sub>) gelöst. Die farblose Reaktionsmischung wurde 20 h bei Raumtemperatur gerührt. Nach einer NMR Kontrolle wurde das Lösungsmittel in der Box verdampft. Der farblose Rückstand wurde in wenig Diethylether gelöst und durch Verdampfen kristallisiert.

**Ausbeute:** 0.05 g, 88%

CH<sub>3</sub>);

<sup>1</sup>**H NMR** (499.87 MHz, 305 K,  $C_6D_6$ )  $\delta$ : 0.13 (s, 18H, Si(CH<sub>3</sub>)<sub>3</sub>);

2.01 (s, 3H, pCH<sub>3</sub>-Pemp);

2.03 (s, 6H, NHC-C-CH<sub>3</sub>); 2.15 (s, 6H,

mCH<sub>3</sub>-Pemp); 2.19 (s,6H, C-CH<sub>3</sub>); 2.32 (s,

6H, oCH<sub>3</sub>-Pemp); 3.58

(s, 6H, NHC-N-CH<sub>3</sub>).

<sup>13</sup>C {<sup>1</sup>H} NMR (125.71 MHz, 305 K,  $C_6D_6$ )  $\delta$ : 1.2 (Si(CH<sub>3</sub>)<sub>3</sub>); 8.8 (NHC-C-CH<sub>3</sub>); 16.7 (C-

16.9 (pCH<sub>3</sub>-Pemp); 21.3 (mCH<sub>3</sub>-Pemp);

22.8 (oCH<sub>3</sub>-Pemp); 35.1 (NHC-N-CH<sub>3</sub>);

118.7 (q,  ${}^{1}J_{C-F}$ = 321.8 Hz);

130.7 (NHC C-CH3); 131.3 (Ge-Pemp);

134.6 (Pemp); 138.3 (Pemp); 139.3

(Pemp); 140.8 (C-SiMe<sub>3</sub>); 148.3 (NHC N-

C-N);165.0 (C-Me).

<sup>29</sup>Si {<sup>1</sup>H} INEPT NMR (99.31 MHz, 305 K,  $d_3 = 8.4$  ms,  $d_4 = 31.3$  ms)  $C_6D_6$ )  $\delta$ : -7.7.

<sup>19</sup>**F** {<sup>1</sup>**H**} **NMR** (470.30 MHz, 305 K,  $C_6D_6$ )  $\delta$ : -77.6 (<sup>1</sup> $J_{C-F}$ = 321.8 Hz).

<sup>15</sup>N NMR (50.66 MHz, 305 K,  $C_6D_6$ )  $\delta$ : 180.9.

MS (ESI): C<sub>30</sub>H<sub>51</sub>GeN<sub>2</sub>Si<sub>2</sub> (ohne OTf); berechnet: 569.2803; gemessen: 569.2798

 $\textbf{Elementaranalyse:} \ C_{31}H_{51}GeF_3N_2O_3SSi_2, \ berechnet: \ C:\ 51,89; \ H:\ 7,16\ S:\ 4,46; \ gemessen\ C:$ 

54,20. H: 8.46 S:3.38.

**UV-Vis** (DCM): [nm]  $\lambda_{\text{max}} = 244 \ (\epsilon \ [\text{Mol}^{-1}\text{cm}^{-1}] = 1.77. \ ^*10^3)$ 

294 ( $\epsilon$  [Mol<sup>-1</sup>cm<sup>-1</sup>] = 0.35. \*10<sup>3</sup>)

# 1-Triethylphosphinoxid 1-phenyl,-2,5-bis(trimethylsilyl), 3,4-dimethylgermacyclopentadien 231

In der Glovebox wurden 1-Trifluormethansulfonyl,1-phenyl-Germol **172** (0.04 g, 0.08 mmol) und Triethylphosphanoxid (0.01 g, 0.08 mmol, 1 eqiuv.) in 1 mL Benzol ( $C_6D_6$ ) gelöst. Die farblose Reaktionsmischung wurde 1 h bei Raumtemperatur gerührt. Nach einer NMR Kontrolle wurde das Lösungsmittel in der Box verdampft. Der farblose Rückstand wurde in wenig Diethylether gelöst und durch Verdampfen kristallisiert.

**Ausbeute:** 0.04 g, 80%

<sup>1</sup>**H NMR** (499.87 MHz, 305 K,  $C_6D_6$ )  $\delta$ : 0.10 (s, 18H, Si(CH<sub>3</sub>)<sub>3</sub>);

1.19 (dt ,  ${}^{3}J_{P-H}$ = 18.8Hz,  ${}^{3}J_{H-H}$ = 7.8Hz, 9H Et<sub>3</sub>); 2.12 (s, 6H, C-CH<sub>3</sub>); 2.33 (m, 6 H, Et<sub>3</sub>) 7.16 (tt,  ${}^{3}J_{H-H}$ = 7.5 Hz,  ${}^{4}J_{H-H}$ = 1.4 Hz 1H,

Ph); 7.23 (t, <sup>3</sup>J<sub>C-H</sub>= 7.5 Hz, 2 H, Ph);

7.76 (m, 2 H, Ph).

<sup>13</sup>C {<sup>1</sup>H} NMR (125.71 MHz, 305 K, C<sub>6</sub>D<sub>6</sub>)  $\delta$ : 0.2 (Si(CH<sub>3</sub>)<sub>3</sub>); 5.2 (d, <sup>2</sup>J<sub>C-P</sub>= 5.2 Hz, Et<sub>3</sub>);

17.8 (d,  ${}^{1}J_{C-P}$ = 62.1 Hz Et<sub>3</sub>, 20.6 (C-CH<sub>3</sub>);

118.5 ( $q_{schwach}$ ,  $^{1}J_{C-F}$ = 321.8 Hz);

129.2 (CH-Ph); 131.0 (CH-Ph); 131.3

(C-SiMe<sub>3</sub>); 131.9 (CH-Ph); 133.5 (Cq-Ph);

169.0 (C-Me).

<sup>29</sup>Si {<sup>1</sup>H} INEPT NMR (99.31 MHz, 305 K,  $d_3 = 8.4$  ms,  $d_4 = 31.3$  ms)  $C_6D_6$ )  $\delta$ : -8.7.

<sup>19</sup>**F** {<sup>1</sup>**H**} **NMR** (470.30 MHz, 305 K,  $C_6D_6$ )  $\delta$ : -77.6 (  $^1J_{C-F}$ = 321,8 Hz).

<sup>31</sup>**P**{<sup>1</sup>**H**} **NMR** (202.35 MHz, 305 K,  $C_6D_6$ )  $\delta$ : 93.2.(  $^1J_{C-P}$ = 62.1 Hz).

MS (ESI): C<sub>24</sub>H<sub>44</sub>GeOPSi<sub>2</sub> (ohne OTf); berechnet: 509.1880; gemessen: 509.1888

**Elementaranalyse:**  $C_{25}H_{44}F_3GeO_4PSSi_2$ , berechnet: C: 45,67 H: 6,75 S: 4,88; gemessen C: 47.11. H: 7.87; S: 4.84.

Das Gutmann-Beckett-Addukt wurde auch mit Triphenylphosphanoxid 259 kristallisiert.

# 1-Triethylphosphinoxid-1-pentamethylphenyl,-2,5-bis(trimethylsilyl),3,4-dimethylgermacyclopentadien 257

In der Glovebox wurden 1-Trifluormethansulfonyl,1-pemp-Germol **243** (0.05 g, 0.08 mmol) und Triethylphosphanoxid (0.01 g, 0.08 mmol, 1 eqiuv.) in 0.7 mL Benzol ( $C_6D_6$ ) gelöst. Die farblose Reaktionsmischung wurde 16 h bei Raumtemperatur gerührt. Nach einer NMR Kontrolle wurde das Lösungsmittel in der Box verdampft. Der farblose Rückstand wurde in wenig Diethylether gelöst und durch Verdampfen kristallisiert.

**Ausbeute:** 0.06 g, 100%

<sup>1</sup>**H NMR** (499.87 MHz, 305 K,  $C_6D_6$ )  $\delta$ : 0.11 (s, 18H, Si(CH<sub>3</sub>)<sub>3</sub>);

1.25 (m, 9H CH<sub>3</sub>-Et<sub>3</sub>);

1.89 (sbr., 3H, Pemp-CH<sub>3</sub>);

1.95 (s., 3H, Pemp-pCH<sub>3</sub>);

1.97-2.01 (sbr., 3H, Pemp- CH<sub>3</sub>);

2.01-2.03 (sbr., 3H, Pemp-CH<sub>3</sub>);

2.16 (s,6H, C-CH<sub>3</sub>); 2.33 (m. 6H,CH<sub>2</sub>-Et<sub>3</sub>);

2.45 (sbr., 3H, Pemp-CH<sub>3</sub>).

<sup>13</sup>C {<sup>1</sup>H} NMR (125.71 MHz, 305 K, C<sub>6</sub>D<sub>6</sub>)  $\delta$ : 0.4 (Si(CH<sub>3</sub>)<sub>3</sub>); 5.6 (d, <sup>2</sup>J<sub>C-P</sub>= 4.6 Hz, Et<sub>3</sub>);

16.1 (br, Pemp-CH<sub>3</sub>); 16.7(br, Pemp-CH<sub>3</sub>);

16.9 (Pemp-pCH<sub>3</sub>);

18.6 (d,  ${}^{1}J_{C-P}$ = 62.0 Hz Et<sub>3</sub>); 20.9 (C-CH<sub>3</sub>),

21.2 (br, Pemp-CH<sub>3</sub>); 118.6 (q<sub>schwach</sub>, <sup>1</sup>J<sub>C-F</sub>=

322.6 Hz, OTf); 130.7 (Pemp Cq);

133.4 (br, Pemp Cq); 135.2 (br, Pemp Cq)

137.1 (C-SiMe<sub>3</sub>), 138.2 (Pemp Cq),

166.2 (C-Me).

<sup>29</sup>Si {<sup>1</sup>H} INEPT NMR (99.31 MHz, 305 K,  $d_3 = 8.4$  ms,  $d_4 = 31.3$  ms)  $C_6D_6$ )  $\delta$ : -9.0.

<sup>19</sup>**F** {<sup>1</sup>**H**} **NMR** (470.30 MHz, 305 K,  $C_6D_6$ )  $\delta$ : -77.6 (<sup>1</sup> $J_{C-F}$ = 322,6 Hz)

<sup>31</sup>P {<sup>1</sup>H} NMR (202.35 MHz, 305 K,  $C_6D_6$ )  $\delta$ : 92.7 (<sup>1</sup>J<sub>C-P</sub>= 62.0 Hz).

MS (ESI): C<sub>23</sub>H<sub>39</sub>GeSi<sub>2</sub> (ohne OTf und Et<sub>3</sub>PO): berechnet: 445.1802;

gemessen: 445.1800

**Elementaranalyse:**  $C_{30}H_{54}F_3GeO_4PSSi_2$ , berechnet: C: 50,14 H: 7,74 O:9,16 S: 4,55;

gemessen C: 54.16. H: 9.77 S: 3.94.

#### **5.2.3 Silole**

# 1-Chloro,1-phenyl-3,4-dimethyl-2,5-bis(trimethylsilyl)3,4-diphenyl-silacyclopentadien 245

Das zuvor getrocknete Dichlorsilol **240** (0.60 g, 1.35 mmol) wurde in 40 ml Diethylether gelöst. Die Lösung wurde auf -90°C gekühlt. Zur farblosen Lösung wurde langsam Phenyllithium (0.77 mL, 1.48 mmol, 1.0 eqiuv) zu getropft. Die Lösung wurde über Nacht auf Raumtemperatur erwärmt. Eine GC-MS Reaktionskontrolle bestätigte das vollständige Ablaufen der Reaktion. Die Salze wurden filtriert und das Lösungsmittel unter vermindertem Druck entfernt.

Der farblose Feststoff wird in der Glovebox in wenig Pentan gelöst und durch verdampfen kristallisiert.

**Ausbeute:** 0.55 g, 83%

<sup>1</sup>**H NMR** (499.87 MHz, 305 K,  $C_6D_6$ )  $\delta$ : -0.02 (s, 18H, Si(CH<sub>3</sub>)<sub>3</sub>);

6.84-6.95 (m, 10 H, Ph);

7.24-7.31 (m, 3 H, Si-Ph);8.00 (m, 2 H, Si-

Ph).

<sup>13</sup>C {<sup>1</sup>H} NMR (125.71 MHz, 305 K, C<sub>6</sub>D<sub>6</sub>) δ: 0.3 (Si(CH<sub>3</sub>)<sub>3</sub>); 126.7 (Ph-CH); 127.2 (Ph-

CH); 128.4 (Ph-CH);128.4 (Si-Ph-CH); 130.7 (Si-Ph-CH); 131.5 (Si-Ph-Cq); 133.8 (Si-Ph-CH); 140.0 (C-SiMe<sub>3</sub>); 141.4 (Cq-

Ph); 171.6 (C=C-Ph).

<sup>29</sup>Si {<sup>1</sup>H} NMR (99.31 MHz, 305 K, C<sub>6</sub>D<sub>6</sub>) δ: -8.4 (Si(CH<sub>3</sub>)<sub>3</sub>), 17.9 (Si-Ph, Cl).

**GC/MS**: Rt: 15.34 min, m/z (%): 489 (25.0) [M<sup>+</sup>], 473 (26.7) [M<sup>+</sup>-CH<sub>3</sub>], 438 (35.1) [M<sup>+</sup>-Cl und

 $CH_{3}$ ], 410 (100) [M<sup>+</sup>-Ph], 395 (35.9) [M<sup>+</sup>-Ph und Me], 221 (81.1) [C<sub>10</sub>H<sub>11</sub>ClSi<sub>2</sub>].

HR/MS (EI): C<sub>28</sub>H<sub>33</sub>Si<sub>3</sub>: berechnet: 488.1573; gemessen: 488.1586

**Elementaranalyse:** C<sub>28</sub>H<sub>33</sub>ClSi<sub>3</sub>, berechnet: C:68,74 H: 6,80; gemessen: C:69.31. H: 7.09.

**UV-Vis** (*n*-Pentan): [nm]  $\lambda_{\text{max}} = 316 \ (\epsilon \ [\text{Mol}^{-1}\text{cm}^{-1}] = 4.89. \ ^*10^3)$ 

Schmelzpunkt: 101°C

### 1-Chloro,1-mesityl-2,5-bis(trimethylsilyl)3,4-diphenyl-silacyclopentadien 239

Mesitylbromid (0.80 g, 4.04 mmol, 3 equiv.) wurde in 20 ml Diethylether gelöst und auf -80°C gekühlt.

*t*-Butyllithium (2.85 mL, 4.57 mmol. 3.4 equiv.) wird langsam zur Lösung zu getropft. Die Suspension wird innerhalb einer Stunde auf -30°C erwärmt und anschließend wieder auf -80°C gekühlt.

Das zuvor getrocknete Dichlorgermol **240** (0.6 g, 1.35 mmol) wurde in 20 ml Tetrahydrofuran gelöst. Die Lösung wurde auf -80°C gekühlt. Die farblose Silol-Lösung wurde langsam zur Mesityllithium-Suspension getropft. Die grüne Suspension wurde über Nacht auf Raumtemperatur erwärmt und entfärbte sich. Anschließend wurde das Lösungsmittel unter vermindertem Druck entfernt. Der farblose Rückstand wurde in Pentan suspendiert und die Salze filtriert. Das Lösungsmittel wurde entfernt. Nach der Destillation des Rückstandes (100°C; p= 1.4 x 10<sup>-2</sup> mbar) konnte das Produkt als hellgelber Feststoff erhalten werden.

**Ausbeute:** 0.50 g, 70%

<sup>1</sup>**H NMR** (499.87 MHz, 305 K,  $C_6D_6$ ) δ:

0.03 (s, 18H, Si(CH<sub>3</sub>)<sub>3</sub>), 2.11 (s, 3H, *p*CH<sub>3</sub>-Mes); 2.76 (s, 3H, *o*CH<sub>3</sub>-Mes), 3.04 (s, 3H, *o*CH<sub>3</sub>-Mes), 6.84 (s, 2H, CH-Mes); 6.87-6.98 (m, 10H, Ph).

Die spektroskopischen Daten entsprechen der Literatur<sup>[171]</sup>

**UV-Vis** (*n*-Pentan): [nm]  $\lambda_{\text{max}} = 240 \ (\epsilon \ [\text{Mol}^{-1}\text{cm}^{-1}] = 13.89 \ ^*10^3)$  $\lambda_{\text{max}} = 316 \ (\epsilon \ [\text{Mol}^{-1}\text{cm}^{-1}] = 2.26 \ ^*10^3)$ 

# 1-Hydrido,1-mesityl-2,5-bis(trimethylsilyl)3,4-diphenyl-silacyclopentadien 238

Im ersten Schritt wurde LiAlH<sub>4</sub> (0.01 g, 0.28 mmol, 1 eqiuv.) in 10 mL Tetrahydrofuran suspendiert. (Das LiAlH<sub>4</sub> wurde in der Glovebox gelagert). Das zuvor getrocknete Silol **239** (0.15 g, 0.28 mmol, 1 eqiuv.) wurde in 10 mL Tetrahydrofuran gelöst. Die Silollösung wurde bei Raumtemperatur langsam zum LiAlH<sub>4</sub> zu getropft. Der Reaktionsfortschritt wurde mittels GC/MS überwacht. Die Reaktion war nach 20 h vollständig. Zur Reaktionsmischung wurde, unter Eisbadkühlung, vorsichtig NH<sub>4</sub>Cl-Lösung zugegeben. Die organische Phase wurde anschließend abgetrennt und die wässrige Phase noch dreimal mit Diethylether extrahiert. Die vereinigten organischen Phasen wurden über Magnesiumsulfat getrocknet. Das Lösungsmittel wurde unter vermindertem Druck entfernt. Das hellgelbe Öl wurde 12h im Feinvakuum getrocknet.

Ausbeute: 0.13g, 94%

<sup>1</sup>H NMR (499.87 MHz, 305 K, C<sub>6</sub>D<sub>6</sub>) δ: 0.02 (s, 18H, Si(CH<sub>3</sub>)<sub>3</sub>), 2.15 (s 3H,  $\rho$ CH<sub>3</sub>-

Mes); 2.59 (s, 3H, oCH<sub>3</sub>-Mes); 2.81

(s, 3H, oCH<sub>3</sub>-Mes); 5.79 (s, 1H, Si-H);

6.85 (s, 1H, CH-Mes); 6.88 (s, 1H, CH-

Mes); 6.96 (t,  ${}^{2}J_{H-H}$ = 7.5 Hz, 6H, Ph);

7.01 (m, 4H, Ph).

<sup>13</sup>C {<sup>1</sup>H} NMR (125.71 MHz, 305 K,  $C_6D_6$ )  $\delta$ : 0

0.7 (Si(CH<sub>3</sub>)<sub>3</sub>); 20.3 (oCH<sub>3</sub>-Mes);

21.3 (pCH<sub>3</sub>-Mes); 25.1 (oCH<sub>3</sub>-Mes);

126.7 (Mes-CH); 126.9 (Mes-Cq); 127.5

(Ph-CH); 128.7 (Ph-CH); 129.0 (Mes-CH);

129.7 (Ph-CH); 140.0 (Mes-Cq-CH<sub>3</sub>);

143.2 (Ph-Cq); 144.6 (C-SiMe<sub>3</sub>); 145.2

(Mes-Cq-CH<sub>3</sub>); 146.1 (Mes-Cq-CH<sub>3</sub>);

170.7 (C=C-Ph).

<sup>29</sup>**Si** {<sup>1</sup>**H**} **NMR** (99.31 MHz, 305 K, C<sub>6</sub>D<sub>6</sub>):

-9.2 (Si(CH<sub>3</sub>)<sub>3</sub>) 14.7 (Si-H, Mes).

**GC/MS:** Rt: 9.96 min, m/z (%): 496 (100) [ $M^+$ , 423 (75.2) [M-SiMe<sub>3</sub>], 376 (43.8) [M-(Mes+H)],

 $303 \; (60.3) \; [\text{M-}(\text{Mes+H+SiMe}_3)], \; 177 \; (82.0) \; [\text{C}_{14}\text{H}_{10}], \; 73 \; (31.8) \; [\text{SiMe}_3].$ 

**HR/MS** (EI): C<sub>31</sub>H<sub>40</sub>Si<sub>3</sub> (M+H), berechnet: 496.2432; gemessen: 496.2428

**IR** (ATR, neat) [cm<sup>-1</sup>]:  $\tilde{\nu}$ Si–H = 2014.

**UV-Vis** (*n*-Pentan): [nm]  $\lambda_{\text{max}} = 318 \ (\epsilon \ [\text{Mol}^{-1}\text{cm}^{-1}] = 3.34 \ ^*10^3)$ 

## 1-Allyl,1-mesityl-2,5-bis(trimethylsilyl)3,4-diphenyl-silacyclopentadien 242

Das zuvor getrocknete Silol **239** (0.5 g, 0.94 mmol.) wurde in 30 mL Tetrahydrofuran gelöst. Der Allyl-Gringnard (4.70 mmol, 4.7 mL (1.0M Lösung in Diethylether), 5 eqiuv.) wird schnell zu dieser Lösung gegeben. Die Lösung wird auf 60°C erhitzt. Der Reaktionsfortschritt wurde mittels GC/MS überwacht. Die Reaktion war nach 3 h vollständig. Zur Reaktionsmischung wurde, unter Eisbadkühlung, vorsichtig NH<sub>4</sub>Cl-Lösung zugegeben. Die organische Phase wurde anschließend abgetrennt und die wässrige Phase noch dreimal mit Diethylether extrahiert. Die vereinigten organischen Phasen wurden über Magnesiumsulfat getrocknet. Das Lösungsmittel wurde entfernt. Das gelbe Öl wurde 16 h im Feinvakuum getrocknet, bis das Produkt als hellgelber Feststoff vorlag.

**Ausbeute:** 0.50 g, 98%

<sup>1</sup>H NMR (499.87 MHz, 305 K,  $C_6D_6$ ) δ: 0.06 (s, 18H, Si(CH<sub>3</sub>)<sub>3</sub>); 2.14 (s,3H, pCH<sub>3</sub>-

Mes);2.56 (s.5H,  $oCH_3$ -Mes+  $CH_2$ -CH);

2.72 (s, 3H, oCH<sub>3</sub>-Mes);

5.13 (m, 2H, CH=CH<sub>2</sub>); 6.00-6.09

(m, 1H, C<u>H</u>=CH<sub>2</sub>);

6.82 (s, 1H, CH-Mes); 6.87 (s, 1H, CH-

Mes); 6.98 (t,  ${}^{2}J_{H-H}=$  7.5 Hz, 6H, Ph);

7.02-7.07 (m, 4H, Ph).

<sup>13</sup>C {<sup>1</sup>H} NMR (125.71 MHz, 305 K,  $C_6D_6$ )  $\delta$ : 0.6 (Si(CH<sub>3</sub>)<sub>3</sub>); 20.6 (oCH<sub>3</sub>-Mes);

21.0 (pCH<sub>3</sub>-Mes); 25.6 (CH<sub>2</sub>-CH); 25.7

(oCH<sub>3</sub>-Mes); 114.3 (CH=CH<sub>2</sub>);

126.6 (Ph-CH); 127.4 (Ph-CH);

129.2 (br, Mes-Cq\*); 129.6 (Mes-CH);

130.3 (Ph-CH); 133.9 (<u>C</u>H=CH<sub>2</sub>); 139.5

(Mes-Cq-CH<sub>3</sub>); 143.4 (Ph- Cq);

144.9 (Mes-Cq-CH<sub>3</sub>); 145.9(C-SiMe<sub>3</sub>);

146.3 (Mes-Cq-CH<sub>3</sub>); 169.9 (C=C-Ph).

<sup>29</sup>Si {<sup>1</sup>H} NMR (99.31 MHz, 305 K, C<sub>6</sub>D<sub>6</sub>): -10.1 (Si(CH<sub>3</sub>)<sub>3</sub>); 10.8 (Si- Mes, Allyl).

**GC/MS:** Rt: 11.59 min, m/z (%): 536 (2.6) [M<sup>+</sup>], 495 (100.0) [M<sup>+</sup>-Allyl], 416 (67.3) [M<sup>+</sup>-Mes], 375 (43.8) [M-(Mes+Allyl)], 177 (22.6) [C<sub>14</sub>H<sub>10</sub>], 147 (34.8) [Si-Mes], 73 (31.8) [SiMe<sub>3</sub>].

**HR/MS** (EI): C<sub>34</sub>H<sub>44</sub>Si<sub>3</sub>: berechnet: 536.2745; gemessen: 536.2753

**Elementaranalyse:** C<sub>34</sub>H<sub>44</sub>Si<sub>3</sub>, berechnet: C:76,05 H: 8,26; gemessen: C:74.97 H: 8.06.

**UV-Vis** (*n*-Pentan): [nm]  $\lambda_{\text{max}} = 208 \ (\epsilon \ [\text{Mol}^{-1}\text{cm}^{-1}] = 3.75 \ ^*10^3)$ 

 $\lambda_{max}$  = 240 ( $\epsilon$  [Mol<sup>-1</sup>cm<sup>-1</sup>] = 2.12. \*10<sup>3</sup>)

Schmelzpunkt: 105°C

<sup>\*</sup> Zuordnung über das <sup>1</sup>H <sup>13</sup>C HMBC

# 1-Trifluormethansulfonyl,1-phenyl-2,5-bis(trimethylsilyl)3,4-diphenyl – silacyclopentadien 244

Das zuvor getrocknete 1-Chloro,1-phenyl-germol **245** (0.39 g, 0.81 mmol) und das Silbertriflat (0.21 g, 0.81 mmol) wurden in 30 ml Toluol gelöst bzw. suspendiert. Die farblose Suspension wurde unter Lichtausschluss 48 h gerührt. Hierbei entsteht eine braune Suspension. Das lichtstabile Produkt wurde filtriert und das Lösungsmittel des Filtrats unter vermindertem Druck entfernt. Der Rückstand wurde in der Glovebox in Pentan gelöst und durch Verdampfen kristallisiert. Die farblosen Kristalle wurden mit Pentan gewaschen um überschüssiges Silbertriflat zu entfernen.

**Ausbeute:** 0.37 g, 92%

<sup>1</sup>H NMR (499.87 MHz, 305 K,  $C_6D_6$ ) δ: -0.02 (s, 18H, Si(CH<sub>3</sub>)<sub>3</sub>); 6.85 (m,

2H, Ph);6.91 (t,  ${}^{3}J_{H-H}=$  7.3 Hz, 4H,

Ph); 6.95 (m, 4H, Ph); 7.21 (m, 3H,

Si-Ph); 7.85 (m, 2H, Si-Ph).

<sup>13</sup>C {<sup>1</sup>H} NMR (125.71 MHz, 305 K,  $C_6D_6$ )  $\delta$ : 0.4(Si(CH<sub>3</sub>)<sub>3</sub>); 118.1 (q,  $^1J_{C-F}$ =

318.9 Hz, OTf); 127.4 (Ph-CH);

127.6 (Ph-CH); 128.9 (Si-Ph-Cq);

129.1 (Ph-CH); 131.9 (Si-Ph-CH);

133.5 (2 Si-Ph-CH);135.4(C-

SiMe<sub>3</sub>);141.1 (Cq-Ph);

175.5 (C=C-Ph).

<sup>29</sup>Si {<sup>1</sup>H} NMR (99.31 MHz, 305 K, C<sub>6</sub>D<sub>6</sub>) δ: -8.3 (Si(CH<sub>3</sub>)<sub>3</sub>);16.5 (Si-Ph, OTf).

<sup>19</sup>**F** {<sup>1</sup>**H**} **NMR** (470.30 MHz, 305 K,  $C_6D_6$ )  $\delta$ : -76.3 (  $^1J_{C-F}$ = 318.9 Hz).

HR/MS (ESI): C<sub>28</sub>H<sub>34</sub>F<sub>3</sub>O<sub>3</sub>SSi<sub>3</sub> (M+H), berechnet: 591.1489; gemessen: 591.1469

 $\textbf{Elementaranalyse:} \ C_{28} H_{33} F_3 O_3 SSi_3, \ berechnet: C:57.77 \ H: 5.52; \ O: 7.96, \ S: 5.32 \ gemessen$ 

C:58.37. H: 6.63 S: 4.54.

**UV-Vis** (DCM):  $[nm]\lambda_{max} = 244 (\epsilon [Mol^{-1}cm^{-1}] = 1.63. *10^3)$ 

 $\lambda_{\text{max}} = 318 \ (\epsilon \ [\text{Mol}^{-1}\text{cm}^{-1}] = 0.37. \ ^*10^3)$ 

# 1-Tetramethylimidazol-2-yliden-1-phenyl,-2,5-bis(trimethylsilyl),3,4-dipehnyl – silacyclopentadien 250

In der Glovebox wurde 1-Trifluormethansulfonyl,1-Phenyl-Silol **244** (0.05 g, 0.08 mmol) zunächst in 2 ml Diethylether gelöst und innerhalb von 3h im Kühlschrank auf -30°C gekühlt. Das Vial befand sich hierfür in einem Aluminiumblock, welcher die Temperatur über mehrere Stunden aufrechterhalten kann. Anschließend wurde bei -30°C Me4NHC (0.02 g, 0.20 mmol, 2.5 eqiuv.) zugegeben. Die Reaktionsmischung wurde 2 h gerührt. Währenddessen bildet sich eine farblose Suspension. Das Produkt konnte als farbloser Feststoff zusammen mit dem als Nebenprodukte entstandenem Imidazolium ab dekantiert werden. Der Feststoff wurde zwei Mal mit kaltem Diethylether gewaschen. Aufgrund der Verunreinigung mit Imidazolium wurde keine Ausbeute bestimmt.

<sup>1</sup>H NMR (499.87 MHz, 305 K, C<sub>6</sub>D<sub>5</sub>Cl) δ: 0.18 (s, 18H, Si(CH<sub>3</sub>)<sub>3</sub>); 2.08 (s, 6H, NHC-

C- CH<sub>3</sub>); 3.68 (s, 6H, NHC-N-CH<sub>3</sub>);

6.88-7.00 (m, 10 H, Ph); 7.41 (m, 1 H, Si-

Ph); 7.46 (m, 2 H, Si-Ph);

7.96 (m, 2H, Si-Ph).

<sup>13</sup>C (<sup>1</sup>H) NMR (125.71 MHz, 305 K, C<sub>6</sub>D<sub>5</sub>Cl) δ: 0.7 (Si(CH<sub>3</sub>)<sub>3</sub>); 8.9 (NHC-C-CH<sub>3</sub>);

34.8 (NHC-N-CH<sub>3</sub>);

120.9 (d,  ${}^{1}J_{C-F}$ = 323.9 Hz);

127.4 (Ph-CH); 127.6 (Ph-CH);

128.2\* (Si-Ph-Cq); 128.3\* (Ph-CH);

129.2\* (Si-Ph-CH); 132.1 (NHC C-CH3);

132.2 (Si-Ph-CH); 136.0 (Si-Ph-CH);

140.0(C-SiMe<sub>3</sub>); 141.1 (Cq-Ph);

141.9 (N-C-N):175.1 (C=Cq-Ph).

<sup>29</sup>Si {<sup>1</sup>H} NMR (99.31 MHz, 305 K, C<sub>6</sub>D<sub>5</sub>Cl) δ: -8.3 (Si(CH<sub>3</sub>)<sub>3</sub>); -6.3 (Si-Ph,Imidazolium).

<sup>19</sup>**F** {<sup>1</sup>**H**} **NMR** (470.30 MHz, 305 K,  $C_6D_5CI$ )  $\delta$ : -77.5 (<sup>1</sup> $J_{C-F}$ = 323.9 Hz).

<sup>15</sup>N NMR (50.66 MHz, 305 K,  $C_6D_5CI$ )  $\delta$ : 184.9.

**HR/MS** (LIFDI): C<sub>35</sub>H<sub>45</sub>N<sub>2</sub>Si<sub>3</sub> (M), berechnet: 577.2885; gemessen: 577.2875

**UV-Vis** (DCM): [nm]
$$\lambda_{max}$$
 = 254 ( $\epsilon$  [Mol<sup>-1</sup>cm<sup>-1</sup>] = 2.33. \*10<sup>3</sup>) 
$$\lambda_{max}$$
 = 318 ( $\epsilon$  [Mol<sup>-1</sup>cm<sup>-1</sup>] = 1.82 \*10<sup>3</sup>)

<sup>\*</sup>Signale liegen unter dem Lösungsmittel. Die Zuordnung erfolgte über das <sup>1</sup>H<sup>13</sup>C HMQC/HMBC.

# 1-Triethylphosphinoxid-1-phenyl,-2,5-bis(trimethylsilyl),3,4-diphenyl – silacyclopentadien 258

In der Glovebox wurden 1-Trifluormethansulfonyl,1-phenyl-Silol **244** (0.02 g, 0.03 mmol) und Triethylphosphanoxid (0.01 g, 0.03 mmol, 1 eqiuv.) in 0.7 mL Benzol ( $C_6D_6$ ) gelöst. Die farblose Reaktionsmischung wurde 1 h bei Raumtemperatur gerührt. Nach einer NMR-Kontrolle wurde das Lösungsmittel in der Box verdampft. Hierbei entstand ein farbloser kristalliner Feststoff.

**Ausbeute:** 0.02 g, 68%

<sup>1</sup>**H NMR** (499.87 MHz, 305 K,  $C_6D_6$ )  $\delta$ : 0.17 (s, 18H, Si(CH<sub>3</sub>)<sub>3</sub>);

1.40 (dt ,  ${}^{3}J_{P-H}$ = 19.7Hz,  ${}^{3}J_{H-H}$ = 7.7Hz, 9H

 $Et_{3});\ 2.68\ (m.\ 6H,\ Et_{3});\ 6.87\text{-}7.07\ (m,\ 10H,$ 

Ph); 7.26 (m, 1H, Si-Ph); 7.35 (m, 2H, Si-

Ph); 7.73 (m, 2H,Si-Ph).

<sup>13</sup>C {<sup>1</sup>H} NMR (125.71 MHz, 305 K, C<sub>6</sub>D<sub>6</sub>)  $\delta$ : 0.2 (Si(CH<sub>3</sub>)<sub>3</sub>), 4.9 (d, <sup>2</sup>J<sub>C-P</sub>= 5.6 Hz, Et<sub>3</sub>);

17.4 (d,  ${}^{1}J_{C-P}$ = 60.4 Hz Et<sub>3</sub>);

120.5 (d, ${}^{1}J_{C-F}$ = 319.9Hz); 126.8 (CH-Ph);

126.9 (CH-Ph); 128.2 (CH-Si-Ph); 128.5

(CH, Ph); 131.2 (CH-Si-Ph);

132.7 (CH-Si-Ph); 136.1 (C-SiMe<sub>3</sub>);

140.2 (Cq-Si-Ph);

142.6 (Cq-Ph); 175.1(C-Me).

<sup>29</sup>Si  $\{^{1}H\}$  NMR (99.31 MHz, 305 K, C<sub>6</sub>D<sub>6</sub>)  $\delta$ : -9.1 (Si(CH<sub>3</sub>)<sub>3</sub>);

9.6 (d,  ${}^{3}J_{Si-P}$ = 14.6 Hz) (Si- Ph, OPEt<sub>3</sub>).

<sup>19</sup>**F** {<sup>1</sup>**H**} **NMR** (470.30 MHz, 305 K, C<sub>6</sub>D<sub>6</sub>)  $\delta$ : -77.7 (d, <sup>1</sup>J<sub>C-F</sub>= 319.9 Hz).

<sup>31</sup>P {<sup>1</sup>H} NMR (202.35 MHz, 305 K, C<sub>6</sub>D<sub>6</sub>)  $\delta$ : 98.9 ( ${}^{1}J_{C-P}$ = 60.4 Hz,  ${}^{3}J_{Si-P}$ = 14.6 Hz).

Elementaranalyse: C<sub>35</sub>H<sub>48</sub>F<sub>3</sub>O<sub>4</sub>PSSi<sub>3</sub>, berechnet: C:57.04 H: 6.56; S: 4.35;

Gemessen: C:51.85. H: 9.58 S: 3.26.

### 5.2.4 Lewis-Säure katalysierte Diels-Alder-Reaktionen

# 3,4-Dimethyl-3-cyclohexen-1-carboxylsäuremethylester 265-Aluminumtrichlorid katalysiert

Das Cyclohexen **265** wurde nach einer bekannten Synthesevorschrift zunächst über eine Aluminiumtrichlorid katalysierte Diels-Alder-Reaktion des Methylacrylats **263** mit dem Dimethylbutadien **264** dargestellt. [214] [194]

### Bestimmung der Ausbeuten am GC über die Methode des internen Standards

Zur Bestimmung der Ausbeute der Lewis-Säure katalysierten Diels-Alder-Reaktion wurde mit Hilfe eines internen Standards am GC eine Kalibriergerade erstellt. Hierzu wurden zunächst vom Cyclohexen **265** eine 1.5 mM (12.6 mg, 0.075 mmol, 50 mL) Stammlösung in Chorbenzol hergestellt. Vom Mesitylen als internen Standard wurde, ebenfalls in Chlorbenzol, eine 1M (6.01 g, 50.00mml, 50mL) Stammlösung hergestellt. Anschließend wurden 0.5 mL der 1M Stammlösung des Mesitylens mit 49.5 mL Chlorbenzol aufgefüllt um eine 0.01M Stammlösung zu erhalten.

Die zwei Stammlösungen wurden genutzt, um mit Hilfe des GCs eine Kalibrationsgerade zu erstellen. Hierzu wurden die in Tabelle 38 angegebenen Volumina mittels Eppendorf-Pipetten in ein GC-Vial überführt mit Dichormethan aufgefüllt und am GC vermessen.

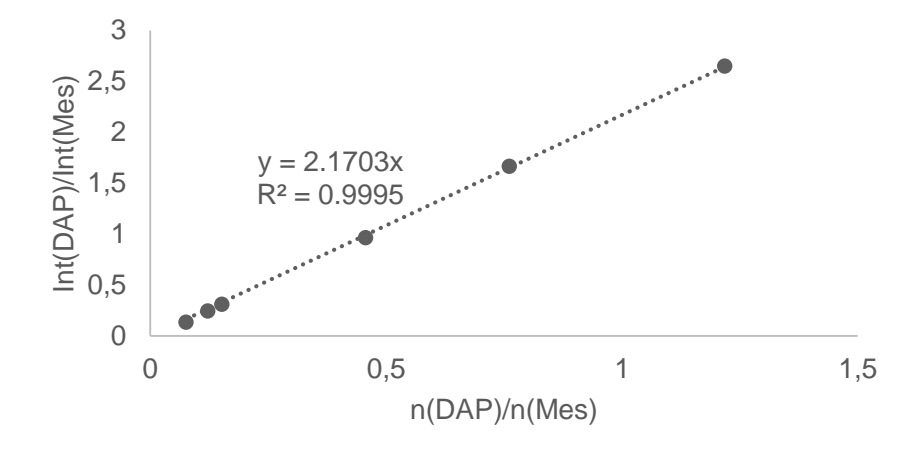
**Tabelle 38**: Einwaagen des Cyclohexens **265** und des Mesitylens zur Erstellung der GC-Kalibrationsgeraden.

c (Hexen) [mol·L <sup>-1</sup> ]	V(Hexen) [μL]	n(Hexen) [µmol]	V(iMes) [μL]	n(Mes) [µmol]	V(DCM) [μL]	
0.0005	75	0.11	150	1.50	1.275	
0.0008	120	0.18	150	1.50	1.230	
0.001	150	0.23	150	1.50	1.200	
0.003	450	0.69	150	1.50	0.900	
0.005	750	1.14	150	1.50	0.600	
0.008	1200	1.83	150	1.50	0.150	

Die so bestimmten Integrale des Cyclohexens **265** und des Mesitylens sind ebenfalls in Tabelle 39 zusammengefasst. Hieraus ergibt sich folgende Kalibrationsgerade (siehe Abbildung 115).

**Tabelle 39:** Im GC gemessene Integrale des Cyclohexens **265** und des Mesitylens und deren Verhältnisse, sowie deren Stoffengen und Verhältnisse zur Erstellung der GC-Kalibrationsgeraden.

	Kanbration gordaon.						
Stoffmenge Cyclohexen [µmol]	Stoffmenge Standard [µmol]	Integral Cyclohexen	Integral Mesitylen	Verhältnis Stoffmengen	Verhältnis Integrale		
0.11	1.50	27.65	345.39	0.08	0.13		
0.18	1.50	58.68	346.79	0.12	0.25		
0.23	1.50	89.46	382.94	0.15	0.31		
0.69	1.50	323.05	367.57	0.46	0.96		
1.14	1.50	557.02	358.16	0.76	1.67		
1.83	1.50	889.74	339.30	1.22	2.65		



**Abbildung 115**: Kalibrationsgerade zur Bestimmung der Ausbeute in den Lewis-Säuren katalysierten Diels-Alder-Reaktionen.

Für die Kalibrationsgerade ergibt sich folgende Gleichung:

$$\frac{Integral \; (Int) \; Cyclohexen}{Integral \; (Int) \; Mesitylen} = m* \\ \frac{Stoffmenge \; (n) Cyclohexen}{Stoffmenge \; (n) Mesitylen} + b$$

Der Achsenschnittpunkt **b** wurde auf 0 gesetzt, daher lässt sich anhand der Steigung **m** der Kalibrationsgeraden die Stoffenge des Cyclohexens nach folgender Gleichung ermitteln:

# 3,4-Dimethyl-3-cyclohexen-1-carboxylsäuremethylester-Heteroltriflat und Heterol Imidazoliumkationen katalysiert

Im ersten Schritt wurde die Katalysatorlösung vorbereitet. Hierzu wurden die Heteroltriflate oder die Heterol Imidazoliumkationen, sowie das AlCl<sub>3</sub> (0.09-0.03 mmol, 0.02-0.04 g, 5 mol%) bei Raumtemperatur in 1 mL Diethylether gelöst. Anschließend wurde die Diels-Alder-Lösung präpariert. Hierzu wurde das Methylacrylat (1.80-0.56 mmol, 0.15-0.06 g, 1 equiv.) in einem Schlenkrohr eingewogen und in 1 mL Diethylether gelöst. Zu dieser Lösung wurde das Dimethylbutadien (3.60-1.12 mmol, 0.29-0.09 g, 2 equiv.) gegeben.

Danach wurde die Katalysatorlösung über einen Teflonschlauch bei Raumtemperatur zur Diels-Alder-Lösung gegeben. Das Reaktionsgemisch wurde 4 Tage bei Raumtemperatur gerührt. Nach dem Ende der Reaktionszeit wurde 1 mL der 1M Mesitylen-Stammlösung zugegeben. Die Reaktionsmischung wurde kurz gerührt. Anschließend wurden 0.05 mL dieser Reaktionslösung entnommen und in 3 mL Dichlormethan gelöst. Diese Lösung wurde über wenig Kieselgel filtriert und am GC vermessen. Die Diels-Alder-Ausbeuten wurden über die Methode des internen Standards und mit Hilfe der Kalibrationsgeraden ermittelt. Die Ausbeuten sind in Tabelle 40 zusammengefasst.

**Tabelle 40**: Ausbeuten der Lewis-Säure katalysierten Diels-Alder-Reaktion von Methylacryalt und Dimethylbutadien.

	Heterol	$R^1$ , $R^2$	n (Acrylat) [mmol]	n (Butadien) [mmol]	Umsatz
172	Germol	Ph, OTf	1.60	3.20	13%
243	Germol	Pemp, OTf	0.67	1.35	11%
244	Silol	Ph, OTf	0.66	1.12	2%
248	Germol	Ph, Me4Imidazolium	1.20	2.40	7%
249	Germol	Pemp, Me4Imidazolium	0.56	1.31	1%
266	AICI <sub>3</sub>		1.80	3.60	4%

### 5.2.5 Benzo-7-germanorbornadiene

### 7-Dimethyl-benzo-7-germanorbornadien 153

Das Germol **146** (0.18 g, 0.48 mmol) wurde in 10 ml THF gelöst. Bei Raumtemperatur wurde Mg (0.04 g, 1.44 mmol, 3 eqiuv.) und 1-Brom-2-fluor-benzol (0.25 g, 1.44 mmol, 3 eqiuv.) zugegeben. Der Reaktionsfortschritt wurde mittels GC/MS überwacht. Die Reaktion war nach 24 h vollständig. Anschließend wurde das Lösungsmittel unter vermindertem Druck entfernt. Der farblose Rückstand wurde in Hexan suspendiert und die Salze filtriert. Das Lösungsmittel wurde entfernt und das farblose Öl im Feinvakuum getrocknet. Das Produkt konnte als farbloser kristalliner Feststoff erhalten werden. (Trotzdem war noch THF enthalten) Dieser ist auch bei nicht inerter Lagerung nach zwei Monaten noch stabil.

**Ausbeute:** 0.18 g, 90%

<sup>1</sup>H NMR (499.87 MHz, 305 K, C<sub>6</sub>D<sub>6</sub>) δ: -0.01 (s, 3 H, CH<sub>3</sub>-Ge); 0.31 (s, 18 H,

Si(CH<sub>3</sub>)<sub>3</sub>); 0.46 (s, 3 H, CH<sub>3</sub>-Ge); 1.83

(s, 6 H, C-CH<sub>3</sub>); 7.02 (m, 2 H, Ar);

7.44 (m, 2 H, Ar).

<sup>13</sup>C {<sup>1</sup>H} NMR (125.71 MHz, 305 K, C<sub>6</sub>D<sub>6</sub>)  $\delta$ : 1.2 (Si(CH<sub>3</sub>)<sub>3</sub>); 1.5 (H<sub>3</sub>C-Ge); 2.1 (H<sub>3</sub>C-

Ge); 16.9 (C- $\underline{C}H_3$ ); 49.0 (Ge-C); 123.5

(CH-Ar); 124.2 (CH-Ar); 139.3 (<u>C</u>-CH<sub>3</sub>);

151.3 (Cq-Ar).

<sup>29</sup>Si {<sup>1</sup>H} INEPT NMR (99.31 MHz, 305 K,  $d_3 = 8.4$  ms,  $d_4 = 31.3$  ms)  $C_6D_6$ )  $\delta$ : -3.9

**Elementaranalyse:** C<sub>20</sub>H<sub>34</sub>GeSi<sub>2</sub>, berechnet: C: 59,56. H: 8,50 gemessen; C: 62,84 H: 7.38.

HR/MS (LIFDI): C<sub>20</sub>H<sub>34</sub>Si<sub>2</sub>, berechnet: 404.1405; gemessen: 404.1411

**Schmelzpunkt:** 103°C (Zersetzung)

### 7-Di-n-butyl-benzo-7-germanorbornadien 154

Das Germol 137 (0.17 g, 0.42 mmol) wurde in 15 ml THF gelöst. Bei Raumtemperatur wurden Mg (0.03 g, 1.26 mmol, 3 eqiuv.) und 1-Brom-2-fluorbenzol (0.22 g, 1.26 mmol, 3 eqiuv.) zugegeben. Die Suspension wurde auf 60°C erhitzt. Der Reaktionsfortschritt wurde mittels GC/MS überwacht. Die Reaktion war nach 4 h vollständig. Anschließend wurde das Lösungsmittel unter vermindertem Druck entfernt. Der farblose Rückstand wurde in Hexan suspendiert und die Salze filtriert. Das Lösungsmittel wurde entfernt und das farblose Öl im Feinvakuum getrocknet. Das Produkt konnte als farbloser kristalliner Feststoff erhalten werden. (Trotzdem war noch THF enthalten)

Ausbeute: 0.20 g, 95%

<sup>1</sup>**H NMR** (499.87 MHz, 305 K,  $C_6D_6$ )  $\delta$ : 0.41 (s, 18 H, Si(CH<sub>3</sub>)<sub>3</sub>);

0.72 (m, 2H, Ge-CH<sub>2</sub>-nBu);

 $0.77 (t, {}^{3}J_{H-H} = 7.4 Hz, 3 H, CH_{3}-nBu);$ 

0.97 (t,  ${}^{3}J_{H-H} = 7.9 \text{ Hz}$ , 3 H, CH<sub>3</sub>-nBu);

1.08-1.15 (m, 4H, Ge-CH<sub>2</sub>-nBu+CH<sub>2</sub>-nBu);

1.35 (m, 4H, *n*Bu); 1.58 (m, 2H, *n*Bu);

1.87 (s, 6 H, C-CH<sub>3</sub>); 7.04 (m, 2 H, Ar);

7.47 (m, 2 H, Ar).

<sup>13</sup>C {<sup>1</sup>H} NMR (125.71 MHz, 305 K, C<sub>6</sub>D<sub>6</sub>)  $\delta$ : 1.4 (Si(CH<sub>3</sub>)<sub>3</sub>); 13.4 (CH<sub>3</sub>-*n*Bu);

13.7 (CH<sub>3</sub>-nBu); 16.8 (C-<u>C</u>H<sub>3</sub>);

21.0 (Ge-CH<sub>2</sub>-*n*Bu); 21.4 (Ge-CH<sub>2</sub>-*n*Bu);

25.9 (nBu); 26.8 (nBu); 27.1 (nBu); 28.1

(*n*Bu); 49.1 (Ge-C); 123.4 (CH-Ar);

123.7(CH-Ar);

39.3 (<u>C</u>-CH<sub>3</sub>); 152.0 (C<sub>q</sub>-Ar).

<sup>29</sup>Si INEPT NMR (99.31 MHz, 305 K,  $d_3 = 8.4$  ms,  $d_4 = 31.3$  ms)  $C_6D_6$ ) δ: -3.9

**Elementaranalyse:** C<sub>26</sub>H<sub>46</sub>GeSi<sub>2</sub>, berechnet: C: 64,06 H: 9,51; gemessen C: 45,64. H: 8,06.

HR/MS (LIFDI): C<sub>26</sub>H<sub>46</sub>GeSi<sub>2</sub> (M+H), berechnet: 489.2428; gemessen: 489.2431

Schmelzpunkt: 105°C (Zersetzung)

#### 7-Di-n-octyl-benzo-7-germanorbornadien 155

Das Germol **138** (0.15 g, 0.29 mmol) wurde in 15 ml THF gelöst. Bei Raumtemperatur wurden Mg (0.02 g, 0.87 mmol, 3 eqiuv.) und 1-Brom-2-fluorbenzol (0.15 g, 0.87 mmol, 3 eqiuv.) zugegeben. Die Suspension wurde auf 60°C erhitzt. Der Reaktionsfortschritt wurde mittels GC/MS überwacht. Das Germanorbornadien wurde nach 48 h aufgearbeitet.

Anschließend wurde das Lösungsmittel unter vermindertem Druck entfernt. Der farblose Rückstand wurde in Hexan suspendiert und die Salze filtriert. Das Lösungsmittel wurde entfernt und das farblose Öl im Feinvakuum getrocknet.

**Ausbeute:** 0.14 g, 82%

<sup>1</sup>**H NMR** (499.87 MHz, 305 K,  $C_6D_6$ )  $\delta$ : 0.39 (s, 18 H, Si(CH<sub>3</sub>)<sub>3</sub>);

0.71-0.74 (m, 2H, *n*-Oct);

0.89 (m, 4 H, Ge-CH<sub>2</sub> nOct);

0.93 (m, 4 H, Ge-CH<sub>2</sub>nOct); 1.04-1.10

(m, 2 H, nOct); 1.12-1.20 (m, 10 H, nOct);

1.25-1.33 (m, 12H, nOct);

1.86 (s, 6 H, C-CH<sub>3</sub>); 7.01 (m, 2 H, Ar);

7.44 (m, 2 H, Ar).

<sup>13</sup>C {<sup>1</sup>H} NMR (125.71 MHz, 305 K, C<sub>6</sub>D<sub>6</sub>) δ: 1.4 (Si(CH<sub>3</sub>)3); 14.3 (nOct);

16.8 (C-<u>C</u>H<sub>3</sub>); 21.2 (*n*Oct);

21.5 (nOct); 22.0 (nOct); 23.0 (nOct);

23.1(nOct); 23.7 (nOct); 26.0 (nOct); 29.2

(nOct); 29.4(nOct); 29.6 (nOct); 32.1

(nOct); 32.2 (nOct);

33.5 (nOct); 34.0 (nOct); 34.2 (nOct);

49.1 (Ge-C); 123.4 (CH-Ar); 123.7

(CH-Ar);139.6 (C-CH<sub>3</sub>);

152.0 (Cq-Ar).

<sup>29</sup>Si INEPT NMR (99.31 MHz, 305 K,  $d_3 = 8.4$  ms,  $d_4 = 31.3$  ms)  $C_6D_6$ ) δ: -3.9.

### 7-Methyl-7-phenyl-benzo-7-germanorbornadien 156

Das Germol **144** (0.23 g, 0.59 mmol) wurde in 15 ml THF gelöst. Bei Raumtemperatur wurde Mg (0.04 g, 1.77 mmol, 3 eqiuv.) und 1-Brom-2-fluor-benzol (0.31 g, 1.77 mmol, 3 eqiuv.) zugegeben. Die Suspension wurde auf 50°C erhitzt. Der Reaktionsfortschritt wurde mittels GC/MS überwacht. Die Reaktion war nach 3 h vollständig

Anschließend wurde das Lösungsmittel unter vermindertem Druck entfernt. Der farblose Rückstand wurde in Pentan suspendiert und die Salze filtriert. Das Lösungsmittel wurde entfernt und der farblose Feststoff im Feinvakuum getrocknet.

**Ausbeute:** 0.23 g, 91%

<sup>1</sup>H NMR (499.87 MHz, 305 K,  $C_6D_6$ ) δ: -0.19 (s, 18 H, Si(CH<sub>3</sub>)<sub>3</sub>); 0.21 (s, 3 H, CH<sub>3</sub>-

Ge); 1.93 (s, 6 H, C-CH<sub>3</sub>); 7.05 (m, 2 H, Ar)

7.19 (m, 3H, Ph); 7.48 (m, 2 H, Ar);

7.64 (m, 2 H, Ph).

<sup>13</sup>C{<sup>1</sup>H} NMR (125.71 MHz, 305 K, C<sub>6</sub>D<sub>6</sub>) δ: 1.0 (H<sub>3</sub>C-Ge); 1.2 (Si(CH<sub>3</sub>)<sub>3</sub>); 16.9 (C-

<u>C</u>H<sub>3</sub>); 50.1 (Ge-C); 123.6 (CH-Ar); 124.1 (CH-Ar); 128.4 (CH-Ph); 130.2 (CH-Ph); 133.7 (CH-Ph); 139.9 (<u>C</u>-CH<sub>3</sub>); 141.5(Cq-

Ph) 151.3 (Cq-Ar).

<sup>29</sup>Si {<sup>1</sup>H} INEPT NMR (99.31 MHz, 305 K,  $d_3 = 8.4$ ms,  $d_4 = 31.3$ ms)  $C_6D_6$ )  $\delta$ : -3.6.

Elementaranalyse: C<sub>25</sub>H<sub>32</sub>GeSi<sub>2</sub>, berechnet:C: 64.25. H: 7.80 gemessen; C: 68.44 H: 9.40;

Schmelzpunkt: 111°C (Zersetzung)

Ein Molekülionenpeak konnte weder im ESI noch im LIFDI Massenspektrum gefunden werden. Das Zersetzungsprodukt (1,4-(Bis-trimethylsilyl)2,3-methyl) Naphthalin) konnte im GC-MS (EI) nachgewiesen werden.

## 7-methyl-7-(4-(octyloxy)phenyl)-benzo-7-germanorbornadien 157

Zu einer Lösung aus 1-Methyl,1-(octyloxy)phenylgermol **145** (0.21 g, 0.40 mmol) in 15 mL THF wurde Magnesium (0.04 g, 1.44 mmol, 3.6 equiv.) und 1-Brom-2-fluorbenzol (0.25 g, 1.43 mmol, 3.5 equiv.) gegeben. Das Reaktionsgemisch wurde auf 50°C erhitzt und für zwei Stunden bei dieser Temperatur gerührt. Das Lösungsmittel wurde daraufhin unter vermindertem Druck entfernt und der farblose Rückstand in *n*-Pentan suspendiert. Die Suspension wurde inert filtriert und das Lösungsmittel des Filtrats unter vermindertem Druck entfernt. Das Produkt konnte in Form eines farblosen Öls erhalten werden. In den entsprechenden NMR Spektren des Produkts ist erneut die Verunreinigung mit (Octyloxy)benzol zu sehen. Dessen Verhältnis zum Produkt beträgt hier 1:2.

**Ausbeute:** 111 mg (46 %)

<sup>13</sup>C {<sup>1</sup>H} NMR (125.71 MHz, 305 K,  $C_6D_6$ )  $\delta$ :

<sup>1</sup>**H NMR** (499.87 MHz, 305 K,  $C_6D_6$ ): δ: 0.27 (s, 3H; Ge-CH<sub>3</sub>);

0.28 (s, 18H;  $Si(CH_3)_3$ ); 0.93-0.98 (m, 3H;

CH<sub>3</sub>- *n*Oct); 1.23-1.41 (m, 10H, *n* Oct);

1.62-1.68 (m, 2H, CH<sub>2</sub>(nOct));

2.00 (s, 6H, C-CH<sub>3</sub>); 3.67

 $(t, 2H, = 6.5, ^3J_{H-H}= 6.5, CH_2-O(nOct)),$ 

6.89-6.94 (m, 2H, Ph), 7.09-7.12 (m, 2H,

Ar); 7.54-7.57 (m,2 H, Ar);

7.64-7.68 (m, 2H, Ph).

1.0 (Ge-CH<sub>3</sub>); 1.3 ();

14.4 (CH<sub>3</sub>- nOct);

17.0 (C-CH<sub>3</sub>); 23.1 (nOct); 26.5

(nOct); 29.7 (nOct); 29.7 (nOct);

29.8 (nOct); 32.2 (nOct); 50.2 (Ge-

C); 67.7 (CH<sub>2</sub>-O(nOct)); 114.7 (Ph-

CH); 123.6 (CH-Ar); 124.2 (CH-Ar);

132.7 (Ph-Cq); 135.2 (Ph-CH);

139.9 (<u>C</u>-CH<sub>3</sub>); 151.6 (Cq-Ar);

161.3 (Ph-C-O).

209

 $^{29}\text{Si }\{^{1}\text{H}\}$  INEPT NMR (99.31 MHz, 305 K,  $d_{3}\!=8.4$  ms,  $d_{4}\!=31.3$  ms)  $C_{6}D_{6})$   $\delta\!:$  -3.6.

Eine Molekülionenpeak konnte weder im ESI noch LIFDI Massenspektrum gefunden werden. Das Zersetzungsprodukt (1,4-(Bis-trimethylsilyl)-2,3 Methyl) Naphthalin) konnte im GC-MS (EI) nachgewiesen werden.

## 5.2.6 Dibenzo-7-germa(sila)norbornadiene

### 7-Din-butyl-dibenzo-7-germanorbornadien 102

Dibutylgermaniumdichlorid (1.0 g, 3.88 mmol) wurde in 125 ml Tetrahydrofuran gelöst.

Die Lösung wurde auf -35°C gekühlt. Bei dieser Temperatur wurde festes Magnesiumanthracen **12** (1.62 g, 3.88 mmol, 1 eqiuv.) in 8 Portionen über einen Umfüllbogen zugegeben. Die Reaktionsmischung wurde nach jeder Zugabe von Magnesiumanthracen 10 min bei -35°C und 10 min bei Raumtemperatur gerührt. Nach beendeter Zugabe wurde die grüne Suspension weitere 30 min bei Raumtemperatur gerührt.

Anschließend wurde das Lösungsmittel unter vermindertem Druck entfernt. Der hellgrüne Rückstand wurde in Hexan suspendiert und die Salze filtriert. Das Lösungsmittel wurde entfernt und der farblose Rückstand in Diethylether bei -70°C kristallisiert. Das Produkt konnte als farbloser Feststoff erhalten werden. (leichte Verunreinigung mit Anthracene und Dibutylgermaniumdichlorid).

**Ausbeute:** 1.1 g, 78%

<sup>1</sup>**H NMR** (499.87 MHz, 305 K, C<sub>6</sub>D<sub>6</sub>) δ: 0.63 (t,  ${}^{3}$ J<sub>H-H</sub>= 7.8 Hz, 4 H, Ge-CH<sub>2</sub>-nBu);

 $0.78 (t, {}^{3}J_{H-H}= 7.0 Hz, 6 H, CH_{3}-$ 

nBu); 1.12 (m, 8H, nBu); 3.85 (s, 2H, CH-

Ge); 7.04 (m, 4H, Ar); 7.27 (m, 4H, Ar).

<sup>13</sup>C {<sup>1</sup>H} NMR (125.71 MHz, 305 K, C<sub>6</sub>D<sub>6</sub>)  $\delta$ : 13.8 (*n*Bu); 16.6 (*n*Bu); 25.9 (*n*Bu);

27.3 (nBu); 48.3 (HC-Ge); 122.6 (CH-Ar);

124.6 (CH-Ar); 145.4 (Cq-Ar).

**Elementaranalyse:** C<sub>22</sub>H<sub>28</sub>Ge, berechnet: C: 72.38 H: 7.73; gemessen

C: 68.93 H: 1.83.

HR/MS (LIFDI): C<sub>22</sub>H<sub>28</sub>Ge, berechnet: 366.1397; gemessen: 366.1393

Schmelzpunkt: Zersetzung bei 100°C

### 7-Dimethyl-dibenzo-7-silanorbornadiene 103

Dimethylsiliciumdichlorid (0.31 g, 2.38 mmol) wurde in 125 ml Tetrahydrofuran gelöst.

Die Lösung wurde auf -35°C gekühlt. Bei dieser Temperatur wurde festes Magnesiumanthracen **12** (1.00 g, 2.38 mmol, 1 eqiuv.) in 8 Portionen über einen Umfüllbogen zugegeben. Die Reaktionsmischung wurde nach jeder Zugabe von Magnesiumanthracen 10 min bei -35°C und 10 min bei Raumtemperatur gerührt. Nach beendeter Zugabe wurde die grüne Suspension weitere 30 min bei Raumtemperatur gerührt.

Anschließend wurde das Lösungsmittel unter vermindertem Druck entfernt. Der hellgrüne Rückstand wurde in Hexan suspendiert und die Salze filtriert. Das Lösungsmittel wurde entfernt und der farblose Rückstand in Diethylether bei -70°C kristallisiert. Das Produkt konnte als farbloser Feststoff erhalten werden. (leichte Verunreinigung mit Anthracene und THF).

**Ausbeute:** 0.45 g, 80%

<sup>1</sup>**H NMR** (499.87 MHz, 305 K,  $C_6D_6$ )δ: -0.25 (s, 6H, CH<sub>3</sub>-Si); 3.51 (s, 2H, CH-Si);

7.04 (m, 4H, Ar); 7.25 (m, 4H, Ar).

<sup>13</sup>C (<sup>1</sup>H) NMR (125.71 MHz, 305 K, C<sub>6</sub>D<sub>6</sub>) δ: -4.0 (H<sub>3</sub>C-Si); 48.3 (HC-Ge); 123.3 (CH-

Ar);125.1 (CH-Ar); 144.8 (Cq-Ar).

<sup>29</sup>Si  $\{^1H\}$  NMR (99.31 MHz, 305 K, C<sub>6</sub>D<sub>6</sub>)  $\delta$ : 67.7.

Die spektroskopischen Daten entsprechen der Literatur, die Synthese des Silanorbornadienes erfolgte hier über eine Reaktion des Lithiumanthracens mit Dimethylsiliciumdichlorid. Die Ausbeute lag bei 9%.<sup>[30]</sup>

# 5.2.7 Dibenzo-digermabicyclo[2.2.2]octadiene

# 7,8-Tetramethyl-7,8-digermabicyclo[2.2.2]octanadien 7

In der Glovebox wurden Dibenzo-7-dimethylgermanorbornadien **6** (0.08 g, 0.30 mmol) und  $^{\text{Me4}}$ NHC **46** (0.03 g, 0.30 mmol, 1 eqiuv.) in 2 mL Benzol ( $C_6D_6$ ) gelöst. Die Reaktionsmischung färbte sich rot und wurde bei Raumtemperatur gerührt. Die Überprüfung des Reaktionsfortschritts mittels  $^1$ H und  $^{13}C\{^1$ H} NMR Kontrolle zeigte nach einer Stunde einen vollständigen Umsatz. (In der Probe befindet sich noch Anthracen)

<sup>1</sup>H NMR (499.87 MHz, 305 K, C<sub>6</sub>D<sub>6</sub>) δ: -0.08 (s, 12 H, CH<sub>3</sub>-Ge); 3.93 (s, 2H, CH<sub>2</sub>-Ge)

Ge); 7.03 (m, 4H, Ar); 7.09 (m, 4H, Ar).

<sup>13</sup>C {<sup>1</sup>H} NMR (125.71 MHz, 305 K,  $C_6D_6$ )  $\delta$ : -5.0 (H<sub>3</sub>C-Ge); 43.0 (HC-Ge); 125.0 (CH-

Ar);125.1 (CH-Ar); 138.5 (Cq-Ar).

Die Daten entsprechen der Literatur.<sup>[24]</sup>

### 7,8-Tetra-n-butyl-7,8-digermabicyclo[2.2.2]ocatadien 106

## **Reaktion mit NHC:**

In der Glovebox wurden 7-Di-n-butyl-dibenzo-7-germanorbornadien **102** (0.03 g, 0.09 mmol) und  $^{\text{Me4}}$ NHC **46** (0.01 g, 0.09 mmol, 1 eqiuv.) in 2 mL Benzol ( $C_6D_6$ ) gelöst. Die Reaktionsmischung färbte sich rot und wurde bei Raumtemperatur gerührt. Die Überprüfung des Reaktionsfortschritts mittels  $^{1}$ H und  $^{13}$ C{ $^{1}$ H} NMR Kontrolle zeigte nach einer. Stunde einen vollständigen Umsatz. (In der Probe befinden sich noch Anthracen und  $^{\text{Me4}}$ NHC)

#### **Thermische Reaktion**

7-Di-*n*-butyl-dibenzo-7-germanorbornadien **102** (0.10 g, 0.27 mmol) wurde in einem Schlenkrohr in 3 mL deuteriertem Toluol gelöst. Die farblose Lösung wurde für 16 h erhitzt (in zwei Intervallen). Nach dieser Zeit ist in einer <sup>1</sup>H und <sup>13</sup>C{<sup>1</sup>H} NMR Kontrolle nur ein 50%iger Umsatz zu sehen.

<sup>1</sup>**H NMR** (499.87 MHz, 305 K, C<sub>6</sub>D<sub>6</sub>) δ: 0.91 (t,  $^{3}$ J<sub>H-H</sub>= 7.1 Hz, 12 H,  $^{n}$ Bu),

1.25-1.39 (m, 16 H, *n*Bu), 1.41-1.54 (m, 8

H, nBu), 4.28 (s, 2 H, CH-Ge),

7.10 (m, 2 H, Ar), 7.12 (m, 2 H, Ar)

<sup>13</sup>C {<sup>1</sup>H} NMR (125.71 MHz, 305 K, C<sub>6</sub>D<sub>6</sub>)  $\delta$ : 13.3 (*n*Bu), 13.9 (*n*Bu), 26.7 (*n*Bu),

28.9 (*n*Bu), 41.7 (Ge-C), 124.9 (CH-Ar),

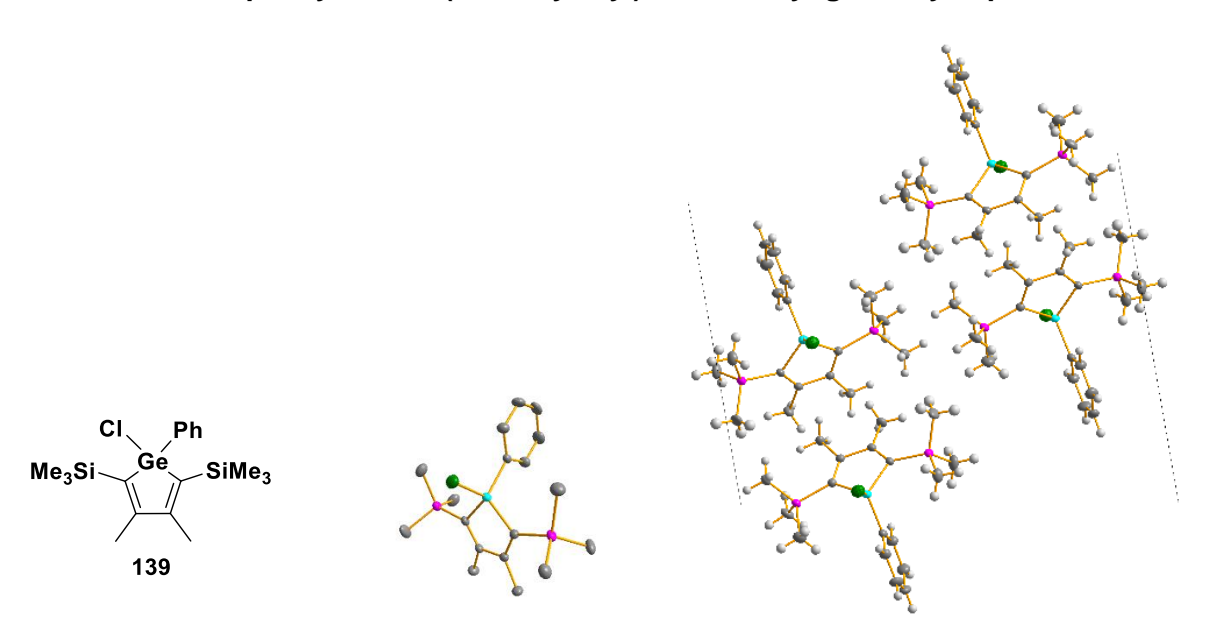
125.1 (CH-Ar), 139.0 (Cq-Ar).

# 6. Kristallographischer Anhang

# 6.1 Germole

Ζ

## 1-Chloro,1-phenyl-2,5-bis(trimethylsilyl)3,4-dimethyl-germacyclopentadien 139



#### Kristallographische Daten des Germols 139

Identification code
Empirical formula
C18 H29 CI Ge Si2
Formula weight
409.63
Temperature
100(2) K
Wavelength
0.71073 Å
Crystal system
Monoclinic
Space group
P21/n

4

Volume 2128.2(3) Å<sup>3</sup>

Density (calculated) 1.278 Mg/m<sup>3</sup>

Absorption coefficient 1.673 mm<sup>-1</sup> F(000) 856

Crystal size 0.100 x 0.070 x 0.050 mm<sup>3</sup>
Theta range for data collection 1.503 to 30.033°

Index ranges -22<=h<=22, -9<=k<=9, -27<=l<=26
Reflections collected 69223

Independent reflections 6239 (R(int) = 0.0538) Observed reflections (I > 2(I)) 5522

Completeness to theta = 30.033° 100.0 %

Absorption correction Semi-empirical from equivalents

Max. and min. transmission 1.0000 and 0.8561

Refinement method Full-matrix least-squares on F<sup>2</sup>

# Anhang

Data / restraints / parameters 6239 / 0 / 207

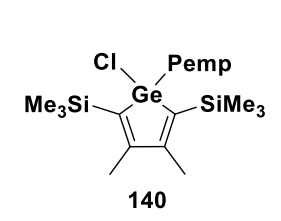
Goodness-of-fit on F<sup>2</sup> 1.236

Final R indices (I>2sigma(I)) R1 = 0.0678, wR2 = 0.1669 R indices (all data) R1 = 0.0769, wR2 = 0.1709

Extinction coefficient

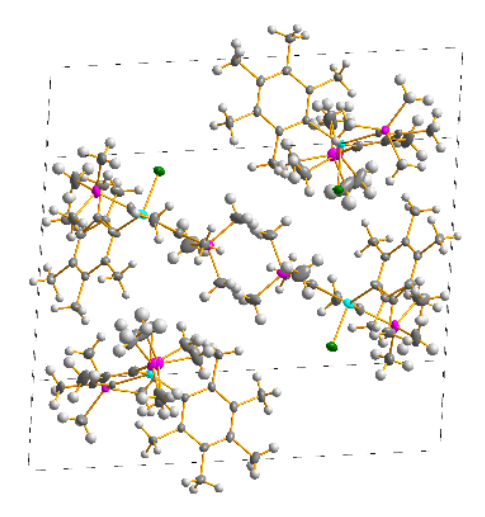
Largest diff. peak and hole 1.069 and -1.075 e.Å-3

# 1-Chloro,1- pentamethylphenyl -2,5-bis(trimethylsilyl)3,4-dimethylgermacyclopentadien 140



Ζ





Fehlordnung an einer SiMe<sub>3</sub> Gruppe und einer Pemp-Gruppe (50%)

Kristallographische Daten des Germols 140

Identification code ww78

**Empirical formula** C23 H39 CI Ge Si2

Formula weight 479.76 Temperature 100(2) K 0.71073 Å Wavelength Crystal system Triclinic Space group P-1

Unit cell dimensions a = 9.4215(5) Å $a = 85.790(3)^{\circ}$ .

4

b = 14.7924(9) Å $b = 81.068(2)^{\circ}$ . c = 18.9999(11) Å $g = 78.673(2)^{\circ}$ .

2562.4(3) Å<sup>3</sup> Volume

1.244 Mg/m<sup>3</sup> Density (calculated) 1.400 mm<sup>-1</sup> Absorption coefficient

F(000) 1016

 $0.130 \times 0.120 \times 0.110 \text{ mm}^3$ Crystal size 1.405 to 34.971° Theta range for data collection

Index ranges -14<=h<=15, -23<=k<=23, -30<=l<=30

Reflections collected 58093

Independent reflections 22313 (R(int) = 0.0247)Observed reflections (I > 2(I)) 18266

Completeness to theta = 34.971° 99.1 % Absorption correction Semi-empirical from equivalents

1.0000 and 0.9382 Max. and min. transmission

Full-matrix least-squares on F<sup>2</sup> Refinement method

Data / restraints / parameters 22313 / 0 / 571

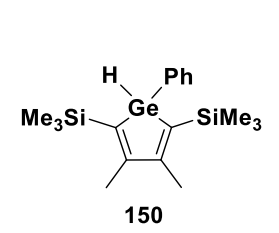
1.025

Goodness-of-fit on F<sup>2</sup> Final R indices (I>2sigma(I)) R1 = 0.0300, wR2 = 0.0740

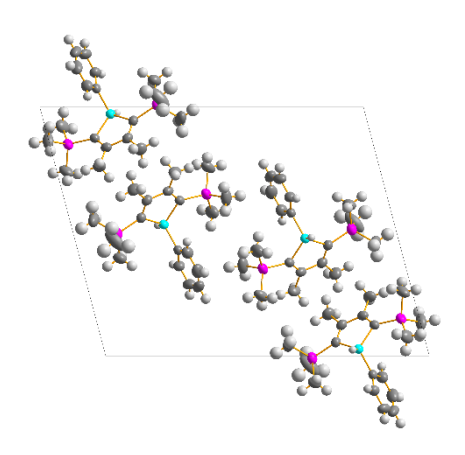
R indices (all data) R1 = 0.0410, wR2 = 0.0789Extinction coefficient

0.537 and -0.537 e.Å-3 Largest diff. peak and hole

# 1-Hydrido,1-phenyl -2,5-bis(trimethylsilyl)3,4-dimethyl-germacyclopentadien 150







# Kristallographische Daten des Germols 150

Identification code ww71

Empirical formula C18 H30 Ge Si2

Formula weight 375.19

Temperature 220(2) K

Wavelength 0.71073 Å

Crystal system Monoclinic

Space group P2<sub>1</sub>/n

Unit cell dimensions a = 16.6948(5) Å  $a = 90^{\circ}$ .

b = 6.3975(2) Å  $b = 104.6423(11)^{\circ}$ .

c = 20.7149(7) Å  $g = 90^{\circ}$ .

Volume 2140.60(12) Å<sup>3</sup>

Ζ

Density (calculated) 1.164 Mg/m<sup>3</sup>
Absorption coefficient 1.537 mm<sup>-1</sup>

F(000) 792

Crystal size 0.130 x 0.110 x 0.080 mm<sup>3</sup>

Theta range for data collection 1.405 to 28.698°

Index ranges -21 <= h <= 22, -8 <= k <= 8, -27 <= l <= 27

Reflections collected 90502

Independent reflections 5543 (R(int) = 0.0254)

Observed reflections (I > 2(I)) 4997 Completeness to theta =  $28.698^{\circ}$  100.0 %

Absorption correction Semi-empirical from equivalents

Max. and min. transmission 1.0000 and 0.9385

Refinement method Full-matrix least-squares on F<sup>2</sup>

Data / restraints / parameters 5543 / 0 / 202

Goodness-of-fit on F<sup>2</sup> 1.049

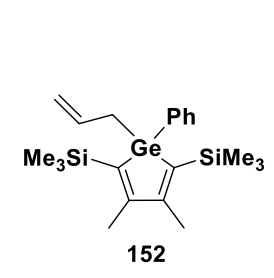
Final R indices (I>2sigma(I)) R1 = 0.0298, wR2 = 0.0793 R indices (all data) R1 = 0.0340, wR2 = 0.0823

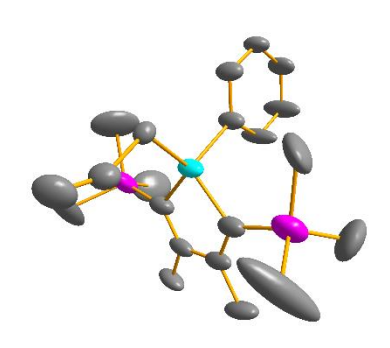
n/a

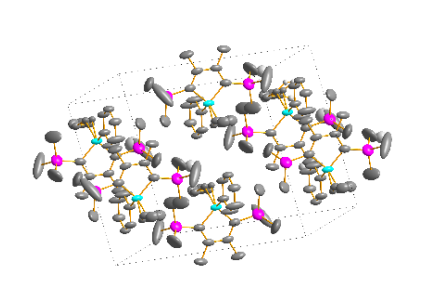
Extinction coefficient

Largest diff. peak and hole 0.704 and -0.404 e.Å-3

# 1-Allyl,1-phenyl-2,5-bis(trimethylsilyl)3,4-dimethyl-germacyclopentadien 152







## Fehlordnung in der Allylgruppe (50%)

#### Kristallographische Daten des Germols 152

Identification code ww73

C21 H34 Ge Si2 Empirical formula

Formula weight 415.25 Temperature 100(2) K 0.71073 Å Wavelength Crystal system Monoclinic Space group C2/m

Unit cell dimensions a = 13.1699(5) Å $a = 90^{\circ}$ .

4

100.0 %

b = 14.9898(6) Å $b = 105.0747(12)^{\circ}$ .

c = 12.2817(5) Å $g = 90^{\circ}$ .

2341.15(16) Å<sup>3</sup> Volume

Completeness to theta = 27.099°

Ζ

Density (calculated) 1.178 Mg/m<sup>3</sup> 1.412 mm<sup>-1</sup> Absorption coefficient

F(000) 880

0.120 x 0.080 x 0.060 mm<sup>3</sup> Crystal size

Theta range for data collection 1.717 to 27.099° Index ranges -16<=h<=16, -19<=k<=19, -15<=l<=15

Reflections collected 39587

Independent reflections 2678 (R(int) = 0.0395)

Observed reflections (I > 2(I))2251

Absorption correction Semi-empirical from equivalents

Max. and min. transmission 1.0000 and 0.9268 Refinement method Full-matrix least-squares on F<sup>2</sup>

Data / restraints / parameters 2678 / 0 / 137

Goodness-of-fit on F<sup>2</sup> 1.070 R1 = 0.0541, wR2 = 0.1264Final R indices (I>2sigma(I))

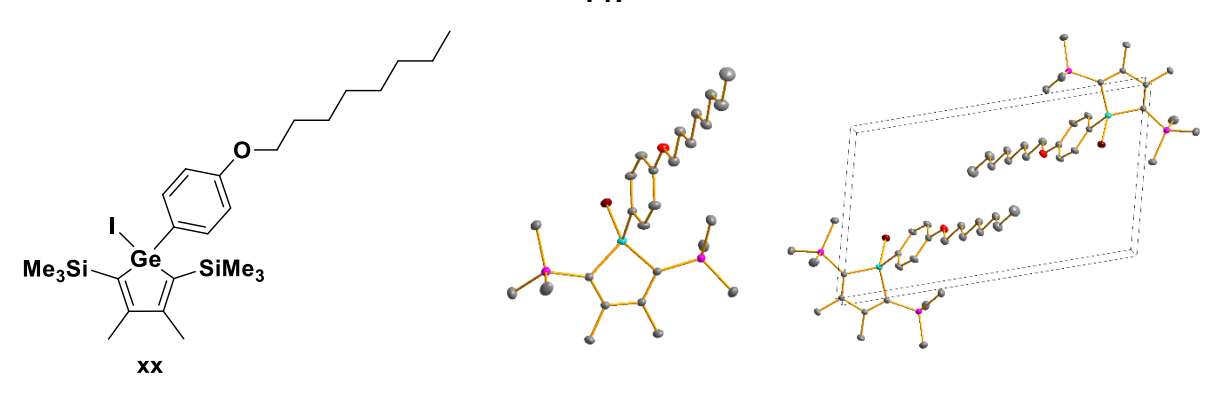
R indices (all data) R1 = 0.0660, wR2 = 0.1367Extinction coefficient

0.644 and -1.361 e.Å-3

Largest diff. peak and hole

# 1-lodo, 1-(4-(octyloxy)phenyl)-3, 4-dimethyl-2, 5-bis (trimethylsilyl) germacyclopentadien





#### Kristallographische Daten des Germols 147

Identification code
Empirical formula
Formula weight
Temperature
Wavelength

Crystal system Space group

Unit cell dimensions

Volume Z

Density (calculated)
Absorption coefficient

F(000)

Crystal size

Theta range for data collection

Index ranges

Reflections collected Independent reflections Observed reflections (I > 2(I)) Completeness to theta = 40.248°

Absorption correction
Max. and min. transmission

Refinement method

Data / restraints / parameters

Goodness-of-fit on F<sup>2</sup> Final R indices (I>2sigma(I))

R indices (all data) Extinction coefficient

Largest diff. peak and hole

limof15

C26 H45 Ge I O Si2

629.29 100(2) K 0.71073 Å Triclinic P-1

 $a = 9.3175(3) \, \mathring{A}$   $a = 87.1282(14)^{\circ}.$   $b = 10.3886(4) \, \mathring{A}$   $b = 75.6585(13)^{\circ}.$   $c = 16.1147(6) \, \mathring{A}$   $g = 87.0446(13)^{\circ}.$ 

1508.09(9) Å<sup>3</sup>

2

1.386 Mg/m<sup>3</sup> 2.134 mm<sup>-1</sup>

644

0.120 x 0.090 x 0.030 mm<sup>3</sup>

1.305 to 40.248°

-16<=h<=16, -18<=k<=18, -29<=l<=29

116178

18966 (R(int) = 0.0325)

16603 100.0 %

Semi-empirical from equivalents

1.0000 and 0.8921

Full-matrix least-squares on F<sup>2</sup>

18966 / 0 / 289

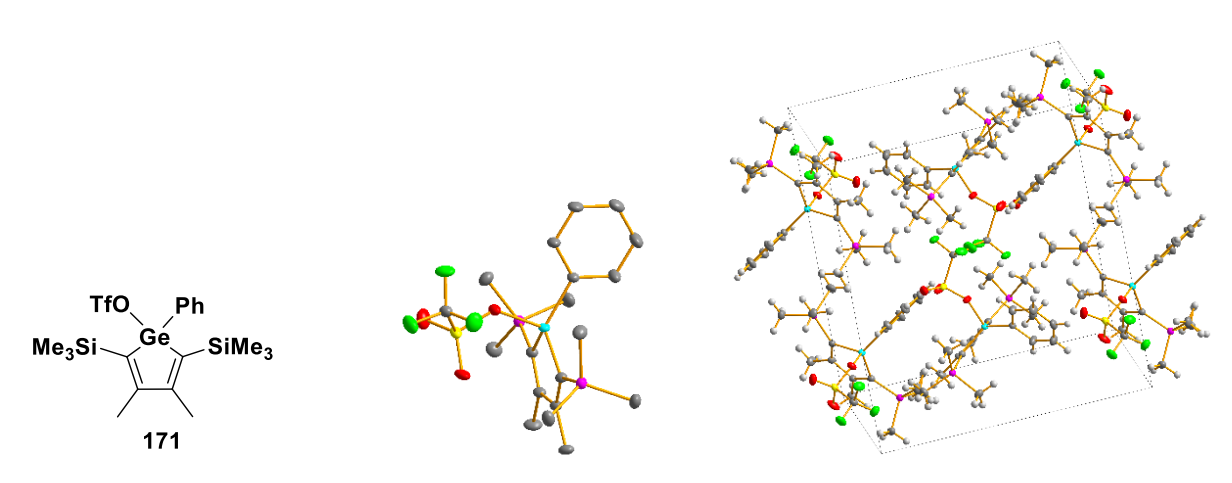
1.016

R1 = 0.0215, wR2 = 0.0518 R1 = 0.0275, wR2 = 0.0543

n/a

1.277 and -1.136 e.Å<sup>-3</sup>

# 1-Tetramethylimidazolium-2-yliden 1-phenyl,-2,5-bis(trimethylsilyl), 3,4-dimethylgermacyclopentadien 172



#### Kristallographische Daten des Germols 172

Identification code
Empirical formula
Formula weight
Temperature
Wavelength
Crystal system
Space group

Unit cell dimensions

Volume Z

Density (calculated)
Absorption coefficient

F(000) Crystal size

Theta range for data collection

Index ranges

Reflections collected Independent reflections Observed reflections (I > 2(I)) Completeness to theta = 38.565°

Absorption correction

Max. and min. transmission

Refinement method

Data / restraints / parameters

Goodness-of-fit on F<sup>2</sup>

Final R indices (I>2sigma(I))

R indices (all data) Extinction coefficient

Largest diff. peak and hole

ww106b

C19 H29 F3 Ge O3 S Si2

523.25 100(2) K 0.71073 Å Monoclinic P2<sub>1</sub>/n

a = 9.3768(3) Å  $a = 90^{\circ}.$ 

b = 17.0364(6) Å  $b = 90.8384(14)^{\circ}.$ 

c = 15.1530(5) Å  $g = 90^{\circ}$ .

2420.39(14) Å<sup>3</sup>

4

1.436 Mg/m<sup>3</sup> 1.491 mm<sup>-1</sup> 1080

0.160 x 0.120 x 0.050 mm<sup>3</sup>

1.799 to 38.565°

-16<=h<=16, -29<=k<=29, -26<=l<=26

179872

13675 (R(int) = 0.0302)

12057 100.0 %

Semi-empirical from equivalents

1.0000 and 0.9263

Full-matrix least-squares on F<sup>2</sup>

13675 / 0 / 270

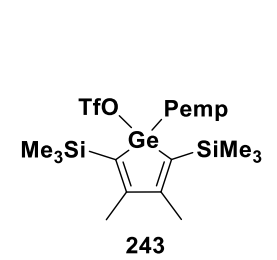
1.023

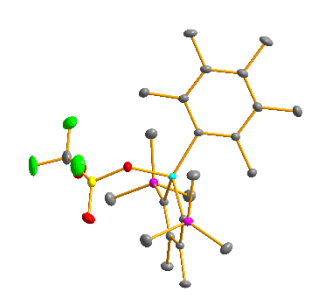
R1 = 0.0224, wR2 = 0.0591 R1 = 0.0279, wR2 = 0.0615

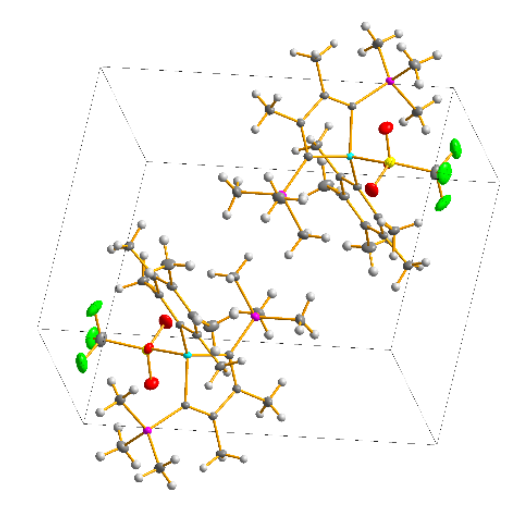
n/a

0.689 and -0.609 e.Å-3

# 1-Tetramethylimidazolium-2-yliden 1-pentamethylphenyl,-2,5-bis(trimethylsilyl), 3,4-dimethyl-germacyclopentadien 243







### Kristallographische Daten des Germols 243

Identification code Empirical formula

Formula weight Temperature Wavelength

Crystal system Space group

Unit cell dimensions

Volume

Ζ

Density (calculated)
Absorption coefficient

F(000)

Crystal size

Theta range for data collection

Index ranges

Reflections collected

Independent reflections

Observed reflections (I > 2(I))Completeness to theta =  $36.318^{\circ}$ 

Absorption correction

Max. and min. transmission

Refinement method

Data / restraints / parameters

Goodness-of-fit on F<sup>2</sup>

Final R indices (I>2sigma(I))

R indices (all data) Extinction coefficient

Largest diff. peak and hole

ww138

C24 H39 F3 Ge O3 S Si2

593.38 100(2) K 0.71073 Å Triclinic P-1

a = 9.6804(7) Å  $a = 82.721(2)^{\circ}.$  b = 10.4638(7) Å  $b = 80.211(3)^{\circ}.$  c = 14.8954(11) Å  $g = 75.579(2)^{\circ}.$ 

1434.36(18) Å<sup>3</sup>

2

1.374 Mg/m<sup>3</sup> 1.267 mm<sup>-1</sup>

620

0.090 x 0.050 x 0.030 mm<sup>3</sup>

1.393 to 36.318°

-16<=h<=16, -17<=k<=17, -24<=l<=24

126700

13913 (R(int) = 0.0563)

11831 100.0 %

Semi-empirical from equivalents

1.0000 and 0.9102

Full-matrix least-squares on F<sup>2</sup>

13913 / 0 / 320

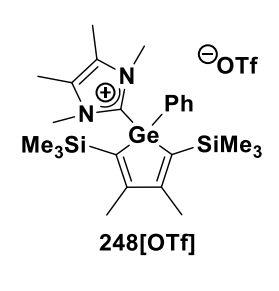
1.032

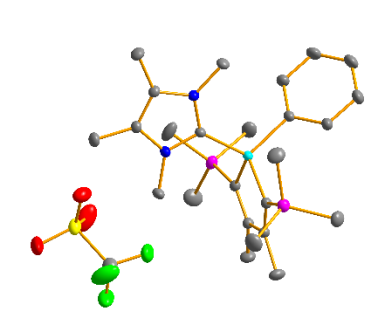
R1 = 0.0318, wR2 = 0.0703 R1 = 0.0424, wR2 = 0.0743

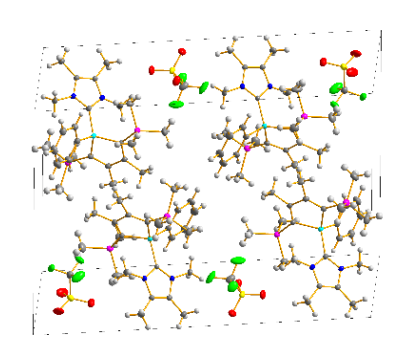
n/a

0.533 and -0.492 e.Å<sup>-3</sup>

# 1-Tetramethylimidazolium-2-yliden 1-phenyl,-2,5-bis(trimethylsilyl), 3,4-dimethylgermacyclopentadien 248







#### Kristallographische Daten des Germols 248[OTf]

Identification code

Ζ

Empirical formula C26 H41 F3 Ge N2 O3 S Si2

Formula weight 647.44
Temperature 100(2) K
Wavelength 0.71073 Å
Crystal system Triclinic
Space group P-1

Unit cell dimensions  $a = 9.5398(5) \, \text{Å}$   $a = 85.5562(19)^{\circ}.$   $b = 15.2690(8) \, \text{Å}$   $b = 89.910(2)^{\circ}.$   $c = 22.8374(12) \, \text{Å}$   $g = 75.0746(18)^{\circ}.$ 

ww109

Volume 3204.1(3) Å<sup>3</sup>

Density (calculated) 1.342 Mg/m<sup>3</sup>
Absorption coefficient 1.142 mm<sup>-1</sup>

F(000) 1.142 mm

Crystal size 0.150 x 0.100 x 0.090 mm<sup>3</sup>
Theta range for data collection 1.385 to 36.318°

Index ranges -15<=h<=15, -25<=k<=25, -38<=l<=38

Reflections collected 331258

Independent reflections 31048 (R(int) = 0.0395)

Observed reflections (I > 2(I)) 26668 Completeness to theta = 36.318° 100.0 %

Absorption correction Semi-empirical from equivalents

Max. and min. transmission 1.0000 and 0.9220

Refinement method Full-matrix least-squares on F<sup>2</sup>

Data / restraints / parameters 31048 / 0 / 709

Goodness-of-fit on F<sup>2</sup>

1.005

Final R indices (I>2sigma(I)) R1 = 0.0292, wR2 = 0.0749

R indices (all data)

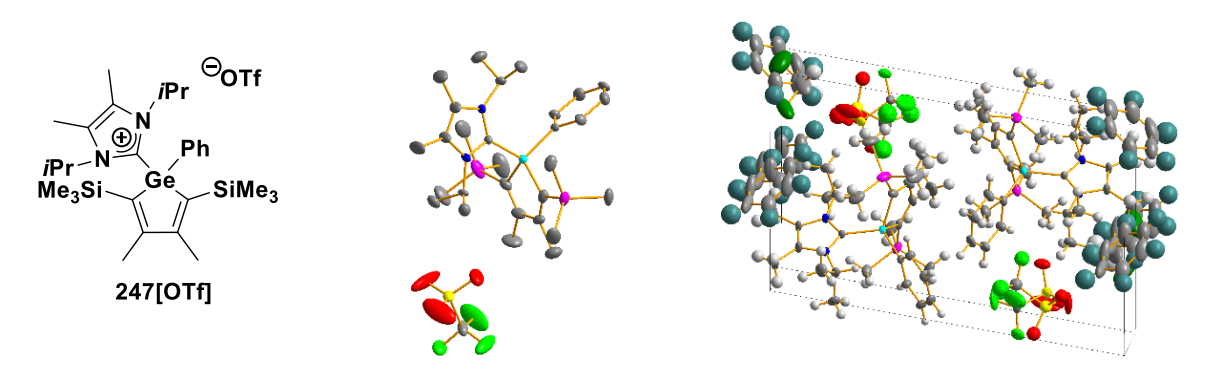
R1 = 0.0373, wR2 = 0.0789

Extinction coefficient

n/a

Largest diff. peak and hole 0.830 and -0.579 e.Å-3

# 1-(2,4-di(isopropyl)(3,4-dimethyl)(imidazolium-2-yliden 1-phenyl,-2,5-bis(trimethylsilyl), 3,4-dimethyl-germacyclopentadien 247



Benzol-d<sub>6</sub> und Dichlormethan in der Kristallstruktur vorhanden, beide sind fehlgeordnet.

#### Kristallographische Daten des Germols 247[OTf]

Identification code ww105 5 C34.33 H49.67 Cl0.66 D4 F3 Ge N2 O3 S Si2 **Empirical formula** Formula weight 787.90 Temperature 100(2) K 0.71073 Å Wavelength Triclinic Crystal system Space group Unit cell dimensions a = 10.4874(4) Å

 $a = 97.9325(15)^{\circ}$ . b = 11.0027(4) Å $b = 97.2864(15)^{\circ}$ . c = 17.8187(7) Å $g = 96.1027(14)^{\circ}$ .

2003.87(13) Å<sup>3</sup> Volume Ζ 2

 $1.306 \text{ Mg/m}^3$ Density (calculated) 0.968 mm<sup>-1</sup> Absorption coefficient

F(000) 824

 $0.190 \times 0.160 \times 0.100 \text{ mm}^3$ Crystal size

1.884 to 33.727° Theta range for data collection

Index ranges -16<=h<=16, -17<=k<=17, -27<=l<=27

Reflections collected 60173

Independent reflections 60173 (R(int) = ?)

Observed reflections (I > 2(I)) 55345 Completeness to theta = 33.727° 100.0 %

Absorption correction Semi-empirical from equivalents Max. and min. transmission 1.000000 and 0.905010

Full-matrix least-squares on F<sup>2</sup> Refinement method

Data / restraints / parameters 60173 / 7 / 1015

Goodness-of-fit on  $\mathsf{F}^2$ 1.034

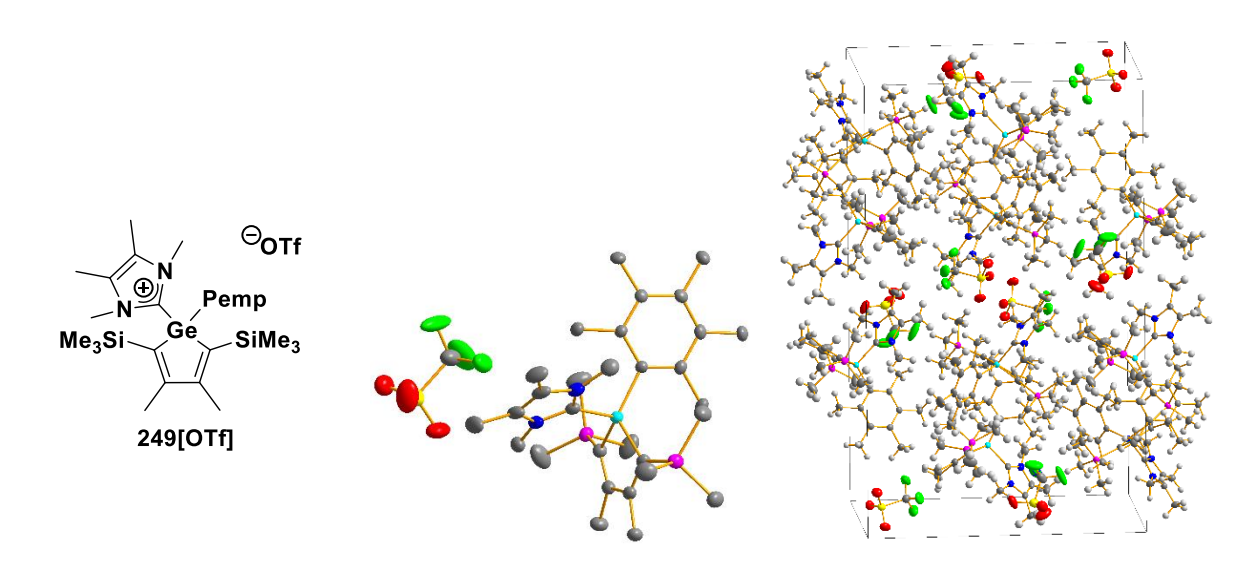
Final R indices (I>2sigma(I)) R1 = 0.0571, wR2 = 0.1415

R indices (all data) R1 = 0.0659, wR2 = 0.1503

Absolute structure parameter 0.453(5)Extinction coefficient n/a

1.157 and -0.686 e.Å-3 Largest diff. peak and hole

# 1-Tetramethylimidazolium-2-yliden 1-pentamethylphenyl,-2,5-bis(trimethylsilyl), 3,4-dimethyl-germacyclopentadien 249



#### Kristallographische Daten des Germols 249[OTf]

Identification code ww141

Empirical formula C31 H51 F3 Ge N2 O3 S Si2

Formula weight 717.56
Temperature 100(2) K
Wavelength 1.54178 Å
Crystal system Monoclinic
Space group P2<sub>1</sub>/c

Unit cell dimensions a = 12.5742(4) Å  $a = 90^{\circ}$ .

8

1.322 Mg/m<sup>3</sup>

b = 18.7345(6) Å  $b = 93.066(2)^{\circ}$ .

c = 30.6586(10) Å  $g = 90^{\circ}$ .

Volume 7212.0(4) Å<sup>3</sup>

Ζ

Density (calculated)

Absorption coefficient 2.737 mm<sup>-1</sup>

F(000) 3024

Crystal size 0.040 x 0.030 x 0.020 mm<sup>3</sup>

Theta range for data collection 2.765 to 74.495°

Index ranges -15<=h<=15, -23<=k<=23, -38<=l<=38

Reflections collected 109992

Independent reflections 14731 (R(int) = 0.0833)

Observed reflections (I > 2(I)) 11628 Completeness to theta =  $74.495^{\circ}$  99.9 %

Absorption correction Semi-empirical from equivalents

Max. and min. transmission 1.0000 and 0.9029

Refinement method Full-matrix least-squares on F<sup>2</sup>

Data / restraints / parameters 14731 / 0 / 809

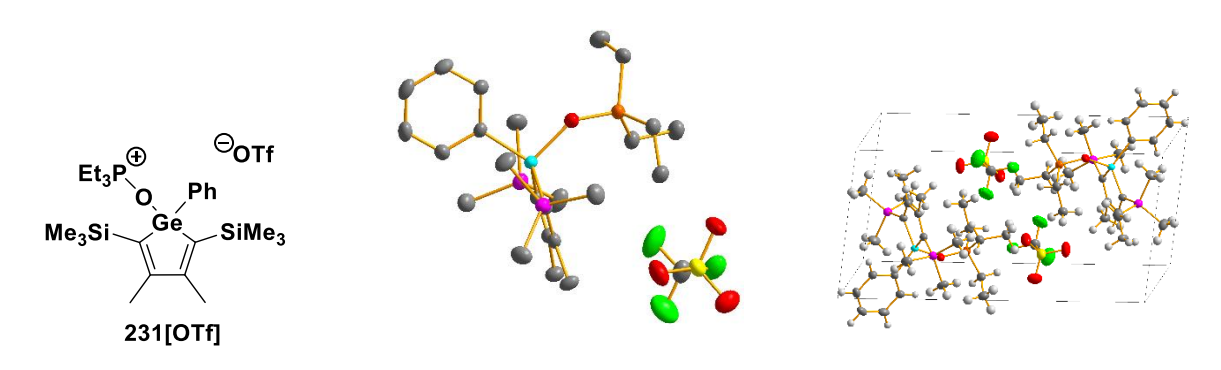
Goodness-of-fit on F<sup>2</sup> 1.04

Final R indices (I>2sigma(I)) R1 = 0.0411, wR2 = 0.0982 R indices (all data) R1 = 0.0581, wR2 = 0.1064

Extinction coefficient n/a

Largest diff. peak and hole 0.619 and -0.522 e.Å<sup>-3</sup>

# 1-Triethylphosphinoxid 1-phenyl,-2,5-bis(trimethylsilyl), 3,4-dimethylgermacyclopentadien 231



#### Kristallographische Daten des Germols 231[OTf]

Identification code ww120

Empirical formula C25 H44 F3 Ge O4 P S Si2

Formula weight 657.40
Temperature 100(2) K
Wavelength 1.54178 Å
Crystal system Triclinic
Space group P-1

Unit cell dimensions a = 9.7240(8) Å  $a = 78.533(4)^{\circ}$ . b = 10.0242(8) Å  $b = 86.905(4)^{\circ}$ .

c = 17.8098(14) Å c = 17.8098(14) Å c = 17.8098(14) Å c = 17.8098(14) Å

Volume 1612.4(2) Å<sup>3</sup>

Ζ

Density (calculated) 1.354 Mg/m<sup>3</sup>
Absorption coefficient 3.469 mm<sup>-1</sup>

F(000) 688

Crystal size  $0.090 \times 0.050 \times 0.030 \text{ mm}^3$ 

Theta range for data collection 2.531 to 74.487°

Index ranges -12<=h<=11, -12<=k<=12, -22<=l<=22

Reflections collected 26172

Independent reflections 6525 (R(int) = 0.0627)

Observed reflections (I > 2(I)) 5621 Completeness to theta =  $74.487^{\circ}$  98.9 %

Absorption correction Semi-empirical from equivalents Max. and min. transmission 1.0000 and 0.7895

Refinement method Full-matrix least-squares on F<sup>2</sup>

Data / restraints / parameters 6525 / 0 / 345

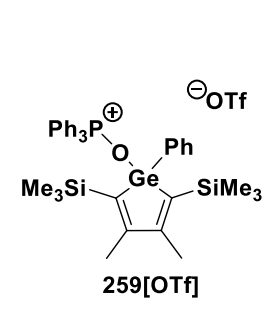
Goodness-of-fit on F<sup>2</sup> 1.046

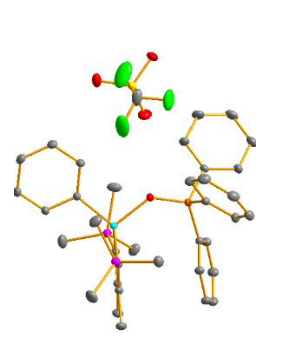
Final R indices (I>2sigma(I)) R1 = 0.0474, wR2 = 0.1205 R indices (all data) R1 = 0.0550, wR2 = 0.1262

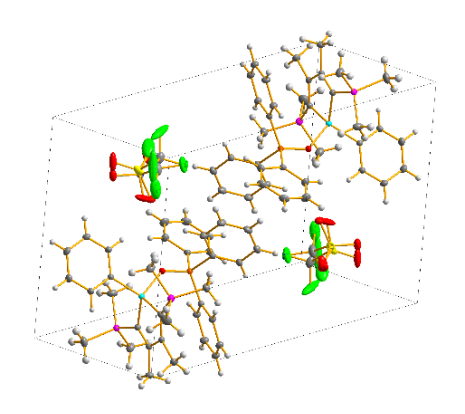
Extinction coefficient n/a

Largest diff. peak and hole 0.729 and -0.518 e.Å-3

# 1-Triphenylphosphinoxid 1-phenyl,-2,5-bis(trimethylsilyl), 3,4-dimethylgermacyclopentadien 259







Fehlordnung in der Triflatgruppe (15%)

#### Kristallographische Daten des Germols 259[OTf]

Identification code ww120c

Empirical formula C37 H44 F3 Ge O4 P S Si2

Formula weight 801.52
Temperature 100(2) K
Wavelength 0.71073 Å
Crystal system Triclinic
Space group P-1

Unit cell dimensions a = 10.4690(3) Å  $a = 83.1897(12)^{\circ}$ .

2

b = 12.9784(4) Å b = 79.2295(12)°. c = 14.9807(5) Å g = 74.4336(10)°.

Volume 1921.20(10) Å<sup>3</sup>

Ζ

Density (calculated) 1.386 Mg/m<sup>3</sup>
Absorption coefficient 1.008 mm<sup>-1</sup>

F(000) 832

Crystal size 0.160 x 0.160 x 0.090 mm<sup>3</sup>

Theta range for data collection 1.387 to 40.249°

Index ranges -19<=h<=19, -23<=k<=23, -27<=l<=27

Reflections collected 268316

Independent reflections 24151 (R(int) = 0.0294)

Observed reflections (I > 2(I)) 22556

Completeness to theta =  $40.249^{\circ}$  100.0 %

Absorption correction Semi-empirical from equivalents Max. and min. transmission 0.8754 and 0.8183

Refinement method Full-matrix least-squares on F<sup>2</sup>

Data / restraints / parameters 24151 / 0 / 523

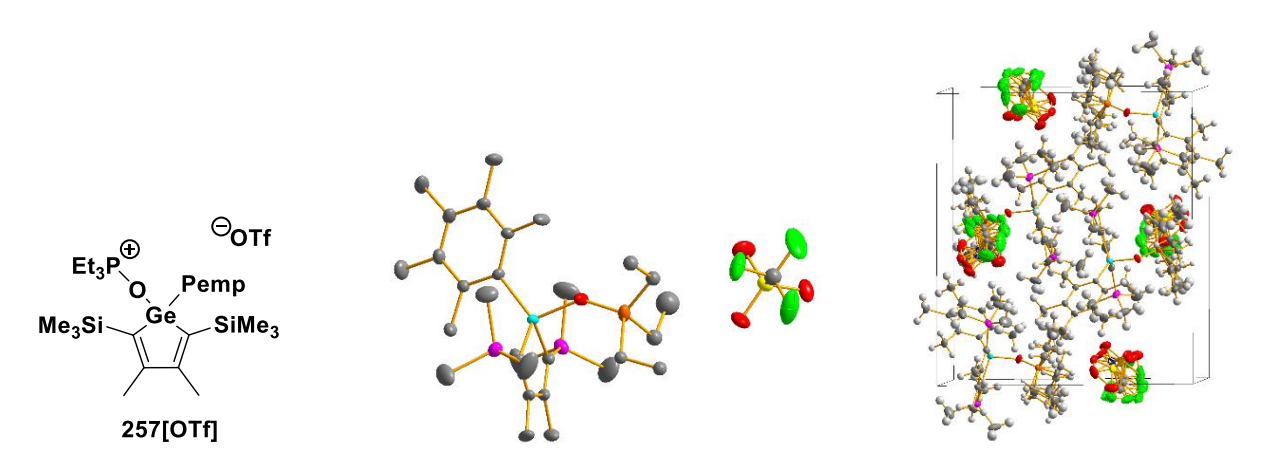
Goodness-of-fit on F<sup>2</sup> 1.039

Final R indices (I>2sigma(I)) R1 = 0.0214, wR2 = 0.0605 R indices (all data) R1 = 0.0236, wR2 = 0.0615

R indices (all data) R1 = 0.0236, wR2 = 0.0615Extinction coefficient n/a

Largest diff. peak and hole 0.583 and -0.457 e.Å<sup>-3</sup>

# 1-Triethylphosphinoxid 1-pentametylphenyl, -2,5-bis(trimethylsilyl), 3,4-dimethylgermacyclopentadien 257



#### Kristallographische Daten des Germols 257[OTf]

Fehlordnungen in der Ethylgruppe des Phosphans (0.84:0.16) und im Triflat (0.44:0.21:0.35)

Identification code ww142

C30 H54 F3 Ge O4 P S Si2 **Empirical formula** 

Formula weight 727.53 Temperature 100(2) K Wavelength 0.71073 Å Crystal system Monoclinic Space group P2<sub>1</sub>/c

Unit cell dimensions a = 12.0292(7) Å $a = 90^{\circ}$ . b = 16.3527(8) Å $b = 94.763(2)^{\circ}$ .

c = 18.6787(10) Å $q = 90^{\circ}$ .

Volume 3661.6(3) Å<sup>3</sup>

Ζ

1.320 Mg/m<sup>3</sup> Density (calculated) Absorption coefficient 1.049 mm<sup>-1</sup> 1536 F(000)

 $0.080 \times 0.050 \times 0.030 \text{ mm}^3$ Crystal size

Theta range for data collection 1.658 to 28.700°

Index ranges -16<=h<=16, -22<=k<=22, -25<=l<=25

Reflections collected 154710

Independent reflections 9459 (R(int) = 0.0558)

Observed reflections (I > 2(I))8288 Completeness to theta = 28.700° 100.0 %

Absorption correction Semi-empirical from equivalents

Max. and min. transmission 1.0000 and 0.9613

Full-matrix least-squares on F<sup>2</sup> Refinement method

9459 / 2 / 576 Data / restraints / parameters

Goodness-of-fit on F<sup>2</sup> 1.079

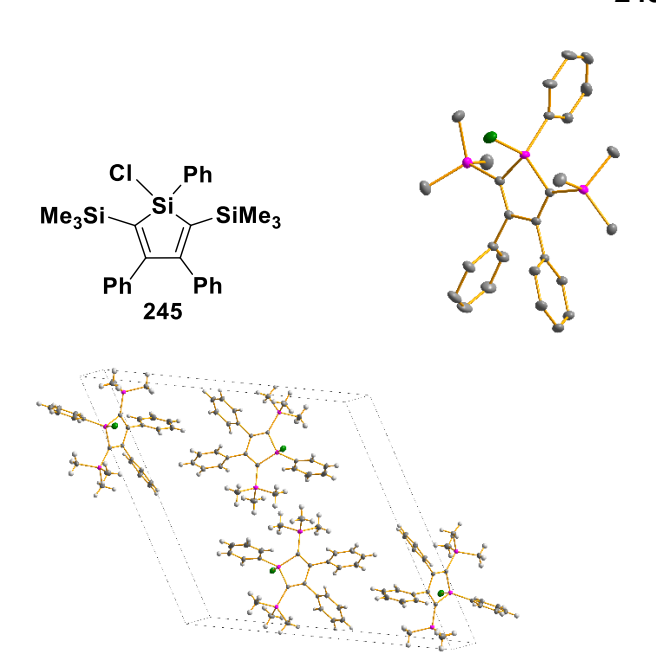
Final R indices (I>2sigma(I)) R1 = 0.0394, wR2 = 0.0846R indices (all data) R1 = 0.0474, wR2 = 0.0880

Extinction coefficient n/a

0.578 and -0.509 e.Å-3 Largest diff. peak and hole

## 6.2 Silole

# 1-Chloro,1-phenyl-3,4-dimethyl-2,5-bis(trimethylsilyl)3,4-diphenyl-silacyclopentadien 245



#### Kristallographische Daten des Silols 245

Identification code **Empirical formula** Formula weight Temperature Wavelength Crystal system Space group

Unit cell dimensions

Volume Ζ

Density (calculated) Absorption coefficient

F(000)

Crystal size

Theta range for data collection

Index ranges

Reflections collected Independent reflections Observed reflections (I > 2(I)) Completeness to theta = 34.971°

Absorption correction Max. and min. transmission

Refinement method

Data / restraints / parameters

ww144

C28 H33 CI Si3

489.26 100(2) K 0.71073 Å Monoclinic P2<sub>1</sub>/n

a = 21.5478(8) Å $a = 90^{\circ}$ .

b = 6.5819(2) Åb = 118.1815(13)°.

c = 22.2436(8) Å $g = 90^{\circ}$ .

2780.74(17) Å<sup>3</sup>

4

1.169 Mg/m<sup>3</sup> 0.281 mm<sup>-1</sup> 1040

 $0.400 \times 0.180 \times 0.080 \text{ mm}^3$ 

1.811 to 34.971°

-34<=h<=34, -10<=k<=10, -35<=l<=35

112810

12238 (R(int) = 0.0370)

9877 100.0 % Numerical

0.9863 and 0.9251

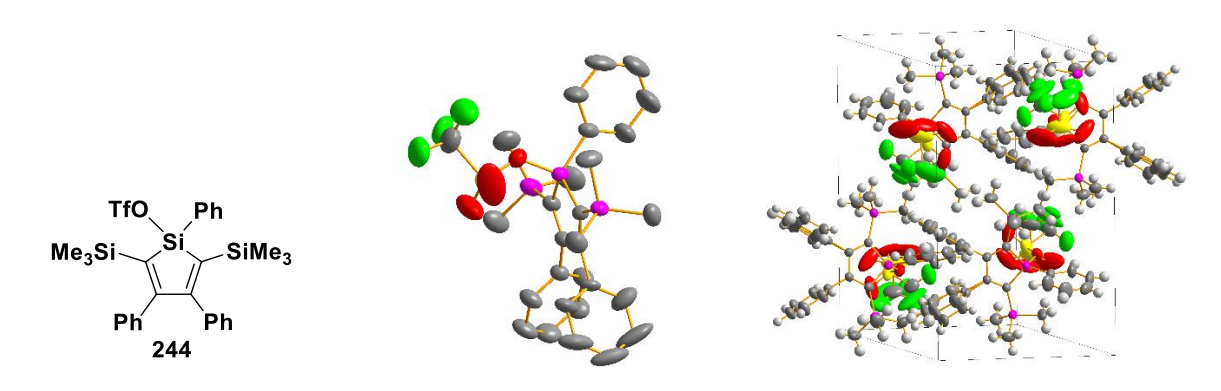
Full-matrix least-squares on F<sup>2</sup>

12238 / 0 / 295

# Anhang

1.025
R1 = 0.0335, wR2 = 0.0850
R1 = 0.0467, wR2 = 0.0927
n/a
0.593 and -0.414 e.Å <sup>-3</sup>

# 1-Trifluormethansulfonyl,1-phenyl-2,5-bis(trimethylsilyl) 3,4-diphenyl – silacyclopentadien 244



Fehlordung der Triflatgruppe (50%) und eines Phenylrings (50%)

Kristallographische Daten des Silols 244

Identification code ww145c

Ζ

Empirical formula C29 H33 F3 O3 S Si3

Formula weight 602.88

Temperature 150(2) K

Wavelength 0.71073 Å

Crystal system Monoclinic

Space group  $P2_1/n$ 

Unit cell dimensions a = 10.9773(3) Å  $a = 90^{\circ}$ .

b = 18.0879(5) Å  $b = 101.7820(11)^{\circ}.$ 

c = 16.4184(5) Å  $g = 90^{\circ}$ .

Volume 3191.29(16) Å<sup>3</sup>

Density (calculated) 1.255 Mg/m<sup>3</sup>
Absorption coefficient 0.259 mm<sup>-1</sup>

Absorption coefficient 0.259 F(000) 1264

Crystal size  $0.220 \times 0.160 \times 0.130 \text{ mm}^3$ 

Theta range for data collection 1.695 to 30.034°

Index ranges -15<=h<=15, -25<=k<=25, -23<=l<=23

Reflections collected 140088

Independent reflections 9347 (R(int) = 0.0290)

Observed reflections (I > 2(I)) 8448 Completeness to theta = 30.034° 100.0 %

Absorption correction Semi-empirical from equivalents

Max. and min. transmission 1.0000 and 0.9272

Refinement method Full-matrix least-squares on F<sup>2</sup>

Data / restraints / parameters 9347 / 15 / 475

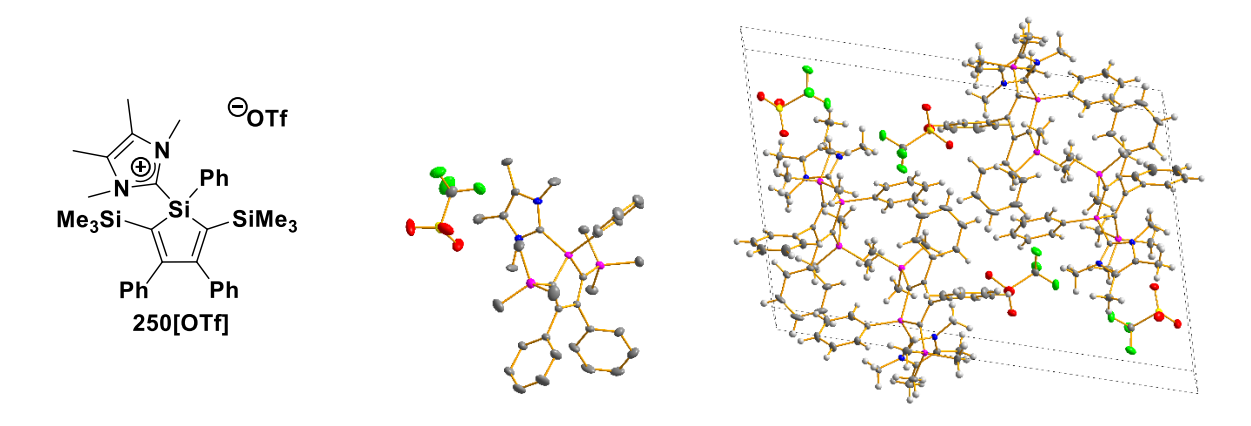
Goodness-of-fit on F<sup>2</sup> 1.073

Final R indices (I>2sigma(I)) R1 = 0.0552, wR2 = 0.1551 R indices (all data) R1 = 0.0601, wR2 = 0.1596

Extinction coefficient n/a

Largest diff. peak and hole 0.491 and -0.484 e.Å-3

# 1-Tetramethylimidazol-2-yliden 1-phenyl,-2,5-bis(trimethylsilyl), 3,4-dipehnyl – silacyclopentadien 250



#### Kristallographische Daten des Silols 250[OTf]

Identification code ww150c

Empirical formula C36 H45 F3 N2 O3 S Si3

Formula weight 727.07
Temperature 130(2) K
Wavelength 0.71073 Å
Crystal system Monoclinic
Space group P21/n

Unit cell dimensions a = 23.7374(19) Å  $a = 90^{\circ}$ .

b = 10.6333(8) Å  $b = 111.229(3)^{\circ}$ .

c = 32.035(3) Å  $g = 90^{\circ}$ .

Volume 7537.2(10) Å<sup>3</sup>

Ζ

Density (calculated) 1.281 Mg/m<sup>3</sup>
Absorption coefficient 0.233 mm<sup>-1</sup>

F(000) 3072

Crystal size 0.400 x 0.350 x 0.200 mm<sup>3</sup>

Theta range for data collection 1.329 to 34.971°

Index ranges -38<=h<=38, -17<=k<=17, -51<=l<=51

Reflections collected 379845

Independent reflections 33097 (R(int) = 0.0498)

Observed reflections (I > 2(I)) 24532 Completeness to theta =  $34.971^{\circ}$  100.0 %

Absorption correction Semi-empirical from equivalents

Max. and min. transmission 1.0000 and 0.9758

Refinement method Full-matrix least-squares on F<sup>2</sup>

Data / restraints / parameters 33097 / 0 / 885

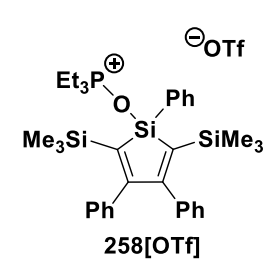
Goodness-of-fit on F<sup>2</sup> 1.008

Final R indices (I>2sigma(I)) R1 = 0.0422, wR2 = 0.1087 R indices (all data) R1 = 0.0653, wR2 = 0.1239

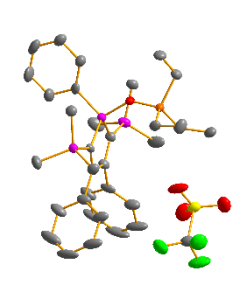
Extinction coefficient n

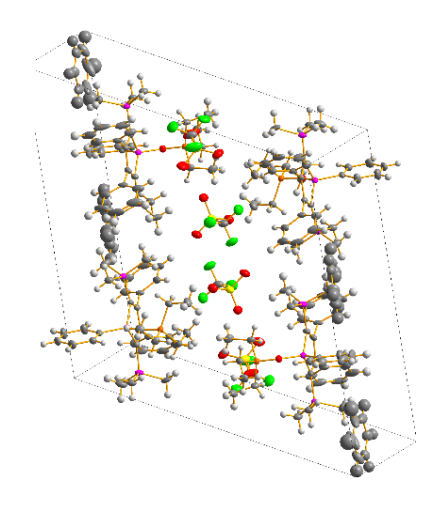
Largest diff. peak and hole 0.665 and -0.768 e.Å-3

# 1-Triethylphosphinoxid 1-phenyl,-2,5-bis(trimethylsilyl), 3,4-diphenyl – silacyclopentadien 258



Ζ





#### Benzol und Toluol in der Kristallstruktur enthalten

Kristallographische Daten des Silols 258[OTf]

Identification code ww151\_5

Empirical formula C41 H48 D6 F3 O4 P S Si3

Formula weight 821.18
Temperature 100(2) K
Wavelength 1.54178 Å
Crystal system Triclinic

Space group P-1

Unit cell dimensions  $a = 11.0788(5) \, \text{Å}$   $a = 113.086(2)^{\circ}$ .  $b = 20.4400(10) \, \text{Å}$   $b = 90.170(2)^{\circ}$ .

b = 20.4400(10) A  $b = 90.170(2)^{\circ}$ . c = 20.8154(9) Å  $g = 92.016(3)^{\circ}$ .

Volume 4332.8(4) Å<sup>3</sup>

Density (calculated) 1.259 Mg/m<sup>3</sup>
Absorption coefficient 2.233 mm<sup>-1</sup>

F(000) 1728

Crystal size 0.070 x 0.070 x 0.020 mm<sup>3</sup>
Theta range for data collection 2.308 to 74.495°

Theta range for data collection 2.308 to 74.495°
Index ranges -13<=h<=13 -25<=k<=25 -26<:

Index ranges -13<=h<=13, -25<=k<=25, -26<=l<=26
Reflections collected 44671

Independent reflections 44671 (R(int) = ?)

Observed reflections (I > 2(I)) 36780

Completeness to theta = 74.495° 94.7 %

Absorption correction Semi-empirical from equivalents Max. and min. transmission 1.000000 and 0.873877

Refinement method Full-matrix least-squares on F<sup>2</sup>

Data / restraints / parameters 44671 / 0 / 974

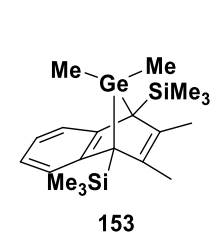
Goodness-of-fit on  $F^2$  1.071 Final R indices (I>2sigma(I)) R1 = 0.0777, wR2 = 0.1881 R indices (all data) R1 = 0.0232, wR2 = 0.1073

R indices (all data) R1 = 0.0932, wR2 = 0.1972Extinction coefficient n/a

Largest diff. peak and hole 0.817 and -0.472 e.Å<sup>-3</sup>

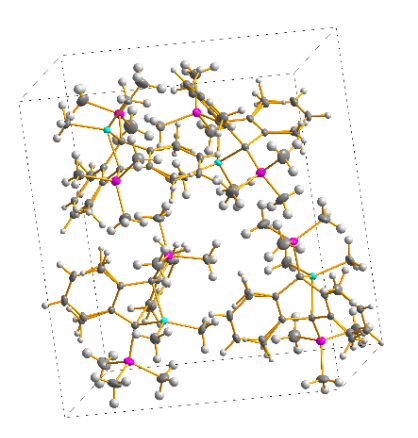
# 6.3 Sila- und Germanorbornadiene

# Benzo-7 dimethyl-7-germanorbornadien 153



Ζ





Fehlordnung an den Methylgruppen im Ring (15%)

Kristallographische Daten des Germanorbornadienes 153

Identification code ww40

Empirical formula C20 H34 Ge Si2

Formula weight 403.24
Temperature 100(2) K
Wavelength 0.71073 Å
Crystal system Orthorhombic
Space group P2<sub>1</sub>2<sub>1</sub>2<sub>1</sub>

Unit cell dimensions  $a = 10.3931(4) \, \text{Å} \qquad a = 90^{\circ}.$   $b = 13.5812(6) \, \text{Å} \qquad b = 90^{\circ}.$ 

4

856

c = 15.5838(6) Å  $g = 90^{\circ}$ .

Volume 2199.67(15) Å<sup>3</sup>

Density (calculated) 1.218 Mg/m<sup>3</sup>
Absorption coefficient 1.500 mm<sup>-1</sup>

F(000)

Crystal size 0.360 x 0.220 x 0.120 mm<sup>3</sup>

Theta range for data collection 1.989 to 40.247°

Index ranges -18<=h<=18, -24<=k<=24, -28<=l<=28

Reflections collected 16227

Independent reflections 13833 (R(int) = 0.0352)

Observed reflections (I > 2(I)) 12722 Completeness to theta =  $40.247^{\circ}$  100.0 %

Absorption correction Numerical

Max. and min. transmission 0.8792 and 0.6822

Refinement method Full-matrix least-squares on F<sup>2</sup>

Data / restraints / parameters 13833 / 0 / 245

Goodness-of-fit on F<sup>2</sup> 0.992

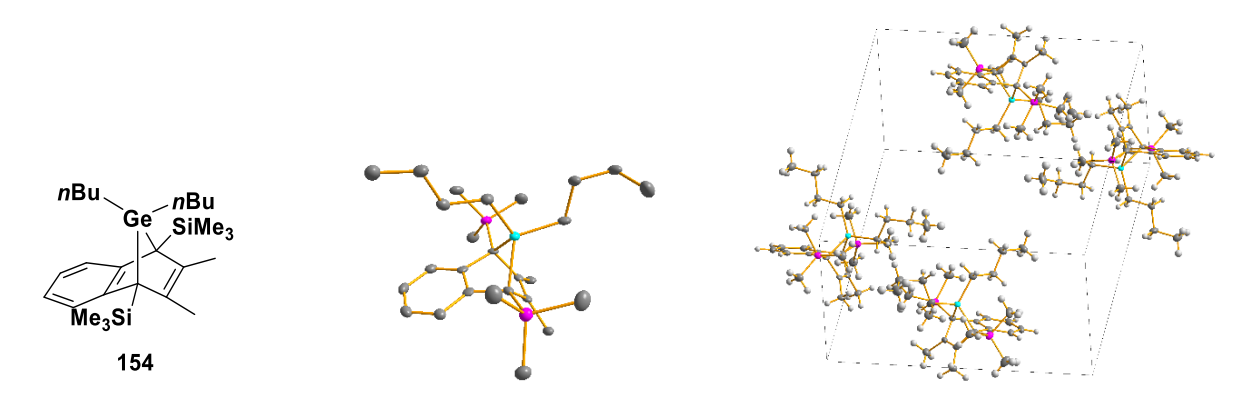
Final R indices (I>2sigma(I)) R1 = 0.0220, wR2 = 0.0511 R indices (all data) R1 = 0.0267, wR2 = 0.0526

Absolute structure parameter -0.0049(12)

Extinction coefficient n/a

Largest diff. peak and hole 0.633 and -0.211 e.Å<sup>-3</sup>

## Benzo-7 di n-butyl-7-germanorbornadien 154



# Kristallographische Daten des Germanorbornadienes 154

Identification code ww506 **Empirical formula** C26 H46 Ge Si2 Formula weight 487.40 Temperature 100(2) K 0.71073 Å Wavelength Triclinic Crystal system Space group P-1 Unit cell dimensions a = 10.5600(10) Å

b = 15.8312(14) Å $b = 83.683(3)^{\circ}$ . c = 16.9638(16) Å $g = 78.717(3)^{\circ}$ .

Volume

Absorption coefficient

Density (calculated)

F(000)

Ζ

Crystal size

Theta range for data collection

Index ranges

Reflections collected

Independent reflections Observed reflections (I > 2(I))

Completeness to theta = 25.024°

Absorption correction Max. and min. transmission

Refinement method

Data / restraints / parameters

Goodness-of-fit on F<sup>2</sup>

Final R indices (I>2sigma(I))

R indices (all data) Extinction coefficient

Largest diff. peak and hole

 $a = 88.010(3)^{\circ}$ .

2764.0(4) Å<sup>3</sup>

1.171 Mg/m<sup>3</sup> 1.205 mm<sup>-1</sup>

1048

 $0.200 \times 0.120 \times 0.080 \text{ mm}^3$ 

1.771 to 25.024°

-12<=h<=12, -18<=k<=18, -20<=l<=20

53098

9767 (R(int) = 0.0905)

6773 100.0 %

Semi-empirical from equivalents

1.0000 and 0.8800

Full-matrix least-squares on F<sup>2</sup>

9767 / 0 / 543

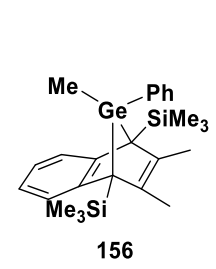
1.020

R1 = 0.0482, wR2 = 0.1105R1 = 0.0845, wR2 = 0.1237

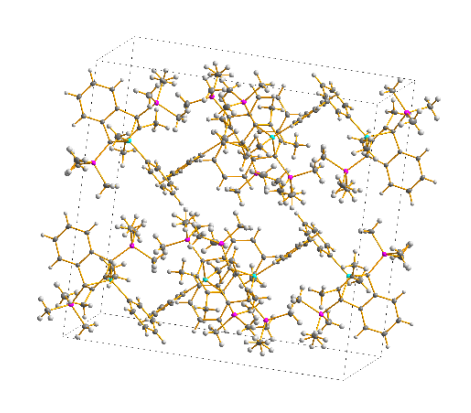
n/a

1.034 and -0.650 e.Å-3

## Benzo-7 methyl-phenyl-7-germanorbornadien 156







 $a = 90^{\circ}$ .  $b = 90^{\circ}$ .

 $g = 90^{\circ}$ .

#### Kristallographische Daten des Germanorbornadienes x

Identification code
Empirical formula

Formula weight
Temperature
Wavelength
Crystal system
Space group

Unit cell dimensions

Offic och diffictions

Volume Z

Density (calculated)
Absorption coefficient

F(000)

Crystal size

Theta range for data collection

Index ranges

Reflections collected Independent reflections

Observed reflections (I > 2(I)) Completeness to theta =  $40.249^{\circ}$ 

Absorption correction

Max. and min. transmission

Refinement method

Data / restraints / parameters

Goodness-of-fit on F<sup>2</sup>

Final R indices (I>2sigma(I))

R indices (all data) Extinction coefficient

Largest diff. peak and hole

limof6

C25 H36 Ge Si2

465.31 100(2) K 0.71073 Å Orthorhombic

Pbca

a = 12.3929(4) Å b = 19.7859(7) Å

c = 20.2875(7) Å

4974.6(3) Å<sup>3</sup>

8

1.243 Mg/m<sup>3</sup>

1.336 mm<sup>-1</sup>

1968

 $0.110 \times 0.110 \times 0.100 \text{ mm}^3$ 

2.008 to 40.249°

-22<=h<=22, -35<=k<=35, -36<=l<=36

349080

15660 (R(int) = 0.0381)

13444 100.0 %

Semi-empirical from equivalents

0.8262 and 0.7834

Full-matrix least-squares on F<sup>2</sup>

15660 / 0 / 262

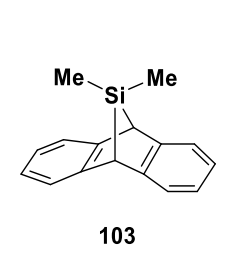
1.091

R1 = 0.0220, wR2 = 0.0608 R1 = 0.0292, wR2 = 0.0638

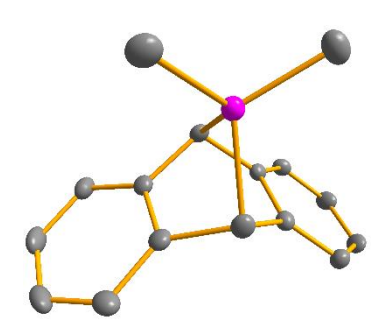
n/a

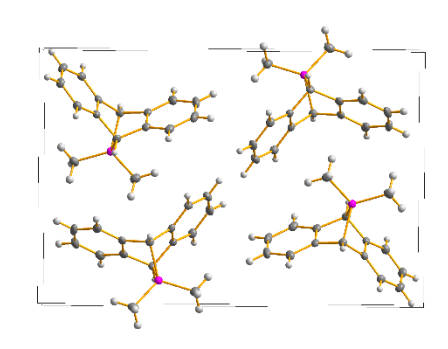
0.577 and -0.347 e.Å-3

## Dibenzo-7- dimethyl-7-silanorbornadiene 103



Ζ





## Kristallographische Daten des Silanorbornadienes 103

Identification codeww33Empirical formulaC16 H16 SiFormula weight236.38Temperature130(2) KWavelength0.71073 ÅCrystal systemMonoclinicSpace groupP21/n

Unit cell dimensions a = 5.9102(9) Å  $a = 90^{\circ}$ .

b = 12.1720(18) Å b = 91.513(6)°.

c = 18.208(3) Å  $g = 90^{\circ}$ .

Volume 1309.4(3) Å<sup>3</sup>

Density (calculated) 1.199 Mg/m<sup>3</sup>
Absorption coefficient 0.154 mm<sup>-1</sup>

Absorption coefficient 0.154 mm<sup>-1</sup> F(000) 504

Crystal size 0.160 x 0.060 x 0.030 mm<sup>3</sup>

Theta range for data collection 2.013 to 25.025°

Index ranges -7<=h<=7, -14<=k<=14, -21<=l<=21

Reflections collected 26368

Independent reflections 2301 (R(int) = 0.0866)
Observed reflections (1 > 2(1))

Observed reflections (I > 2(I)) 1731 Completeness to theta = 25.025° 100.0 %

Absorption correction Semi-empirical from equivalents Max. and min. transmission 1.0000 and 0.9268

Refinement method Full-matrix least-squares on F<sup>2</sup>

Data / restraints / parameters 2301 / 0 / 156

Goodness-of-fit on F<sup>2</sup> 1.054

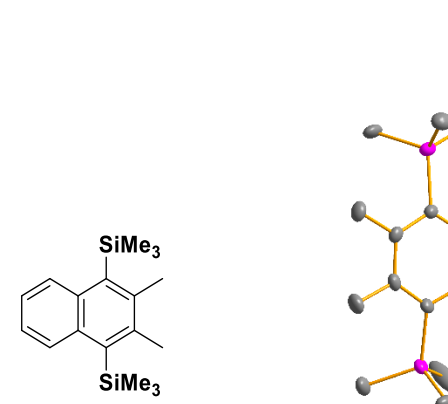
Final R indices (I>2sigma(I)) R1 = 0.0378, wR2 = 0.0778 R indices (all data) R1 = 0.0636, wR2 = 0.0870

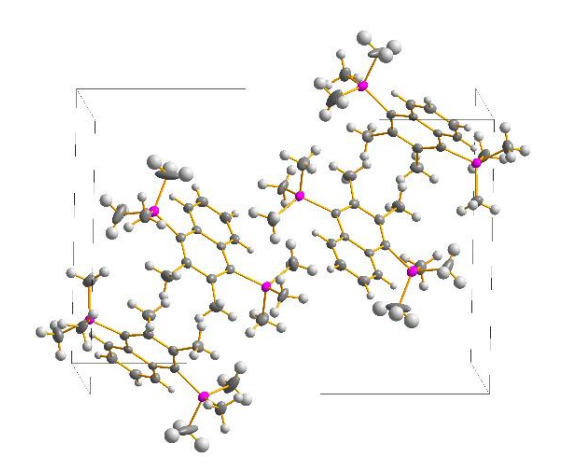
Extinction coefficient n/a

Largest diff. peak and hole 0.293 and -0.296 e.Å-3

# 6.4 Sonstige Kristalle

# 1,4-bis(trimethylsilyl)naphthyl 167





## Kristallographische Daten des Naphthalins 167

Identification code ww94g **Empirical formula** C18 H28 Si2 300.58 Formula weight Temperature 100(2) K 1.54178 Å Wavelength Crystal system Monoclinic Space group P2₁/n

Unit cell dimensions a = 13.3075(5) Å $a = 90^{\circ}$ . b = 7.0275(3) Å $b = 90.517(2)^{\circ}$ . c = 19.0835(8) Å $g = 90^{\circ}$ .

1784.59(13) Å<sup>3</sup> Volume Ζ

Density (calculated) 1.119 Mg/m<sup>3</sup> 1.698 mm<sup>-1</sup> Absorption coefficient

F(000) 656  $0.150 \times 0.030 \times 0.030 \text{ mm}^3$ Crystal size

Theta range for data collection 4.033 to 58.930° -14<=h<=14, -7<=k<=7, -21<=l<=21 Index ranges

Reflections collected 28981

Independent reflections 2564 (R(int) = 0.0612)

Observed reflections (I > 2(I))2408 Completeness to theta = 58.930° 100.0 %

Absorption correction Semi-empirical from equivalents Max. and min. transmission 1.0000 and 0.8377

Full-matrix least-squares on F<sup>2</sup> Refinement method

1.202

Data / restraints / parameters 2564 / 0 / 189 Goodness-of-fit on F<sup>2</sup>

Final R indices (I>2sigma(I)) R1 = 0.1061, wR2 = 0.2607R indices (all data) R1 = 0.1092, wR2 = 0.2627

Extinction coefficient n/a

1.904 and -0.379 e.Å-3 Largest diff. peak and hole

# 7. Details zu den durchgeführten DFT Rechnungen

Alle Rechnungen wurden mit dem Programmpaket Gaussian16 durchgeführt.  $^{[215]}$  Die Optimierungen erfolgten unter Verwendung des Dichtefunktionals M06-2X $^{[216]}$  und des Basissatzes def2-TZVP (A) oder 6-311+G(d,p) (B). $^{[217-218]}$  Jeder ermittelte stationäre Punkt wurde durch eine Frequenzanalyse als Minimum (keine imaginäre Schwingungen) identifiziert. Die Berechnungen der NMR chemischen Verschiebungen wurden mit der GIAO Methode durchgeführt, welche im G16 implementiert ist. Hierzu wurde das Dichtefunktional M06-L $^{[216]}$  zusammen mit dem Basissatz def2-TZVP verwendet. Die abgebildeten Molekülorbitale (MO) wurden mit GaussView dargestellt. Das Lösungsmittel Benzol wurde unter Verwendung des SCIPCM-Modells in die Berechnung miteinbezogen. Die Hartee-Energien (E) und freie Gibbs Enthalpie (G $^{298}$ ) (bei T = 298.15 K und p = 0.101 MPa in der Gasphase) für die optimierten Strukturen sind in Tabelle 41 aufgeführt.

**Tabelle 41**: Berechnete absolute Energie E(SCF) und freie Enthalpien G(298K) bei 298K auf Basis des Dichtefunktionals M06-2X und der Basissätze def2-TZVP (A) und 6-311+G(d,p) (B).

	Verbindung	Basissatz	E (SCF) [a.u.]	ZPVE [kJmol <sup>-1</sup> ]	G(298K) [a.u]
102	<i>n</i> Bu₂GeA	Α	-2932.15952	1161	-2931.77379
104	Me <sub>2</sub> GeMe <sub>2</sub> <sup>Me4</sup> NHC	Α	-2540.24453	682	-2540.02759
104	Me <sub>2</sub> GeMe <sub>2</sub> <sup>Me4</sup> NHC	В	-2540.16256	681	-2539.94624
105	<i>n</i> Bu <sub>2</sub> GeMe <sub>2</sub> <sup>Me4</sup> NHC	Α	-2776.07945	1134	-2775.70316
	<i>n</i> Bu₂GeMe₂cAAC	Α	-3149.46315	1743	-3148.86385
	nBu₂GeMe₂ <sup>Dipp</sup> NHC	Α	-3631.24738	2304	-3630.45113
	<i>n</i> Bu₂GeDMAP	Α	-2774.88538	1076	-2774.53101
	<i>n</i> Bu₂Ge	Α	-2392.61730	642	-2392.41522
125	Me <sub>2</sub> Ge	Α	-2156,78281	186	-2156,74145
46	Me4NHC	Α	-383,36317	482	-383,21467
46	Me4NHC	В	-383.36318	482	-383.21467
53	Dipp NHC	Α	-1238.56334	1657	-1237,99275
	cAAC	Α	-756,79955	1086	-756,43310
107	DMAP	Α	-382.22741	428	-382.09827
122	Modell Germanorbornadien	В	-2388.80642	457	-2388.94546
123	Begegnungskomplex	В	-2772.32245	944	-2772.0145

	Verbindung	Basissatz	E (SCF) [a.u.]	ZPVE [kJmol <sup>-1</sup> ]	G(298K) [a.u]
124	Ge-C Bindungsspaltung	В	-2772.32309	946	-2772.01229
	Benzol	В	-232.198356	266	-232.12467
126	Begegnungskomplex	В	-4929.11991	1142	-4928.74471
127	Digermabicycloocatadien-Me4NHC	В	-4929.15819	1141	-4928.78457
128	Digermabicycloocatadien	В	-4545.78632	656	-4545.58044
132	Me <sub>2</sub> SiMe <sub>2</sub> <sup>Me4</sup> NHC	Α	-752.71055	686	-752.49013
	Me <sub>2</sub> Si	Α	-369.23857	186	-369.19445
153	Me <sub>2</sub> -Dibenzogermanorbornadien	Α	-3438.58922	1236	-3438.16726
156	Ph, Me-Dibenzogermanorbornadien	Α	-3630.31709	1406	-3629.84551
168	Ph, H-Dibenzogermanorbornadien	Α	-3590.99420	1329	-3590.55020
173	Ph, Allyl -	Α	-3707.70117	1498	-3707.19595
	Dibenzogermanorbornadien				
174	Ph, OTf-Dibenzogermanorbornadien	Α	-4551.98582	1393	-4551.52741
178	Cyclopropenylium-	Α	-4056.56616	2156	-4055.82199
	Dibenzogermanorbornadien				
167	Naphthalinderivat	Α	-1281.75045	1075	-1281.39372
181	Me, Ph Ge	Α	-2348.51380	332	-2348.42157
182	H, Ph Ge	Α	-2309.19268	255	-2309.12710
175	Allyl, Ph Ge	Α	-2425.89935	421	-2425.77731
176	OTf, Ph Ge	Α	-3270.19405	318	-3270.11852
179	Cyclopropenylium Ge	Α	-2774.77489	1076	-2774.41905
185	Modell Germanorbornadien Me, Ph	Α	-2580.73556	600	-2580.54597
186	Modell Germanorbornadien Ph, H	Α	-2541.41306	525	-2541.25000
187	Modell Germanorbornadien Ph, Allyl	Α	-2658.12346	691	-2657.90512
188	Biradikal Me <sub>2</sub>	Α	-3206.27679	986	-3205.95907
189	Biradikal Ph, Me	Α	-3398.00442	1130	-3397.63738
190	Biradikal Ph, H	Α	-3358.68160	1053	-3358.34177
191	Biradikal Ph, Allyl	Α	-3475.39011	1219	-3474.99301
192	Benzolderivat	Α	-1049.52109	798	-1049.26594
192	Benzolderivat	В	-1049.46505	799	-1049.20974
					·

	Verbindung	Basissatz	E (SCF) [a.u.]	ZPVE [kJmol <sup>-1</sup> ]	G(298K) [a.u]
184	Modell Germanorbornadien Me <sub>2</sub>	В	-3206.21792	988	-3205.89845
199	Begegnungskomplex	В	-3589.59603	1481	-3589.09677
200	Begegnungskomplex	В	-5746.39635	1671	-5745.83819
201	<ol> <li>Schritt Polymerisation</li> </ol>	В	-5746.43000	1676	-5745.87685
202	2. Polymervorstufe	В	-4696.95552	874	-4696.67623
203	Digermabicycloocatadien-Me4NHC	В	-5746.43337	1676	-5745.87018
204	Digermabicycloocatadien	В	-5363.05743	1188	-5362.66668
205	Oligomer linear	Α	-13707.5257		-13706.8216
206	Oligomer cyclisch	Α	-13707.5822		-13706.8457
209	Germolylkation (Singulett)	Α	-3359.10149	1095	-3358.74433
	Germolylkation (SCIPCM)	Α	-3359.13586	-	-
	Germolylkation (Triplett)	Α	-3359.05086	1089	-3358.70100
210	Silolylkation (Singulett)	Α	-1571.58143	1098	-1571.22219
	Silolylkation (SCIPCM)	Α	-1571.61552	-	-
	Silolylkation (Triplett)	Α	-1571.53308	1093	-1571.17904
211	Alumol (Singulett)	Α	-1524.75742	1093	-1524.40143
	Alumol (SCIPCM)	Α	-1524.75979	-	-
	Alumol (Triplett)	Α	-1524.68957	1087	-1524.33542
212	Borol (Singulett)	Α	-1307.18105	1103	-1306.82119
	Borol (SCIPCM)	Α	-1307.18318	-	-
	Borol (Triplett)	Α	-1307.13890	1100	-1306.78056
217	Me₃Ge	Α	-2196.46542	285	-2196.39239
	Me₃Ge (SCIPCM)	Α	-2196.51457	-	-
218	Me₃Si	Α	-408.73896	286	-408.86698
	Me₃Si (SCIPCM)	Α	-408.990307	-	-
	Me₃GeF	Α	-2296.65142	294	-2296.57316
	Me₃GeF (SCIPCM)	Α	-2296.65408	-	-
	Me₃SiF	Α	-509.161551	298	-509.079665
	Me₃SiF (SCIPCM)	Α	-509.163141	-	-
	Et <sub>3</sub> B <sup>[68]</sup>	Α	-262.48406	527	-262.31828
	Et <sub>3</sub> B (SCIPCM) <sup>[68]</sup>	Α	-262.48610	-	-
	Et <sub>3</sub> BF <sup>[68]</sup>	Α	-362.43997	530	-362.27401

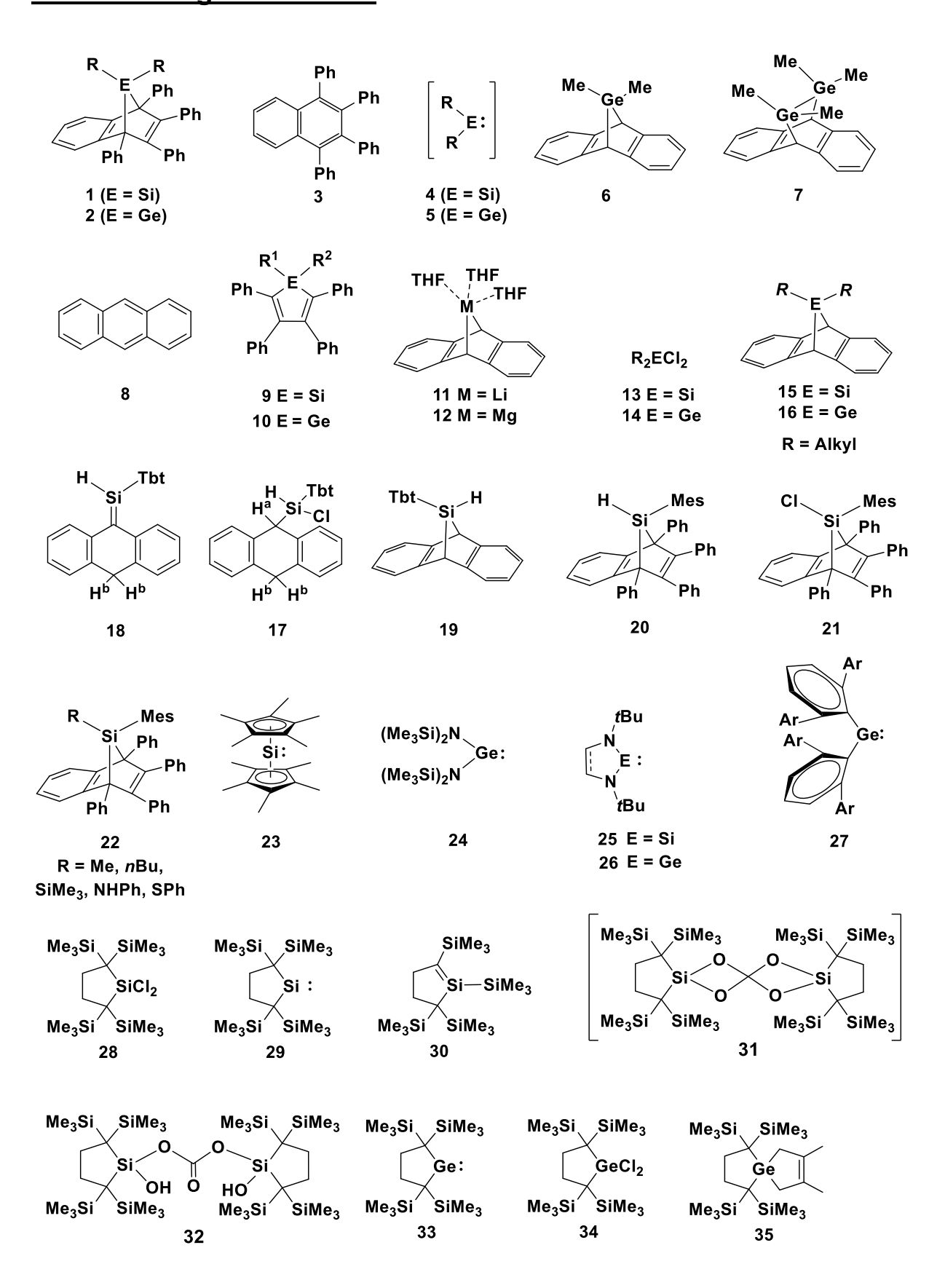
	Verbindung	Basissatz	E (SCF) [a.u.]	ZPVE [kJmol <sup>-1</sup> ]	G(298K) [a.u]
	Et <sub>3</sub> BF (SCIPCM) <sup>[68]</sup>	Α	-362.483069	-	-
219	SbF <sub>5</sub>	Α	-739.566744	31	-739.54596
	SbF <sub>5</sub> (SCIPCM)	Α	-739.549180	-	-
	SbF <sub>6</sub>	Α	-839.595225	36	-839.611409
	SbF <sub>6</sub> (SCIPCM)	Α		-	-
220	BCF (SCIPCM)	Α	-2208.47648	-	-
213	Germol Ph, F	Α	-3459.26409	1098	-3458.90911
	Germol Ph F (SCIPCM)	Α	-3459.26729	-	-
214	Silol Ph, F	Α	-1671.77562	1102	-1671.41813
	Silol Ph, F (SCIPCM)	Α	-1671.77818	-	-
215	Alumol Ph, F	Α	-1624.77894	1090	-1624.42798
	Alumol Ph, F (SCIPCM)	Α	-1624.81448	-	-
216	Borol Ph, F	Α	-1407.17369	1105	-1406.81287
	Borol Ph, F (SCIPCM)	А	-1407.20951	-	-
241	Mes Silolylkation	Α	-1689.52199	1312	-1689.08849
225	Germol Pemp, MeCN	Α	-3688.45276	1585	-3979.46814
172	Germol Ph, OTf	Α	-4320.94196	1172	-4320.56832
	Germol Ph, OTf (SCIPCM)	Α	-4320.94598	-	-
234	Germol Pemp, OTf	Α	-4517.48391	1541	-4516.97775
	Germol Pemp, OTf (SCIPCM)	Α	-4517.48784	-	-
244	Silol Ph, OTf	Α	-2533.44200	1177	-2533.06678
	Silol Ph, OTf (SCIPCM)	Α	-2533.44553	-	-
		Α			
222	Pemp Germolylkation	Α	-3555.66055	1457	-3555.17496
	Pemp Germolylkation (SCIPCM)	Α	-3555.69265	-	-
	OTf <sup>-</sup>	Α	-961.63795	75	-961.64152
	OTf (SCIPCM)	Α	-961.68634	-	-
248	Germol Ph, Me4imidazolium	Α	-3742.63200	1587	-3742.09866
	Germol Ph, Me4imidazolium	Α	-3742.66429	-	-
	(SCIPCM)				
249	Germol Pemp, Me4imidazolium	Α	-3938.50736	1957	-3939.17545
	Germol Pemp, Me4imidazolium (SCIPCM)	Α	-3939.20646	-	-

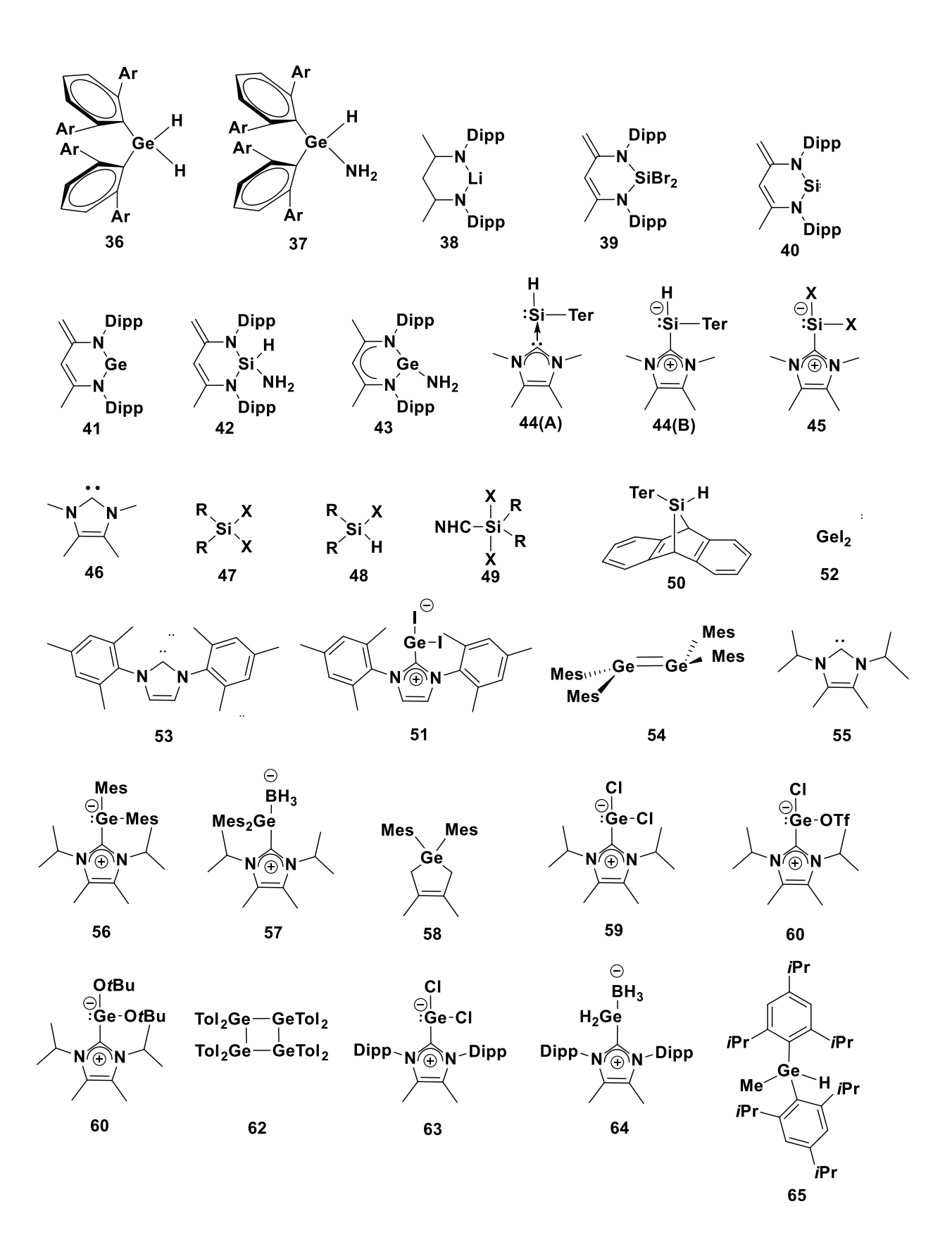
	Verbindung	Basissatz	E (SCF) [a.u.]	ZPVE [kJmol <sup>-1</sup> ]	G(298K) [a.u]
247	Germol Ph, <sup>Pr</sup> imidazolium	Α	-3899.83946	1889	-3899.19472
	Germol Ph, <sup>iPr</sup> imidazolium (SCIPCM)	Α	-3899.87036	-	-
	Germol Ph, DippNHC	Α	-4597.78328	2773	-4596.81404
	Germol Ph, cAAC	Α	-4194.61747	2348	-4193.79999
	Germol Pemp, <sup>iPr</sup> NHC	Α	-4096.37641	2264	-4095.59429
250	Silol Ph Me4imidazolium	Α	-1955.12229	1593	-1954.58545
	Silol Ph Me4imidazolium (SCIPCM)	Α	-1955.15449	-	-
	Germol Ph, F, OTf	Α	-4420.93189	1179	-4420.55686
	Germol Ph, F, OTf (SCIPCM)	Α	-4420.96823	-	-
	Germol Pemp, F, OTf	Α	-4617.47290	1546	-4616.96354
	Germol Pemp, F, OTf (SCIPCM)	Α	-4617.50955	-	-
	Silol Ph, F, OTf	Α	-2633.44271	1183	-2633.06482
	Silol Ph, F, OTf (SCIPCM)	Α	-2633.47880	-	-
		Α			
	Germol Ph, F, Me4imidazolium	Α	-3842.68213	1509	-3842.15287
	Germol Ph, F, Me4imidazolium (SCIPCM)	Α	-3842.68731	-	-
	Germol Pemp, F, Me4imidazolium	Α	-4039.22310	1956	-4038.55791
	Germol Pemp, F Me4imidazolium (SCIPCM)		-4039.22798	-	-
	Germol Ph, F Primidazolium	Α	-3999.91742	1887	-3999.27654
	Germol Ph, F <sup>Pr</sup> imidazolium (SCIPCM)	Α	-3999.92217	-	-
	Silol Ph, F, Me4imidazolium	Α	-2055.18940	1590	-2054.65697
	Silol Ph, F, Me4imidazolium (SCIPCM)	Α	-2055.19369	-	-
	Germol Ph, F, DippNHC	Α	-4697.84625	2758	-4696.89533
265	AICI <sub>3</sub>	Α	-1623.23642	13	-1623.2608
	AICI₃ (SCIPCM)	Α	-1623.23824	-	-
	AlCl₃F	Α	-1723.28508	18	-1723.30967
	AICI₃F (SCIPCM)	Α	-1723.32797	-	-
88	Borolkation	Α	-1842.28410	1638	-1841.73233
	Borolkation (SCIPCM)	Α	-1842.31689	-	-
	Tipp₂MeGe	Α	-3051.64813	1464	-3051.15053

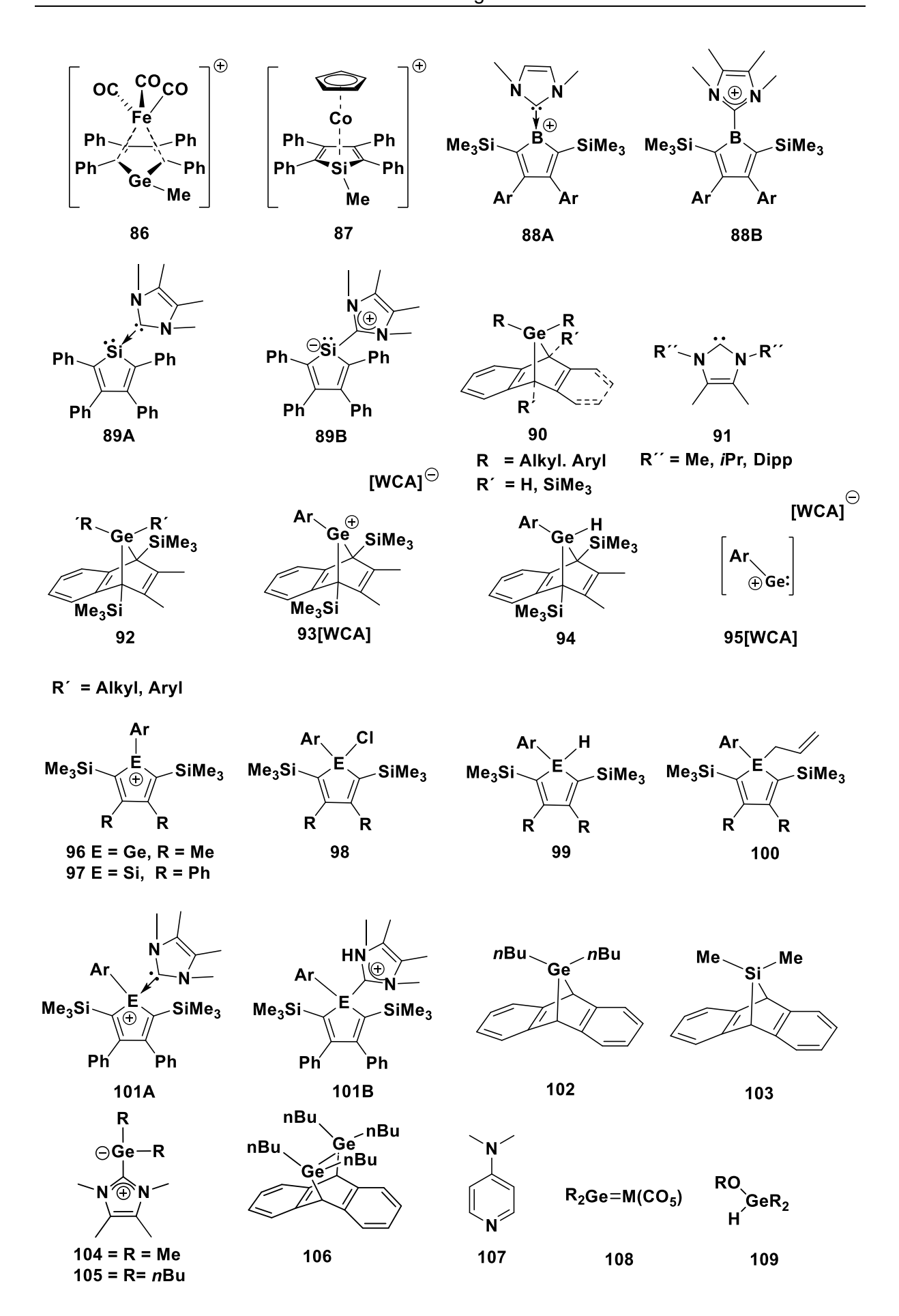
	Verbindung	Basissatz	E (SCF) [a.u.]	ZPVE [kJmol <sup>-1</sup> ]	G(298K) [a.u]
	Tipp₂MeGe (SCIPCM)	А	-3051.68086	-	-
	Pemp₃Si	Α	-1573.79708	1821	-1573.17525
	Pemp₃Si (SCIPCM)	Α	-1573.82513	-	-
	Mes₃Si	Α	-1337.95557	1376	-1337.49532
	Mes <sub>3</sub> Si (SCIPCM)	Α	-1337.98592	-	-
	Et₃Si	Α	-526.85908	516	-526.70093
	Et₃Si (SCIPCM)	Α	-526.90342	-	-
	Boriniumkation	Α	-406.03905	241	-405.97683
	Boriniumkation (SCIPCM)	Α	-406.08571	-	-
	Driess Kation	Α	-1341.24687	1001	-1340.91718
	Driess Kation (SCIPCM)	Α	-1341.52094	-	-
	Borolkation, F	Α	-1407.17369	1104	-1406.81288
	Borolkation, F (SCIPCM)	Α	-1407.20950	-	-
	Tipp₂MeGeF	Α	-3151.79878	1476	-3151.29586
	Tipp₂MeGeF (SCIPCM)	Α	-3151.80181	-	-
	Pemp₃SiF	Α	-1673.95712	1835	-1673.32809
	Pemp₃SiF (SCIPCM)	Α	-1673.95999	-	-
	Mes₃SiF	Α	-1438.12382	1388	-1437.65809
	Mes₃SiF (SCIPCM)	Α	-1438.12637	-	-
	Et <sub>3</sub> SiF	Α	-627.07009	528	-626.90752
	Et <sub>3</sub> SiF (SCIPCM)	Α	-627.07138		
	Boriniumkation, F	Α	-506.36154	256	-506.29489
	Boriniumkation, F (SCIPCM)	Α	-506.36346	-	-
	Driess Kation, F	Α	-1441.68012	1011	-1441.34993
	Driess Kation, F (SCIPCM)	Α	-1441.80420	-	-
		Α			
230	Germol Ph, OPEt <sub>3</sub>	Α	-4013.46171	1637	-4012.91366
	Germol Ph, OPEt <sub>3</sub> (SCIPCM)	Α	-4013.49464	-	-
257	Germol Pemp, OPEt₃	Α	-4210.00583	2007	-4209.32268
	Germol Pemp, OPEt <sub>3</sub> (SCIPCM)	Α	-4210.03725	-	-
259	Germol Ph, OPPh <sub>3</sub>	Α	-4470.73135	1837	-4470.11216
258	Silol Ph, OPEt <sub>3</sub>	Α	-2225.96245	1641	-2225.41179
	Silol Ph, OPEt <sub>3</sub> (SCIPCM)	Α	-2225.99596		
	$OPEt_3$	Α	-654.257642	538	-654.08927

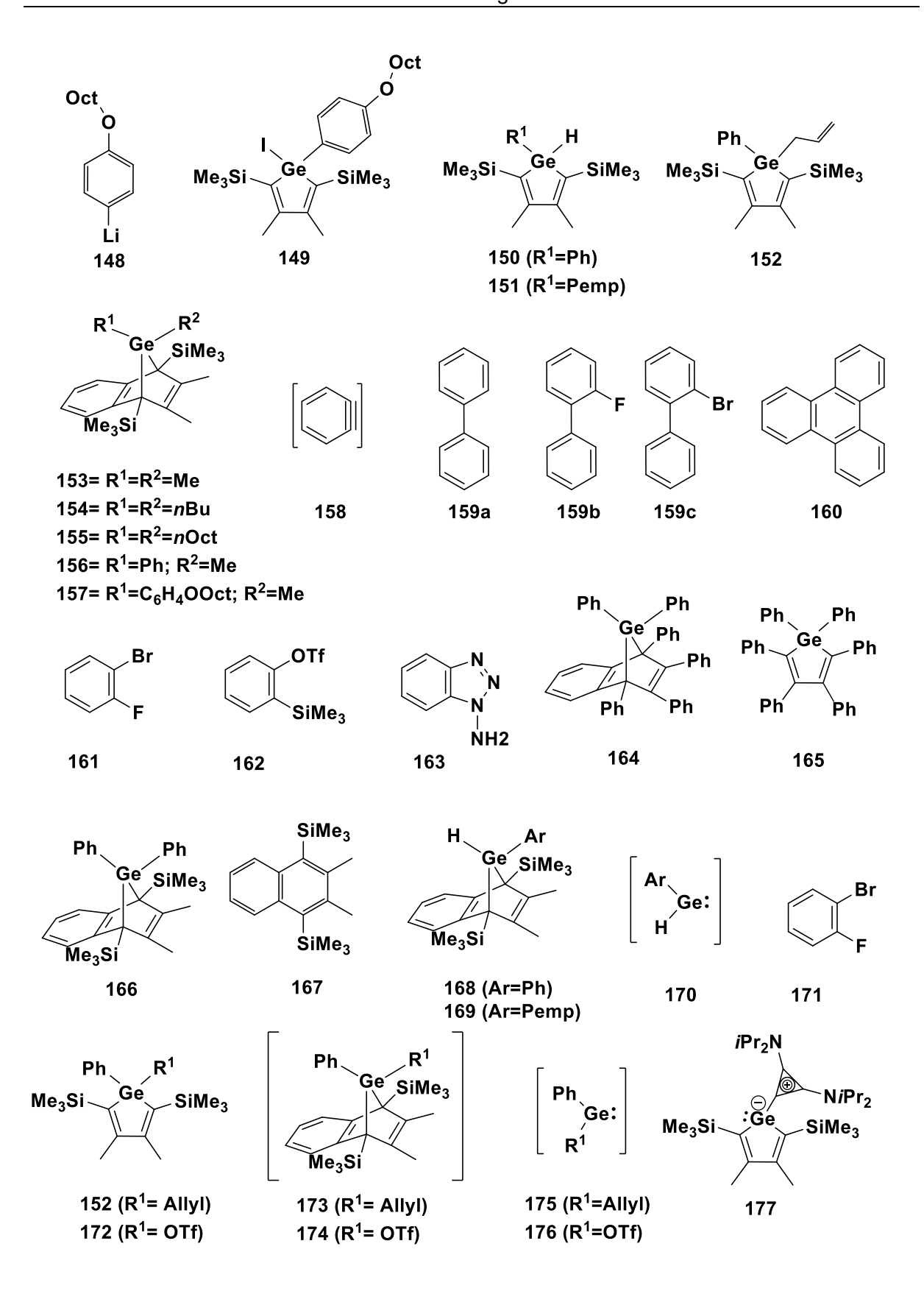
	Verbindung	Basissatz	E (SCF) [a.u.]	ZPVE [kJmol <sup>-1</sup> ]	G(298K) [a.u]
227	OPEt <sub>3</sub> (SCIPCM)	Α	-654.262899	-	-
	$OPPh_3$	Α	-1111.51979	737	-1111.28600
133	Germol Cl <sub>2</sub>	А	-4048.22578	860	-4047.95701
139	Germol Ph, Cl	Α	-3819.61598	1095	-3819.26300
140	Germol Pemp, Cl	Α	-4016.15404	1465	-4015.66545
150	Germol Ph, H	Α	-3359.95109	1111	-3359.59056
151	Germol Pemp, H		-3556.49264	1480	-3555.99861
152	Germol Ph, Allyl	Α	-3476.65824	1278	-3476.23654
144	Germol Ph, Me	Α	-3399.27273	1187	-3398.88471
146	Germol Me <sub>2</sub>	Α	-3207.54355	1044	-3207.20503
137	Germol nBu <sub>2</sub>	Α	-3443.37849	1498	-3442.87705
240	Silol Cl <sub>2</sub>	А	-2644.18372	1146	-2643.81196
244	Silol Ph, Cl	Α	-2415.57195	1382	-2415.11659
239	Silol Mes, CI	Α	-2533.49596	1602	-2532.96004
238	Silol Mes, H	Α	-2073.83429	1618	-2073.29151
242	Silol Mes, Allyl	Α	-2190.53975	1785	-2189.93597
268	Ph Stannolylkation	А	-1496.31349	1092	-1495.95939
269	Ph Plumbolylkation	Α	-1474.79251	1090	-1474.43941
270	Pemp Silolylkation	Α	-1768.14170	1462	-1767.65142
271	Pemp Stannolylkation	Α	-1692.87111	1454	-1692.38772
272	Pemp Plumbolylkation	Α	-1671.34866	1453	-1670.86646

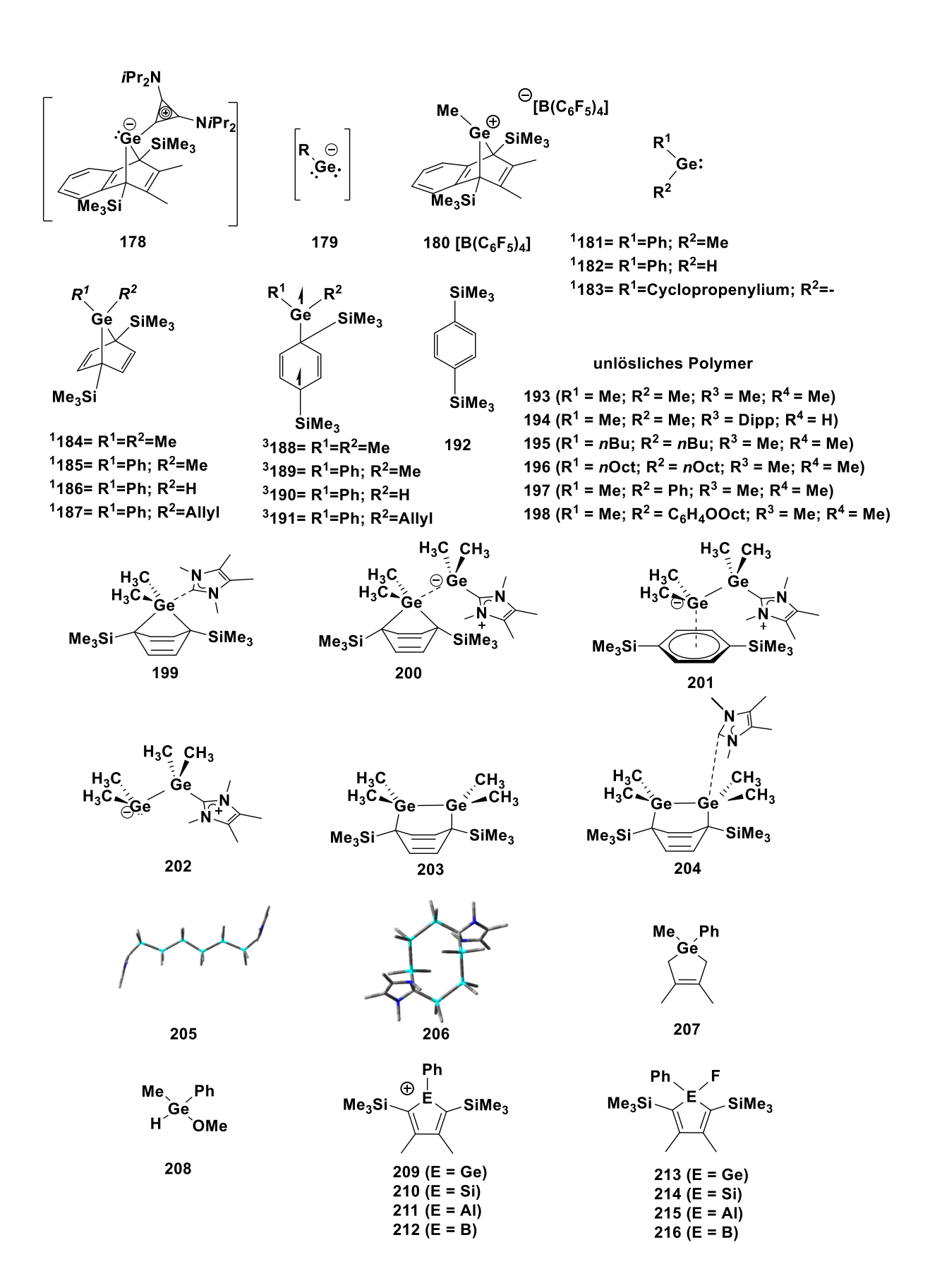
# 8. Verbindungsverzeichnis











## 9. Abkürzungsverzeichnis

Å Angström

AN Akzeptor Nummer

Ar Aryl

ATR Attenuated Total Reflection

au Atomic units

BCF Tris(pentafluorphenyl)boran
BDE Bindungsdissoziationsenergie

br breit

c Konzentration (mol/L)

cAAC cyclisches (Alkyl)(amino)carben

CIDNP chemical induced dynamic nuclear polarization

Cp Cyclopentadienyl

CP-MAS Cross Polarization Magic-Angle Spinning

δ Chemische Verschiebung

d Dublett

DB Doppelbindung

DEPT Distortionless Enhancement by Polarisation Transfer

DFT Density functional theory

DIPP Di*iso*propylphenyl

DMAP (Dimethylamino)-pyridin

EA Elementaranalyse

EB Einzelbindung

EI Elektronenstoßionisation
EPR Elektronenspinresonanz

equiv. Äquivalent

FBN Fluorbenzonitril

FIC Fluoridionenaffinität
FID Free Induction Decay

G Gibbs-Enthalpie

GC Gaschromatographie

H Hartree

HOMO highest occupied molecular orbital

HMBC Heteronuclear Multiple Bond Correlation

HMQC Heteronuclear Multiple Quantum Correlation

HR High Resolution

Hz Hertz

INEPT Insensitive Nuclei Enhanced by Polarisation Transfer

*i*Pr *iso*-Propyl

IR Infrarotspektroskopie

J Kopplungskonstante

K Kelvin

λ Wellenlänge

λ<sub>max</sub> langwelligste Wellenlänge
 LA Lewis acid (Lewis-Säure)
 LDA Lithiumdi*iso*propylamid

LUMO lowest unoccupied molecular orbital

m Multiplett

MALDI ToF Matrix-Assistierte-Laser-Desorption-Ionisierung Flugzeitanalyse

Me Methyl

MeLi Methyllithium

Mes Mesityl, 2,4,6-Trimethylphenyl

MO molecular orbital

MS Massenspektrometrie

*n*Bu *n-*Butyl

<sup>n</sup>BuLi n-Butyllithium

NHC N-heterocyclisches Carben

NICS Nucleus-independent chemical shift

nm Nanometer

NMR Nuclear Magnetic Resonance
NOE Nuclear Overhauser Effect

*n*Oct *n*-Octyl

NRT Nucleus-independent chemical shift
OTf Trifluormethansulfonsäureester (Triflat)

Pemp Pentamethylphenyl

Ph Phenyl

PhLi Phenyllithium ppm parts per million

q Quartett

r.t. Raumtemperatur

s Singulett sept Septett t Triplett

### Anhang

T Temperatur

Tbt 2,4,6 tris[bis(trimethylsilyl)methyl]phenyl

Ter Terphenyl, 2,6-Bis(2,4,6-trimethylphenyl)phenyl

THF Tetrahydrofuran
Tol 4-Methylphenyl
vdW van der Waals

VT variable temperature WBI Wiberg Bond Indices

WCA Weakly coordinating anion

### 10. Literaturverzeichnis

#### **Uncategorized References**

- [1] Y. Mizuhata, T. Sasamori, N. Tokitoh, Chemical Reviews 2009, 109, 3479-3511.
- [2] T. Chu, G. I. Nikonov, *Chemical Reviews* **2018**, *118*, 3608-3680.
- [3] P. P. Power, nature **2010**, 463.
- [4] M. Usher, A. Protchenko, A. Rit, J. Campos, E. Kolychev, R. Tirfoin, S. Aldridge, *Chemistry A European Journal* **2016**, *22*, 11685–11698.
- [5] Y. Peng, J.-D. Guo, B. D. Ellis, Z. Zhu, J. C. Fettinger, S. Nagase, P. P. Power, *Journal of the American Chemical Society* **2009**, *131*, 16272-16282.
- [6] M.-A. Légaré, C. Pranckevicius, H. Braunschweig, *Chemical Reviews* **2019**, *119*, 8231-8261.
- [7] C. Douvris, C. M. Nagaraja, C.-H. Chen, B. M. Foxman, O. V. Ozerov, *Journal of the American Chemical Society* **2010**, *132*, 4946-4953.
- [8] R. Panisch, M. Bolte, T. Müller, Journal of the American Chemical Society 2006, 128, 9676-9682.
- [9] K. Mitsuo, H. Takakazu, S. Hideki, *Chemistry Letters* **1992**, *21*, 555-558.
- [10] A. Schäfer, W. Saak, D. Haase, T. Müller, *Angewandte Chemie International Edition* **2012**, *51*, 2981-2984.
- [11] J. C. L. Walker, H. F. T. Klare, M. Oestreich, *Nature Reviews Chemistry* **2020**, *4*, 54-62.
- [12] W. P. Neumann, M. Schriewer, Tetrahedron Letters 1980, 21.
- [13] G. J. D. Peddle, D. N. Roark, A. M. Good, S. G. McGeachin, J. Am. Chem. Soc. 1969, 91.
- [14] T. Leshina, M. Taraban, V. Plyusnin, O. Volkova, M. Egorov, *Russian Chemical Bulletin* **2000**, 49, 421-426.
- [15] S. P. Kolesnikov, M. P. Egorov, A. M. Galminas, M. B. Ezhova, O. M. Nefedov, T. V. Leshina, M. B. Taraban, A. I. Kruppa, V. I. Maryasova, *Journal of Organometallic Chemistry* **1990**, *391*, c1-c6.
- [16] H. Gilman, S. G. Cottis, W. H. Atwell, *Journal of the American Chemical Society* **1964**, *86*, 1596-1599.
- [17] J. G. Zavistoski, J. J. Zuckerman, *Journal of the American Chemical Society* **1968**, *90*, 6612-6616.
- [18] M. N. Paddon-Row, K. D. Jordan, *Journal of the Chemical Society, Chemical Communications* **1988**, 1508-1510.
- [19] W. S. Paddon-Row Michael, Jordan, Kenneth D., J. Chem. Soc. 1990, 2.
- [20] C. Gerdes, J. Schuppan, A.-R. Grimmer, M. Bolte, W. Saak, T. Müller, Silicon 2010, 2, 217-227.
- [21] H. Sakurai, Y. Nakadaira, T. Koyama, H. Sakaba, Chemistry Letters 1983, 12, 213-216.
- [22] M. B. Geeson, W. J. Transue, C. C. Cummins, *Organometallics* **2019**, *38*, 3229-3232.
- [23] C. Gerdes, W. Saak, D. Haase, T. Müller, *Journal of the American Chemical Society* **2013**, *135*, 10353-10361.
- [24] A. Velian, W. J. Transue, C. C. Cummins, *Organometallics* **2015**, *34*, 4644-4646.
- [25] D. Lutters, C. Severin, M. Schmidtmann, T. Müller, *Journal of the American Chemical Society* **2016**, *138*, 6061-6067.
- [26] J. Schuppan, B. Herrschaft, T. Müller, Organometallics 2001, 20, 4584-4592.
- [27] A. Marinetti-Mignani, R. West, Organometallics 1987, 6, 141-144.
- [28] K. Atsushi, O. Masahiro, Y. Yohsuke, *Chemistry Letters* **2005**, *34*, 960-961.
- [29] M. Okimoto, A. Kawachi, Y. Yamamoto, *Journal of Organometallic Chemistry* **2009**, *694*, 1419-1426.
- [30] H. Appler, L. W. Gross, B. Mayer, W. P. Neumann, *Journal of Organometallic Chemistry* **1985**, 291.
- [31] S. Hideki, O. Kazuya, N. Yasuhiro, *Chemistry Letters* **1986**, *15*, 1797-1800.
- [32] R. Corriu, G. a. Lanneau, C. Priou, F. Soulairol, N. Auner, R. Probst, R. Conlin, C. Tan, *Journal of Organometallic Chemistry* **1994**, *466*, 55-68.
- [33] A. Velian, C. C. Cummins, Journal of the American Chemical Society 2012, 134, 13978-13981.

- [34] T. Sasamori, S. Ozaki, N. Tokitoh, *Chemistry Letters* **2007**, *36*.
- [35] N. Tokitoh, K. Kishikawa, R. Okazaki, *Journal of the Chemical Society, Chemical Communications* **1995**, 1425-1426.
- [36] A. Velian, M. Nava, M. Temprado, Y. Zhou, R. W. Field, C. C. Cummins, *Journal of the American Chemical Society* **2014**, *136*, 13586-13589.
- [37] P. Jutzi, D. Kanne, C. Krüger, *Angew. Chem., Int. Ed.* **1986**, *98*.
- [38] W. P. Neumann, Chem. Rev. 1992, 91.
- [39] M. Driess, *Nature Chemistry* **2012**, *4*, 525-526.
- [40] M. Haaf, T. Schmedake, R. West, Raabe G, Michl J (1985) Chem Rev 2000, 85, 419.
- [41] M. Kira, Chemical Communications **2010**, 46, 2893-2903.
- [42] M. Denk, R. Lennon, R. Hayashi, R. West, A. V. Belyakov, H. P. Verne, A. Haaland, M. Wagner, N. Metzler, *Journal of the American Chemical Society* **1994**, *116*, 2691-2692.
- [43] W. A. Herrmann, M. Denk, J. Behm, W. Scherer, F.-R. Klingan, H. Bock, B. Solouki, M. Wagner, *Angewandte Chemie International Edition in English* **1992**, *31*, 1485-1488.
- [44] R. S. Simons, L. Pu, M. M. Olmstead, P. P. Power, Organometallics 1997, 16.
- [45] M. Kira, S. Ishida, T. Iwamoto, C. Kabuto, *Journal of the American Chemical Society* **1999**, *121*, 9722-9723.
- [46] X. Liu, X.-Q. Xiao, Z. Xu, X. Yang, Z. Li, Z. Dong, C. Yan, G. Lai, M. Kira, *Organometallics* **2014**, 33, 5434-5439.
- [47] K. Mitsuo, I. Shintaro, I. Takeaki, I. Masaaki, K. Chizuko, I. Lubov, S. Hideki, *Chemistry Letters* **1999**, *28*, 263-264.
- [48] M. Driess, S. Yao, M. Brym, C. van Wüllen, D. Lentz, *Journal of the American Chemical Society* **2006**, *128*, 9628-9629.
- [49] M. Driess, S. Yao, M. Brym, C. van Wüllen, *Angewandte Chemie International Edition* **2006**, *45*, 4349-4352.
- [50] A. Jana, C. Schulzke, H. W. Roesky, *Journal of the American Chemical Society* **2009**, *131*, 4600-4601.
- [51] A. Jana, I. Objartel, H. W. Roesky, D. Stalke, *Inorganic Chemistry* **2009**, *48*, 798-800.
- [52] T. J. Hadlington, M. Hermann, G. Frenking, C. Jones, *Journal of the American Chemical Society* **2014**, *136*, 3028-3031.
- [53] S. Khan, H. W. Roesky, Chemistry A European Journal **2019**, 25, 1636-1648.
- [54] D. Himmel, I. Krossing, A. Schnepf, *Angewandte Chemie International Edition* **2014**, *53*, 6047-6048.
- [55] D. Himmel, I. Krossing, A. Schnepf, *Angewandte Chemie International Edition* **2014**, *53*, 370-374.
- [56] G. Frenking, *Angewandte Chemie International Edition* **2014**, *53*, 6040-6046.
- [57] A. J. Arduengo, H. V. R. Dias, J. C. Calabrese, F. Davidson, *Inorganic Chemistry* **1993**, *32*, 1541-1542.
- [58] P. A. Rupar, M. C. Jennings, P. J. Ragogna, K. M. Baines, *Organometallics* **2007**, *26*, 4109-4111.
- [59] P. A. Rupar, V. N. Staroverov, K. M. Baines, *Organometallics* **2010**, *29*, 4871-4881.
- [60] P. A. Rupar, M. C. Jennings, K. M. Baines, Organometallics 2008, 27, 5043-5051.
- [61] M. J. Ward, P. A. Rupar, M. W. Murphy, Y.-M. Yiu, K. M. Baines, T. K. Sham, *Chemical Communications* **2010**, *46*, 7016-7018.
- [62] K. C. Thimer, S. M. I. Al-Rafia, M. J. Ferguson, R. McDonald, E. Rivard, *Chemical Communications* **2009**, 7119-7121.
- [63] H. F. T. Klare, L. Albers, L. Süsse, S. Keess, T. Müller, M. Oestreich, *Chemical Reviews* **2021**, *121*, 5889-5985.
- [64] V. Y. Lee, Russ. Chem. Rev. 2019, 88.
- [65] T. Müller, *Germylium Ions and Germylium Ion-like Species in Organogermanium Compounds:* Theory and Application, John Wiley and Sons, Hoboken NJ USA, **2021**.

- [66] J. B. Lambert, Y. Zhao, Angewandte Chemie International Edition in English 1997, 36, 400-401.
- [67] A. Sekiguchi, M. Tsukamoto, M. Ichinohe, *Science* **1997**, *275*, 60-61.
- [68] S. Künzler, S. Rathjen, A. Merk, M. Schmidtmann, T. Müller, *Chemistry A European Journal* **2019**, *25*, 15123-15130.
- [69] F. Diab, F. S. W. Aicher, C. P. Sindlinger, K. Eichele, H. Schubert, L. Wesemann, *Chemistry A European Journal* **2019**, *25*, 4426-4434.
- [70] N. Kordts, C. Borner, R. Panisch, W. Saak, T. Müller, Organometallics 2014, 33, 1492-1498.
- [71] S. Duttwyler, Q.-Q. Do, A. Linden, K. K. Baldridge, J. S. Siegel, *Angewandte Chemie International Edition* **2008**, *47*, 1719-1722.
- [72] A. Denhof, M. Olaru, E. Lork, S. Mebs, L. Chęcińska, J. Beckmann, *European Journal of Inorganic Chemistry* **2020**, *2020*, 4093-4110.
- [73] I. Krossing, I. Raabe, *Angewandte Chemie International Edition* **2004**, *43*, 2066-2090.
- [74] J. Y. Corey, Journal of the American Chemical Society **1975**, *97*, 3237-3238.
- [75] J. Y. Corey, R. West, Journal of the American Chemical Society 1963, 85, 2430-2433.
- [76] A. Schäfer, M. Reißmann, S. Jung, A. Schäfer, W. Saak, E. Brendler, T. Müller, *Organometallics* **2013**, *32*, 4713-4722.
- [77] C. Gerdes, Dissertation, Carl von Ossietzky Universität Oldenburg, Oldenburg, 2012.
- [78] J. B. Lambert, Y. Zhao, H. Wu, W. C. Tse, B. Kuhlmann, *Journal of the American Chemical Society* **1999**, *121*, 5001-5008.
- [79] Y. Ishida, A. Sekiguchi, Y. Kabe, *Journal of the American Chemical Society* **2003**, *125*, 11468-11469.
- [80] C. Schenk, C. Drost, A. Schnepf, Dalton Transactions 2009, 773-776.
- [81] S. Ishida, T. Nishinaga, R. West, K. Komatsu, *Chemical Communications* **2005**, 778-780.
- [82] A. Martens, P. Weis, M. C. Krummer, M. Kreuzer, A. Meierhöfer, S. C. Meier, J. Bohnenberger, H. Scherer, I. Riddlestone, I. Krossing, *Chemical Science* **2018**, *9*, 7058-7068.
- [83] S. Yamaguchi, K. Tamao, *Journal of the Chemical Society, Dalton Transactions* **1998**, 3693-3702.
- [84] M. Saito, M. Yoshioka, *Coordination Chemistry Reviews* **2005**, *249*, 765-780.
- [85] R. West, H. Sohn, D. R. Powell, T. Müller, Y. Apeloig, Angew. Chem., Int. Ed. 1996, 35.
- [86] R. West, H. Sohn, U. Bankwitz, J. Calabrese, Y. Apeloig, T. Mueller, *Journal of the American Chemical Society* **1995**, *117*, 11608-11609.
- [87] R. Breslow, *The Chemical Record* **2014**, *14*, 1174-1182.
- [88] B. Goldfuss, P. v. R. Schleyer, F. Hampel, Organometallics 1996, 15, 1755-1757.
- [89] W. P. Freeman, T. D. Tilley, A. L. Rheingold, *Journal of the American Chemical Society* **1994**, *116*, 8428-8429.
- [90] Z. Dong, M. Schmidtmann, T. Müller, Chemistry A European Journal 2019, 25, 10858-10865.
- [91] T. Müller, C. R. W. Reinhold, M. Schmidtmann, B. Tumanskii, *Chemistry A European Journal*, n/a.
- [92] W. P. Freeman, T. D. Tilley, L. M. Liable-Sands, A. L. Rheingold, *Journal of the American Chemical Society* **1996**, *118*, 10457-10468.
- [93] W. P. Freeman, T. D. Tilley, G. P. A. Yap, A. L. Rheingold, *Angewandte Chemie International Edition in English* **1996**, *35*, 882-884.
- [94] M. D. Curtis, Journal of the American Chemical Society 1967, 89, 4241-4242.
- [95] P. Dufour, J. Dubac, M. Dartiguenave, Y. Dartiguenave, Organometallics 1990, 9, 3001-3003.
- [96] Y. Liu, D. Ballweg, T. Müller, I. A. Guzei, R. W. Clark, R. West, *Journal of the American Chemical Society* **2002**, *124*, 12174-12181.
- [97] A. Dhiman, Z.-R. Zhang, R. West, J. Y. Becker, *Journal of Electroanalytical Chemistry* **2004**, *573*, 139-146.
- [98] Z. Dong, C. R. W. Reinhold, M. Schmidtmann, T. Müller, *Organometallics* **2018**, *37*, 4736-4743.

- [99] T. Kuwabara, J.-D. Guo, S. Nagase, M. Minoura, R. H. Herber, M. Saito, *Organometallics* **2014**, 33, 2910-2913.
- [100] M. Saito, M. Nakada, T. Kuwabara, M. Minoura, *Chemical Communications* **2015**, *51*, 4674-4676.
- [101] E. G. Janzen, J. B. Pickett, W. H. Atwell, Journal of Organometallic Chemistry 1967, 10, P6-P8.
- [102] I. S. Toulokhonova, T. C. Stringfellow, S. A. Ivanov, A. Masunov, R. West, *Journal of the American Chemical Society* **2003**, *125*, 5767-5773.
- [103] R. Breslow, *Accounts of Chemical Research* **1973**, *6*, 393-398.
- [104] R. Breslow, R. Hill, E. Wasserman, *Journal of the American Chemical Society* **1964**, *86*, 5349-5350
- [105] P. Costa, I. Trosien, J. Mieres-Perez, W. Sander, *Journal of the American Chemical Society* **2017**, *139*, 13024-13030.
- [106] N. C. Baird, *Journal of the American Chemical Society* **1972**, *94*, 4941-4948.
- [107] K. Jorner, R. Emanuelsson, C. Dahlstrand, H. Tong, A. V. Denisova, H. Ottosson, *Chemistry A European Journal* **2014**, *20*, 9295-9303.
- [108] T. Heitkemper, C. P. Sindlinger, *Chemistry A European Journal* **2020**, *26*, 11684-11689.
- [109] J. B. Lambert, Angewandte Chemie International Edition 2002, 41, 2278-2278.
- [110] T. Müller, Angewandte Chemie International Edition 2002, 41, 2276-2278.
- [111] M. Otto, D. Scheschkewitz, T. Kato, M. M. Midland, J. B. Lambert, G. Bertrand, *Angewandte Chemie International Edition* **2002**, *41*, 2275-2276.
- [112] K.-C. Kim, C. A. Reed, D. W. Elliott, L. J. Mueller, F. Tham, L. Lin, J. B. Lambert, *Science* **2002**, *297*, 825-827.
- [113] P. Jutzi, A. Karl, P. Hofmann, *Angewandte Chemie International Edition in English* **1980**, *19*, 484-485.
- [114] H. Sakurai, J. Hayashi, Journal of Organometallic Chemistry 1973, 63, C10-C12.
- [115] Y. Gao, J. Zhang, H. Hu, C. Cui, Organometallics 2010, 29, 3063-3065.
- [116] D. Lutters, Dissertation, Carl von Ossietzky Universität Oldenburg, Oldenburg, 2016.
- [117] H. Großekappenberg, M. Reißmann, M. Schmidtmann, T. Müller, *Organometallics* **2015**, *34*, 4952-4958.
- [118] P. K. Freeman, L. Hutchinson, *The Journal of Organic Chemistry* **1983**, *48*, 879-881.
- [119] B. Bogdanovic, Accounts of Chemical Research 1988, 21, 261-267.
- [120] P. Rupar, V. N. Staroverov, K. M. Baines, Organometallics 2010, 29.
- [121] T. Norihiro, K. Kuniyuki, M. Tsuyoshi, O. Renji, Chemistry Letters 1995, 24, 827-828.
- [122] N. Tokitoh, K. Manmaru, R. Okazaki, Organometallics 1994, 13, 167-171.
- [123] N. Tokitoh, H. Suzuki, R. Okazaki, K. Ogawa, *Journal of the American Chemical Society* **1993**, *115*, 10428-10429.
- [124] W. J. Leigh, C. R. Harrington, I. Vargas-Baca, *Journal of the American Chemical Society* **2004**, *126*, 16105-16116.
- [125] G. Billeb, W. P. Neumann, G. Steinhoff, Tetrahedron Letters 1988, 29, 5245-5248.
- [126] S. M. I. Al-Rafia, A. C. Malcolm, S. K. Liew, M. J. Ferguson, E. Rivard, *Journal of the American Chemical Society* **2011**, *133*, 777-779.
- [127] A. D. Phillips, P. P. Power, Acta Crystallographica Section C 2005, 61, o291-o293.
- [128] D. Mandal, D. Dhara, A. Maiti, L. Klemmer, V. Huch, M. Zimmer, H. S. Rzepa, D. Scheschkewitz, A. Jana, *Chemistry A European Journal* **2018**, *24*, 2873-2878.
- [129] N. Kuhn, G. Henkel, T. Kratz, Zeitschrift für Naturforschung B 1993, 48, 973-977.
- [130] P. Bleckmann, R. Minkwitz, W. P. Neumann, M. Schriewer, M. Thibud, B. Watta, *Tetrahedron Letters* **1984**, *25*, 2467-2470.
- [131] S. Fortier, Y. Zhang, H. K. Sharma, K. H. Pannell, Organometallics 2010, 29, 1041-1044.
- [132] P. J. Fagan, W. A. Nugent, Journal of the American Chemical Society 1988, 110, 2310-2312.
- [133] P. J. Fagan, W. A. Nugent, J. C. Calabrese, *Journal of the American Chemical Society* **1994**, *116*, 1880-1889.

- [134] N. B. Ambhaikar, J. M. Campagne, I. E. Celik, V. M. Dembitsky, M. A. Graham, K. Holzschneider, M. Jaschinski, W. Kipke, S. F. Kirsch, K. Kunz, E. Leclerc, G. Li, Z. Li, W. Makow, T. Müller, C. L. Ochoa, I. M. Ramirez y Medina, C. M. Rayner, A. Staubitz, X. L. Sun, M. Szostak, U. K. Tambar, T. Tian, M. L. Tong, X. Y. Wang, I. A. Yaremenko, N. Yoshikai, (Eds.: M. Christmann, Z. Huang, J. A. Joule, C. J. Li, J. J. Li, C. Marschner, E. J. Petersson, H. U. Reissig, A. O. Terent'ev), Georg Thieme Verlag, Stuttgart, 2020.
- [135] C. R. W. Reinhold, Dissertation, Carl von Ossietzky Universität Oldenburg; Oldenburg, 2016.
- [136] M. Westerhausen, B. Stein, M. W. Ossberger, H. Görls, J. C. Galvez Ruiz, H. Nöth, P. Mayer, *Arkivoc* **2007**, 46-59.
- [137] X. Yan, C. Xi, Accounts of chemical research **2015**, 48, 935-946.
- [138] L. Möllmann, Forschungsbericht, Carl von Ossietzky Universität Oldenburg, Oldenburg, 2021.
- [139] E. Breitmaier, G. Jung, *Organische Chemie*, Vol. 6, Thieme, Stuttgard, **2009**.
- [140] K. M. Baines, W. G. Stibbs, Coordination chemistry reviews 1995, 145, 157-200.
- [141] M. Talavera, G. Meißner, S. G. Rachor, T. Braun, *Chemical Communications* **2020**, *56*, 4452-4455.
- [142] W. Ando, H. Itoh, T. Tsumuraya, Organometallics 1989, 8.
- [143] C. Burmester, F. Diederich, A. G. Fallis, R. Faust, R. A. Aitken, 2014.
- [144] J. B. Lambert, Y. Zhao, H. Wu, The Journal of Organic Chemistry 1999, 64, 2729-2736.
- [145] A. Schäfer, A. Schäfer, T. Müller, Dalton Transactions 2010, 39, 9296-9303.
- [146] T. V. Leshina, O. S. Volkova, M. B. Taraban, *Russian Chemical Bulletin* **2001**, *50*, 1916-1928.
- [147] M. Schriewer, W. P. Neumann, Angew. Chem. 1981, 93.
- [148] I. Kaya, M. Yıldırım, M. Kamacı, European polymer journal **2009**, 45, 1586-1598.
- [149] J. Shinar, H. S. Wu, R. Shinar, H. R. Shanks, Journal of Applied Physics 1987, 62, 808-812.
- [150] Spectral Database for Organic Compunds SDBS.
- [151] I. Nehls, Solid state NMR for chemists. Von COLIN A. FYFE. ISBN 0-88955-038-7. Guelph, Ontario, Canada, N1H6Z9: C. F. C. Press, P.O. Box 1720: 1983. 593 S., geb., \$ 55.00, Vol. 38, 1987.
- [152] E. Carberry, B. Dombek, C. S. Cohen, journal of Organometallic Chemistry 1972, 36.
- [153] K. Mochida, H. Chiba, *Journal of Organometallic Chemistry* **1994**, 473.
- [154] W. A. Yager, *Journal of the American Chemical Society* **1963**, *85*, 2033-2034.
- [155] Z. Wang, Y. Zhou, J.-X. Zhang, I. Krummenacher, H. Braunschweig, Z. Lin, *Chemistry A European Journal* **2018**, *24*, 9612-9621.
- [156] H. Braunschweig, A. Damme, C. Hörl, T. Kupfer, J. Wahler, *Organometallics* **2013**, *32*, 6800-6803.
- [157] C. Fan, L. G. Mercier, W. E. Piers, H. M. Tuononen, M. Parvez, *Journal of the American Chemical Society* **2010**, *132*, 9604-9606.
- [158] C. Eschenbroich, Organometallchemie, Vol. 6, Teubner Verlag, Wiesbaden, 2008.
- [159] P. Pyykkö, M. Atsumi, *Chem. Eur. J.* **2009**, *15*.
- [160] R. Breslow, H. W. Chang, R. Hill, E. Wasserman, *Journal of the American Chemical Society* **1967**, *89*, 1112-1119.
- [161] C. Foroutan-Nejad, S. Shahbazian, P. Rashidi-Ranjbar, *Physical Chemistry Chemical Physics* **2010**, *12*, 12630-12637.
- [162] M. Gonsior, I. Krossing, N. Mitzel, *Zeitschrift für anorganische und allgemeine Chemie* **2002**, 628, 1821-1830.
- [163] L. Greb, Chemistry A European Journal **2018**, *24*, 17881-17896.
- [164] L. O. Müller, D. Himmel, J. Stauffer, G. Steinfeld, J. Slattery, G. Santiso-Quiñones, V. Brecht, I. Krossing, Angewandte Chemie International Edition 2008, 47, 7659-7663.
- [165] J. Y. Corey, D. Gust, K. Mislow, *Journal of Organometallic Chemistry* **1975**, *101*, C7-C8.
- [166] A. Del Grosso, R. G. Pritchard, C. A. Muryn, M. J. Ingleson, *Organometallics* **2010**, *29*, 241-249
- [167] U. Mayer, V. Gutmann, W. Gerger, *Monatshefte für Chemie/Chemical Monthly* **1975**, *106*, 1235-1257.

- [168] M. A. Beckett, G. C. Strickland, J. R. Holland, K. Sukumar Varma, *Polymer* 1996, 37, 4629-4631.
- [169] A. Budanow, M. Bolte, M. Wagner, H.-W. Lerner, *European Journal of Inorganic Chemistry* **2015**, *2015*, 2524-2527.
- [170] J. Behrends, Forschungsbericht, Carl von Ossietzky Universität Oldenburg,

#### Oldenburg, 2021.

- [171] C. Fekete, I. Kovács, L. Nyulászi, T. Holczbauer, *Chemical Communications* **2017**, *53*, 11064-11067.
- [172] P. Vollhardt, N. Schore, Organische Chemie Vol. 5, Wiley-VCH, Weinheim, 2011.
- [173] P. Che, F. Lu, X. Nie, Y. Huang, Y. Yang, F. Wang, J. Xu, *Chemical Communications* **2015**, *51*, 1077-1080.
- [174] K. Trainor, J. A. Palumbo, D. W. S. MacKenzie, E. M. Meiering, *Protein Science* **2020**, *29*, 306-314
- [175] G. A. Olah, K. Laali, O. Farooq, *Organometallics* **1984**, *3*, 1337-1340.
- [176] W. Uhlig, Zeitschrift für Naturforschung B 1994, 49, 609-614.
- [177] F. Weinhold, R. West, Organometallics 2011, 30, 5815-5824.
- [178] R. Becerra, R. Walsh, *Physical Chemistry Chemical Physics* **2019**, *21*, 988-1008.
- [179] K. V. Zaitsev, A. A. Kapranov, Y. F. Oprunenko, A. V. Churakov, J. A. K. Howard, B. N. Tarasevich, S. S. Karlov, G. S. Zaitseva, *Journal of Organometallic Chemistry* **2012**, *700*, 207-213.
- [180] K. V. Zaitsev, Y. F. Oprunenko, A. V. Churakov, G. S. Zaitseva, S. S. Karlov, *Main Group Metal Chemistry* **2014**, *37*, 67-74.
- [181] A. Hermannsdorfer, M. Driess, *Angewandte Chemie International Edition* **2020**, *59*, 23132-23136.
- [182] D. Lutters, A. Merk, M. Schmidtmann, T. Müller, *Inorganic Chemistry* **2016**, *55*, 9026-9032.
- [183] C. Eisenhut, T. Szilvási, G. Dübek, N. C. Breit, S. Inoue, *Inorganic Chemistry* **2017**, *56*, 10061-10069.
- [184] P. Frisch, T. Szilvási, A. Porzelt, S. Inoue, *Inorganic Chemistry* **2019**, *58*, 14931-14937.
- [185] D. Sarkar, C. Weetman, S. Dutta, E. Schubert, C. Jandl, D. Koley, S. Inoue, *Journal of the American Chemical Society* **2020**, *142*, 15403-15411.
- [186] N. Kuhn, T. Kratz, D. Bläser, R. Boese, *Chemische Berichte* **1995**, *128*, 245-250.
- [187] M. F. Silva Valverde, E. Theuergarten, T. Bannenberg, M. Freytag, P. G. Jones, M. Tamm, *Dalton Transactions* **2015**, *44*, 9400-9408.
- [188] R. F. Childs, D. L. Mulholland, A. Nixon, *Canadian Journal of Chemistry* **1982**, *60*, 801-808.
- [189] G. Hilt, A. Nödling, European Journal of Organic Chemistry 2011, 2011, 7071-7075.
- [190] S. S. Batsanov, *Inorganic Materials* **2001**, *37*, 871-885.
- [191] F. Hanusch, L. Groll, S. Inoue, *Chemical Science* **2021**, *12*, 2001-2015.
- [192] G. Bandoli, G. Bortolozzo, D. A. Clemente, U. Croatto, *Journal of the American Chemical Society* **1970**, 2778.
- [193] K. A. Al-Farhan, Journal of Crystallographic and Spectroscopic Research 1992, 22, 687-689.
- [194] S. Rathjen, Dissertation, Carl von Ossietzky Universität Oldenburg, Oldenburg, 2021.
- [195] S. Künzler, (Ed.: C. v. O. U. Oldeburg), Dissertation, Oldenburg, 2019.
- [196] P. Vermeeren, T. A. Hamlin, I. Fernández, F. M. Bickelhaupt, *Angewandte Chemie International Edition* **2020**, *59*, 6201-6206.
- [197] F. Fringuelli, O. Piermatti, F. Pizzo, L. Vaccaro, *European Journal of Organic Chemistry* **2001**, 2001, 439-455.
- [198] U. Pindur, G. Lutz, C. Otto, *Chemical reviews* **1993**, *93*, 741-761.
- [199] S. Künzler, Dissertation, Carl von Ossietzky Universität Oldenburg. Oldenburg, 2019.
- [200] P. Yates, P. Eaton, Journal of the American Chemical Society 1960, 82, 4436-4437.
- [201] A. R. Nödling, K. Müther, V. H. G. Rohde, G. Hilt, M. Oestreich, *Organometallics* **2014**, *33*, 302-308.

- [202] R. K. Schmidt, K. Müther, C. Mück-Lichtenfeld, S. Grimme, M. Oestreich, *Journal of the American Chemical Society* **2012**, *134*, 4421-4428.
- [203] A. Pöcheim, G. A. Özpınar, T. Müller, J. Baumgartner, C. Marschner, *Chemistry A European Journal* **2020**, *26*, 17252-17260.
- [204] A. V. Denisova, J. Tibbelin, R. Emanuelsson, H. Ottosson, Molecules 2017, 22, 370.
- [205] X. Zhan, S. Barlow, S. R. Marder, Chemical Communications 2009, 1948-1955.
- [206] I.-M. R. y. Medina, Dissertation, Universität Bremen, Bremen, 2021.
- [207] I.-M. Ramirez y Medina, M. Rohdenburg, F. Mostaghimi, S. Grabowsky, P. Swiderek, J. Beckmann, J. Hoffmann, V. Dorcet, M. Hissler, A. Staubitz, *Inorganic Chemistry* **2018**, *57*, 12562-12575.
- [208] A. F. Holleman, *Lehrbuch der anorganischen Chemie*, 102 ed., Walter de Gruyter GmbH & Co KG, **2007**.
- [209] G. M. Sheldrick, in TWINABS 2012/1 (Ed.: Brucker), Madison, Wisconsin, USA, 2012.
- [210] G. M. Sheldrick, Acta Cryst. 2008, A64, 112-122.
- [211] L. Krause, R. Herbst-Irmer, G. M. Sheldrick, D. Stalke, J. Appl. Cryst 2015, 48, 3-10.
- [212] L. E. Aleandri, B. Bogdanovic, in *Active Metals*, pp. 299-338.
- [213] C. R. W. Reinhold, Carl von Ossietzky Universität Oldenburg (Oldenburg), 2016.
- [214] F. Fringuelli, R. Girotti, F. Pizzo, L. Vaccaro, Organic Letters 2006, 8, 2487-2489.
- [215] G. W. T. M. J. Frisch, H. B. Schlegel, G. E. Scuseria, M. A. Robb, J. R. Cheeseman, G. Scalmani, V. Barone, G. A. Petersson, H., X. L. Nakatsuji, M. Caricato, A. V. Marenich, J. Bloino, B. G. Janesko, R. Gomperts, B. Mennucci, H. P. Hratchian, J. V. Ortiz, A. F. Izmaylov, , D. W.-Y. J. L. Sonnenberg, F. Ding, F. Lipparini, F. Egidi, J. Goings, B. Peng, A. Petrone, T. Henderson, D. Ranasinghe, V. G. , J. G. Zakrzewski, N. Rega, G. Zheng, W. Liang, M. Hada, M. Ehara, K. Toyota, R. Fukuda, J. Hasegawa, M. Ishida, T. Nakajima, Y. Honda, , H. N. O. Kitao, T. Vreven, K. Throssell, J. A. Montgomery, Jr., J. E. Peralta, F. Ogliaro, M. J. Bearpark, J. J. Heyd, E. N. Brothers, K. N. , V. N. S. Kudin, T. A. Keith, R. Kobayashi, J. Normand, K. Raghavachari, A. P. Rendell, J. C. Burant, S. S. Iyengar, J. Tomasi, M. , J. M. M. Cossi, M. Klene, C. Adamo, R. Cammi, J. W. Ochterski, R. L. Martin, K. Morokuma, O. Farkas, J. B. Foresman, and D. J. Fox,, Gaussian16, Revision A, Inc., Wallingford CT 2016, 121, 150-166.
- [216] Y. Zhao, D. G. Truhlar, Theoretical Chemistry Accounts 2008, 120, 215-241.
- [217] F. Weigend, R. Ahlrichs, Physical Chemistry Chemical Physics 2005, 7, 3297-3305.
- [218] R. Krishnan, J. S. Binkley, R. Seeger, J. A. Pople, *The Journal of Chemical Physics* **1980**, *72*, 650-654.

Ich versichere hiermit, dass ich diese Arbeit selbständig verfasst habe und nur die angegebenen Quellen und Hilfsmittel benutzt habe. Die Dissertation hat weder in Teilen noch in Gänze einer anderen wissenschaftlichen Hochschule zur Begutachtung in einem Promotionsverfahren vorgelegen.

Die Leitlinien guter wissenschaftlicher Praxis an der Carl von Ossietzky Universität Oldenburg sind befolgt worden. Im Zusammenhang mit dem Promotionsvorhaben wurden keine kommerziellen Vermittlungs- oder Beratungsdienste (Promotionsberatung) in Anspruch genommen.

Oldenburg, 01. Oktober 2021

### Lebenslauf

## Persönliche Angaben

Name: Wiebke Marie Wohltmann

Geburtsdatum: 15.07.1992

Geburtsort: Bremen

Staatsangehörigkeit: deutsch

## Ausbildung

seit 10/2017	Promotion Carl von Ossietzky Universität (Oldenburg)
10/2014 – 11/2016	Master of Science Chemie Universität Bremen Abschlussarbeit: Synthese von perisubstituierten Tellurverbindungen zur Wechselwirkungsanalyse
10/2011 – 09/2014	Bachelor of Science Chemie Universität Bremen Abschlussarbeit: Intramolekular koordinierte Tellurverbindungen
2011	Abitur Schulzentrum am Rübekamp (Bremen)
Konferenzteilnahmen	
00/0004	
03/2021	Oldenburg Symposium on Chemical Bond Activation, Oldenburg
10/2019	<b>3</b>
	Activation, Oldenburg  22. Norddeutsches Doktorandenkolloquium,
10/2019	Activation, Oldenburg  22. Norddeutsches Doktorandenkolloquium, Oldenburg (Poster)  International Conference on the Coordination and Organometallic Chemistry of Germanium,